

Koepe İhrac Sistemi

-I-

Mehmet Güney

Ana Kaynak : Mad. Y. Müh. Mehmet GÜNEY
(Koepe İhrac Sistemi Eki)

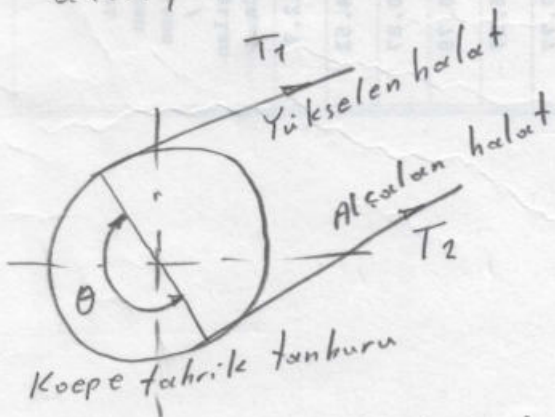
KOEPE İHRAÇ SİSTEMİ

Koepe (Sürtünmeli) ihraç sisteminde temel prensipler :

1- Minimum kayma riskinin sağlanmasında genel bir kural olarak, ihraç yapılacak faydalı yükün, yüklü (yükselen) halattaki asılı toplam yüke oranı, %30'u geçmemelidir. Yani, asılı toplam yük 33 ton olduğunda faydalı yük $33 \text{ ton} \cdot \%30 \approx 10 \text{ tonu}$ aşmamalıdır.

2- Artan ve azalan ivmenin halat üzerine ilave bir yük getirdiği düşünülürse pratikte artan ivme minimumda tutulmalı ve bu değer hiç bir zaman 1 m/s^2 yi geçmemelidir.

3- Yüklü (yükselen) ve yüksüz (alçakan) ihraç halatlarının çalıştıkları toplam yük değerleri oranları, sürtünme katsayısı (Halat ile Koepe tahrik tamburu halat yuvası arasındaki) ve temas açısı (veya sarım açısı) ile sınırlandırılmış değerleri aşmamalıdır.



Yani, halat - halat yuvası arasında kayma olmaması için,

$$T_1 \leq T_2 \cdot e^{\mu \theta} \quad \frac{T_1, T_2}{N} \quad \theta \quad \text{radyan} \quad (1) \quad -2-$$

koşulunun sağlanması gerekir.

T_1 - Yükselen halattaki toplam halat yükü

T_2 - Alçalan halattaki toplam halat yükü

μ - Halat ile halat yuvası arasındaki sürtünme katsayısı

θ - Temas veya sarım açısı (Halatın ihraç tamburu çevrelediği temas eğriliğine karşılık gelen açı)

Not. Birimler Mehmet GÜNEY - (Köpe ihraç sistemi kitabından SI birim sistemine uyarlanmıştır.

$\frac{T_1}{T_2}$ - Halat çekme kuvvetleri oranını inceleyelim.

μ sürtünme katsayısı tasarımda yönetmeliklere göre alınır. Örneğin:

• Alman maden yönetmeliğinde "insan ihraç" için

$$\mu = 0,2$$

• Koçadağ maden dairesince ise

$$\mu = 0,25$$

olarak kabul edilmiştir.

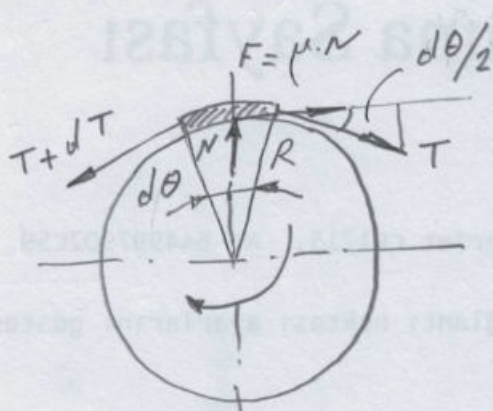
θ temas açısı genelde 180° ile 200° arasındadır.

180° için,

$$\mu \cdot \theta = 0,2 \cdot (180^\circ = \pi \text{ radyan}) = 0,628$$

$$e^{\mu \theta} = e^{0,628} = 1,87$$

Not Kaymama koşulunu sağlayan (1) formülünü⁻²⁻¹
elde edelim.



Koşu fabrik tamburunda
 $d\theta$ açısına karşılık gelen
halat elemanını göz önüne
alalım.

N - Normal kuvvet (Halat yüzey basıncının fabrik
tamburu üzerinde oluşturduğu kuvvet)

F - Sürtünme kuvveti (Halat ile tambur arasındaki)

T - Halat çekme kuvveti

• Düşey kuvvetlerin denge denklemi,

$$T \cdot \sin \frac{d\theta}{2} + (T+dT) \cdot \sin \frac{d\theta}{2} = N$$

ikinci mertebeden terimler ihmal edilir ve açının
küçüklüğü göz önüne alınır,

$$T \cdot \sin \frac{d\theta}{2} \approx \frac{dT}{2}, \quad dT \cdot \sin \frac{d\theta}{2} = \text{ihmal}$$

$$T \cdot \frac{dT}{2} + T \cdot \frac{dT}{2} = N$$

$$T \cdot dT = N$$

• Yatay kuvvetlerin denge denklemi,

Kayma olmaması için,

$$(T+dT) \cdot \cos \frac{d\theta}{2} \leq F + T \cdot \cos \frac{d\theta}{2}$$

olmalıdır.

$$\cos \frac{d\theta}{2} \approx 1$$

$$T \cdot \cos \frac{d\theta}{2} + dT \cdot \cos \frac{d\theta}{2} \leq \mu \cdot N + T \cdot \cos \frac{d\theta}{2} \quad -2-2$$

$$dT \leq \mu N$$

bulunur. $T \cdot d\theta = N$ ile iki denklemi taraf tarafa bölersek,

$$\frac{dT}{T \cdot d\theta} \leq \frac{\mu N}{N}$$

$$\frac{dT}{T} \leq \mu \cdot d\theta \rightarrow \int_{T_2}^{T_1} \frac{dT}{T} \leq \mu \int_0^{\theta} d\theta$$

$$\ln \frac{T_1}{T_2} \leq \mu \cdot \theta \rightarrow \frac{T_1}{T_2} \leq e^{\mu \theta}$$

$$\underline{\underline{T_1 \leq T_2 \cdot e^{\mu \theta}}}$$

elde edilir.

Yani, hiçbir halat kayma riski olmadan halatın tamburla beraber çalışmasında olması gereken koşuldur.

Genel olarak statik yüklerin oranı T_1/T_2 nin

$$\left(\frac{T_1}{T_2} \right)_{\text{statik}} < 1,5$$

olması istenir.

Dinamik olarak,

$$\left(\frac{T_1}{T_2} \right)_{\text{dinamik}} < 2$$

ise, halat kayma riski yok demektir.

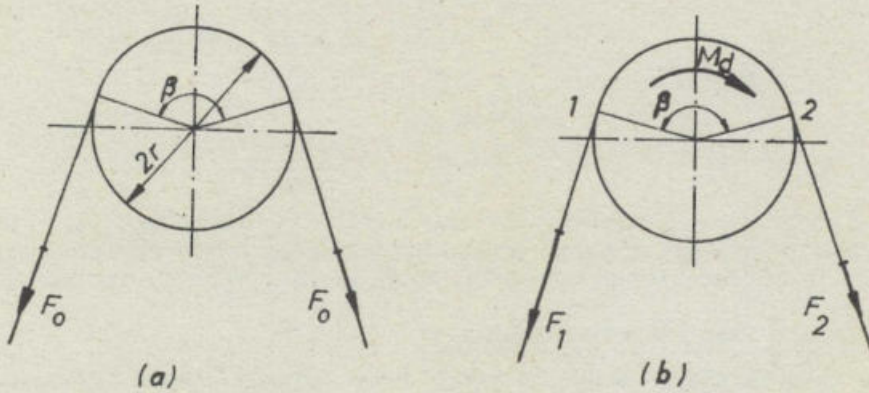
Not: Genel olarak, bir halatın taşıma kapasitesinin (Kapasite) tahmininde, halatın etrafındaki kuvvetlerin oranı T_1/T_2 (genel olarak) $T_1/T_2 < 1,5$ olarak alınmalıdır. Ayrıca TAS (Technische Arbeitswissenschaften an Schacht und Schwingförderrichtungen) Sayfa 3/23 ye bakınız.

2. KAYIŞ-KASNAK MEKANİZMALARINDA KUVVET VE HIZ DURUMU

2.1. Sürtünme bağı ile güç ve hareket iletimi

Düz kayışların ve V-kayışlarının kullanıldığı mekanizmalarda kasnak ile kayış arasındaki bağ sürtünme bağıdır.

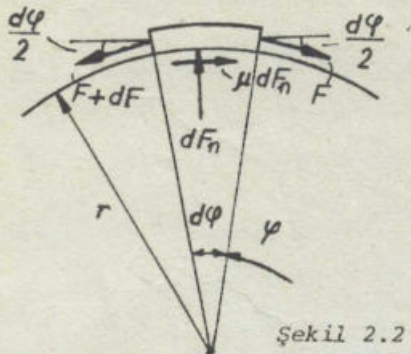
Dönebilme serbestliğine sahip bir kasnak üzerindeki kayışın kollarına bir germe kuvveti uygulandığında kasnağa bir döndürme momenti etkimezken kayış kollarındaki kuvvetler birbirine eşittir (Şekil 2.1 a). Bu kuvvet F ile gösterilsin. Kasnağa bir döndürme momenti etkidiğinde kayış kollarındaki gerilmeler bir kolda artacak diğerinde ise azalacaktır (Şekil 2.1 b). Bu durumda kayış kol kuvvetleri F_1 ve F_2 ile gösterilirse, kayışın kasnak üzerine sarılı olan kısımdaki kuvvet, 1 ile 2 kesitleri arasında azalıp F_1 den F_2 ye düşecektir. Denge şartından



Şekil 2.1

$$M_d = (F_1 - F_2) \cdot r = F_u \cdot r \quad (2.1)$$

yazılabilir. $F_1 - F_2$ farkı F ile gösterilir ve buna faydalı kuvvet denir. Bu eşitlik tek başına kol kuvvetlerinin bulunması için yeterli değildir. İkinci bir bağıntıya daha ihtiyaç vardır. Kayış ile kasnak arasındaki sürtünmeyi de dikkate almak gerekir. Çevrede herhangi bir noktada $r \cdot d\phi$ uzunluğunda sonsuz küçük bir kayış parçası ile kasnak arasındaki normal kuvvet (Şekil 2.2)



Şekil 2.2

$$dF_n = (F + dF) \frac{d\phi}{2} + F \cdot \frac{d\phi}{2} \approx F \cdot d\phi$$

dir. Bu normal kuvvetin doğurduğu sürtünme kuvveti $\mu \cdot dF_n = \mu \cdot F \cdot d\phi$ olacaktır. Kayışın kasnak üzerinde blok halinde kaymaması için bu sürtünme kuvveti, teğetsel dF kuvvetinden büyük veya ona eşit olmalıdır.

$$dF \leq \mu F d\phi$$

$$\frac{dF}{F} \leq \mu \cdot d\phi$$

$$\int_{F_2}^{F_1} \frac{dF}{F} \leq \int_0^{\beta} \mu \cdot d\phi$$

olur. Sürtünme katsayısının tüm temas yayı boyunca sabit olduğu kabul edilirse

$$\ln \frac{F_1}{F_2} \leq \mu \beta$$

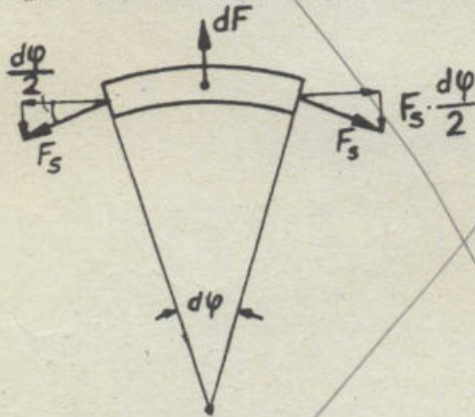
veya

$$\frac{F_1}{F_2} \leq e^{\mu\beta} \quad (2.2)$$

bulunur. 2.1 ve 2.2 bağıntıları ile kol kuvvetleri hesaplanabilir. Burada β kayış ile kasnağın temas yayını gören merkez açıdır ve bu açıya-sarılma açısı adı verilir. 2.2 Formülüne literatürde Eytelwein, Grashof veya Euler formülü adı verilir.

2.2 Merkezkaç kuvvetlerin etkisi

Kasnağa sarıldığı andan itibaren dönme hareketi yapan kayışa merkezkaç kuvvetler de etkir. Bu kuvvet, kayışı kasnak üzerinden kaldırmaya çalışarak sürtünme bağıını zayıflatır ve güç iletimi bakımından istenmeyen bir durum ortaya çıkarır.



Şekil 2.3

Kasnak çevresinde, $r \cdot d\phi$ uzunluğundaki sonsuz küçük kayış parçasına gelen merkezkaç kuvvet dF ve merkezkaç etkiden dolayı kayışta ortaya çıkan kuvvet F_s olsun. $r \cdot d\phi$ uzunluğundaki kayışın kütlesi dm olduğuna göre

$$dm = d\phi \cdot r \cdot A \cdot \frac{\gamma}{g}$$

$$dF = dm \cdot r \cdot \omega^2$$

$$dF = A \cdot \frac{\gamma}{g} \cdot r^2 \cdot \omega^2 \cdot d\phi = A \cdot \frac{\gamma}{g} \cdot V^2 \cdot d\phi$$

dir. Burada A kayışın kesit alanı, γ özgül ağırlığı V çevre hızıdır. Kayış elemanının denge denkleminde

$$F_s \cdot \frac{d\phi}{2} + F_s \cdot \frac{d\phi}{2} = F_s \cdot d\phi = dF$$

elde edilir. dF yerine yukarıda bulunan değeri konularak

200° için,

$$\mu \theta = 0,2 \cdot \left(\frac{200^\circ}{180^\circ} \cdot \pi \right) = 0,698$$

$$\mu \theta = 0,698$$

$$e = e = 2,01$$

Görüldüğü gibi $e^{\mu \theta}$ nin sayısal değeri daima 1 den büyüktür. Bu bilgi bize, halat çekme kuvvetlerinin (T_1 ve T_2) büyüklüklerini mukayese yapmamıza olanak verir. Örnek olarak, temas açısı $\theta = 210^\circ$ ve sürtünme katsayısı $\mu = 0,2$ olsun.

$$e^{\mu \theta} = e^{0,2 \cdot \left(\frac{210^\circ}{180^\circ} \cdot \pi \right)} = 2,08$$

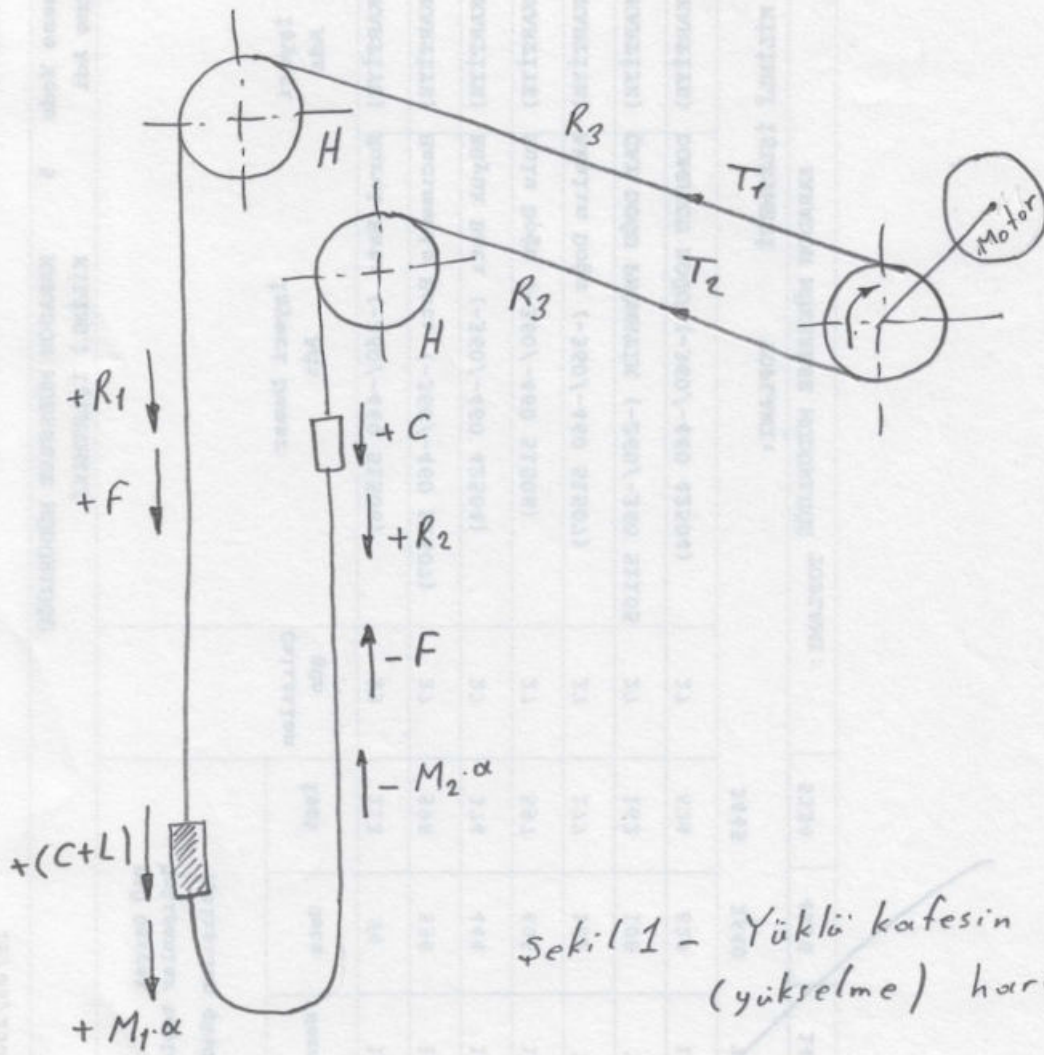
$\frac{T_1}{T_2}$, halat çekme kuvvetleri oranı 2,08 den büyük ise, yukarıdaki örneğe göre olan şartlarda halat kayma riski meydana gelecektir.

KOEFİE ihraç sistemlerinin tasarımında göz önüne alınması gereken 3 farklı hesap yöntemini teker teker ele alalım.

A- 1. Yöntem :

Tasarımda, özellikle mücade edilen max. artan ve azalan ivmelerin tam değerini araştırmak ve çalışma koşullarında sınır değerleri aşıp aşmadığını saptamaktır. Yüklü kafesin konumuna göre irdeliyelim.

1- Yüklü kafesin yukarı çekilme hareketine başlaması (Şekil 1) ;



Şekil 1 - Yüklü kafesin yukarı çekilme (yükselme) hareketine başlaması.

L - Faydalı yük $[N]$

C - Kafes + Koşum takımı + Boş ocak arabalarının toplam ağırlığı $[N]$

R_1 - Yüklü taraftaki ihraç halat ağırlığı $[N]$

R_2 - Yüksüz taraftaki ihraç halat ağırlığı $[N]$

R_3 - Koepe ihraç tamburu ile sövalman moleti arasındaki halat ağırlığı $[N]$

H - Her bir moletin halat ortasına (merkezine) indirgenmiş ağırlığı $[N]$

M - Kütle $(= \text{Ağırlık} / g ; g = 9,81 \text{ m/s}^2)$

Bazı yükleri birarada gösterelim;

$$G = H + R_3$$

$$P_1 = C + L + R_1$$

$$P_2 = C + R_2$$

P_1 - Yüklü (yükselen) halat yükü

P_2 - Yüksüz (alçalan) halat yükü

Yüklü kafesin yukarı doğru harekete geçmesinde, hareket eden kütleler :

$$M_1 = (R_1 + C + L + H + R_3) / f$$

ve

$$M_2 = (R_2 + C + H + R_3) / f$$

veya,

$$M_1 = \frac{P_1}{f} + \frac{G}{f}$$

$$M_2 = \frac{P_2}{f} + \frac{G}{f}$$

şeklinde yazılır.

α - Artan ivme [m/s^2]

r - Azalan ivme [m/s^2]

f - Sürtünme kuvveti (Hareket yönünün tersinde olup, sürtünen yüzeyler arasında - örneğin; halat veya profil çidatlı yüzeyler arasındaki gibi - oluşan bir kuvvettir [N])

T_1 - Yüklü (yükselen) halat çekme kuvveti [N]

T_2 - Yüksüz (alçalan) halat çekme kuvveti [N]

olmak üzere,

$$T_1 = R_1 + C + L + F + M_1 \cdot \alpha$$

$$T_2 = R_2 + C + F - M_2 \cdot \alpha$$

yazılabilir.

Not

• Ağırlık bir kuvvet olup, bir cisme etkiyen yerçekimi kuvvetini belirtir. $(W = m \cdot g \quad \frac{m}{kg} \mid \frac{g}{m/s^2} \mid \frac{W}{N})$

• $M_1 \cdot \alpha$, sistemin ivmelenmesinden dolayı oluşan kuvvettir (S: 6/1)

• Sistemin hızındaki değişimle ilgili işe "ivme işi" adı verilir. Sistem hızlanıyorsa ivme işi artıdır. Sistem yavaşlıyorsa ivme işi eksidir.

$$T_1 = P_1 + F + \left(\frac{P_1}{g} + \frac{G}{g} \right) \cdot \alpha$$

$$T_1 = P_1 + (P_1 + G) \frac{\alpha}{g} + F \tag{2}$$

$$T_2 = P_2 - F - \left(\frac{P_2}{g} + \frac{G}{g} \right) \cdot \alpha$$

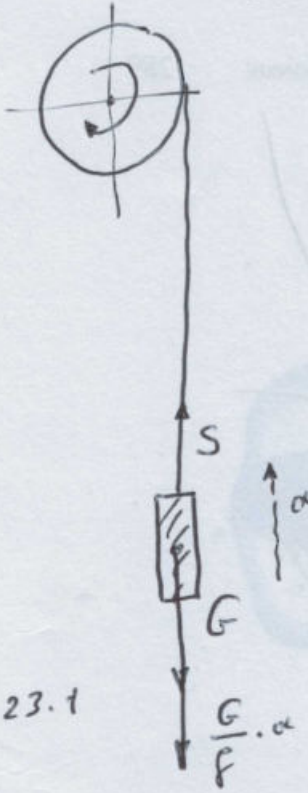
$$T_2 = P_2 - (P_2 + G) \frac{\alpha}{g} - F \tag{3}$$

Halat, halat yavaşlarken kaymaya başladığı an,

$$\frac{T_1}{T_2} = e^{\mu \theta}$$

dur. T_1 ve T_2 değerleri yerine konursa,

$$e^{\mu \theta} = \frac{P_1 + (P_1 + G) \frac{\alpha}{g} + F}{P_2 - (P_2 + G) \frac{\alpha}{g} - F}$$



Şekil-23.1

İvmeli hareketlerden doğan gerilme ve şekil değiştirmeye ait ilk misal, madde 11.10 da ele alınan dönen çember problemi idi. Aynı sınıftan diğer bir kaç misali daha burada inceleyelim.

Misal 1: Şekil 23.1 de açıklığı G olan bir asansör aşağıya doğru v_0 hızı ile inerken frenleniyor. Bu esnada kabloda doğacak S kuvve-

tinin hesabı isteniyor.

Fren yüzünden hareketin ivmesi α olursa D'Alembert prensibinden ötürü kablo, bir de $\alpha \cdot \frac{G}{f}$ ile gösterilen eylemsizlik kuvvetini karşılamak zorunda olduğundan

$$S_{\text{dinamik}} = G + G \cdot \frac{\alpha}{f} = G \left(1 + \frac{\alpha}{f} \right) \text{ ve}$$

$\psi = 1 + \frac{\alpha}{f}$ bulunur. Burada f yerçekimi ivmesini ve ψ dinamik çarpanı gösterir. Eğer frenin etkisiyle üniform v_0 hızı t_0 süresi içinde sıfıra düşürülmüş ise, sabit olduğu kabul edilen ivme ve ψ nin değeri:

$$\alpha = v_0 / t_0 \text{ ve } \psi = 1 + v_0 / (t_0 \cdot f) \text{ olmak gerekir.}$$

Fren süresi azaldıkça, dinamik çarpanın artacağına dikkat etmelidir.

$$e^{\mu\theta} = \frac{P_1 \cdot f + (P_1 + G) \cdot \alpha + F \cdot f}{P_2 \cdot f - (P_2 + G) \cdot \alpha - F \cdot f} \quad (4)$$

elde edilir. Bu ifadeden max. artan ivme değeri de aşağıda görüldüğü şekilde hesaplanır.

$$P_1 \cdot f + (P_1 + G) \cdot \alpha + F \cdot f = e^{\mu\theta} [P_2 \cdot f - (P_2 + G) \cdot \alpha - F \cdot f]$$

$$[(P_1 + G) + e^{\mu\theta} (P_2 + G)] \cdot \alpha = [e^{\mu\theta} (P_2 - F) - (P_1 + F)] \cdot f$$

$$\alpha = \frac{e^{\mu\theta} (P_2 - F) - (P_1 + F)}{e^{\mu\theta} (P_2 + G) + (P_1 + G)} \cdot f \quad (5)$$

2- Yüklü kafes yukarı çekilirken kuyu başında frenlenmesi (Şekil 2);

T_1 ve T_2 halat çekme kuvvetlerini yazalım

$$T_1 = C + L + R_1 + F - M_1 \cdot r$$

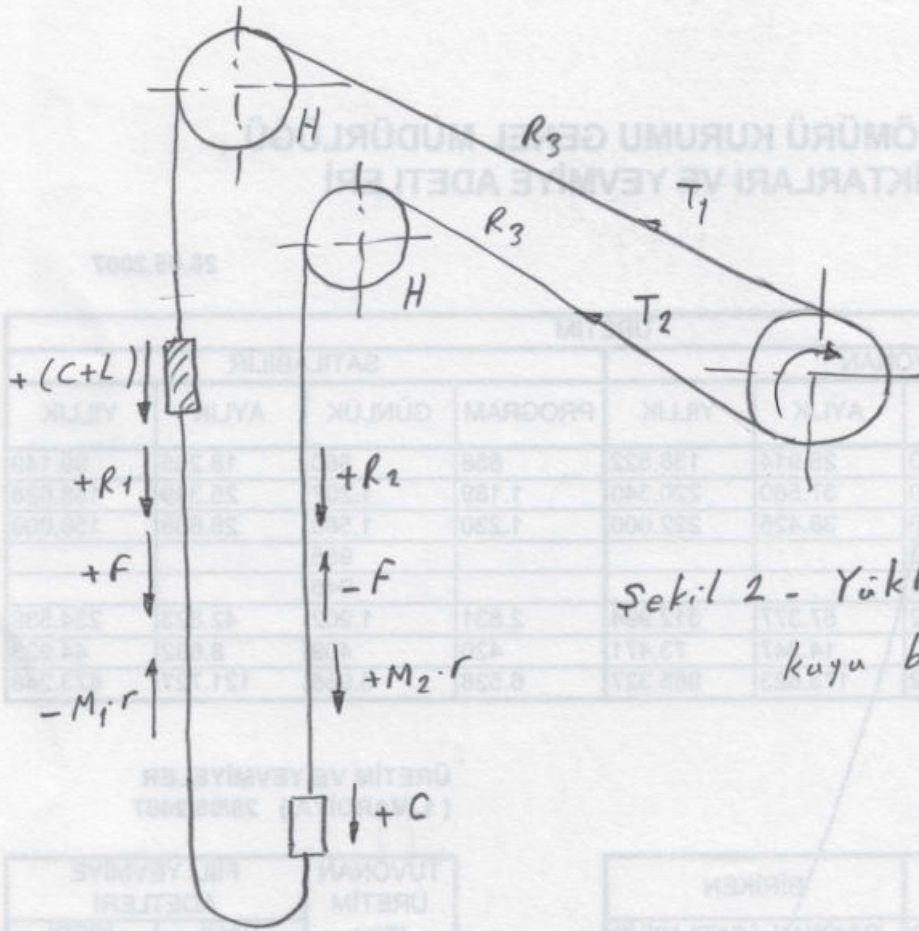
$$T_1 = P_1 + F - \left(\frac{P_1}{f} + \frac{G}{f} \right) \cdot r \quad (6)$$

$$T_1 = P_1 + F - (P_1 + G) \frac{r}{f}$$

$$T_2 = R_2 + C - F + M_2 \cdot r$$

$$T_2 = P_2 - F + (P_2 + G) \frac{r}{f} \quad (7)$$

Halat, halat yuvasında kaymaya başladığında



Şekil 2 - Yüklü kafes yukarı şekerken kuyu başında frenlenmesi.

$$\frac{T_2}{T_1} = e^{\mu\theta}$$

eşitliği gerçekleşir. Buna göre,

$$e^{\mu\theta} = \frac{P_2 - F + (P_2 + G) \frac{r}{f}}{P_1 + F - (P_1 + G) \frac{r}{f}}$$

$$\parallel e^{\mu\theta} = \frac{(P_2 - F) f + (P_2 + G) \cdot r}{(P_1 + F) f - (P_1 + G) \cdot r} \quad (8)$$

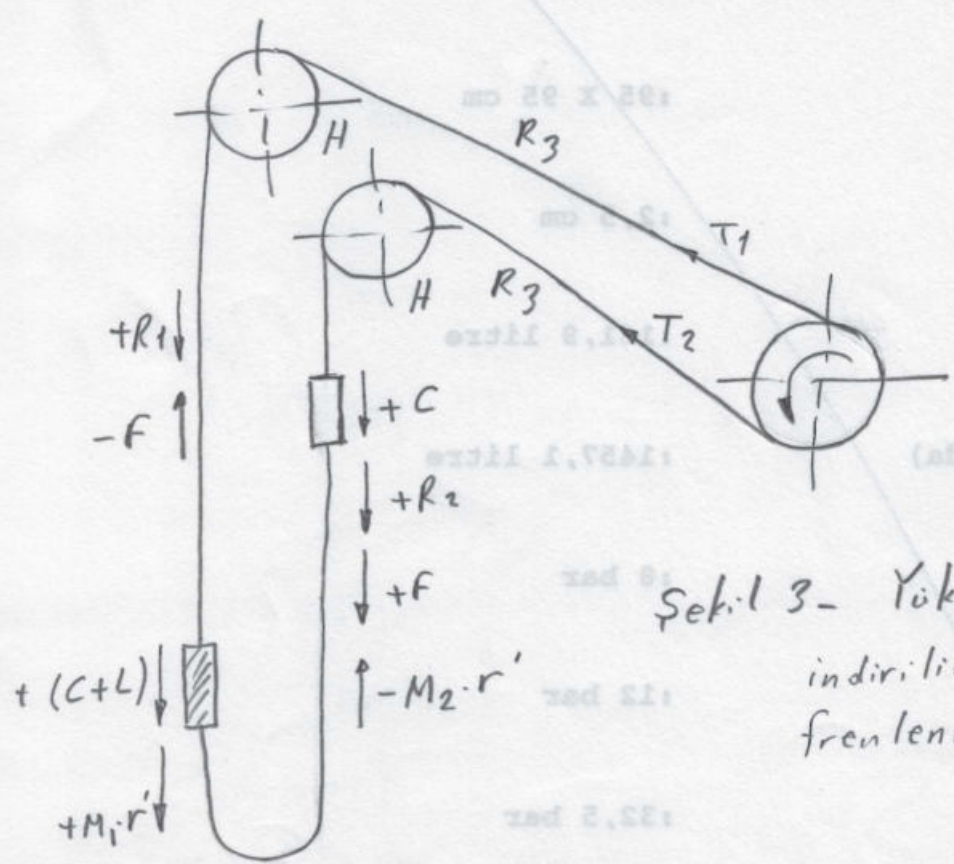
elde edilir. Bu ifadeden müsaade edilen max. azalan ivme değerinde aşağıdaki şekilde hesaplanır.

$$(P_2 - F) f + (P_2 + G) \cdot r = e^{\mu\theta} [(P_1 + F) f - (P_1 + G) r]$$

$$[(P_2 + G) + e^{\mu\theta} (P_1 + G)] r = [e^{\mu\theta} (P_1 + F) - (P_2 - F)] \cdot f$$

$$r = \frac{e^{\mu\theta} (P_1 + F) - (P_2 - F)}{e^{\mu\theta} (P_1 + G) + (P_2 + G)} \cdot f \quad \text{--- (9)}$$

3 - Yüklü kafes aşağı indirilirken kuyu dibinde frenlenmesi. (Şekil 3);



Şekil 3 - Yüklü kafes aşağı indirilirken kuyu dibinde frenlenmesi.

Şekil 3'e göre aşağıdaki eşitlikler yazılabilir,

$$T_1 = C + L + R_1 - F + M_1 \cdot r' = P_1 - F + \left(\frac{P_1}{f} + \frac{G}{f}\right) \cdot r'$$

$$T_1 = P_1 - F + (P_1 + G) \frac{r'}{f} \quad \text{--- (10)}$$

$$T_2 = C + R_2 + F - M_2 \cdot r' = P_2 + F - \left(\frac{P_2}{f} + \frac{G}{f}\right) r'$$

$$T_2 = P_2 + F - (P_2 + G) \frac{r'}{f} \quad (11)$$

$$T_1 \leq T_2 e^{\mu \theta}$$

$$e^{\mu \theta} = \frac{P_1 - F + (P_1 + G) \frac{r'}{f}}{P_2 + F - (P_2 + G) \frac{r'}{f}}$$

$$e^{\mu \theta} = \frac{(P_1 - F) \cdot f + (P_1 + G) \cdot r'}{(P_2 + F) \cdot f - (P_2 + G) \cdot r'} \quad (12)$$

$$(P_1 - F) \cdot f + (P_1 + G) \cdot r' = e^{\mu \theta} [(P_2 + F) \cdot f - (P_2 + G) \cdot r']$$

$$[(P_1 + G) + e^{\mu \theta} (P_2 + G)] r' = [e^{\mu \theta} (P_2 + F) - (P_1 - F)] \cdot f$$

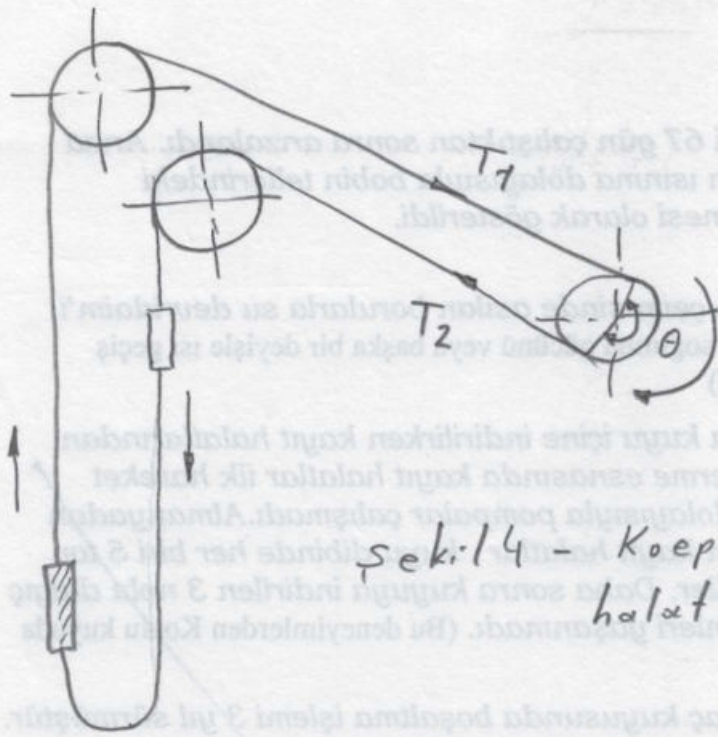
$$r' = \frac{e^{\mu \theta} (P_2 + F) - (P_1 - F)}{e^{\mu \theta} (P_2 + G) + (P_1 + G)} \cdot f \quad (13)$$

Azalan ivmelerin hesaplanmasındaki F sürtünme kuvveti genellikle pozandı edilir. Böylelikle frenlemeye yardımcı ikinci bir emniyet faktörünüde göz önüne almış oluruz.

B- 2. Yöntem :

Tasarımda, halat- halat yuvası arasındaki kayma riskine (olasılığın) karşı emniyet faktörünün saptanmasıdır.

Şekil 4 ü göz önüne alarak, kullandığımız sembollerini yeniden hatırlayalım.



Şekil 4 - Koepe ihraç sistemi ve halat kuvvetleri

P_1 - Faydalı yükü taşıyan halattaki; halat yükü

$$P_1 = C + L + R_1 \quad (\text{sayfa: 5})$$

P_2 - Yüksüz halattaki; halat yükü

$$P_2 = C + R_2 \quad (\text{sayfa: 5})$$

T_1 - P_1 , artan (veya azalan) ivme ve sürtünme den dolayı halattaki gerçek çekme kuvveti

T_2 - P_2 , artan veya azalan ivme ve sürtünme den dolayı halattaki çekme kuvveti

$$T_1 \leq T_2 \cdot e^{\mu \theta} \quad (\text{Eşitlik 1})$$

koşulu sağlandığı takdirde halat kayma riski veya olasılığı yoktur. Eğer,

S - Gerçek hareket kuvvetini ifade ederse

$$S = T_1 - T_2$$

olur.

S_{max} - Kayma riskini oluşturmeyen max. hareket kuvveti.

$S_{max} =$ Faydalı yükü taşıyan halat için müsaade edilen max. çekme kuvveti - Yüksüz halattaki çekme kuvveti.

$$S_{max} = T_{1max} - T_2$$

$$S_{max} = T_2 \cdot e^{\mu\theta} - T_2$$

diğer taraftan, halat kayma riskine karşı emniyet faktörü $(\mu\theta)$

$$EMNİYET FAKTÖRÜ = \frac{S_{max}}{S} = \frac{T_2 \cdot e^{\mu\theta} - T_2}{T_1 - T_2}$$

$$EMNİYET FAKTÖRÜ = \frac{T_2 (e^{\mu\theta} - 1)}{T_1 - T_2} \quad (14)$$

bulunur.

Şimdi, yüklü kafesin konumuna göre emniyet faktörünü irdeliyelim.

1 - Yüklü kafesin yukarı çekilme hareketine başlanması (Şekil 1);

Hesapladığımız T_1 ve T_2 değerlerini yeniden yazalım;

$$T_1 = P_1 + (P_1 + G) \frac{a}{f} + F \quad (\text{Eşitlik 2})$$

$$T_2 = P_2 - (P_2 + G) \frac{a}{f} - F \quad (\text{Eşitlik 3})$$

$$T_1 = P_1 \left(1 + \frac{\alpha}{f}\right) + G \frac{\alpha}{f} + F$$

P_1 ve G eşitlikleri yerlerine konursa

$$\| \underline{T_1 = (C + L + R_1) \left(1 + \frac{\alpha}{f}\right) + (H + R_3) \frac{\alpha}{f} + F} \quad (15)$$

$$T_2 = P_2 \left(1 - \frac{\alpha}{f}\right) - G \frac{\alpha}{f} - F$$

P_2 ve G eşitlikleri ile,

$$\| \underline{T_2 = (C + R_2) \left(1 - \frac{\alpha}{f}\right) - (H + R_3) \frac{\alpha}{f} - F} \quad (16)$$

elde edilir. Dolayısıyla emniyet faktörü,

$$\text{EMNİYET FAKTÖRÜ} = \frac{T_2 (e^{\mu\theta} - 1)}{T_1 - T_2} \quad (\text{Eşitlik 14})$$

formülünden rahatlıkla hesaplanabilir.

2. Yüklü kafes yukarı çekilirken kuyu başında frenlenmesi (Şekil 2);

$$T_1 = P_1 + F - (P_1 + G) \frac{r}{f} \quad (\text{Eşitlik 6})$$

$$T_1 = P_1 \left(1 - \frac{r}{f}\right) - G \frac{r}{f} + F$$

$$\| \underline{T_1 = (C + L + R_1) \left(1 - \frac{r}{f}\right) - (H + R_3) \frac{r}{f} + F} \quad (17)$$

$$T_2 = P_2 - F + (P_2 + G) \frac{r}{f} \quad (\text{Eşitlik 7})$$

$$T_2 = P_2 \left(1 + \frac{r}{f}\right) + G \frac{r}{f} - F$$

$$\parallel T_2 = (C + R_2) \left(1 + \frac{r}{f}\right) + (H + R_3) \frac{r}{f} - F \quad \text{--- (18)}$$

ifadeleri elde edilir. Eğer,

$$T_2 \leq T_1 \cdot e^{\mu \theta}$$

koşulu sağlanıyorsa kayma riski (olasılığı) yoktur.

Bu durumda,

$$S = T_2 - T_1$$

$$S_{max} = T_{2max} - T_1$$

$$S_{max} = T_1 e^{\mu \theta} - T_1 = T_1 (e^{\mu \theta} - 1)$$

$$\parallel \text{EMNİYET FAKTÖRÜ} = \frac{S_{max}}{S} = \frac{T_1 (e^{\mu \theta} - 1)}{T_2 - T_1} \quad \text{--- (19)}$$

olur ki, hesaplaması artık çok kolaydır.

3 - Yüklü kafes aşağı indirilirken kuyu dibinde frenlenmesi. (Şekil 3),

$$T_1 = P_1 - F + (P_1 + G) \frac{r}{f} \quad (\text{Eşitlik 10})$$

$$T_1 = P_1 \left(1 + \frac{r}{f}\right) + G \frac{r}{f} - F$$

$$\parallel T_1 = (C + L + R_1) \left(1 + \frac{r}{f}\right) + (H + R_3) \cdot \frac{r}{f} - F \quad \text{--- (20)}$$

$$T_2 = P_2 + F - (P_2 + G) \frac{r}{f} \quad (\text{Eşitlik 11})$$

$$T_2 = P_2 \left(1 - \frac{r}{f}\right) - G \cdot \frac{r}{f} + F$$

$$T_2 = (c + R_2) \left(1 - \frac{r}{f}\right) - (H + R_3) \frac{r}{f} + F \quad \text{--- (21)}$$

$$T_1 \leq T_2 \cdot e^{\mu \theta}$$

$$S = T_1 - T_2$$

$$S_{max.} = T_{1max.} - T_2$$

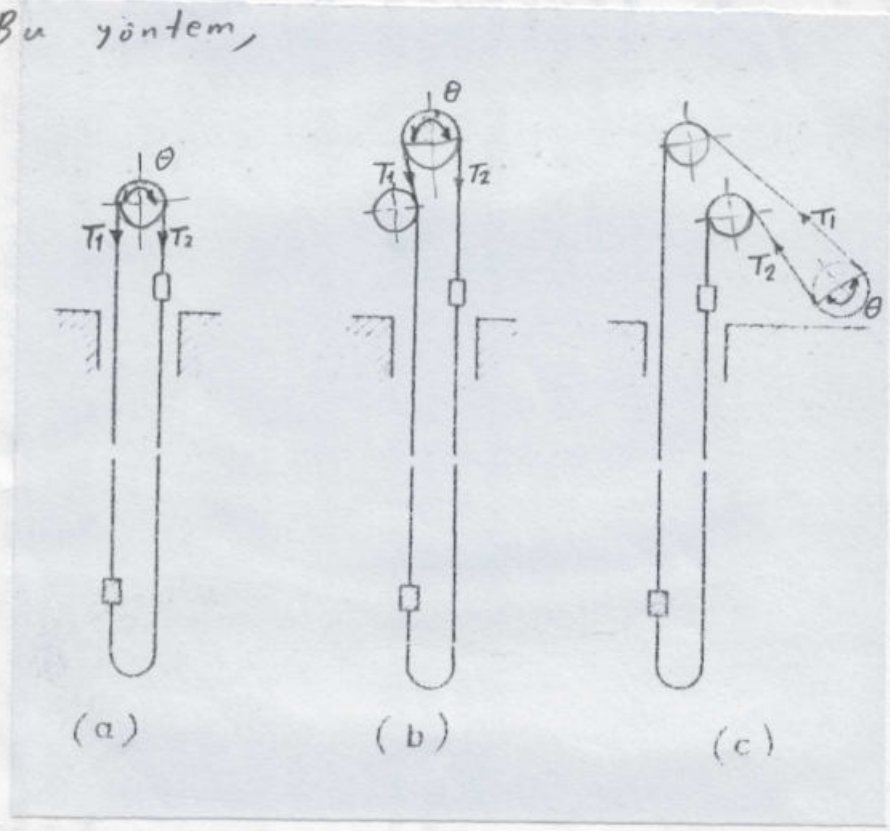
$$S_{max.} = T_2 \cdot e^{\mu \theta} - T_2 = T_2 (e^{\mu \theta} - 1)$$

$$\text{EMNİYET FAKTÖRÜ} = \frac{S_{max.}}{S} = \frac{T_2 (e^{\mu \theta} - 1)}{T_1 - T_2} \quad \text{--- (22)}$$

olarak elde edilir.

C - 3. Yöntem :

Bu yöntem,



Şekil 5 - Çeşitli Koepe ihraç sistemleri ve fabrik tanburları üzerinde oluşan halat kuvvetleri.

Şekil 5 te gösterilen, eşitli Koepe ihraç sistemleri nin pürününe alınması ile ivme değerlerinin diğer bir analiz yöntemi'dir.

T_1, T_2 - Halatlardaki "STATİK" çekme kuvvetleri

T_1', T_2' - Halatlardaki "DİNAMİK" çekme kuvvetleri

b_A - Artan ivme (Yüklü halatın b_A artan ivmesi ile harekete geçmesi)

b_B - Azalan ivme (Yüklü halatın b_B azalan ivmesi ile frenlemeye geçmesi)

• Yüklü kafesin yukarı çekilme (yükselme) hareketine başlamasında :

$$T_1' = T_1 + \left(\frac{T_1}{\rho}\right) \cdot b_A \quad (23)$$

$$T_2' = T_2 - \left(\frac{T_2}{\rho}\right) \cdot b_A \quad (24)$$

• Azaalan yükle frenleme yapıldığında :

$$T_1' = T_1 + \left(\frac{T_1}{\rho}\right) \cdot b_B \quad (25)$$

$$T_2' = T_2 - \left(\frac{T_2}{\rho}\right) \cdot b_B \quad (26)$$

eşitlikleri yazılabilir. Dikkat edilirse, her iki halde de eşitlikler birbirinin aynısıdır ve yalnız harekete geçerken artan ivme (b_A) ve frenleme esnasında azalan ivmenin (b_B) sayısal değerleri kadar fark gösterirler.

$T_1' \leq T_2' \cdot e^{\mu\theta}$ formülünde, halatların statik çekme kuvvetlerine (T_1, T_2) ait değerler yerlerine konulursa,

$$\left[T_1 + \left(\frac{T_1}{f} \right) \cdot b_A \right] \leq \left[T_2 - \left(\frac{T_2}{f} \right) \cdot b_A \right] \cdot e^{\mu\theta} \quad (27)$$

ifadesi elde edilir.

Bu denklem sadece Şekil 5-a da görülen sisteme uygulanabilir ki bu sistem, ihraç kulesinde kılavuz makaraların OLMAMASI halidir.

Şekil 5-b de olduğu gibi kılavuz makaralar ihraç kulesinde ve Şekil 5-c deki gibi moletler şövalmanın tepesinde (üstünde) kullanılırsa halatlardaki dinamik çekme kuvvetlerinin hesaplanmasında bu kılavuz makara ve şövalman moletlerinin kütleleride gözönüne alınmalıdır.

S_1 - Yüklü halat tarafındaki kılavuz makara veya şövalman molet ağırlığı.

S_2 - Yüksüz halat tarafındaki kılavuz makara veya şövalman molet ağırlığı.

olmak üzere, artan ve azalan ivmelerle hareket anında ki kütleler :

$\frac{T_1 + S_1}{f}$ Yüklü halat (yükselen kafes) hali,

$\frac{T_2 + S_2}{f}$ Yüksüz halat (alçalan kafes) hali,

olur.

Bu değerler (27) denkleminde yerine konursa, - 18-

$$\left[T_1 + \left(\frac{T_1 + S_1}{f} \right) \cdot b_A \right] \leq \left[T_2 - \left(\frac{T_2 + S_2}{f} \right) b_A \right] \cdot e^{\mu \theta}$$

$$\left[\left(\frac{T_1 + S_1}{f} \right) + \left(\frac{T_2 + S_2}{f} \right) \cdot e^{\mu \theta} \right] \cdot b_A \leq (T_2 \cdot e^{\mu \theta} - T_1)$$

$$b_A \leq f \cdot \frac{T_2 e^{\mu \theta} - T_1}{(T_1 + S_1) + (T_2 + S_2) e^{\mu \theta}}$$

$$\| b_A \leq f \cdot \frac{\frac{T_2}{T_1} \cdot e^{\mu \theta} - 1}{\frac{T_2}{T_1} e^{\mu \theta} + 1 + \frac{S_2 e^{\mu \theta} + S_1}{T_1}} \quad (28)$$

genel denklem elde edilmiş olur ve bütün hallerinde kapsamına alır.

Bu genel denklemi, eşitli Koepe ihraç sistemlerine uygulayalım.

1- Kılavuz makaraların olmaması hali:

$$\left. \begin{array}{l} S_1 = 0 \\ S_2 = 0 \end{array} \right\} \text{(ihraç kulesinde kılavuz makaralar YOK)}$$

$$\| b_A \leq f \cdot \frac{\frac{T_2}{T_1} e^{\mu \theta} - 1}{\frac{T_2}{T_1} \cdot e^{\mu \theta} + 1} \quad (29)$$

denklem 27 in aynısı bulunur.

2- Yalnız bir kılavuz makarının olması hali:

-19-

a) Yüklü halat tarafında;

$$S_2 = 0$$

ile,

$$\| \quad b_A \leq f \cdot \frac{\frac{T_2}{T_1} e^{\mu\theta} - 1}{\frac{T_2}{T_1} e^{\mu\theta} + 1 + \frac{S_1}{T_1}} \quad (30)$$

elde edilir.

b) Yüksüz halat tarafında,

$$S_1 = 0$$

denklemiyle,

$$\| \quad b_A \leq f \cdot \frac{\frac{T_2}{T_1} e^{\mu\theta} - 1}{\frac{T_2}{T_1} e^{\mu\theta} + 1 + \frac{S_2}{T_1} e^{\mu\theta}} \quad (31)$$

denklemi bulunur.

Not Genellikle olduğu gibi, S

$$S_1 = S_2 = S \text{ dir.}$$

Şimdi, elde edilen bilgiler yardımıyla yine, Mehmet Güney'den alınan Koepe ihrac sistemi ile ilgili bir örneğin gerçek kabülü varsayımıyla, sistem üzerinde bazı hesaplamaları yapalım.

Sistemin şeması ve sisteme ait değerler aşağıda verilmiştir.

- ihrac kapasitesi - - - - - 544 tonf/saat (=544000kgf/saat)
- Kuyu derinliđi - - - - - 1050 m
- Faydalı yük (kömür) - - - - - 14 tonf/sefer
- Kafes + Halat koşum takımı, v.s. ađırlıklar - - - - - 13,3 tonf
- Boş ocak arabası ađırlıđı - - - - - 1,6 tonf
- Ocak arabası kapasitesi - - - - - 3,5 tonf
- Kafes, kat sayısı - - - - - 2
- Kafes, ocak arabası kapasitesi - - - - - 4
- ihrac halat ıapı - - - - - 80mm
- ihrac halat ađırlıđı - - - - - 24,25 kgf/m
- Denge halat ađırlıđı - - - - - 24,25 kgf/m
- Koepe ihrac tambur ıapı - - - - - 7,50 m
- Şövalman molet ıapı - - - - - 7,56 m
- Koepe ihrac tambur ađırlıđı - - - - - 19,1 tonf
- Şövalman molet ađırlıđı - - - - - 4,4 tonf

Not. SI birimlerinde :

Kuvvet : $1N = 1kg \cdot m/s^2$
 $1kgf = 9,80665 N$

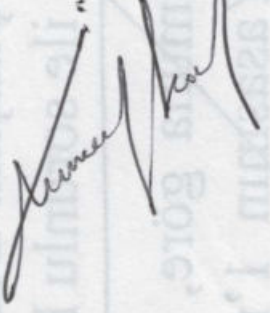
1- Koepe ihrac tamburu halat yuvası üzerindeki yüzey basıncı (Halat yuvası yüzey basıncı) ;

Yüzey basıncı değeri ile ilgili öneriler :

- Alman mühendisleri bu değeri, kordonlu halatlarda max. 20 kgf/cm² olarak önerirler

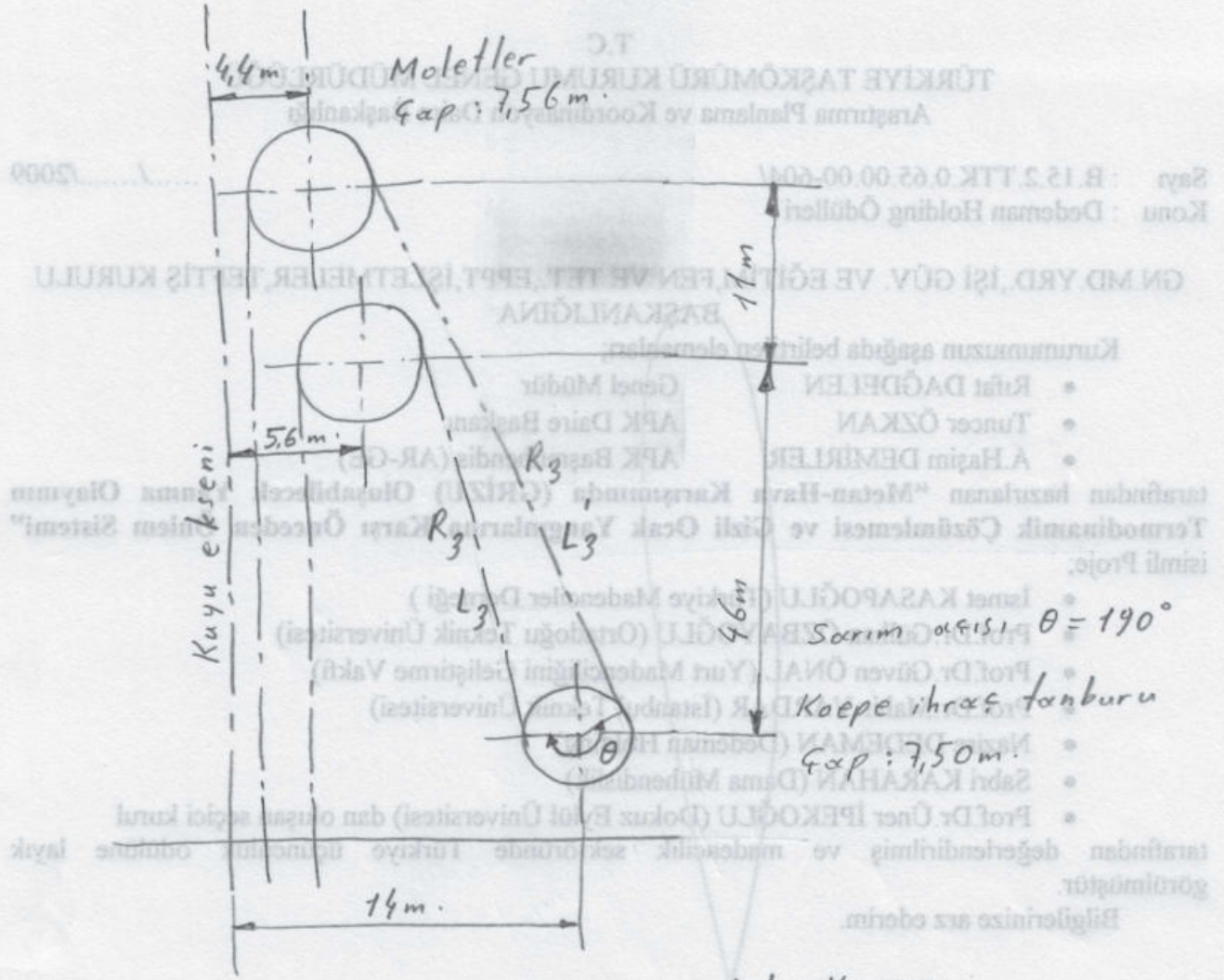
Koepe İhrac Sistemi

- II -



Ana Kaynak : Mad. Y. Müh. Mehmet GÜNEY
(Koepe İhrac Sistemi. EKi.)

(6) Adet.



Şekil 6. Örnek için, sematik Koepeler için ihraç sistemi

- Almanya ve Hollanda'da genellikle 10 ton f faydalı yük kapasiteli tesislerde 15 kp f/cm^2
- Belçika'da 300m derinlikten 12 ton f faydalı yük kapasiteli tesislerde 14 kp f/cm^2
- İsveç'te, açık halatlılarda max. 19 kp f/cm^2 olarak
- İngilterede, kordonlu halatlılarda $16...17,5 \text{ kp f/cm}^2$ olarak önerilen değerlerdir.
- kapalı halatlılarda 28 kp f/cm^2

Genel uygulama,

$$P_{\text{tanbur}} = 12,5 \dots 16 \text{ kpf/cm}^2$$

arasındadır.

Halat yuvası yüzey basıncını veren formül;

Her iki tarafta asılı toplam halat yükü

$$P_{\text{tanbur}} = \frac{\text{ihraç tanbur çapı} \cdot \text{Halat çapı}}{\dots}$$

$$P_{\text{tanbur}} = \frac{P_1 + P_2}{D \cdot d}$$

P_{tanbur}	P_1, P_2	D, d
kpf/cm ²	kpf,	cm
N/cm ²	N	

(32)

ki burada,

P_{tanbur} - Halat yuvası yüzey basıncı

P_1 - Yüklü halattaki halat yükü

P_2 - Yüksüz halattaki halat yükü

(Sayfa: 5)

D - Koepe ihraç tanbur çapı

d - ihraç halat çapı

Şövalman moletleri veya kılavuz makaraları üzerindeki halat yuvası yüzey basıncının da

$$P_{\text{em.molet, makara}} = 24 \text{ kpf/cm}^2$$

değerini aşmaması önerilir.

Bu basıncı veren formül;

$$P_{\text{molet, makara}} = \frac{2 \cdot P_1}{P_1 \cdot d} \quad \begin{array}{c|c|c} P_{\text{mol. mak}} & P_1 & D_1, d \\ \hline \text{kgf/cm}^2 & \text{kgf} & \text{cm} \\ \hline \text{N/cm}^2 & \text{N} & \end{array} \quad \begin{array}{l} - 23 - \\ (33) \end{array}$$

ki burada,

$P_{\text{molet, kil. mak.}}$ - Molet veya kılavuz makara üzerindeki halat yurvası yüzey basıncı

P_1 - Yüklü halattaki halat yükü (S:5)

D_1 - Şövalman moleti veya kılavuz makara çapı

d - ihraç halat çapı

Limitleşen basınç değerleri, "tanbur çapı / halat çapı" oranının 80'in altındaki değerlerinin kullanılmamasında bir sınır getirmiştir.

Şimdi, halat yurvası yüzey basıncını hesaplayalım.

$$\left. \begin{array}{l} P_1 = C + L + R_1 \\ P_2 = C + R_2 \end{array} \right\} (S:5)$$

C - Kafes + koşum takımı + boş ocak arabalarının toplam ağırlığı

$$C = \underbrace{1 \cdot 13300}_{1 \text{ Kafes}} + \underbrace{4 \cdot 1600}_{4 \text{ boş ocak arabası}} = 19700 \text{ kgf}$$

R_1 - Yüklü taraftaki ihraç halat ağırlığı

$$R_1 = \underbrace{1130 \text{ m}}_{\text{Halat uzunluğu}} \cdot 24,25 \text{ kgf/m} = 27402,5 \text{ kgf}$$

L - Faydalı yük

$$L = 14000 \text{ kgf}$$

R₂ - Yüksüz taraftaki ihraç halat ağırlığı

$$R_2 = 1130 \text{ m} \cdot 24,25 \text{ kgf/m} = 27402,5 \text{ kgf}$$

$$P_1 = 19700 + 14000 + 27402,5 = 61102,5 \text{ kgf}$$

$$P_2 = 19700 + 27402,5 = 47102,5 \text{ kgf}$$

$$\| \underline{P_1 + P_2} = 108205 \text{ kgf} \quad (\text{Her iki tarafta toplam asılı yük})$$

$$p_{\text{tanbur}} = \frac{P_1 + P_2}{D \cdot d} \quad (\text{Eşitlik 32})$$

$$p_{\text{tanbur}} = \frac{108205}{750 \cdot 8}$$

$$\| \underline{p_{\text{tanbur}}} \approx 18 \text{ kgf/cm}^2 \quad (\text{Sınır değerler; } S: 20, 21, 22)$$

2- T₁/T₂ halat sekme kuvvetleri oranı;

Temas veya sarım açısı

$$\theta = 190^\circ = \frac{190}{180} \cdot \pi \text{ radyan} = 3,316 \text{ radyan}$$

Sürtünme katsayısı : $\mu = 0,2$

$$\frac{T_1}{T_2} = e^{\mu \theta} \quad (\text{Eşitlik 1})$$

$$\frac{T_1}{T_2} = e^{0,2 \cdot 3,316} \rightarrow \underline{\underline{\frac{T_1}{T_2} \approx 1,94}}$$

3- Yüklü kafesin yukarı çekilme hareketine başlanması için mücadele edilen max. artan ivme; -25-

Max. artan ivme değerini;

$$\alpha = \frac{e^{\mu\theta} (P_2 - F) - (P_1 + F)}{e^{\mu\theta} (P_2 + G) + (P_1 + G)} \cdot g \quad (\text{Eşitlik 5})$$

şeklinde hesaplamıştık.

Toplam asılı yükleri özetliyelim;

	P_1	P_2
• 4 Kömür dolu ocak arabası (Faydalı yük)	4.3500 kpf	14000 kpf
• 4 Boş ocak arabası	4.1600 kpf	6400 kpf
• 1 Kafes + Korum takımı + v. s		13300 kpf
• 1130 m ihraç halatı	1130m.24,25 kpf/m	27402,5 kpf

Toplam asılı yükler: $61102,5 \text{ kpf}$ $47102,5 \text{ kpf}$

$$G = H + R_3 \quad (\text{Sayfa 4})$$

H - Şövalman molet ağırlığı

$$\| H = 4400 \text{ kpf}$$

R_3 - Koepe ihraç tamburu ile şövalman moleti arasındaki halat ağırlığı

Şekil 6 yı gözönüne alalım, yaklaşık olarak R_3 'e karşılık gelen halat uzunlukları;

$$L_3 = \sqrt{\left[\left(14 - \frac{7,50}{2} \right) - \left(5,6 + \frac{7,56}{2} \right) \right]^2 + 46^2} = \sqrt{0,87^2 + 46^2}$$

$$\| L_3 \approx 46 \text{ m.}$$

$$L_3' = \sqrt{\left[\left(14 + \frac{7,50}{2}\right) - \left(4,4 + \frac{7,56}{2}\right)\right]^2 + 46^2} = \sqrt{9,57^2 + 46^2} - 26 -$$

$$\| \underline{L_3' \approx 47m} \quad \text{Kabul} \quad (\text{Emniyetli olması için uzun boy alınmıştır})$$

$$R_3 = 47m \cdot 24,25 \text{ kpf/m}$$

$$\| \underline{R_3 \approx 1140 \text{ kpf}}$$

$$G = 4400 + 1140$$

$$\| \underline{G = 5540 \text{ kpf}}$$

F - Sürtünme kuvveti (Sayfa: 5)

$$F = \mu_m \cdot L$$

μ_m - Sürtünme katsayısı (sürtünen yüzeyler arasındaki)

$$\mu_m \approx 0,06 \quad (\text{Kabul})$$

L - Faydalı yük (= 14000 kpf kömür)

$$F = 0,06 \cdot 14000$$

$$\| \underline{F = 840 \text{ kpf}}$$

Artık max. artan ivmeyi hesaplayabiliriz,

$$\alpha_{\max.} = \frac{1,94 (47102,5 - 840) - (61102,5 + 840)}{1,94 (47102,5 + 5540) + (61102,5 + 5540)} \cdot 9,81$$

$$\| \underline{\alpha_{\max.} \approx 1,62 \text{ m/sn}^2}$$

4- Yüklü kafes yukarı çekilirken kuyu başın -27-
da (ihracın sonunda) frenlenmesi için müsaade edilen
max. azalan ivme;

$$r = \frac{e^{\mu\theta} (P_1 + F) - (P_2 - F)}{e^{\mu\theta} (P_1 + G) + (P_2 + G)} \cdot f \quad (\text{Eşitlik 9})$$

şeklinde idi. Yalnız azalan ivmenin hesaplanmasında
senellikle F sürtünme kuvveti sözardı edilir. Böylece
sürtünme frenlemeye yardımcı olduğundan bu bir emniyet
payı olarak düşünülür (5:10).

$$r = \frac{1,94 \cdot 61102,5 - 47102,5}{1,94 (61102,5 + 5540) + (47102,5 + 5540)} \cdot 9,81$$

$$\parallel r_{\text{moy}} = 3,85 \text{ m/sn}^2$$

5- Yüklü kafes aşağı indirilirken kuyu dibinde (ihracın
sonunda) frenlenmesi için müsaade edilen max.
azalan ivme;

$$r' = \frac{e^{\mu\theta} (P_2 + F) - (P_1 - F)}{e^{\mu\theta} (P_2 + G) + (P_1 + G)} \cdot f \quad (\text{Eşitlik 13})$$

Sürtünmenin ihmal edilmesi ile azalan ivme

$$r' = \frac{1,94 \cdot 47102,5 - 61102,5}{1,94 (47102,5 + 5540) + (61102,5 + 5540)} \cdot 9,81$$

$$\|r' = 1,76 \text{ m/sn}^2$$

olarak bulunur.

6- Hız - zaman ve artan ivme - zaman diyagramları;

Faydalı yük (kömür) : Her seferde 14 ton f
 ihraç kapasitesi : Her saatta 544 ton f

$$\| \text{Sefer sayısı / saat} = \frac{544}{14} \approx 39$$

Yani kafesin saatta 39 sefer yapması gerekir.

Bu durumda 1 sefer kaç saniyede tamamlanır ki

$$\| \frac{3600}{39} \approx 92,5 \text{ sn./sefer}$$

92,5 saniyede 1 sefer tamamlanıyor ki bunu "Fevrim zamanı" olarak tarifliyoruz

Fevrim zamanı = Manevra zamanı + ihraç zamanı
 olduğuna göre;

Ocak arabalarının manevra zamanı ;

- Kafesin 1. boş katına dolu arabaların (2Ad.) yüklenmesi (8 saniye)
- Kafes katının yer değişimi (4 saniye)
- Kafesin 2. boş katına dolu arabaların (2Ad.) yüklenmesi (8 saniye)

$$\begin{aligned} \text{Ocak arabalarının manevra zamanı} &= 8 + 4 + 8 \\ &= 20 \text{ saniye} \end{aligned}$$

Genellikle artan ve azalan ivme zamanları deneyimlere göre tespit edilir. İhraz sisteminde müsaade edilen max. hızda çalışmak üzere düzenlenir. Burada, max. hız 20 m/sn ve artan ivme 1 m/sn^2 alınmıştır ki bu müsaade edilen max. artan ivme değeri $1,62 \text{ m/sn}^2$ den (tahmin küçüktür. (S: 26).

Şimdi, kafesin ivme-zaman grafiğini amaç: önce hız-zaman grafiğini çizmeye çalışalım (Şekil 7).

• Olası (tahmini) toplam ivme (artan ve azalan) süresi,

$$\| \underline{t_{\text{toplam}} (= t_{OB})} = 30 \text{ sn (Kabül)}$$

$$\| \underline{OB} = 15 \text{ cm.}$$

• T noktasındaki hız;

$$a_{\text{artan}} = \frac{v_T}{t_{OB}} \rightarrow v_T = 1 \text{ m/sn}^2 \cdot 30 \text{ sn.}$$

$$\| \underline{v_T} = 30 \text{ m/sn.}$$

$$\| \underline{BT} = 10 \text{ cm.}$$

• A noktasındaki hız;

Max. halat hızına karşılık gelen hızdır.

$$\| \underline{v_A} = v_{\text{max. halat}} = 20 \text{ m/sn.}$$

$$\| \underline{BA} = \frac{20}{3} = 6,66 \text{ cm.}$$

Herhangi bir andaki ani veya anlık ivme, $v-t$ eğrisine teğet olan noktaların eğimlerinden bulunabiliriz göre, A noktasında;

$$v_A = 20 \text{ m/sn} \quad (\overline{BA} = 6,66 \text{ cm})$$

olarak sabittir, başka bir deyişle A noktasındaki eğrinin eğimi sıfırdır.

Yani, A noktasından t eksenine çizilen \overline{AD} doğrusu aynı zamanda $v-t$ eğrisinin A noktasındaki teğetidir.

$v-t$ eğrisinin başlangıç noktası P ise $\overline{AT} = \overline{AN}$ alınarak bulunur.

$$\overline{AT} = \overline{AN} = \overline{BT} - \overline{AB}$$

$$\overline{AT} = \overline{AN} = 10 \text{ cm} - 6,66 \text{ cm}$$

$$\| \overline{AT} = \overline{AN} = 3,33 \text{ cm}$$

$$\overline{PC} = \overline{BN} = \overline{AB} - \overline{AN}$$

$$\overline{PC} = 6,66 \text{ cm} - 3,33 \text{ cm}$$

$$\| \overline{PC} = 3,33 \text{ cm}$$

$$v_P = 3,33 \cdot 3$$

$$\| v_P = 10 \text{ m/sn}$$

$$a_{\text{artan}} = \frac{v_P}{t_{oc}} \rightarrow t_{oc} = \frac{10 \text{ m/sn}}{1 \text{ m/sn}^2}$$

$$\| t_{oc} = 10 \text{ sn}$$

$$\| \overline{OC} = 5 \text{ cm}$$

Anlık İvme

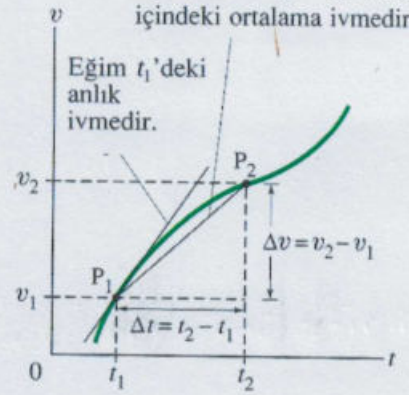
Anlık ivme, a , ortalama ivmenin Δt 'yi sıfıra götürdüğümüz limit değeri olarak tanımlanır:

$$a = \lim_{\Delta t \rightarrow 0} \frac{\Delta v}{\Delta t} = \frac{dv}{dt} \quad (2-6)$$

Bu limit, dv/dt 'nin t 'ye göre türevidir. "İvme" terimini anlık değer için kullanacağız. Ortalama ivmeyi tartışmak istiyorsak, daima "ortalama" kelimesini ekleyeceğiz.

Şek. 2-17'de görüldüğü gibi v hızının, t zamanına, karşı bir grafiğini çizersek, bir $\Delta t = t_2 - t_1$ zaman aralığı üzerinden ortalama ivme, görüldüğü gibi P_1 ve P_2 noktalarını birleştiren düz çizginin eğimi ile temsil edilir. [Bunu, düz çizginin eğiminin ortalama hızı temsil ettiği Şek. 2-10'daki konumun zamana karşı grafiği ile karşılaştırın.] Herhangi bir t_1 anındaki anlık ivme bu andaki $v-t$ eğrisinin teğetinin eğimidir, bu Şek. 2-17'de gösteriliyor. Gelin bu gerçeği Şek. 2-17'de çizilen durum için kullanalım; t_1 anından t_2 anına gidersek hız sürekli olarak artar, ancak eğrinin eğimi azaldığı için ivme (hızın değişme hızı) azalır.

Eğim, $\Delta t = t_2 - t_1$ süresi içindeki ortalama ivmedir.



ŞEKİL 2-17 v hızının, t zamanına, karşı grafiği. Bir $\Delta t = t_2 - t_1$ zaman aralığı üzerinden ortalama ivme, P_1P_2 düz çizgisinin eğimidir: $a = \Delta v/\Delta t$. t_1 anındaki anlık ivme ise, $v-t$ eğrisinin bu andaki eğimidir.

ÖRNEK 2-7 $x(t)$ verildiğinde ivmenin hesabı. Bir parçacık, Örnek 2-3'deki gibi konumunun $x = (2.10 \text{ m/s}^2)t^2 + (2.80 \text{ m})$, bağıntısı ile verildiği için düz bir çizgiye hareket ediyor. (a) $t_1 = 3.00 \text{ s}$ 'den $t_2 = 5.00 \text{ s}$ 'ye kadar olan zaman aralığı boyunca ortalama ivmesini, ve (b) zamanın fonksiyonu olarak anlık ivmesini hesaplayın.

YAKLAŞIM İvmeyi hesaplamak için, ilk olarak x 'i türevleyerek t_1 ve t_2 'deki hızı bulmalıyız: $v = dx/dt$. Daha sonra ortalama ivmeyi bulmak için Dnk. 2-5'i ve anlık ivmeyi bulmak için Dnk. 2-6'yı kullanırız.

ÇÖZÜM (a) Herhangi bir t anında hız Örnek 2-3c'de gördüğümüz gibi

$$v = \frac{dx}{dt} = \frac{d}{dt} [(2.10 \text{ m/s}^2)t^2 + 2.80 \text{ m}] = (4.20 \text{ m/s}^2)t,$$

olarak bulunur.

Böylece $t_1 = 3.00 \text{ s}$, $v_1 = (4.20 \text{ m/s}^2)(3.00 \text{ s}) = 12.6 \text{ m/s}$ ve

$t_2 = 5.00 \text{ s}$, $v_2 = 21.0 \text{ m/s}$. O halde,

$$\bar{a} = \frac{\Delta v}{\Delta t} = \frac{21.0 \text{ m/s} - 12.6 \text{ m/s}}{5.00 \text{ s} - 3.00 \text{ s}} = 4.20 \text{ m/s}^2.$$

(b) $v = (4.20 \text{ m/s}^2)t$ den herhangi bir andaki anlık ivme

$$a = \frac{dv}{dt} = \frac{d}{dt} [(4.20 \text{ m/s}^2)t] = 4.20 \text{ m/s}^2.$$

İvme bu durumda sabittir; zamana bağlı değildir. Şek. 2-18 (a) $x-t$ (Şek. 2-13b' nin aynı) (b) $v-t$, (yukarıda hesaplandığı gibi lineer olarak artıyor), ve (c) $a-t$ (yatay bir düz çizgi çünkü $a = \text{sabit}$) grafiklerini gösteriyor.

Hız gibi, ivme de bir büyüklüğün zamanla nasıl değiştiğinin bir ölçüsüdür. Bir nesnenin hızı, yedeğiştirmesinin zamanla nasıl değiştiğini gösterir; öte yandan onun ivmesi, hızının zamanla değişmesinin ölçüsüdür. Bir bakıma, ivme bir "hızın hızıdır". Bu denklem biçiminde aşağıdaki gibi ifade edilebilir: $a = dv/dt$ ve $v = dx/dt$ olduğundan,

$$a = \frac{dv}{dt} = \frac{d}{dt} \left(\frac{dx}{dt} \right) = \frac{d^2x}{dt^2}.$$

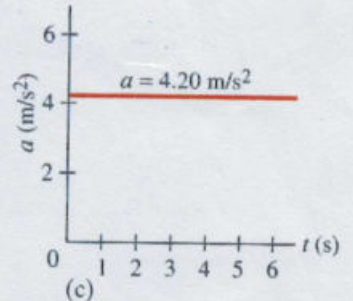
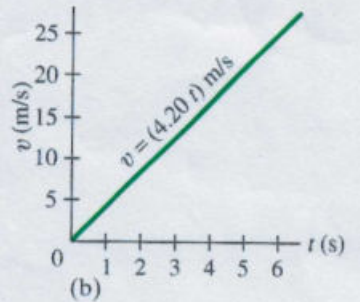
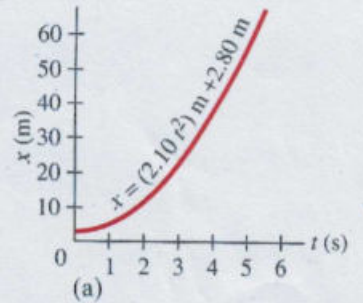
Burada d^2x/dt^2 x 'in t 'ye göre ikinci türevidir: ivmeyi elde etmek için ilk önce x 'in t 'ye göre türevini alırız (dx/dt), ve daha sonra tekrar t 'ye göre türev alırız, $(d/dt)(dx/dt)$.

ALİŞTİRMA F Bir parçacığın konumu aşağıdaki denklemle veriliyor:

$$x = (2.00 \text{ m/s}^3)t^3 + (2.50 \text{ m/s})t.$$

$t = 2.00 \text{ s}$ 'de parçacığın ivmesi nedir? (a) 13.0 m/s^2 ; (b) 22.5 m/s^2 ; (c) 24.0 m/s^2 ; (d) 2.00 m/s^2

ŞEKİL 2-18 Örnek 2-7. $x = At^2 + B$ hareketi için (a) $x-t$ (b) $v-t$, ve (c) $a-t$ grafikleri. v 'nin t ile lineer olarak arttığına ve ivmenin, a , sabit olduğuna dikkat edin. Ayrıca, $x-t$ eğrisinin eğimi iken a , $v-t$ eğrisinin eğimidir.



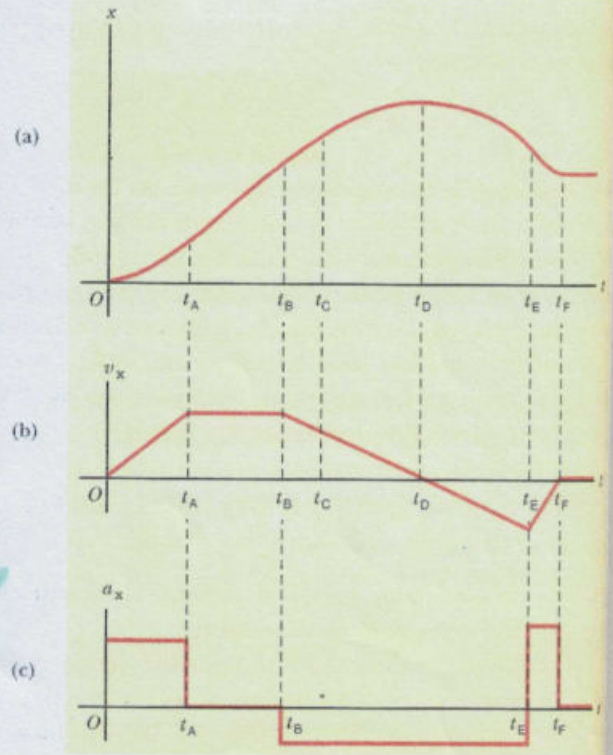
da hız-zaman grafiğinin eğimi de maksimumudur. t_B anında ivme sıfırdır, yine bu noktada hız maksimum değerindedir (yani burada v_x-t grafiğinin eğimi sıfırdır). Hız, pozitif x yönünde azalmaya başladığında ivme negatif olur ve t_C anında ivme en büyük negatif değerine ulaşır.

KAVRAMSAL ÖRNEK 2.3 x , v_x ve a_x Arasındaki Grafikselleşmeler

Şekil 2.7a'da, bir cismin x eksenini boyunca hareketinin zamanla bağlı konumu verilmiştir. Hareketin hız-zaman ve ivme-zaman grafiklerini çizin.

Çözüm Herhangi bir anda hız, $x-t$ grafiğinde o andaki teğetin eğimi ile verilir. $t = 0$ ve $t = t_A$ anları arasında $x-t$ grafiğinin eğimi düzgün olarak artar, dolayısıyla hız doğrusal olarak artar (Şekil 2.7b). t_A ve t_B noktaları arasında $x-t$ grafiğinin eğimi sabittir. Dolayısıyla hız da sabittir. t_D noktasında, $x-t$ grafiğinin eğimi sıfırdır, dolayısıyla burada hız da sıfırdır. t_D ve t_E noktaları arasında $x-t$ grafiğinin eğimi negatiftir, bu nedenle hız da negatiftir ve düzgün olarak azalır. t_E-t_F aralığında ise, $x-t$ grafiğinin eğimi halâ negatiftir ve t_F noktasında hız sıfır olur. Son olarak $t > t_F$ için, $x-t$ grafiğinin eğimi sıfır olur ve bu, cismin durduğu anlamına gelir.

Herhangi bir anda ivme, o noktada v_x-t grafiğinin teğetin eğimi ile verilir. Cismin ivme-zaman grafiği Şekil 2.7c'de gösterilmiştir. $0-t_A$ aralığında ivme sabit ve pozitiftir. Çünkü bu aralıkta v_x-t grafiğinin eğimi pozitiftir. t_A-t_B ve $t > t_F$ aralığında v_x-t grafiğinin eğimi sıfır olduğundan, ivme de bu aralıklarda sıfırdır. t_B-t_E aralığında ivme negatiftir, çünkü, bu aralıkta v_x-t grafiğinin eğimi negatiftir.



Şekil 2.7 (a) x eksenini boyunca hareket eden bir cismin konum-zaman grafiği. (b) Cismin hız-zaman grafiği, her bir an için konum-zaman grafiğine çizilen teğetin eğiminden elde edilir. (c) Cismin ivme-zaman grafiği, hareketini her anında hız-zaman grafiğinin eğiminden bulunur.

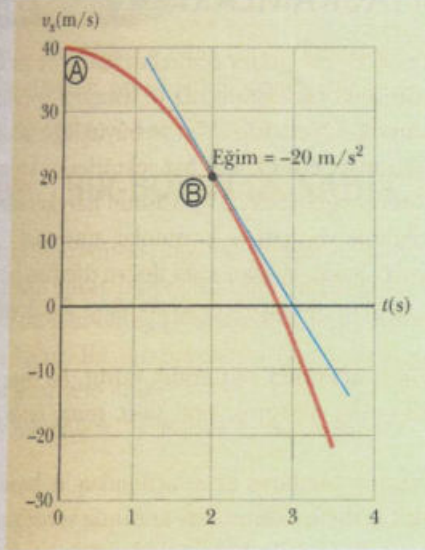
Sınama Sorusu 2.1

Şekil 2.1a'da verilen araba hareketi için hız-zaman grafiğini çizerek arabanın işaret belirlenmiş olan azami hızı (30 km/saat) aşp aşmadığını belirleyin?

ÖRNEK 2.4 Ortalama ve Ani İvme

x eksenini boyunca hareket eden bir parçacığın hızı $v_x = (40 - 5t^2)$ m/s ifadesine göre zamanla değişmektedir. Burada t , s cinsindedir. (a) $t = 0$ ile $t = 2$ s zaman aralığındaki ortalama ivmeyi bulunuz.

Çözüm Şekil 2.8, problemdeki ifade kullanılarak oluşturulmuş $v_x - t$ grafiğini göstermektedir. $v_x - t$ eğrisinin başlangıcındaki eğimi negatiftir olduğundan, ivmenin de negatif olmasını bekleriz.



Şekil 2.8 $v = (40 - 5t^2)$ m/s bağıntısına göre x eksenini boyuncu hareket eden bir parçacık için hız - zaman grafiği. $t = 2$ s 'deki ivmenin o andaki mavi renkli teğet çizginin eğimine eşit olduğuna dikkat ediniz.

$t_1 = t_A = 0$ ve $t_2 = t_B = 2$ s 'deki hızlar, t 'nin değerleri hız için verilen ifadeye yerine konarak şu şekilde bulunur:

$$v_{xA} = (40 - 5t_A^2) \text{ m/s} = [40 - 5(0)^2] \text{ m/s} = +40 \text{ m/s}$$

$$v_{xB} = (40 - 5t_B^2) \text{ m/s} = [40 - 5(2)^2] \text{ m/s} = +20 \text{ m/s}$$

O halde $\Delta t = t_B - t_A = 2$ s zaman aralığında ortalama ivme,

$$\begin{aligned} \bar{a}_x &= \frac{v_{x2} - v_{x1}}{t_2 - t_1} = \frac{v_{xB} - v_{xA}}{t_B - t_A} = \frac{(20 - 40) \text{ m/s}}{(2 - 0) \text{ s}} \\ &= -10 \text{ m/s}^2 \end{aligned}$$

ile verilir. Eksi işareti, hız - zaman grafiği üzerindeki ilk ve son noktaları birleştiren doğrunun eğiminin negatif olduğu gerçeği ile uyumludur.

(b) $t = 2$ s 'deki ivmeyi bulunuz.

Çözüm t anındaki hız $v_{xi} = (40 - 5t^2)$ m/s ile $t + \Delta t$ anındaki hız

$v_{x2} = 40 - 5(t + \Delta t)^2 = 40 - 5t^2 - 10t\Delta t - 5(\Delta t)^2$ ile verilir. O nedenle, Δt zaman aralığında hızdaki değişim,

$$\Delta v_x = v_{x2} - v_{x1} = [-10t\Delta t - 5(\Delta t)^2] \text{ m/s}$$

dir. Bu ifadeyi Δt ye bölerek ve sonucun Δt sıfıra yaklaşırkenki limitini alarak, herhangi bir t zamanındaki ivmeyi şu şekilde buluruz:

$$a_x = \lim_{\Delta t \rightarrow 0} \frac{\Delta v_x}{\Delta t} = \lim_{\Delta t \rightarrow 0} (-10t - 5\Delta t) = -10t \text{ m/s}^2$$

$t = 2$ s de,

$$a_x = (-10)(2) \text{ m/s}^2 = -20 \text{ m/s}^2$$

buluruz. A ve B arasındaki ortalama ivmeyi (-10 m/s^2) B 'deki ani ivmeyle (-20 m/s^2) kıyaslayarak yaptığımız şey, A 'yı B 'ye bağlayan doğrunun (şekilde gösterilmemiştir) eğimini B 'deki eğimle kıyaslamaktır.

Bu örnekte ivmenin sabit olmadığına dikkat ediniz. Sabit ivmeyi içeren durumlar kesim 2.5 'de ele alınacaktır.

Şimdiye kadar bir fonksiyonun tanımı ile başlayıp sonra belli bir oranın limitini alarak fonksiyonun türevlerini hesapladık. İntegral hesapla aşına olanlarımız, değişik fonksiyonların türevlerini almak için belirli kurallar olduğunu bilirler. Ek B. 6 'da listelenen bu kurallar türevleri çabucak hesaplamamızı sağlar. Farzedelim ki x , t 'nin herhangi bir kuvveti ile orantılı; yani

$$x = At^n$$

olsun. Burada A ve n sabitlerdir. (Bu çok genel fonksiyonel bir biçimdir.) x 'in t 'ye göre türevi

$$\frac{dx}{dt} = nAt^{n-1}$$

ile verilir. Bu kuralı 2.4 Örneğine uygularsak, $v_x = 40 - 5t^2$ olduğundan $a_x = dv_x/dt = -10t$ olacaktır.

Şekil (2-2b)'de, Şekil (2-2a)'daki noktaları birleştiren eğri verilmiştir. Bu eğriden, Şekil (2-2a)'da bir nokta olarak gösterilmeyen bir x değerine ait zaman, küçük bir hata ile bulunur. Yerdeğiştirmeyi zamana bağlayan $x(t)$ fonksiyonu, başlangıç noktasından itibaren t zamanı içinde alınan yolu verir. Eğrinin daha iyi anlaşılabilmesi için, Bölüm 1'de tanımlanan *yerdeğiştirme* kavramı burada da kullanılmıştır. Yer deęiştirme, cismin konumundaki *deęişmedir*. t_1 zamanındaki konum x_1 , t_2 zamanındaki konum x_2 ile belirtilirse, bu iki konum arasındaki fark, yerdeęiştirme olarak tanımlanır ve matematiksel olarak;

$$\Delta x \equiv x_2 - x_1 \quad (2-1)$$

şeklinde gösterilir. Burada Δ , (delta okunur) önüne yazılan deęişkenin bir deęerden deęerine deęişimini (ya da farkını) ifade etmektedir. Benzer şekilde zaman aralığı da

$$\Delta t = t_2 - t_1 \quad (2-2)$$

olarak gösterilir.

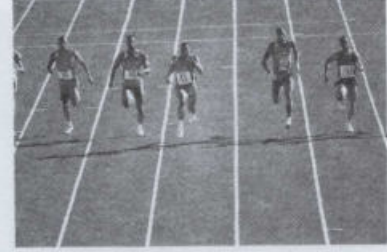
Δx ve Δt arasında önemli bir fark vardır. Δx yerdeęiştirmesi *vektörel*, Δt zaman aralığı ise *skaler* bir büyüklüktür. Koşu örneğinde, x , zamana göre düzgün olarak artmaktadır ve yerdeęiştirmenin vektör özellięi burada bir rol oynamaz. Eęer hareket $+x$ ve $-x$ yönlerinde olursa, yerdeęiştirme bazı zaman aralıkları için negatif, bazı zaman aralıkları için pozitif olur. Tek boyutlu hareket için, x 'in büyüklüğünün yanında sadece işaretinin bilinmesi hareketin tanımını için yeterlidir. Ancak, iki ve üç boyutlu harekette yön ve büyüklük söz konusu olduğundan, vektörel tanımlama gerekir. Buna göre, yerdeęiştirme vektörü

$$\Delta \mathbf{x} \equiv \mathbf{x}_2 - \mathbf{x}_1, \quad (2-3)$$

şeklinde gösterilir. Burada \mathbf{x}_2 , t_2 zamanındaki *konum vektörü* (yarışın başladığı noktadan t_2 zamanında koşucunun ulaştığı noktaya uzanan vektör) ve \mathbf{x}_1 , t_1 zamanındaki konum vektörüdür.

Tek boyutlu hareket; $+x$ eksenini boyunca uzanan bir *i birim vektörü* ile ifade edilir. [Şekil (2-3a)]. Örneğin \mathbf{x}_1 vektörü, $x_1\mathbf{i}$ şeklinde yazılır ve burada x_1 , başlangıçtan itibaren alınan yolu gösterir.

Konum vektörünün tanımı, başlangıç noktasının seçimine baęlı olurken, $\Delta \mathbf{x}$ yerdeęiştirme vektörü, başlangıç noktasına baęlı deęildir. Örneğin, 100 m yarışında baş-

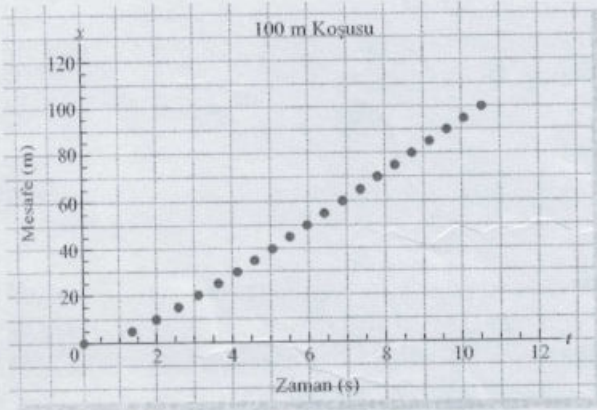


ŞEKİL 2-1 100 m yarışta, hareket kavramlarının daha da belirginleşmesini sağlar.

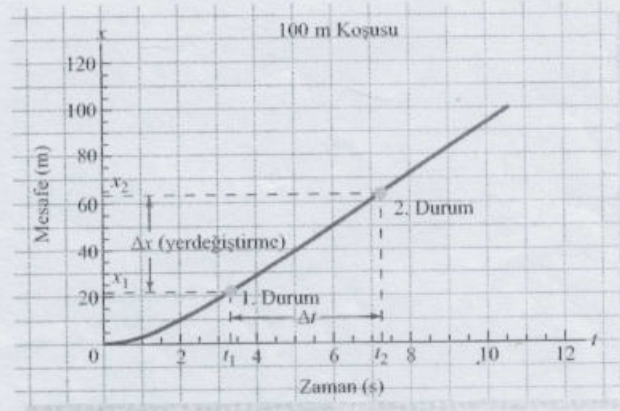
∞ Vektörler ve skaler büyüklükler Bölüm 1'de anlatılmıştır.

Yerdeęiştirme vektörü koordinat sisteminin başından baęımsızdır.

ŞEKİL 2-2 (a) 100 m yarış için çizilmiş konum-zaman grafiğinde durum 5 m aralıklarla verilmiştir. (b) Grafikteki eğri, diğer grafikteki noktaların birleştirilmesiyle elde edilmiştir. Koşucu t_1 zamanında x_1 konumunda (1. durum) ve x_2 zamanında t_2 konumundadır (2. durum). $\Delta t = t_2 - t_1$ zaman aralığında koşucunun yer deęiştirmesi $\Delta x = x_2 - x_1$ kadardır.



(a)



(b)

me kastedilir. Ani ivme, Δt zaman aralığı sifira yaklaşıırken $\Delta v/\Delta t$ 'nin limiti olarak tanımlanır:

$$a \equiv \lim_{\Delta t \rightarrow 0} \frac{\Delta v}{\Delta t} = \frac{dv}{dt} \quad (2-14)$$

İvme ile yerdeğiştirme arasındaki ilişki Eş. (2-11) ve Eş.(2-14) ile verilen türevlerden,

$$a = \frac{dv}{dt} = \frac{d}{dt} \left[\frac{dx}{dt} \right] = \frac{d^2x}{dt^2} \quad (2-15)$$

olarak bulunur. İvme hızın zamana göre türevidir. İvme aynı zamanda, yerdeğiştirmenin zamana göre ikinci türevidir.

Hız konum-zaman grafiğinden, ivme hız-zaman grafiğinden bulunur [Şekil (2-8a)]. Belli bir t anında t 'nin bir fonksiyonu olan v eğrisine çizilen teğetin eğimi t anındaki ivmeyi verir. Şekil (2-8b)'de, $v-t$ eğrisine 2 s ve 4 s'ye karşılık gelen noktalardan çizilen teğetler gösterilmiştir. Hız eğrisinde, teğet doğrularının eğimi ya da $v(t)$ fonksiyonunun zamana göre türevi alınarak yarışçının ivmesi bulunur. Şekil (2-8c)'de ivmenin zamana göre değişimini veren eğri gösterilmiştir. Bu eğri, Şekil (2-8b)'deki hız eğrisinden türetilmiştir. İvme eğrisi incelendiğinde, atlet hızının kısa sürede arttığı yarışın başlangıcında, ivmenin çok yüksek olduğu görülür, fakat yarışın düzgün hızla hareketini sürdürmeye başladığı 4'üncü saniyeden sonra ivme sifira düşer.

ÖRNEK 2-5 Uzun bir ray üzerinde ilerleyen bir deney roketinin, ilk 10 saniyedeki x konumu $x(t) = (5 \text{ m/s})t + (8 \text{ m/s}^2)t^2 + (4 \text{ m/s}^3)t^3 - (0,25 \text{ m/s}^4)t^4$ bağıntısı ile verilmiştir. Bu denklemde t saniye, x metre cinsinden verilmiştir. Roketin hızını ve ivmesini hesaplayıp sonuçları grafik çizerek gösteriniz.

Çözüm: x , v ve a vektörlerinin yönü ray (tek boyutlu olduğundan vektör notasyonunu kullanmaya gerek kalmaz) boyunca pozitif alınır. Konum-zaman grafiği, Şekil (2-9a)'da verilmiştir. Roketin hızı ve ivmesi sırasıyla Eş. (2-11) ile Eş. (2-15)'deki zamana göre türevler alınarak bulunur

$$v = \frac{dx}{dt} = (5 \text{ m/s}) + (16 \text{ m/s}^2)t + (12 \text{ m/s}^3)t^2 - (1 \text{ m/s}^4)t^3;$$

$$a = \frac{dv}{dt} = (16 \text{ m/s}^2) + (24 \text{ m/s}^3)t - (3 \text{ m/s}^4)t^2.$$

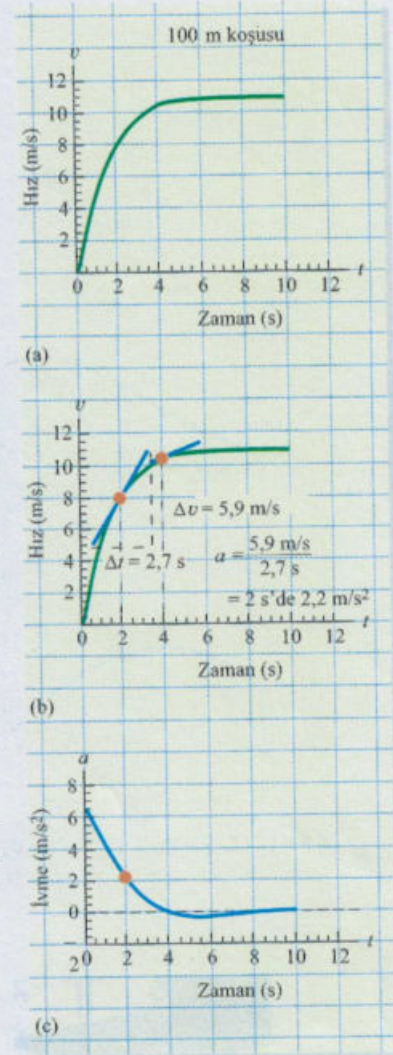
Zaman saniye ile ölçüldüğünden hız ve ivme, sırasıyla m/s ve m/s^2 ile ölçülür. Yukarıdaki sonuçlar kullanılarak 0–10 s zaman aralığında hız ve ivme grafiği çizilir. Şekil (2-9b) ve (2-9c)'de bu grafikler verilmiştir. Her ne kadar x 'in konumu, $t = 0$ zamanında sıfır olsa da ne hız ne de ivme bu anda sıfır değildir.

Bu bağlamda ivmenin zamanla değişimi da/dt de göz önüne alınabilir. Ancak ivmenin zamanla değişimi gibi daha yüksek mertebeden türevlerin neden tartışılmadığı 4'üncü bölümde açıklığa kavuşacaktır. Newton kanunları, ivmenin zaman türevi ile değil ivmenin kendisi cinsinden ifade edilmiştir.

2-4 SABİT İVMELİ HAREKET

İvmenin en basit örneği sabit ivmeli harekettir [Şekil (2-10)]. Yeryüzüne yakın konumda bulunan cisimlere yerçekimi sabit bir ivme uygular. Bu ve buna benzer nedenlerden dolayı, sabit ivmeli hareket fizikte önemli bir yer tutar.

Anlık ivme yer değiştirme vektörünün zamana göre ikinci türevidir.



ŞEKİL 2-8 (a) Konumu Şekil (2-2)'de verilen sporcunun hızı. Bu eğri, konum-zaman eğrisindeki her noktanın eğimi bulunarak çizilir. Şekil (2-6)'da, $t = 2$ s'deki işlem görülmektedir. (b) Sporçunun ani ivmesi, hız-zaman eğrisine teğet noktaların eğimlerinden bulunur. Böyle iki teğet mavi renkle çizilmiştir. Bu teğetlerin $t = 2$ s'de ve $t = 4$ s'deki eğimleri ivmeyi vermektedir. $t = 2$ s'deki teğetin eğimi burada hesaplanmıştır. (c) Sporçunun zamana göre ivme eğrisi. Bu eğri, hız-zaman eğrisine teğet noktaların eğimlerinin zamana göre grafiğinin çizilmesi ile de bulunur.

Simdi, hız-zaman $(v-t)$ eğrisinin, -31-

P noktasında \overline{OT} doğrusuna, A noktasında \overline{AD} doğrusuna teğet olacak şekilde denklemini bulalım ve çizelim.

Düzgün azalan ivme süresi,

$$t_{CB} = t_{OB} - t_{OC} = 30 \text{ sn} - 10 \text{ sn}.$$

$$\| \overline{t_{CB}} = 20 \text{ sn}.$$

$$\| \overline{CB} = 10 \text{ cm}.$$

$\triangle TNP$ dik üçgeninde,
 $\overline{AT} = \overline{AN}$

dolayısıyla,

$$\overline{AL} = \frac{1}{2} \overline{PN} = \frac{1}{2} \cdot 10 \text{ cm} \quad (\overline{PN} = \overline{BC} = 10 \text{ cm})$$

$$\| \overline{AL} = 5 \text{ cm}.$$

L noktasındaki normal, \overline{TB} doğrusunu F noktasında

kessin.

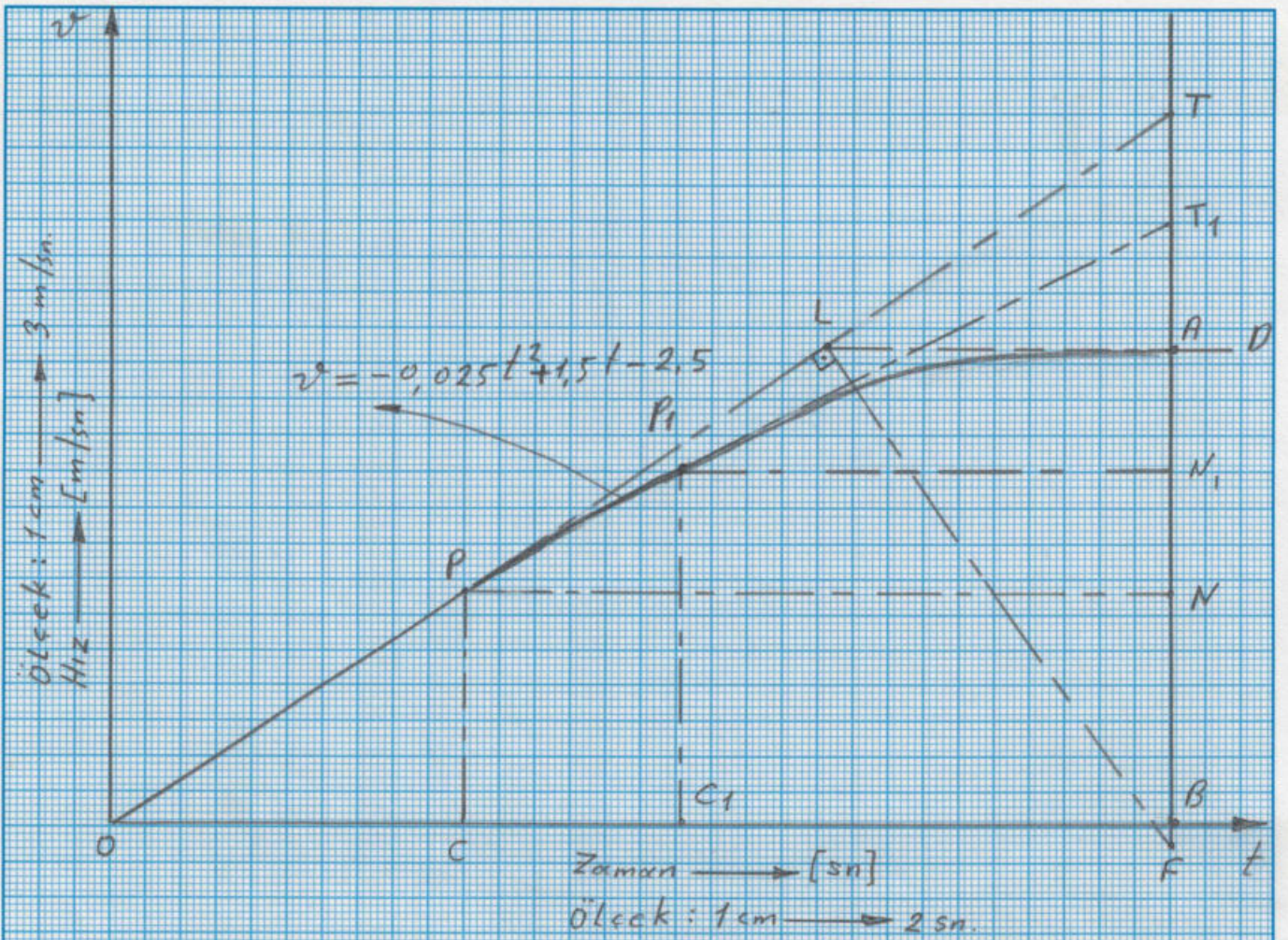
$\triangle FLA \sim \triangle ALT$ dik üçgenlerinin benzerliğinden

$$\frac{\overline{AL}}{\overline{AT}} = \frac{\overline{AF}}{\overline{AL}} \rightarrow \overline{AL}^2 = \overline{AT} \cdot \overline{AF}$$

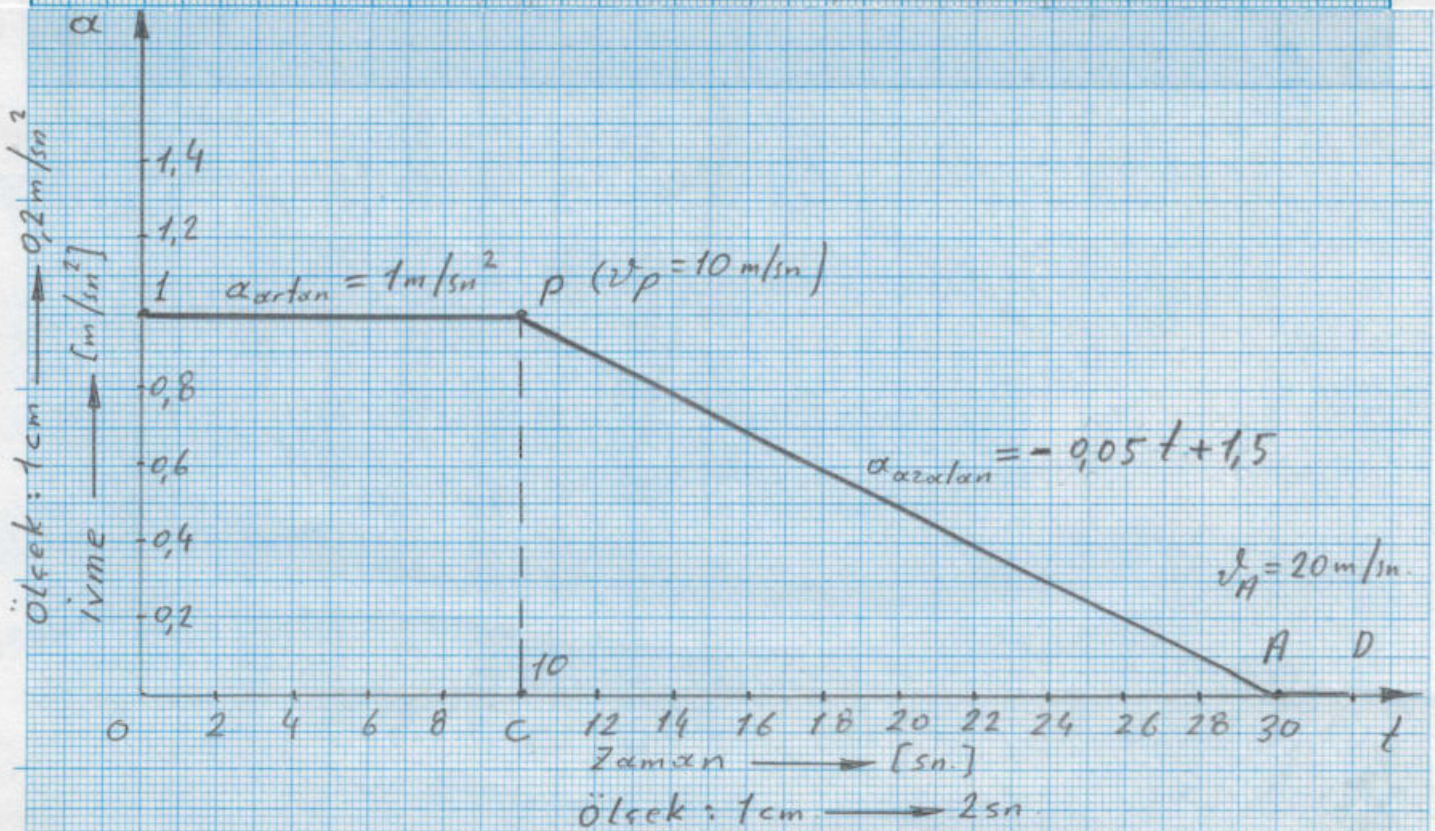
$$\overline{AF} = \frac{(5 \text{ cm})^2}{3,33 \text{ cm}}$$

$$\| \overline{AF} = 7,5 \text{ cm}.$$

Şekil 7 den yukarıdaki eşitlikleri de yazmak mümkündür.



Şekil 7 - Hız - Zaman ($v-t$) grafiği.



Şekil 8 - İvme - Zaman ($a-t$) grafiği.

Şekil 7 den faydalanarak ivme-zaman ($a-t$) - 33-
pratiğini (Şekil 8) pozisyonuna alalım ve irdeliyelim:

- $(0-t_c)$ aralığında ivme sabit ($a_{artan} = 1 \text{ m/s}^2$) ve pozitifdir çünkü bu aralıkta $v-t$ pratiğinin eğimi pozitiftir.
- A noktasında hız sabittir ($v_A = 20 \text{ m/s}$), başka bir deyişle A noktasında $v-t$ eğrisinin eğimi sıfır olduğundan v hızının sabit olduğu aralıklarda da ivme sıfırdır.

Azalan ivmenin denklemi,

$$a_{azalan} = A_1 \cdot t + B_1$$

şeklinde bir doğrudur. Sınır değerlerle,

$$t = 10 \text{ sn.} \rightarrow a = 1 \text{ m/s}^2$$

$$t = 30 \text{ sn.} \rightarrow a = 0$$

$$\left. \begin{array}{l} t = A_1 \cdot 10 + B_1 \\ 0 = A_1 \cdot 30 + B_1 \end{array} \right\} \begin{array}{l} A_1 = -\frac{1}{20} \\ B_1 = \frac{30}{20} \end{array}$$

$$\parallel a_{azalan} = -\frac{1}{20} t + \frac{30}{20} = -0,05 t + 1,5 \quad (34)$$

elde edilir. Sınır değerler: $(10 \leq t \leq 30)$ dur.

P noktasından başlamak üzere $v-t$ eğrisinin denklemi;

Herhangi bir andaki anlık ivme,

$$a = \frac{dv}{dt}$$

olduğuna göre

$$v = \int a dt = \int \left(-\frac{1}{20} t + \frac{30}{20} \right) dt$$

$$v = -\frac{1}{40}t^2 + \frac{30}{20}t + A_2$$

$$t = 10 \text{ sn.} \rightarrow v = 10 \text{ m/sn.} \quad (\text{veya } t = 30 \text{ sn.} \rightarrow v = 20 \text{ m/sn})$$

$$10 = -\frac{1}{40} \cdot 100 + \frac{30}{20} \cdot 10 + A_2$$

$$\parallel \underline{A_2 = -2,5}$$

$$\parallel \underline{v = -0,025t^2 + 1,5t - 2,5} \quad (10 \leq t \leq 30) \quad (35)$$

olarak bulunur. Sınır değerler: $(10 \leq t \leq 30)$ dir.

Özet :

• Kafes, lineer olarak artan bir hızla $t_{OC} = 10$ sn de P noktasındaki $v_P = 10$ m/sn hızına ulaşır. $\alpha_{\text{artan}} = 1 \text{ m/sn}^2$ dir.

• P noktasından A noktasına $v = -0,025t^2 + 1,5t - 2,5$ eğrisi boyunca $t_{CB} = 20$ sn. de $v_A = 20$ m/sn sabit hızla çıkar.

• $v_P = 10$ m/sn den $v_A = 20$ m/sn sabit hızla çıkar. Ken azalan ivmede $\alpha_{\text{azalan}} = -0,05t + 1,5$ doğrusu boyunca lineer olarak azalır ve A noktasında v_A hızı sabit olduğunda $\alpha_{\text{Azalan}} = 0$ olur.

Not 1 - $v = f(t)$ ve $\alpha = f'(t)$ arasındaki grafiksel ilişkiler Sayfa 30 eklerinde verilmiştir.

Not 2 - Şekil 7 deki eğri üzerine düz bir P_1 noktasını ele alalım.

$$\bullet \overline{OC_1} = 8 \text{ cm.} \rightarrow t_{OC_1} = 16 \text{ sn.}$$

$$\bullet \overline{P_1C_1} = 5 \text{ cm.} \rightarrow v_{P_1} = 15 \text{ m/sn.}$$

veya,

$$t = 16 \text{ sn için,}$$

$$v = -0,025t^2 + 1,5t - 2,5 = -0,025 \cdot 16^2 + 1,5 \cdot 16 - 2,5$$

$$\|v\|_{P1} = 15,1 \text{ m/sn}$$

Aynı hız değeri çıkar.

Sekil 7 deki $(v-t)$ grafiğini biraz daha inceleyelim ve yeni eksen takımına göre şekil 9'u göz önüne alalım.

$\bar{O}t, \bar{O}v$ eksen takımına göre $v = f(t)$ eğrisini çizebiliyoruz (çünkü denklemini artık biliyoruz). Bu eğri görüldüğü gibi bir parabolüdür.

Şimdi, $\bar{A}x, \bar{A}y$ eksen takımına göre bu parabolün denklemini,

$$y = kx^2$$

şeklinde yazabiliriz.

$$x = \bar{AC}' = \bar{BC} \text{ için } y = \bar{C}'P' = \bar{AN}$$

olacağına göre,

$$\bar{BC} = 10 \text{ cm (S: 31)}$$

$$\bar{AN} = 3,33 \text{ cm (S: 30)}$$

$$3,33 = k \cdot 10^2$$

$$k = 0,0333$$

veya,

$$\|k = 1/30$$

ve parabolün denklemi; $\bar{A}x, \bar{A}y$ eksen takımına göre;

$$\| y = x^2 / 30 \quad (36)$$

olarak bulunur. ($0 \leq x \leq 10 \text{ cm.}$)

Parabol üzerinde noktalar alalım. Örneğin: P, P_1, P_2 ve P_3 gibi.

$$x_p = \overline{AC'} = 10 \text{ cm.} \quad y_p = \frac{100}{30} = 3,33 \text{ cm.}$$

$$x_{p1} = \overline{AC'_1} = 8 \text{ cm.} \quad y_{p1} = \frac{64}{30} = 2,13 \text{ cm.}$$

$$x_{p2} = \overline{AC'_2} = 5 \text{ cm.} \quad y_{p2} = \frac{25}{30} = 0,83 \text{ cm.}$$

$$x_{p3} = \overline{AC'_3} = 3 \text{ cm.} \quad y_{p3} = \frac{9}{30} = 0,3 \text{ cm.}$$

A noktasındaki hız, $v_A = 20 \text{ m/sn.}$ ve hız ölçeğinin de $1 \text{ cm} \rightarrow 3 \text{ m/sn}$ alınması nedeniyle,

$$\| v_p = 20 \text{ m/sn} - 3 \cdot y_p \quad (\overline{PC} \text{ ye karşılık gelen}) \quad (37)$$

yarılabilir dolayısıyla;

$$v_p = 20 - 3 \cdot 3,33 = 10 \text{ m/sn.}$$

$$v_{p1} = 20 - 3 \cdot 2,13 = 13,61 \text{ m/sn.}$$

$$v_{p2} = 20 - 3 \cdot 0,83 = 17,51 \text{ m/sn.}$$

$$v_{p3} = 20 - 3 \cdot 0,3 = 19,1 \text{ m/sn.}$$

değerleri elde edilir.
Eşitlik 36,

$$\| 3y \text{ [m/sn.]} = 3 \cdot \frac{x^2}{30} = 0,1 x^2 \quad (38)$$

şeklinde de sadeleştirilebilir. ($0 \leq x \leq 10 \text{ cm.}$)

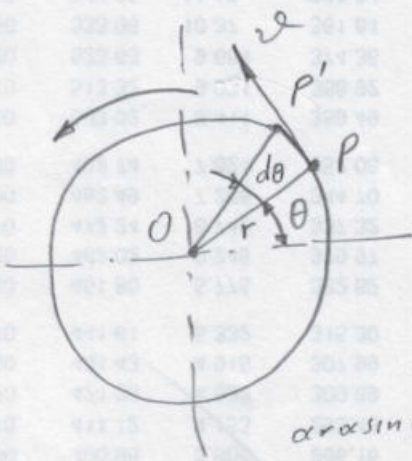
Acaba Şekil 9'a göre anlık azalan ivmeyi de hesaplayabilir miyiz?

denklemi bulunmuş olur.

Görüldüğü gibi, Şekil 9 üzerinde ($0 \leq x \leq 10$ cm) aralığına karşılık gelen hız ve ivme değerleri, sadece x 'in okunmasıyla çok basit olarak elde edilebiliyor.

Şimdi; Şekil 7, 8 ve 9'a göre uygulanan hesap sonuçlarını bir cetvelde (Cetvel 1) gösterelim.

7- Açısal azalan ivme;



Bir cisim sabit bir eksen etrafında döndüğünde, cismin herhangi bir P noktası dairesel bir yol boyunca hareket eder. $OP = r$ nin açısal konumu, sabit bir referans eksenine ve r eksenine arasında ölçülen θ açısıyla tanımlanır.

Genellikle $d\theta$ diferansiyeli olarak ölçülen, açısal konumdaki değişmeye açısal yer değiştirme ve açısal konumun ω ile gösterilen, zamana göre değişim oranına da açısal hız denir. Yani açısal hız,

$$\omega = \frac{d\theta}{dt} \quad \text{rad/sn} \quad (40)$$

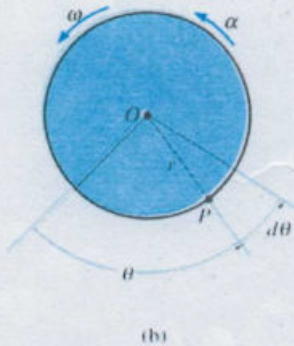
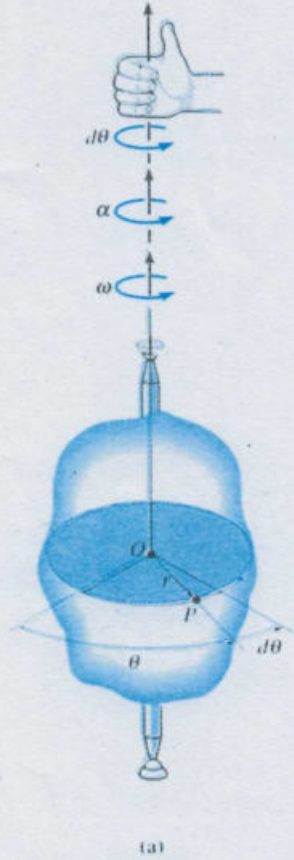
olur.

α açısal ivmesi ise, açısal hızın zamanına göre değişim oranıdır dolayısıyla,

$$\alpha = \frac{d\omega}{dt} \quad \text{rad/sn}^2 \quad (41)$$

olarak yazılabilir.

16.3 Sabit Bir Eksen Etrafında Dönme



Şekil 16-4

Bir cisim sabit bir eksen etrafında döndüğünde, cismin herhangi bir P noktası *dairesel bir yol* boyunca hareket eder. Bu hareket, cismin eksen etrafındaki açısal hareketine bağlıdır. Bu nedenle, P 'nin dairesel hareketinin analize başlamadan önce, cismin açısal hareketinin özelliklerini inceleyeceğiz.

Açısal Hareket. Noktanın, boyutsuz olması nedeniyle, açısal hareketi yoktur. *Sadece çizgiler ve cisimler açısal hareket yaparlar.* Bu etkileri incelemek için, Şekil 16-4a'da gösterilen cismi ve koyu renkli düzlemde bulunan r radyal çizgisinin açısal hareketini ele alacağız.

Açısal Konum. Şekilde gösterilen anda, r 'nin *açısal konumu*, *sabit* bir referans eksenine ve r eksenine arasında ölçülen θ açısıyla tanımlanır. Burada, r dönme eksenine dik doğrultuda, O noktasından cismin P noktasına kadar uzanır.

Açısal Yer Değiştirme. Genellikle $d\theta$ diferansiyeli olarak ölçülen, açısal konumdaki değişmeye *açısal yer değiştirme* denir.* Bu vektör derece, radyan ve devir sayısı cinsinden ölçülen bir $d\theta$ büyüklüğüne sahiptir. 1 devir = 2π rad'dır. Hareket *sabit bir eksen* etrafındaki hareket olduğundan, $d\theta$ *daima* eksen doğrultusundadır. $d\theta$ 'nin *yönü* sağ el kuralı ile, yani sağ elin parmakları, baş parmak (yani $d\theta$) yukarı doğru yönelecek şekilde dönme yönünde bükülerek belirlenir, Şekil 16-4a. Koyu renkli düzlemin üstten görünümündeki gibi, Şekil 16-4b, iki boyutlu halde, θ ve $d\theta$ saat yönünün tersine yönelmiştir ve dolayısıyla baş parmak dışı doğru yönelir.

Açısal Hız. Açısal konumun, ω (omega) ile gösterilen, zamana göre değişim oranına *açısal hız* denir. Buna göre, $d\theta$ dt anında oluştuğundan,

(+)

$$\omega = \frac{d\theta}{dt}$$

(16-1)

olur. Bu vektörün *büyüklüğü*, genellikle rad/s ile ölçülür. Burada vektör skaler formda ifade edilmiştir, çünkü doğrultusu, *daima* dönme eksenine doğrultusudur, yani bu vektör $d\theta$ ile aynı doğrultudadır, Şekil 16-4a. Açısal hareket koyu renkli düzlemde gösterildiği zaman, Şekil 16-4b, dönme yönünü saat yönü veya saatin tersi yönü olarak alabiliriz. Burada, *keyfi olarak*, saatin tersi yönündeki dönmeleri *pozitif* olarak seçtik ve bunu Denklem 16-1'deki parantezde gösterilen okla ifade ettik. Ancak, ω gerçekte dışı doğru yönelir.

* Kesim 20.1'de, $d\theta$ diferansiyel dönmelerinin vektör olmasına karşın, sonlu dönmeler ve sonlu açısal yer değiştirmelerin vektörel büyüklükler olmadığı gösterilmiştir.

Açısal İvme. α (alfa) *açısal ivmesi*, açısal hızın zamana göre değişim oranını ölçer. Dolayısıyla, bu vektörün büyüklüğü

$$(\checkmark +) \quad \alpha = \frac{d\omega}{dt} \quad (16-2)$$

olarak yazılabilir. Denklem 16-1 kullanılarak,

$$(\checkmark +) \quad \alpha = \frac{d^2\theta}{dt^2} \quad (16-3)$$

yazılabilir. α 'nın etki çizgisi ω 'ninkine aynıdır, fakat yönü ω 'nın zamanla artması veya azalmasına *bağlıdır*. Özel olarak, ω azalıyorsa α 'ya *açısal yavaşlama* denir; buna göre yönü ω 'ninkine terstir.

Denklem 16-1 ve 16-2'den dt yok edilerek, açısal ivme, açısal hız ve açısal yer değiştirme arasında bir diferansiyel bağıntı, yani

$$(\checkmark +) \quad \alpha d\theta = \omega d\omega \quad (16-4)$$

bağıntısını elde ederiz.

Açısal harekete ait diferansiyel bağıntılarla, bir parçacığın doğrusal hareketi ile ilgili bağıntıların ($v = ds/dt$, $a = dv/dt$ ve $ads = vdv$) benzerliği dikkat çekicidir.

Sabit Açısal İvme. Cismin açısal ivmesi sabitse, yani $\alpha = \alpha_c$ ise, Denklem 16-1, 16-2 ve 16-4 integre edildiği zaman, cismin açısal hızını, açısal konumunu ve zamanı birbirine bağlayan bir formül takımı elde edilir. Bunlar, doğrusal hareket için kullanılan 12-4, 12-6 denklemlerinin benzeridir. Sonuçlar

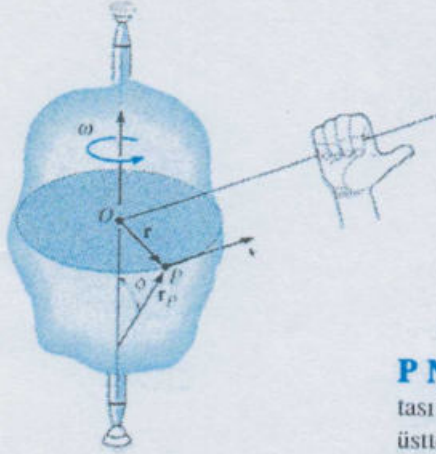
$$(\checkmark +) \quad \omega = \omega_0 + \alpha_c t \quad (16-5)$$

$$(\checkmark +) \quad \theta = \theta_0 + \omega_0 t + \frac{1}{2} \alpha_c t^2 \quad (16-6)$$

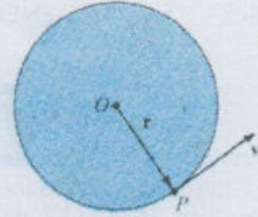
$$(\checkmark +) \quad \omega^2 = \omega_0^2 + 2\alpha_c(\theta - \theta_0) \quad (16-7)$$

Sabit Açısal İvme

şeklinde. Burada, θ_0 ve ω_0 sırasıyla, cismin açısal konumu ve açısal hızının başlangıç değerleridir.



Şekil 16-4 (tekrar)



(d)

P Noktasının Hareketi. Şekil 16-4c'deki rijit cisim dönerken, P noktası O merkezli, r yarıçaplı bir dairesel yörüngede hareket eder. Bu yörünge, üstten görünüşü verilen koyu renkli düzlem içindedir, Şekil 16-4d.

Konum. P 'nin konumu, O 'dan P 'ye uzanan r konum vektörüyle tanımlanır.

Hız. P 'nin hızı, $v_r = \dot{r}$ ve $v_\theta = r\dot{\theta}$ kutupsal koordinat bileşenleri kullanılarak, Denklem 12-25, P 'nin hareketinden belirlenebilen bir büyüklüğe sahiptir. r sabit olduğundan, radyal bileşen $v_r = \dot{r} = 0$ 'dır ve dolayısıyla $v = v_\theta = r\dot{\theta}$ olur. Denklem 16-1'e göre, $\omega = \dot{\theta}$ olduğundan,

$$v = \omega r \quad (16-8)$$

bulunur. Şekil 16-4c ve 16-4d'de gösterildiği gibi, v 'nin doğrultusu dairesel yörüngeye teğettir.

v 'nin büyüklük ve doğrultusu, ω ve r_p 'nin vektörel çarpımı kullanılarak hesaplanabilir (bkz. Ek C). Burada, r_p dönme eksenini üzerindeki herhangi bir noktadan P noktasına giden bir vektördür, Şekil 16-4c.

$$v = \omega \times r_p \quad (16-9)$$

olur. Bu formülde vektörlerin sırası önemlidir, çünkü vektörel çarpım komütatif değildir, yani $\omega \times r_p \neq r_p \times \omega$ 'dir. Bu vesileyle, Şekil 16-4c'de sağ el kuralı ile v 'nin doğru yönünün nasıl oluşturulduğuna dikkat edelim. Sağ elin parmakları ω 'dan r_p 'ye doğru kıvrılır (ω "çarpı" r_p). Baş parmak v 'nin doğru yönünü gösterir, bu da hareket doğrultusundaki yörüngeye teğettir. Denklem C-8'den, Denklem 16-9'daki v 'nin büyüklüğü $v = \omega r_p \sin \phi$ olarak bulunur. $r = r_p \sin \phi$ olduğundan, Şekil 16-4c, $v = \omega r$ olur; bu da Denklem 16-8 ile uyumludur. Özel bir hal olarak, r konum vektörü O noktasından P noktasına doğru alınabilir, Şekil 16-4c. Burada r hareket düzleminde bulunur ve P 'nin hızı yine

$$v = \omega \times r \quad (16-10)$$

olur.

- 38/4-

İvme. Uygun olması nedeniyle, P 'nin ivmesi normal ve teğetsel bileşenler cinsinden ifade edilecektir.* $a_t = dv/dt$ ve $a_n = v^2/\rho$ 'yu kullanır $\rho = r$, $v = \omega r$. $\alpha = d\omega/dt$ olduğuna dikkat edersek

$$a_t = \alpha r \quad (16-11)$$

$$a_n = \omega^2 r \quad (16-12)$$

elde ederiz.

İvmenin teğetsel bileşenleri, Şekil 16-4e ve 16-4f, zamana göre, hızın büyüklüğündeki değişim oranını gösterir. P 'nin hızı artıyorsa, a_t , v ile aynı yönde, azalıyorsa v ile ters yönde etkir; hız sabitse a_t sıfırdır.

İvmenin normal bileşenleri, zamana göre, hızın doğrultusundaki değişim oranını gösterir. a_n 'nin yönü, O 'ya, dairesel yörüngenin merkezine doğrudur, Şekil 16-4e ve 16-4f.

P noktasının ivmesi, hız gibi, vektörel çarpım cinsinden ifade edilebilir. Denklem 16-9'un zamana göre türevini alarak,

$$\mathbf{a} = \frac{d\mathbf{v}}{dt} = \frac{d\omega}{dt} \times \mathbf{r}_P + \omega \times \frac{d\mathbf{r}_P}{dt}$$

elde ederiz. $\alpha = d\omega/dt$ olduğunu hatırlayarak ve Denklem 16-9'u ($d\mathbf{r}_P/dt = \mathbf{v} = \omega \times \mathbf{r}_P$) kullanarak,

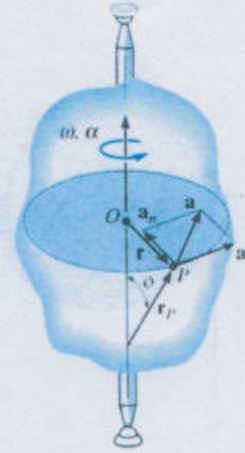
$$\mathbf{a} = \alpha \times \mathbf{r}_P + \omega \times (\omega \times \mathbf{r}_P) \quad (16-13)$$

elde ederiz. Vektörel çarpımın tanımından dolayı, sağ yandaki ilk terim $a_t = \alpha r_P \sin \phi = \alpha r$ büyüklüğüne sahiptir ve sağ el kuralına göre, $\alpha \times \mathbf{r}_P$ a_t doğrultusundadır, Şekil 16-4e. Bunun gibi, ikinci terimin büyüklüğü $a_n = \omega^2 r_P \sin \phi = \omega^2 r$ 'dir ve doğrultusunun, sağ el kuralı önce $\omega \times \mathbf{r}_P$ 'ye ardından $\omega \times (\omega \times \mathbf{r}_P)$ 'ye uygulanarak, a_n ile aynı olduğu görülür, Şekil 16-4e. Bunun, hareket düzleminde yer alan $-\mathbf{r}$ ile aynı doğrultuda olduğuna dikkat ederek a_n 'yi, $a_n = -\omega^2 \mathbf{r}$ olarak çok daha basit formda ifade edebiliriz. Buna göre, Denklem 16-11 ve 16-12, iki bileşeniyle

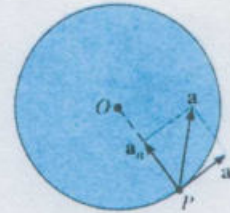
$$\begin{aligned} \mathbf{a} &= \mathbf{a}_t + \mathbf{a}_n \\ &= \alpha \times \mathbf{r} - \omega^2 \mathbf{r} \end{aligned} \quad (16-14)$$

olarak ifade edilebilir. \mathbf{a}_t ve \mathbf{a}_n dik olduğundan, Şekil 16-4e ve 16-4f, ivmenin büyüklüğü gerektiğinde Pisagor teoreminden, yani $a = \sqrt{a_n^2 + a_t^2}$ 'den belirlenebilir.

* Kutupsal koordinatlar da kullanılabilir. $a_r = \ddot{r} - r\dot{\theta}^2$ ve $a_\theta = r\ddot{\theta} + 2\dot{r}\dot{\theta}$ olduğundan, $\dot{r} = \dot{r} = 0$, $\dot{\theta} = \omega$, $\ddot{\theta} = \alpha$ koyarak Denklem 16-11 ve 16-12'yi elde ederiz.



(e)



(f)

Şekil 16-4 (devam)

ANALİZDE İZLENECEK YOL

Sabit bir eksen etrafında dönen bir cisim içindeki bir noktanın hız ve ivmesinin belirlenmesi için, önce cismin açısal hız ve açısal ivmesinin belirlenmesi gerekir. ω ve α 'yı elde etmek için 16-1, 16-7 denklemleri kullanılırsa, dönme eksenini boyunca bir *pozitif yön* oluşturulması önemlidir. Bu yapıldıktan sonra, θ , ω ve α 'nın yönü, bunların sayısal değerlerinin cebirsel işaretlerinden belirlenebilir. Aşağıdaki örneklerde, pozitif yön, uygulanan kinematik denklemin yanında, bir okla gösterilecektir.

Açısal Hareket. α ve ω bilinmiyorsa, açısal hareketler arasındaki bağıntılar

$$\omega = \frac{d\theta}{dt} \quad \alpha = \frac{d\omega}{dt} \quad \alpha d\theta = \omega d\omega$$

diferansiyel denklemleriyle tanımlanır. Cismin açısal ivmesinin *sabit* olduğu *kesin* ise, aşağıdaki denklemler kullanılabilir:

$$\begin{aligned} \omega &= \omega_0 + \alpha_c t \\ \theta &= \theta_0 + \omega_0 t + \frac{1}{2} \alpha_c t^2 \\ \omega^2 &= \omega_0^2 + 2\alpha_c (\theta - \theta_0) \end{aligned}$$

P'nin Hareketi. Cisim içindeki bir P noktasının hareketi belirleneceği zaman, problemin çözümünde *kinematik diyagramın* da kullanılması önerilir. Bu diyagram, noktanın hareketinin grafiksel bir gösterimidir.

Çoğu halde, hız ve ivmenin iki bileşeni

$$\begin{aligned} v &= \omega r \\ a_t &= \alpha r \\ a_n &= \omega^2 r \end{aligned}$$

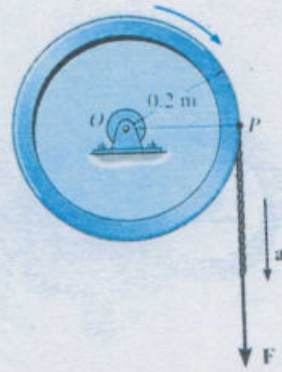
skaler denklemlerinden belirlenebilir. Ancak, problemin geometrisini oluşturmak güçse, aşağıdaki vektörel denklemler kullanılabilir:

$$\begin{aligned} \mathbf{v} &= \boldsymbol{\omega} \times \mathbf{r}_P = \boldsymbol{\omega} \times \mathbf{r} \\ \mathbf{a}_t &= \boldsymbol{\alpha} \times \mathbf{r}_P = \boldsymbol{\alpha} \times \mathbf{r} \\ \mathbf{a}_n &= \boldsymbol{\omega} \times (\boldsymbol{\omega} \times \mathbf{r}_P) = -\omega^2 \mathbf{r} \end{aligned}$$

\mathbf{r}_P dönme eksenini üzerindeki herhangi bir noktadan P noktasına yönelir, buna karşın \mathbf{r} P 'nin hareket düzleminde yer alır. Bu vektörlerin her biri, $\boldsymbol{\omega}$ ve $\boldsymbol{\alpha}$ ile birlikte \mathbf{i} , \mathbf{j} , \mathbf{k} bileşenleri cinsinden ve gerekiyorsa, bir determinant açılımı kullanılarak (bkz. Denklem C-12) hesaplanan vektörel çarpımlar cinsinden ifade edilmelidir.

Örnek 16-1

Şekil 16-5'te gösterildiği gibi, başlangıçta hareketsiz duran bir tekerlek etrafında bir ip sarılıdır. İpe, t saniye cinsinden olmak üzere, $a = (4t)$ m/s² ivmesi veren bir kuvvet uygulandığına göre, (a) tekerleğin açısal hızını, (b) OP çizgisinin radyan cinsinden ölçülen açısal konumunu zamanın fonksiyonu olarak belirleyiniz.



Şekil 16-5

ÇÖZÜM

(a). Tekerlek, O noktasından geçen sabit bir eksen etrafında dönmektedir. Bu yüzden, tekerlek üzerindeki P noktası bir dairesel yörüngede hareket eder ve dolayısıyla bu noktanın ivmesi hem teğetsel hem de normal bileşene sahiptir. Özel olarak, teğetsel bileşen $(a_p)_t = (4t)$ m/s²'dir, çünkü ip tekerleğe bağlıdır ve P 'de tekerleğe teğettir. Dolayısıyla, tekerleğin açısal ivmesi

(↑+)

$$\begin{aligned}(a_p)_t &= \alpha r \\ (4t) \text{ m/s}^2 &= \alpha(0.2 \text{ m}) \\ \alpha &= 20t \text{ rad/s}^2\end{aligned}$$

dir. Bu sonuç kullanılarak, tekerleğin ω açısal hızı artık $\alpha = d\omega/dt$ 'den belirlenebilir, çünkü bu denklem α , t ve ω 'yi birbirine bağlar. $t = 0$ 'da $\omega = 0$ olması koşulu ile integral işleminden,

(↑+)

$$\begin{aligned}\alpha &= \frac{d\omega}{dt} = (20t) \text{ rad/s}^2 \\ \int_0^\omega dt &= \int_0^t 20t^2 dt \\ \omega &= 10t^2 \text{ rad/s}\end{aligned}$$

$$\omega = 10t^2 \text{ rad/s}$$

Yanıt

elde edilir. Bu sonucu elde etmek için, niçin Denklem 16-5'i ($\omega = \omega_0 + \alpha_c t$) kullanmak mümkün değildir?

(b). Yukarıda bulunan sonuç kullanılarak, OP çizgisinin θ açısal konumu, $\omega = d\theta/dt$ 'den hesaplanabilir, çünkü bu denklem θ , ω ve t 'yi birbirine bağlar. $t = 0$ 'da $\theta = 0$ olması koşulu ile integral işleminden,

(↑+)

$$\begin{aligned}\frac{d\theta}{dt} &= \omega (10t^2) \text{ rad/s}^2 \\ \int_0^\theta dt &= \int_0^t 10t^2 dt \\ \theta &= 3.33 t^3 \text{ rad}\end{aligned}$$

$$\theta = 3.33 t^3 \text{ rad}$$

Yanıt

bulunur.

9-3 DÖNME HAREKETİ
KİNETİK ENERJİSİ

9-3 Kinetik Dönme Enerjisi

Dönen bir topun kütlesi hareket halindedir. Dolayısıyla topun ya da dönen herhangi bir cismin **kinetik dönme enerjisi** vardır [Şekil (9-10)]. Şekil (9-11)'de z eksenini etrafında ω açısal hızı ile dönen cisim göz önüne alalım. Koordinat sistemi merkezini geliştirebilirsek cismi, i indisi ile belirlenmiş ve kütlesi Δm_i olan parçalara ayırabiliriz. Başka bir ifade ile cismi ayrı ayrı parçalardan oluşan bir küme olarak düşünelim. Bu durumda cismin toplam kinetik enerjisi,

$$K = \sum_i K_i = \frac{1}{2} \sum_i \Delta m_i v_i^2.$$

Her bir kütle parçası z eksenini etrafında ω açısal hızı ile döndüğünden, her bir elemanın hızı $v_i = R_i \omega$ 'dir. Şekil (9-11)'de görüldüğü gibi R_i uzunluğu, dönme eksenini ile kütle parçası arasındaki **dik uzaklıktır**. v_i hız değerinin kinetik enerji bağıntısında yerine koyulmasıyla,

$$K = \frac{1}{2} \sum_i \Delta m_i R_i^2 \omega^2. \quad (9-13)$$

Buradan anlaşılacağı üzere dönen bir cismin kinetik enerjisi ω^2 ile doğru orantılıdır. Bu bağıntı,

$$K = \frac{1}{2} I \omega^2, \quad (9-14)$$

şeklinde de yazılabilir ve burada I ,

$$I \equiv \sum_i \Delta m_i R_i^2 \quad (9-15)$$

ile verilir ve katı cismin **eylemsizlik momenti** olarak tanımlanır. Boyutu $[ML^2]$, metrik sistemde birimi $\text{kg} \cdot \text{m}^2$ dir. Eş. (9-15)'e göre, dönme eylemsizliği yalnızca dönme eksenine göre değil seçilecek olan herhangi bir eksene göre de tanımlanır. Bunun anlamı, I 'nin, R_i 'nin ölçüldüğü eksene bağlı olmasıdır.

$$I = mR^2. \quad (9-16)$$

Eylemsizlik momenti bir eksene göre tanımlanmasına rağmen, dönme hareketinde, doğrusal harekette kütle yüklenmiş işleve benzer bir işlev yüklenir. Nokta parçasının kinetik enerjisi, kütlesi ile hızının karesi çarpımının yarısıdır, dönen bir cismin kinetik enerjisi ise eylemsizlik momenti ile açısal hızının karesi çarpımının yarısıdır; yani, $K_{\text{noktasal}} = mv^2/2$ ve $K_{\text{dönme}} = I\omega^2/2$ 'dir. Kütle hızdaki değişime göre cismin direncini ölçmesi gibi, eylemsizlik momenti de cismin açısal hızdaki değişime gösterdiği direnci belirlemektedir.

Kasnak, eylemsizlik momenti büyük olan dönen bir disk ve büyük açısal hızlara ulaşabilir. Kasnak böylelikle enerji depolar. İsviçre hükümeti tarafından Zürih şehrinde elektrikli kasnak sistemi ile çalışan bir otobüs işletilmektedir. Otobüse monte edilmiş kasnak elektrik jeneratörüne güç vermekte ve üretilen elektrikle, tekerlekleri döndüren elektrik motorları çalıştırılmaktadır. Güzergahının sonunda otobüs Zürih elektrik dağıtım şebekesine bağlanarak jeneratörü, kasnağı hızlandıran bir motor görevi yapacak şekilde tersine çalıştırılmakta ve böylece dönüş yolu için yeterli enerji depolanabilmektedir.

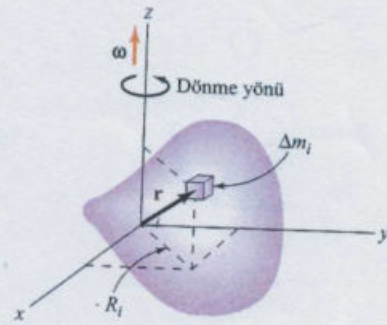
Aynı ayrı parçalardan oluşan sistemler için eylemsizlik momenti daha önce tanımlanmıştır. Bu parçaların sonsuz küçüklükteki hacim ve kütleyle sahip olduğu, kütle



ŞEKİL 9-10 Uçuşan kıvılcıklar dönmekte olan tekerleğin bir kinetik enerjisi olduğunu göstermektedir.

Dönüş hareketinin kinetik enerji ifadesi ve eylemsizlik momentinin tanımı

Eylemsizlik momenti seçilen bir eksene göre tanımlanır.



ŞEKİL 9-11 z eksenini etrafında dönmekte olan bir katı cisim, i ile işaretlenmiş r_i konumuna sahip Δm_i kütleli küçük parçalara bölünmüştür ve i parçasının z eksenine olan uzaklığı R_i 'dir.



UYGULAMA

Kasnaklar

ÖRNEK 10-7 Kütlesi M , eksenini etrafındaki dönme eylemsizlik momenti I ve yarıçapı da R olan bir makara, yerçekimi kuvvetinin etkisiyle çözülerek açılmaktadır Şekil (10-23). İp h uzunluğu kadar çözüldüğünde, makara kütle merkezinin hızını bulunuz.

Çözüm: Makaranın toplam kinetik enerjisi, kütle merkezinin hareketinden kaynaklanan kinetik enerjiyle, kütle merkezi etrafındaki dönmeden kaynaklanan kinetik enerjisinin toplamıdır. Dolayısıyla,

$$K = \frac{1}{2} Mv^2 + \frac{1}{2} I\omega^2.$$

Açısal hızla kütle merkezinin hızı arasındaki ilişki, kaymadan yuvarlanmakta olan bir silindirinkine denktir. Dolayısıyla,

$$v = R\omega.$$

Buna göre kinetik enerji;

$$K = \frac{1}{2} MR^2\omega^2 + \frac{1}{2} I\omega^2 = \frac{1}{2} (MR^2 + I)\omega^2.$$

Paralel eksen teoreminin basit bir uygulaması bize, parantezin içindeki büyüklüğün, ipin makara yüzeyinden ayrıldığı nokta etrafındaki dönme eylemsizlik momentine eşit olduğunu gösterir.

Enerjiye olan bir başka katkı da yerçekiminden kaynaklanan potansiyel enerjiden gelir. Potansiyel enerji, makaranın ilk yüksekliğinden itibaren ölçülür. Bu durumda makara h kadar düştüğünde, potansiyel enerji $-Mgh$ kadar azalır ve makara da Mgh kadar bir kinetik enerji kazanır. İlk açısal hızı sıfır olan makaranın h kadar düştükten sonra sahip olacağı kinetik enerji;

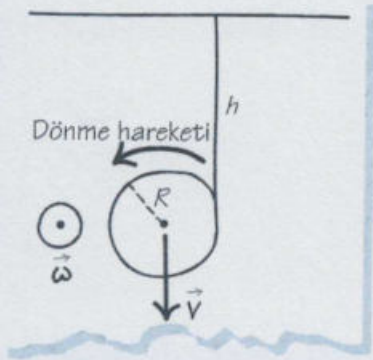
$$K = Mgh.$$

Dolayısıyla,

$$\frac{1}{2} (MR^2 + I)\omega^2 = Mgh.$$

Buradan da,

$$v = R\omega = R \sqrt{\frac{2Mgh}{MR^2 + I}}.$$



ŞEKİL 10-23 Örnek (10-7).

Dönme Hareketiyle Doğrusal Hareket Arasındaki Benzerlikler

Açısal momentumun vektörel özelliği göz önüne alındığında, dönme hareketinin klasik (kuantum mekaniksel olmayan) açıklamaları için, herhangi bir yeni fizik yasasına gerek olmadığı görülür. *Klasik fizikle ilgili olarak son iki bölümde elde edilen sonuçların tümü, Newton kanunlarının çeşitli parçacıklara doğrudan uygulanmasından başka bir şey değildir.* Hem katı hem de katı olmayan cisimlerin dönme hareketinin incelemeleri basitleştiren pek çok özelliği vardır; öyle ki bu tür hareketler, açısal hız, açısal momentum ve tork gibi türetilmiş büyüklükler cinsinden ifade edilir. Bir doğru boyunca hareketi tanımlayan kinematik büyüklükler ile dönme hareketini tanımlayan kinematik büyüklükler arasındaki benzerlikler, her iki hareketin de Newton kanunlarına uymaları nedeniyledir (Tablo 10-1).

* 10-6 AÇISAL MOMENTUMUN KUANTUMLANMASI

Atomik boyuttaki ya da daha küçük boyutlardaki sistemlerde klasik fizik yerine, kuantum fiziği geçerli olur. Kuantum fiziğine göre: *açısal momentum sadece belirli kesikli değerlere alır* -buna açısal momentumun *kuantumlanması* denir. Çekirdekten kay-

X [cm.] (Sek. 9)	t [sn.] (Sek. 7, 8, 9)	y [cm.] $y = x^2/30$ (Eş. 36, Sek. 9)	$3y$ [m/sn] $3y = 0,1x^2$ (Eş. 38, Sek. 9)	v^2 [m/sn] $v^2 = 20 - 3y$ (Eş. 37, Sek. 9)	v^2 (m/sn.) $v^2 = -0,025t^2 + 1,5t - 2,5$ (Eş. 35, Sek. 7)	$a_{azulasyon}$ [m/sn ²] $a_{azulasyon} = 3y/x$ (Eş. 4, 39, Sek. 9)	$a_{azulasyon}$ [m/sn ²] $a_{azulasyon} = -0,05t + 1,5$ (Eş. 34, Sek. 8)
10	10	3,333	10	10	10	1	1
9	12	2,7	8,1	11,9	11,9	0,9	0,9
8	14	2,13	6,4	13,6	13,6	0,8	0,8
7	16	1,63	4,9	15,1	15,1	0,7	0,7
6	18	1,2	3,6	16,4	16,4	0,6	0,6
5	20	0,83	2,5	17,5	17,5	0,5	0,5
4	22	0,53	1,6	18,4	18,4	0,4	0,4
3	24	0,3	0,9	19,1	19,1	0,3	0,3
2	26	0,13	0,40	19,6	19,6	0,2	0,2
1	28	0,033	0,1	19,9	19,9	0,1	0,1
0	30	0	0	20	20	0	0

Cetvel 1 - Farklı iki hesap yönteminde elde edilen sonuçlar.

BYNDIYI

Denklemler 40 ve 41 den dt yok edilerek, -40-
 açısal ivme, açısal hız ve açısal yer değiştirme
 arasında diferansiyel

$$\| \alpha \cdot d\theta = \omega \cdot d\omega \quad (42)$$

bağıntısı elde edilir.

P noktasının $d\theta$ açısal hareketinde alınan yol,

$$\widehat{PP'} = r \cdot d\theta$$

ve bu yol dt zaman aralığında alınır ise,

P noktasının hızı,

$$\frac{\widehat{PP'}}{dt} = r \cdot \frac{d\theta}{dt}$$

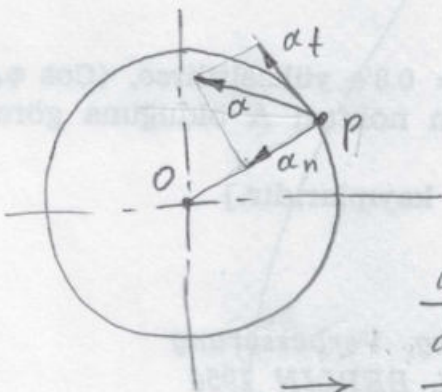
$$\| v = r \cdot \omega \quad (43)$$

olur. P'nin ivmesi, teğetsel ve normal bileşenler

olarak ifade edilebilir, şöyle ki;

denklemler 42'nin zamanla göre

türevini alarak



$$\frac{dv}{dt} = r \cdot \frac{d\omega}{dt} + \omega \cdot \frac{dr}{dt}$$

(Burada $\vec{OP} = r$ yer vektörü veya konum vektörüdür.)

$$\left. \begin{aligned} \frac{d\alpha}{dt} &= \alpha \\ \frac{d\omega}{dt} &= \omega \\ \frac{dr}{dt} &= v \end{aligned} \right\} \text{ile}$$

malîyetlerini düşünecektir.

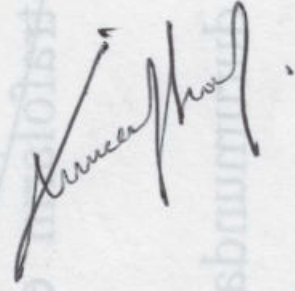
ERDEMİR örneğinde olduğu gibi)

-Kurumumuzun KEDAŞ'a sponsorluğunun iptal edilerek doğrudan daha
birinin mümkün olmasının önemünde de;

devredilmesi;

Koepe İhrac Sistemi

III



Ana Kaynak : Mad.Y. Müh. Mehmet GÜNEY
(Koepe İhrac Sistemi - EKI.)

(6) Adet .

$$a = r \cdot \alpha + \omega \cdot v$$

$$a = r \cdot \alpha + \omega \cdot (r \cdot \omega)$$

$$\| a = r \cdot \alpha + \omega^2 \cdot r = a_t + a_n \quad (44)$$

elde edilir.

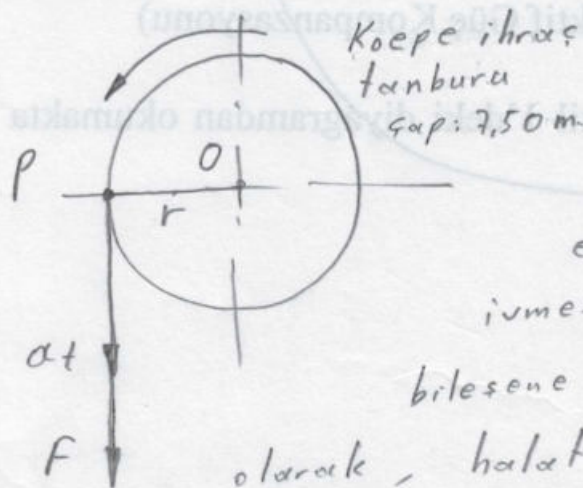
a_t - ivmenin teğetsel bileşeni:

Zamana göre hızın büyüklüğündeki değişim oranını gösterir. Dairesel yörüngeye teğettir.

a_n - ivmenin normal bileşeni:

Zamana göre hızın doğrultusundaki değişim oranını gösterir. a_n 'nin yönü, O' ya, dairesel

yörünge'nin merkezine doğrudur.



Şimdi, Köpe ihraç tanburunun düşünelim. P noktası bir dairesel yörünge'de hareket eder ve dolayısıyla bu noktanın

ivmesi hem teğetsel hem de normal bileşene sahiptir. Ancak burada özel

olarak, halat tanbur üzerinde ve P noktasında tanbura teğettir. Dolayısıyla tanburanın aksial ivmesi:

(44) ayesitliğini gereğince,

$$(a_p)_t = r \cdot \alpha$$

$$\| \alpha = \frac{dw}{dt} = \frac{(a_p)_t}{r} \quad (45)$$

dir.

Yani, azalan α azalır ivme,

$$\omega_{azalan} = \frac{\alpha_{azalan}}{r} \text{ rad/sn}^2 \quad (46)$$

olarak yazılabilir.

Bu konuda Hasan ÖZOKLAV hocam ile, Serway - Beichner - Kemal Çolakçoğlu Fizik 1 de yer alan ve ekte verilen konularında gözden geçirilmesinin yararlı olacağı kanaatindeyim.

Şimdi hesaplarımızı yapalım:

Koepfe ihraç tambur çapı; $D = \phi 7,50 \text{ m}$ (S: 20)

dolayısıyla r yarıçapı,

$$r = 7,50 \text{ m} / 2 \rightarrow r = 3,75 \text{ m.}$$

dir. Cetvel 1'e göre:

$\alpha_{azalan} [m/sn^2]$	1	0,9	0,8	0,7	0,6	0,5	0,4	0,3	0,2	0,1	0
$\omega_{azalan} [rad/sn^2]$	0,266	0,24	0,213	0,186	0,16	0,13	0,106	0,08	0,053	0,026	0

ve

$$\omega_{azalan} = \frac{\alpha_{azalan}}{3,75} = \frac{1}{3,75} = 0,266 \text{ rad/sn}^2$$

Şimdi, diğer azalan α azalır ivme değerlerini de bulup yukarıdaki tabloya işleyelim.

θ - Eylemsizlik momenti (veya Kütle eylemsizlik momenti),

Cismi meydana getiren bütün dm kütle elemanlarının bir eksen'e göre ikinci momentinin integrali olarak tanımlanır (S: 38/7). Şekil 10 da gösterilen rijit

MADDESEL NOKTANIN KİNEMATİĞİ

75

Çembersel hareket. P maddesel noktasının yörüngesi R yarıçaplı bir çember olsun. Bu harekete çembersel hareket denir. Bir çembersel harekette hareketin $s = s(t)$ şeklindeki doğal denkleminin verilmesine göre, maddesel nokta bütün çemberi çizmeyip, çemberin yalnızca bir yayını çizebileceği gibi, aynı bir yayı pek çok defa da çizebilir. Eksen takımını Şekil 25 deki gibi seçelim. Ox ekseninin çemberi kestiği nokta A olsun. $s = AP$ eğrisel apsisini gözönüne alalım; çember kapalı bir eğri olduğuna göre s eğrisel apsisini $2n\pi R$ farkıyla belirler:

$$s = s_0 + 2n\pi R, \quad (11.20)$$

$$n = 0, \pm 1, \pm 2, \dots$$

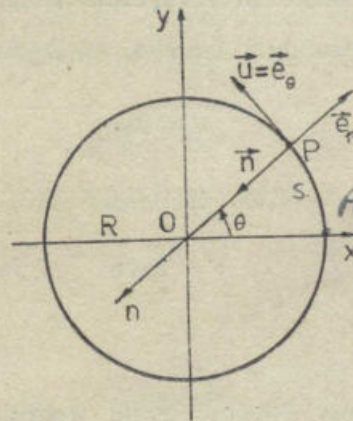
yazılabilir. Aynı şekilde yarı-kutupsal koordinatlara ait θ açısını gözönüne alarak

$$\theta = \theta_0 + 2\pi n \quad (11.21)$$

$$n = 0, \pm 1, \pm 2, \dots$$

dir. s ve θ için uygun belirtmeler seçerek aralarında, θ açısı radyan ile ölçülmek şartıyla

$$s = R\theta \quad (11.22)$$



Şekil 25

KİNEMATİK

bağıntısı oluşur. Sürekliliği sağlamak üzere θ veya s hareket boyunca izlenir. Yörünge olarak çember verildikten sonra hareketin de verilmiş olması için

$$s = s(t) \quad (11.23)$$

doğal denklemi verilmelidir; veya (11.22) den

$$\theta = \theta(t) = s(t)/R \quad (11.24)$$

bulunur. Çembersel hareketi, (x, y) kartezyen koordinat sisteminde

$$x = x(t) = R \cos \theta, \quad y = y(t) = R \sin \theta \quad (11.25)$$

veya (r, θ) yarı-kutupsal koordinat sisteminde

$$r = R; \quad \theta = \theta(t) \quad (11.26)$$

şeklinde verilmiş düşünebiliriz. Çembersel harekette skaler hızı hesaplayalım;

$$v = \frac{ds}{dt} = R \frac{d\theta}{dt} \quad (11.27)$$

elde olunur. $\omega = \frac{d\theta}{dt} = \dot{\theta} = \omega(t)$ türevine P maddesel noktasının, çembersel hareketinde açısal hızı denir; ω cinsinden skaler hız

$$v = R\omega \quad (11.28)$$

ve hız da, u çemberin teğetinin birimsel vektörü olduğuna göre

$$v = R\omega u \quad (11.29)$$

olarak bulunur.

Çembersel harekette ivmenin doğal koordinatlarını hesaplayalım; çemberde ρ eğrilik yarıçapı her noktada R yarıçapına eşittir; buna göre

MADDESEL NOKTANIN KİNEMATİĞİ

ε

a_n = d^2s/dt^2 = R d^2θ/dt^2 = R dω/dt, a_n = 1/ρ (ds/dt)^2 = Rω^2 (11.30)

sonuçları elde olunur. ω = dω/dt türevine açısal ivme denir. Sonuç olarak, çembersel harekette ivme,

a = Rω u + Rω n (11.31)

bağıntısıyla bulunacaktır. Çembersel harekette hız ve ivmenin ifadelerini (r, θ) yarı-kutupsal koordinatlarını kullanarak da bulabiliriz. Gerçekten çemberin merkezi, koordinatların başlangıç noktasında alınca u = e_θ, n = -e_r olduğu Şekil 25 den görülüyor. Diğer taraftan çembersel harekette r = R = sabit ve θ = θ(t) olduğundan r = r = 0 olur. Buna göre hız ve ivmenin yarı-kutupsal koordinat sistemindeki koordinatları kullanılarak ve θ = ω, θ = ω yazarak

v = Rω e_θ = Rω u

a = -Rω^2 e_r + Rω e_θ = Rω u + Rω^2 n

olmak üzere aynı sonuçlar elde olunur.

Çembersel harekette (11.25) bağıntılarını gözönüne alarak hız ve ivmenin kartezyen koordinatlarını da hesaplayabiliriz. θ = θ(t) olduğu gözönüne alınarak (11.25) ifadelerinden zamana göre türev alarak

v_x = x = -(R sin θ)ω = -ωy, v_y = y = (R cos θ)ω = ωx (11.32)

elde edilir; a ivmesinin koordinatları (11.32) bağıntılarından, tekrar zamana göre türev alarak

a_x = x = -ωy - ωy; a_y = y = ωx + ωx

ve (11.32) bağıntılarından x ve y yerlerine konularak

a_x = x = -ωy - ω^2x; a_y = y = ωx - ω^2y (11.33)

34

KİNEMATİK

bulunur. Hız ve ivmenin kartezyen koordinatlarını kullanarak vektörel ifadelerini oluşturabiliriz. Gerçekten

$$\mathbf{v} = v_x \mathbf{i} + v_y \mathbf{j} = -\omega y \mathbf{i} + \omega x \mathbf{j}$$

ifadesinde

$$\mathbf{i} = \mathbf{j} \wedge \mathbf{k} = -\mathbf{k} \wedge \mathbf{j} \quad \text{ve} \quad \mathbf{j} = \mathbf{k} \wedge \mathbf{i}$$

bağıntılarını koyalım. Burada \mathbf{k} çember düzlemine dik birimsel vektördür. Buna göre

$$\mathbf{v} = \omega \mathbf{k} \wedge (x\mathbf{i} + y\mathbf{j})$$

veya $\vec{OP} = x\mathbf{i} + y\mathbf{j}$ olduğundan

$$\mathbf{v} = \omega \mathbf{k} \wedge \vec{OP} \quad (11.34)$$

elde edilir; $\omega = \omega \mathbf{k}$ vektörünü etki çizgisi Oz ekseni olan kayan vektör olarak tanımlayalım. (11.34) bağıntısını

$$\mathbf{v} = \vec{PO} \wedge \vec{\omega}$$

şeklinde yazabiliriz. \mathbf{v} hızının P noktasına ait olduğunu \mathbf{v}_P şeklinde yazarak ifade edersek

$$\mathbf{v}_P = \vec{M}_P \quad (11.35)$$

buluruz; burada $\vec{M}_P = \vec{PO} \wedge \vec{\omega}$ olarak $\vec{\omega} = (\omega, Oz)$ kayan vektörünün P noktasına göre momentini göstermektedir. Böylece şu Teorem elde edilmiştir.

TEOREM: Bir P maddesel noktasının çembersel hareketinde herhangi bir t anındaki hız, o anda tanımlanmış uygun bir $\vec{\omega}$ kayan vektörünün P noktasına göre momentine eşittir; bu kayan vektörün etki çizgisi çemberin merkezinden geçen ve çember düzlemine dik olan Oz eksenidir ve $\vec{\omega}$ nın bu eksene göre koordinatı açısal hıza eşittir.

MADDESEL NOKTANIN KİNEMATİĞİ

45

İvmeye gelince, (11.33) bağıntıları kullanılarak

$$\mathbf{a} = (-\omega^2 y \mathbf{i} + \omega^2 x \mathbf{j}) - \omega^2 (x \mathbf{i} + y \mathbf{j})$$

veya

$$\mathbf{a} = \vec{PO} \wedge \vec{\omega} - \omega^2 \vec{OP} \tag{11.36}$$

şeklinde yazılabileceği kolayca görülür.

Düzgün çembersel hareket. Yörüngenin bir çember olduğunu ve hareketin düzgün olduğunu varsayalım. Hareketin düzgün olması

$$s = \alpha t + \beta$$

olması demektir; çembersel hareketle $s = R\theta$ olduğundan

(11.34)

$$\theta = \frac{s}{R} = \omega_0 t + \theta_0 \quad \left(\omega_0 = \frac{\alpha}{R}, \quad \theta_0 = \frac{\beta}{R} \right) \tag{11.37}$$

bulunur. $\omega_0 \neq 0$ olmak üzere ω_0 ve θ_0 birer sabiti göstermektedir. Düzgün çembersel harekette açısal hızın

$$\omega = \frac{d\theta}{dt} = \omega_0 \tag{11.38}$$

olmak üzere sabit olduğu bulunur. Eğer $\omega_0 > 0$ ise, $\frac{d\theta}{dt} > 0$ olur ve θ daima artacağından P maddesel noktası çemberi pozitif yönde devreder, $\omega_0 < 0$ ise $\frac{d\theta}{dt} < 0$ olup θ daima eksilir ve çember negatif yönde devredilir. Demek ki düzgün çembersel hareketle, çemberin tamamı yörüngedir ve hareket, çember daima aynı yönde devredilecek şekilde olur.

(11.35)

$\omega = \omega_0 = \text{sabit}$ olduğundan düzgün çembersel harekette açısal ivme daima sıfırdır:

$$\dot{\omega} = \frac{d\omega}{dt} = 0 \tag{11.39}$$

467

KİNEMATİK

$$a_n = R\omega^2 = 0. \quad (11.40)$$

Düzgün çembersel harekette hız ve ivme

$$v = R\omega_0 u \quad ; \quad a = R\omega_0^2 n \quad (11.41), (11.42)$$

şeklindedir ve bu bağıntılardan görüldüğü gibi hem hızın hem de ivmenin şiddeti sabittir. Düzgün çembersel harekette P maddesel noktasının kartezyen koordinatları

$$x = R \cos(\omega_0 t + \theta_0) \quad ; \quad y = R \sin(\omega_0 t + \theta_0) \quad (11.43)$$

olur.

Düzgün çembersel hareket periyodik bir harekettir, önce periyodik bir hareketi genel olarak tanımlayalım.

Periyodik hareketin tanımı:

t zamanının $f = f(t)$ fonksiyonunu gözönüne alalım. Eğer her t için

$$f(t + T) = f(t) \quad (11.44)$$

olacak şekilde bir T sayısı varsa, $f(t)$ fonksiyonu periyodiktir, denir; T ye periyod adı verilir. Kolayca görülür ki T periyodsa $-T, \pm 2T, \pm 3T, \dots, \pm nT$ sayıları da periyoddur. Gerçekten (11.44) eşitliği her t için sağlanacağından $t_1 = t + T$ için de sağlanır:

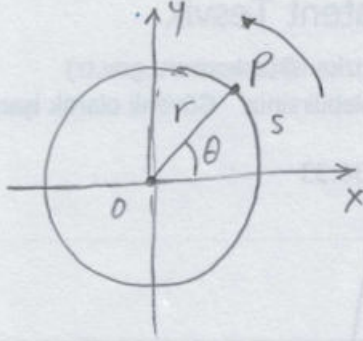
$$f(t + T + T) = f(t + T) = f(t) \quad \text{ve}$$

$$f(t + 2T) = f(t)$$

bulunur; diğerleri benzer şekilde gösterilir. Bu bakımdan periyod tanımını pozitif ve en küçük olan değere ayırmak uygun olacaktır; örneğin bu anlamda \sin nin periyodu 2π ; \tan nin periyodu π dir. Periyodik hareketin tanımına gelince

$$x = x(t) \quad , \quad y = y(t) \quad \text{ve} \quad z = z(t) \quad (11.45)$$

Afısal yerdeğiştirme, hız ve ivme :



Şekil 10.1- O noktasından geçen ve şekil düzlemine dik olan sabit bir eksen etrafında (z-ekseni) katı bir cismin dönmesi. P noktasındaki parçacık O merkezli, r yarıçaplı çember üzerinde döner.

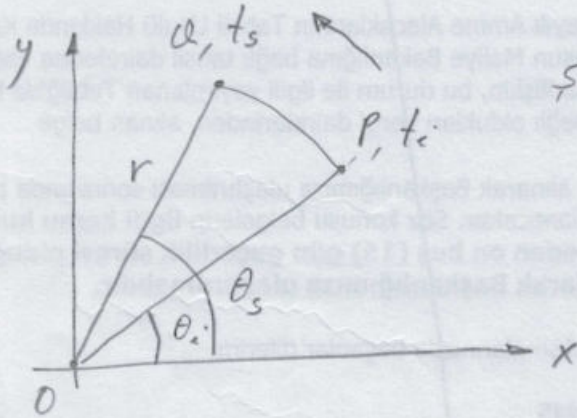
Şekil 10.2

Bir parçacık, pozitif x-ekseninden ($\theta=0$) bir yay boyunca P noktasına s yay parçası kadar yer değiştirirse, bu yerdeğiştirme ile ona karşılık gelen açı arasındaki bağıntı

$$s = r \cdot \theta \quad (10.1a)$$

$$\theta = \frac{s}{r} \quad (10.1b)$$

şeklindedir. θ , boyutsuz bir sayı olup yaygın olarak θ nin birimi radyan (rad.) olarak alınır ($360^\circ = 2\pi \text{ rad.}$).



Şekil 10.2 - Dönen katı cismin üzerindeki bir parçacık P den Q ya bir yay boyunca gider. $\Delta t = t_s - t_i$ zaman aralığında yarıçap vektörünün $\Delta\theta = \theta_s - \theta_i$ açısını süpürür.

Şekil 10.2 deki $\Delta\theta$, parçacığın afısal yerdeğiştirmesi olarak tanımlanır.

$$\Delta\theta = \theta_s - \theta_i \quad (10.2)$$

Ortalama afısal hız $\bar{\omega}$, bu afısal yerdeğiştirmenin

Δt zaman aralığında oranı olarak tanımlarız: -42/8-

$$\bar{\omega} \equiv \frac{\theta_s - \theta_i}{t_s - t_i} = \frac{\Delta \theta}{\Delta t} \quad (10.3)$$

Çizgisel hız benzetilirse, ani açısal hız ω , Δt sıfıra giderken $\Delta \theta / \Delta t$ oranının limiti olarak tanımlanır:

$$\omega \equiv \lim_{\Delta t \rightarrow 0} \frac{\Delta \theta}{\Delta t} = \frac{d\theta}{dt} \quad [\text{rad/sn veya sn}^{-1}] \quad (10.4)$$

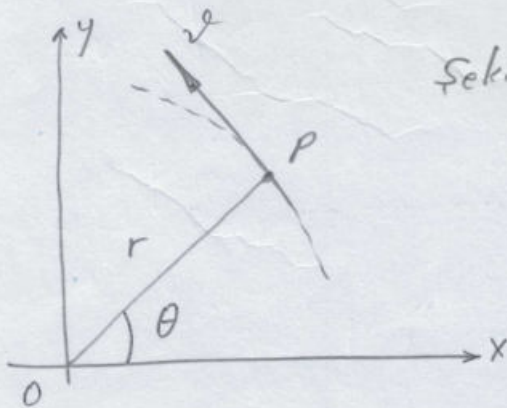
Bir cismin ani açısal hızı, Δt zaman aralığında ω_i den ω_s ye değişirse, cisim açısal ivme kazanır. Ortalama açısal ivme $\bar{\alpha}$, açısal hız değişiminin Δt zaman aralığında oranı olarak tanımlanır:

$$\bar{\alpha} \equiv \frac{\omega_s - \omega_i}{t_s - t_i} = \frac{\Delta \omega}{\Delta t} \quad (10.5)$$

ani açısal ivme ise,

$$\alpha \equiv \lim_{\Delta t \rightarrow 0} \frac{\Delta \omega}{\Delta t} = \frac{d\omega}{dt} \quad [\text{rad/sn}^2 \text{ veya sn}^{-2}] \quad (10.6)$$

Açısal ve doğrusal nicelikler



Şekil 10.4 - Bir katı cisim O dan geçen sabit eksen etrafında dönerken P noktası, r yarıçaplı dairesel yörüngeye daima teğet olan bir çizgisel hız sahiptir.

P noktası bir daire çevresinde hareket ettiğinden, çizgisel hız vektörü v daima çember yayına teğettir.

Bu yüzden de teğetsel hız adını alır. P noktasının teğetsel hızının büyüklüğü $v = ds/dt$ dir. Burada s dairesel yay üzerinde alınan yoldur. $s = r \cdot \theta$ ve $r = \text{sabit}$ ifadesini kullanarak

$$v = \frac{ds}{dt} = \frac{d}{dt} (r \cdot \theta) = r \cdot \frac{d\theta}{dt}$$

elde ederiz. $d\theta/dt = \omega$ olduğundan,

$$v = r \cdot \omega \quad (10.10)$$

bağıntısını yazabiliriz.

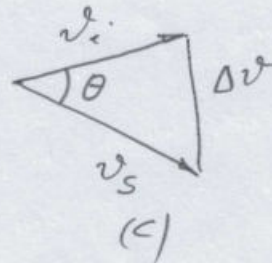
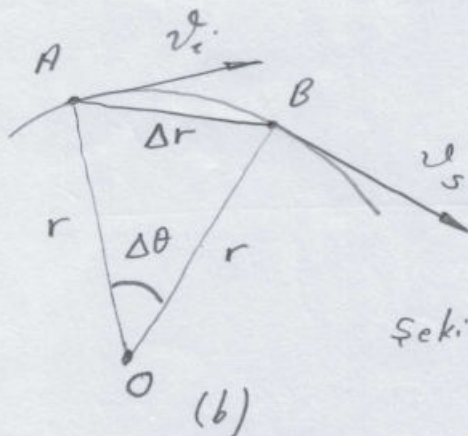
Dönen katı cismin açısal ivmesi ise,

$$a_t = \frac{dv}{dt} = r \frac{d\omega}{dt}$$

$$a_t = r \cdot \alpha \quad (10.11)$$

olur. Yani, dönen katı-cisim üzerindeki bir noktanın doğrusal ivmesinin teğetsel bileşeni, dönme eksenine olan uzaklıkla açısal ivmenin çarpımına eşittir.

Şimdi, dairesel yörüngede dönen bir noktanın, merkeze yönelik a_r merkezci (radyal) ivmesini bulmaya çalışalım ve 4.16 b şeklini ele alalım.



Şekil 4.16 - b) Parçacık A dan B ye hareket ederken, hız vektörünün doğrultusu v_i den v_s ye değişir.

c) Küçük Δr için dairenin merkezine doğru olan, hızdaki Δv değişimi.

Burada cisim önce t_i zamanında v_i hızıyla -42/10-
A noktasında ve sonra t_s zamanında v_s hızıyla B
noktasında görülmektedir. v_i ve v_s nin sadece doğ-
rultularının farklı olduğunda kabul ediyoruz. Büyüklük-
leri (yani $v_i = v_s = v$) aynıdır. Parçacığın ortalama
ivmesi,

$$\bar{\alpha} = \frac{v_s - v_i}{t_s - t_i} = \frac{\Delta v}{\Delta t} \quad (4.4)$$

olduğuna göre kenarları Δr ve r olan şekil 4.16 b-
deki üçgen ile şekil 4.16 c deki kenarları Δv ve v
olan üçgen benzerdir dolayısıyla,

$$\frac{\Delta v}{\Delta r} = \frac{v}{r}$$

ve

$$\Delta v = \bar{\alpha} \cdot \Delta t \quad (\text{Eş. 4.4})$$

ile

$$\bar{\alpha} = \frac{v}{r} \frac{\Delta r}{\Delta t}$$

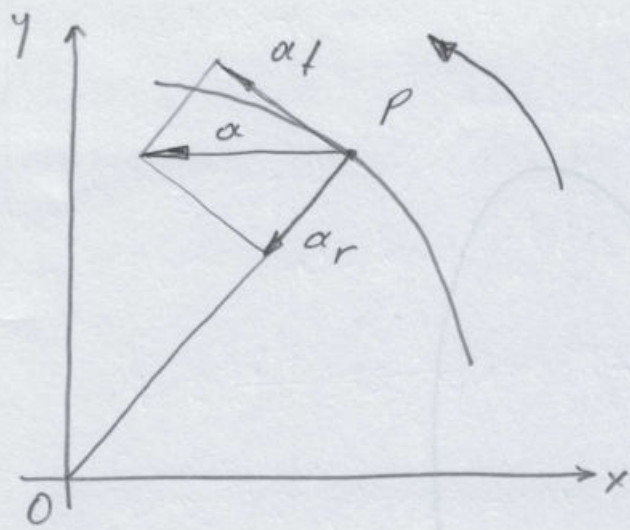
elde edilir. A ve B noktası birbirine yaklaşırsa
 Δt sıfıra ve $\Delta r / \Delta t$ oranında v hızına yaklaşır.
0 halde, $\Delta t \rightarrow 0$ limitinde ivmenin büyüklüğü

$$\alpha_r = \frac{v^2}{r}$$

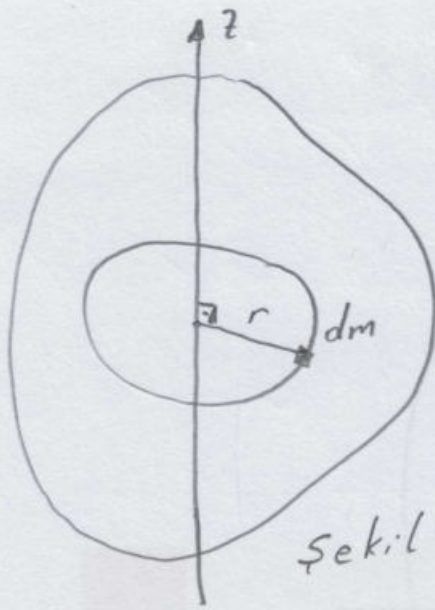
olur. P noktası için $v = r \omega$ olduğundan, bu
merkezcil (radyal) ivmeyi şu şekilde ifade edebiliriz:

$$\alpha_r = \frac{v^2}{r} = r \cdot \omega^2 \quad (10.12)$$

Şekil 10.5 de α_t ve α_r ivmelerini gösterelim.



Şekil 10.5 - Bir katı-cisim O 'dan geçen sabit bir eksen etrafında dönerken P noktasının teğetsel ivme bileşeni: a_t ve radyal (merkezci) bileşeni: a_r dir. Bu noktanın toplam ivmesi: $\vec{a} = \vec{a}_r + \vec{a}_t$ ve büyüklüğünde $a = \sqrt{a_t^2 + a_r^2}$ veya $a = \sqrt{r^2 \alpha^2 + r^2 \omega^4} = r \sqrt{\alpha^2 + \omega^4}$ olur.



Şekil 10 - Cismin z- eksenine göre eylemsizlik momenti

cismi ele alalım. Cismin z eksenine göre eylemsizlik momenti

$$I = \int_m r^2 \cdot dm \quad [\text{kg} \cdot \text{m}^2] \quad (47)$$

dir.

Buna göre eylemsizlik momentleri :

• Koepe ihrac tanburu ;

$$I_{K,i,t} = \frac{G_{K,i,t}}{g} \cdot r_{K,i,t}^2 = \frac{19100 \text{ kgf}}{9,81 \text{ m/s}^2} \cdot \left(\frac{7,50}{2} \text{ m}\right)^2$$

$$\| I_{K,i,t} = 27379,6 \text{ kg} \cdot \text{m}^2 \approx 27380 \text{ kg} \cdot \text{m}^2$$

$$(1 \text{ kgf} \approx 9,81 \text{ N} \approx 9,81 \text{ kg} \cdot \text{m/s}^2)$$

• Koepe ihrac kuyusuna ait şövalman moletleri :

2 Ad. molet olduğuna göre ,

$$I_{K,i,m} = 2 \cdot \frac{G_{K,i,m}}{g} \cdot r_{K,i,m}^2$$

$$I_{K,i,m} = 2 \cdot \frac{4400}{9,81} \cdot \left(\frac{7,56}{2}\right)^2$$

$$\| \underline{I_{k,i,m}} = 12817 \text{ kg.m}^2$$

• Koepe ihraç motoru :

$$\| \underline{I_{k,i,mot.}} = 24100 \text{ kg.m}^2 \text{ (verilmiştir)}$$

• Toplam asılı yük :

$$P_1 + P_2 = 108205 \text{ kpf} \text{ (S: 24)}$$

$$I_{t,\alpha,\gamma} = \frac{G_{t,\alpha,\gamma}}{g} \cdot (r_{k,i,t})^2$$

$$I_{t,\alpha,\gamma} = \frac{108205}{9,81} \left(\frac{7,50}{2} \right)^2$$

$$\| \underline{I_{t,\alpha,\gamma}} \approx 155103 \text{ kg.m}^2$$

Toplam eylemsizlik momenti,

$$I_{top} = I_{k,i,t} + I_{k,i,m} + I_{k,i,mot.} + I_{t,\alpha,\gamma}$$

$$I_{top} = 27380 + 12817 + 24100 + 155103$$

$$\| \underline{I_{top}} = 219400 \text{ kg.m}^2$$

Ortalama, statik döndürme momenti,

$$M_{d,ort,st.} = F_{\text{ faydalı yük}} \cdot r_{k,i,t}$$

$$M_{d,ort,st.} = 14000 \text{ kpf} \cdot \left(\frac{7,50}{2} \text{ m} \right)$$

$$\| \underline{M_{d,ort,st}} = 52500 \text{ kpf.m}$$

Sürtünme momenti,

Genel verim, $\eta_G = \%85$ kabul edilirse,

$$\eta_G = \frac{M_{d,ort.st}}{M_{d,ort.st} + M_{sür.}}$$

$$0,85 = \frac{52500}{52500 + M_{sür.}}$$

$$M_{sür.} = \frac{52500 - 0,85 \cdot 52500}{0,85} = 52500 \left(\frac{1 - 0,85}{0,85} \right)$$

$$= 52500 \left(\frac{100 - 85}{85} \right) \approx 9265$$

$M_{sür.} \approx 9265 \text{ kpf.m}$

Max. döndürme momenti,

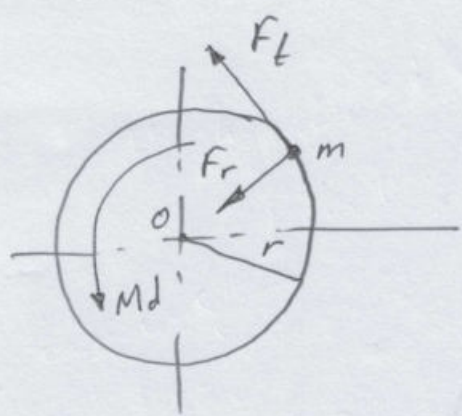
$$M_{dmax.} = M_{d,ort.st.} + M_{sür.} = 52500 + 9265$$

$M_{dmax.} = 61765 \text{ kpf.m}$

olarak elde edilir.

Şimdi, döndürme momenti ile açısal ivme arasındaki bağıntıyı bulalım.

Şekil 11 deki gibi teğetsel bir F_t kuvveti ile radyal (merkezcil) F_r kuvveti etkisinde, r yarıçaplı bir daire çevresinde dönen m kütleli bir parçacığı ele alalım. Burada merkezcil kuvvet, parçacığı dairesel yörüngede hareket ettirmek için mutlaka gereklidir.



Şekil 11- Teğetsel bir F_t kuvvetinin etkisiyle bir daire çevresinde dönen parçacık

Teğetsel kuvvet, teğetsel α_t ivmesini oluşturur.

$$F_t = m \cdot \alpha_t$$

F_t kuvvetinin dairenin merkezine göre döndürme momenti,

$$M_d = F_t \cdot r = (m \cdot \alpha_t) \cdot r$$

olur. Teğetsel ivme, açısal ivmeye,

$$\alpha_t = r \cdot \alpha \quad (\text{Eşitlik 45})$$

eşitliği ile bağlı olduğundan,

$$M_d = (m \cdot r \cdot \alpha) \cdot r$$

$$M_d = (m \cdot r^2) \cdot \alpha$$

olarak yazılabilir. $m r^2$ niceliğinin, orjinden geçen z eksenine göre dönen kütlenin eylemsizlik momenti olduğu hatırlanarak

$$M_d = I \cdot \alpha$$

M_d	I	α	(48)
$\text{kgf} \cdot \text{m}$	$\text{kg} \cdot \text{m}^2$	rad / s^2	

bağıntısı elde edilir.

Görüldüğü gibi, $M_d = I \cdot \alpha$ eşitliği, Newton'un

ikinci hareket kanununun $F = m \cdot a$ nin dönme hareketindeki benzeridir.

Not. Sabit bir eksen etrafında dönen katı 47-
bir cisim üzerindeki her noktaya etkiyen kuvvet
ve bu noktaların fiziksel hız ve ivmeleri farklıdır;
fakat, bu noktaların açısal hız ve açısal ivmeleri
aynıdır. Bu nedenle, dönen katı bir cisim, bir
bütün olarak açısal ivme, açısal hız ve net
döndürme momenti (tork) ile tanımlanır (Fizik1.
Serway - Beichner - Çözümlü S. 309)

Artık, hesaplanan; toplam eylemsizlik momenti

$I_{top} = 219400 \text{ kg}\cdot\text{m}^2$ (S:44) ve azalan açısal ivme
azalan (S:42) değerleri ile Esitlik 48 den fayda-
lanarak azalan döndürme momenti M_{azalan} için de
bir cetvel yapabiliriz.

α_{azalan} [rad./sn ²]	0,266	0,240	0,213	0,186	0,160	0,130	0,106	0,08	0,053	0,026	0
M_{azalan} [kgf.m]	58360	52656	46732	40808	35104	28522	23256	17552	11628	5704	0

$$\begin{aligned} \text{Örnek: } I_{top} = 219400 \text{ kg}\cdot\text{m}^2 & \left. \begin{array}{l} \\ \alpha_{azalan} = 0,266 \text{ rad/sn}^2 \end{array} \right\} \begin{array}{l} M_{azalan} = I_{top} \cdot \alpha_{azalan} \text{ (Eş.48)} \\ M_{azalan} = 219400 \cdot 0,266 \end{array} \\ \Rightarrow \underline{M_{azalan} = 58360 \text{ kgf}\cdot\text{m}} \end{aligned}$$

9- Koepe ihraç tanbur gücü (veya Koepe tanbur gücü).

Şekil 11'i Koepe ihraç tanburu olarak düşünelim.

Birim zamanda yapılan iş miktarı güç olarak
tanımlandığına göre, dt zaman aralığında dW
kadar iş yapan bir makine veya motor tarafından

üretilen güç,

- 48 -

$$P = \frac{dW}{dt}$$

dir. Cisim dt süresinde $ds = r \cdot d\theta$ kadar döndüğünde F_t teğetsel kuvvetin yaptığı iş

$$dW = F_t \cdot ds = F_t \cdot r \cdot d\theta$$

olur. (Burada radyal - merkezci - kuvvet yer değiştirmeye dik olduğundan iş yapmadığına dikkat edilmelidir)

O noktasına göre F_t kuvvetinin döndürme momenti $M_d = F_t \cdot r$ olduğuna göre

$$dW = M_d \cdot d\theta$$

ve F_t kuvvetinin iş yapma hızı (güç)

$$\frac{dW}{dt} = M_d \frac{d\theta}{dt}$$

dW/dt niceliği, kuvvet tarafından aktarılan ani (anlık) güsten dolayısıyla,

$$P = M_d \cdot \omega$$

olarak yazılabilir.

veya,

$$\omega = \frac{\pi n}{30}$$

$$M_d = F_t \cdot r$$

$$\left. \begin{array}{l} \omega = \frac{\pi n}{30} \\ M_d = F_t \cdot r \end{array} \right\} \rightarrow P = F_t \cdot r \cdot \frac{\pi n}{30} = F_t \cdot \frac{\pi n r}{60}$$

$$P = F_t \cdot v_t$$

(50)

esitliğide kullanılabilir.

49.

SI birim sisteminde kullanılan güç birimi:

W tir. Bu birim

$$1W = 1\text{ J/s} = 1\text{ Nm/s}$$

olarak tanımlanır.

İngiliz mühendislik birim sisteminde güç birimi:

beygir gücü hp (BG) dır.

$$1BG = 746\text{ W}$$

dir.

Su halde Koep tanbur gücü

$$P_{\text{Koep.tan.}} = F_t \cdot v_t$$

$P_{\text{Ko.tan.}}$	F_t	v_t
W	N	m/s

$$P_{\text{Koep.tan.}} = \frac{F_t \cdot v_t}{75}$$

$P_{\text{Ko.tan}}$	F_t	v_t
BG	kpf	m/s

 (51)

$$(1\text{ kpf} = 9,81\text{ N veya }1\text{ kpf} \approx 10\text{ N})$$

olarak yazılabilir.

Devam edelim,

$M_{d\text{top}} = F_t \cdot r$ olduğuna göre,

$$P_{\text{Ko.tan.}} = \frac{v_t}{75} \cdot \frac{M_{d\text{top.}}}{r}$$

ve $r = 7,50\text{ m}/2 = 3,75\text{ m.}$ ile,

$$P_{\text{Ko.tan.}} = M_{d\text{top.}} \frac{v_t}{75 \cdot 3,75}$$

$$\| P_{\text{Ko.tan.}} \approx M_{d\text{top.}} \frac{v_t}{282}$$

$P_{\text{Ko.tan}}$	$M_{d\text{top.}}$	v_t
BG	kpf.m	m/s

 (52)

bulunur.

Hesaplayalım ve bir cetvelde gösterelim.

t [sn.]	10	12	14	16	18	20	22	24	26	28	30
v [m/sn.]	10	11,9	13,6	15,1	16,4	17,5	18,4	19,1	19,6	19,9	20
$M_{d_{top}}$ [kpf.m]	120125	114421	108497	102573	96869	90287	85021	79317	73393	67469	61765
$P_{ko.tan.}$ [BG]	4260	4828	5232	5492	5633	5602	5547	5372	5101	4761	4380

$$M_{d_{top}} = M_{d_{max}} + M_{d_{azalan}}$$

olduğuna göre cetvel için bir örnek yapalım.

$$M_{d_{max}} = 61765 \text{ kpf.m (S:45)}$$

$$M_{d_{az.}} = 58360 \text{ kpf.m (S:47)}$$

$$M_{d_{top}} = 61765 + 58360$$

$$\| M_{d_{top}} = 120125 \text{ kpf.m}$$

$$P_{ko.tan.} = M_{d_{top}} \cdot \frac{v}{282} = 120125 \cdot \frac{10}{282}$$

$$\| P_{ko.tan.} \approx 4260 \text{ BG}$$

Benzer hesaplara cetvel doldurulur.

10- Sabit hız, artan ve azalan ivme sürelerinde alınan yol ;

Artan ve azalan ivme süresince alınan yol (mesafe) Şekil 7 veya Şekil 9 daki eğri ile \overline{Ot} eksenini arasında kalan alandır.

• Artan ivme süresince alınan yol,

$$L_{\text{artan}} = S \left(\triangle_{OPC} \right) = \frac{1}{2} \overline{OC} \cdot \overline{PC}$$

$$L_{\text{artan}} = \frac{1}{2} t_{OC} \cdot v_{PC} = \frac{1}{2} 10 \text{ sn} \cdot 10 \text{ m/sn.}$$

$$\| \underline{L_{\text{artan}}} = 50 \text{ m.}$$

• Azalan ivme süresince alınan yol,

$$f_2(t) = -0,025t^2 + 1,5t - 2,5 \quad (10 \leq t \leq 30)$$

$$\text{ve } f_1(t) = 0 \quad (t\text{- eksenini)}$$

eğrileri arasında kalan alandır.

$$L_{\text{azalan}} = \int_{10}^{30} [f_2(t) - f_1(t)] dt =$$

$$L_{\text{azalan}} = \int_{10}^{30} [(-0,025t^2 + 1,5t - 2,5) - 0] dt$$

$$L_{\text{azalan}} = \left. -0,025 \frac{t^3}{3} + 1,5 \frac{t^2}{2} - 2,5t \right|_{10}^{30}$$

$$\| \underline{L_{\text{azalan}}} \approx 333 \text{ m.}$$

Artan ve azalan ivme süresince alınan yol

$$L_{\text{art.az.}} = L_{\text{artan}} + L_{\text{azalan}} = 50 + 333$$

$$\| \underline{L_{\text{art.az.}}} = 383 \text{ m.}$$

olarak bulunur.

$$L_{art.az.} = S\left(\begin{matrix} P \\ O \\ C \end{matrix}\right) + S\left(\begin{matrix} P \\ C \\ B \\ N \end{matrix}\right) + S\left(\begin{matrix} C' \\ P \\ A \\ N \end{matrix}\right)$$

$$L_{art.az.} = \frac{1}{2} \overline{OC} \cdot \overline{OP} + \overline{PN} \cdot \overline{PC} + \frac{2}{3} (\overline{AN} \cdot \overline{PN})$$

Taraflı alan, yazılabilir!

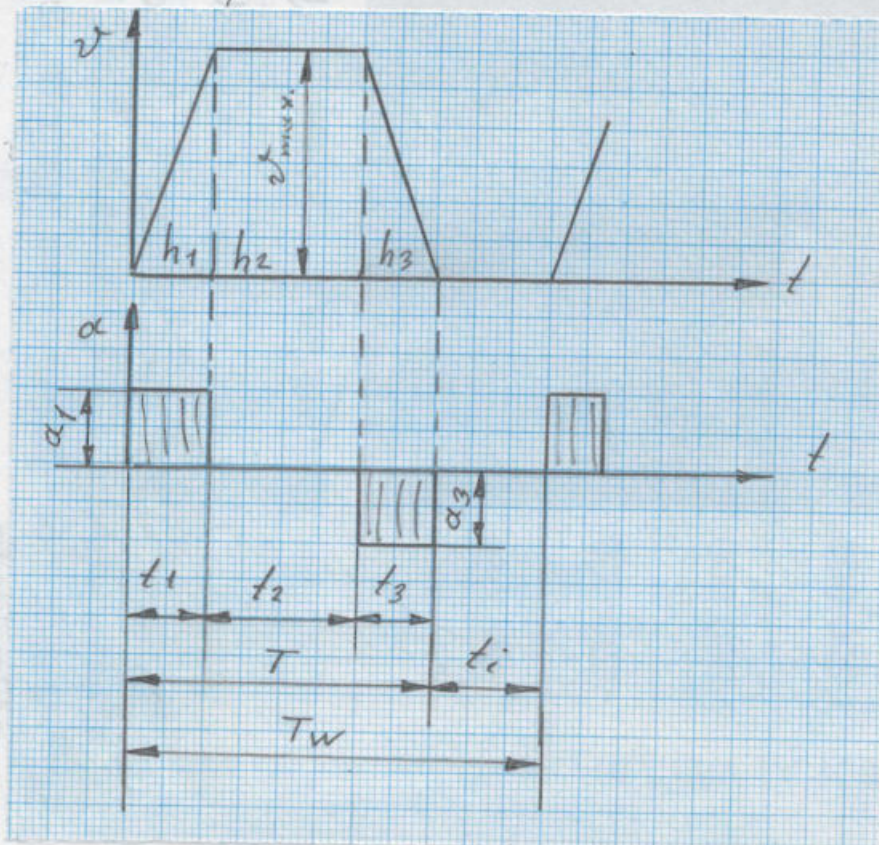
$$L_{art.az.} = \frac{1}{2} 10 \cdot 10 + 20 \cdot 10 + \frac{2}{3} 10 \cdot 20$$

$$L_{art.az.} = 50 + 200 + 133$$

$$\| \underline{L_{art.az.}} = 383 \text{ m.}$$

aynı sonuç bulunur. (integrasyon yöntemi daha matematikseldir)

- Mining Mechanical Engineering (R. Khadzhiyev, S. Butakov) den :



Şekil 20.1 - Üç kademeli hız ve ivme diyagramı

$$h_1 = \frac{1}{2} v_{max}^2 \cdot t_1 \quad (20.13)$$

$$t_1 = \frac{v_{max}^2}{\alpha_1} \quad (20.12)$$

$$h_3 = \frac{1}{2} v_{max}^2 \cdot t_3 \quad (20.15)$$

$$t_3 = \frac{v_{max}^2}{\alpha_3} \quad (20.14)$$

$$h_2 = H - h_1 - h_3 \quad (20.16)$$

$$t_2 = \frac{h_2}{v_{max}} \quad (20.17)$$

$$T = t_1 + t_2 + t_3 \quad (20.18)$$

Burada h [m], alınan yolu göstermektedir.

Herhangi bir hız diyagramlı sabit yarıçap tamburlu (silindirik) penelvinç sistemleri için eşdeğer kuvvet

$$F_{eq} = \sqrt{\frac{\sum F^2 t}{T w}} \quad (22.4)$$

şeklindedir.
Şekil 20 α ve c için

$$F_{eq} = \sqrt{\frac{(F_1^2 + F_1 \cdot F_2 + F_2^2) \frac{t_1}{3} + (F_3^2 + F_3 F_4 + F_4^2) \frac{t_2}{3} + (F_5^2 + F_5 F_6 + F_6^2) \frac{t_3}{3}}{0,5 (t_1 + t_3) + t_2 + 0,25 t_i}}$$

(22.3) eşitliği yazılır.

t_i - Durma süresi (Şekil 20.1)

Hem yükleme (doldurma) hemde boşaltma da skipler için, kapasitelerine bağlı olarak aşağıdaki cettelden alınır.

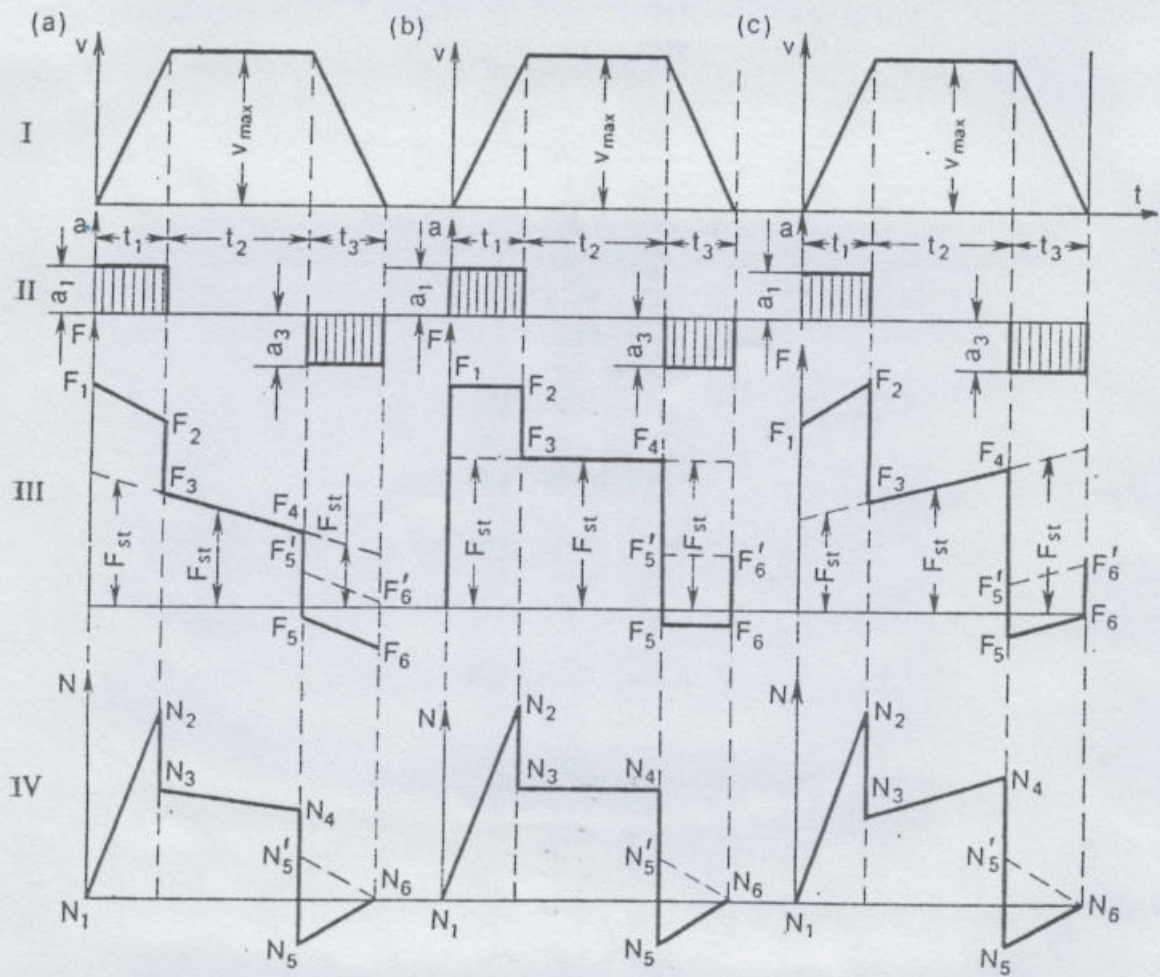


Fig. 20.6. Diagrams of hoisting systems with constant-radius winding members: I, speed; II, acceleration; III, tractive forces; IV, winding motor shaft power

Şekil 20.6 - Sabit yarıçap tanburlu vinç sistemleri için diyagramlar:

I - Hız [m/sn]

II - ivme [m/sn²]

III - Çekme kuvvetleri [N]

IV - Tanbur motoru (ihrac motoru) mil gücü veya tahrik motoru mil gücü [kW]

a) Denge halatsız sistem ($q=0$)

b) Denge halatlı sistem ($q=P$)

c) Denge halatı ihrac halatından ağır sistem ($q-P > 0$)

p - ihrac halatının birim ağırlığı [kgf/m]

q - Denge halatının birim ağırlığı [kgf/m]

Skip kapasitesi [m^3]	9,5	11	15	20	25	35	55
Duruş [sn.]	10	11	15	20	25	35	45

Kafesli vinçlerde duruş, komutun uygulanması için gerekli olan süre olup, plâtfon uzunluğuna bağlı olarak şu şekildedir:

- Tek katlı kafeslerde : 19... 23 sn.
- Gıft " " : 43... 51 sn.

Ayrıca te süresi;

insanlı/insansız olarak 5 kişi $1m^2$ taban alanını kaplarsa

- İnsan sayısı + 10sn tek katlı kafeste
- İnsan sayısı + 25sn. Gıft " "

alınır (S: 285-286)

Bu bilgilerden sonra tekrar konumuza dönelim:

- Kafes 1 seferini 92,5 saniyede tamamlıyor du yani; kafesin çevrim süresi veya zamanı 92,5 saniyedir (S: 28)

$\| T_w = 92,5 \text{ sn.}$

- Kafesin yukarı çekilmesi hareketinde toplam ivme (artan ve azalan) süresi (v_{max} sabit hız erişinceye kadar geçen zaman)

$\| t_f = 30 \text{ sn (S: 29)}$

- Duruş süresi yani ocağ arabalarının manevra süresi

$\| t_c = 20 \text{ sn. (S: 28)}$

- Su halde net ihraç süresi,

$$T = t_1 + t_2 + t_3 = T_w - t_i = 92,5 - 20$$

$$\| \underline{T = 72,5 \text{ sn.}}$$

- Kafes yukarı çekilirken, v_{\max} hızla ulaşınca ya kadar aldığı yol,

$$\| \underline{L_{\text{art.az.}} = 383 \text{ m}} \quad (S: 51)$$

- Kafesin, $v_{\max} = 20 \text{ m/sn}$ hızla ve yavaşlama dolayısıyla durma süresince aldığı yol,

$$L_{\text{sabit, hız}} = v_{\max} \cdot t_2$$

$$L_{\text{azalan, hız}} = \frac{1}{2} v_{\max} \cdot t_3 \quad (\text{Yavaşlama - durma yolu})$$

- ihraç kuyusu derinliği 1050 m olduğuna göre,

$$L_{\text{sabit, hız}} + L_{\text{azalan, hız}} = 1050 - 383$$

$$v_{\max} \cdot t_2 + \frac{1}{2} v_{\max} t_3 = 667 \text{ m}$$

$$v_{\max} \cdot \left(t_2 + \frac{1}{2} t_3 \right) = 667$$

$$t_2 + \frac{1}{2} t_3 = \frac{667 \text{ m}}{20 \text{ m/sn}}$$

$$t_1 + t_2 + t_3 = 72,5 \text{ sn.}$$

$$t_2 + t_3 = 72,5 - 30 = 42,5 \text{ sn.}$$

$$42,5 - t_3 + \frac{1}{2} t_3 = \frac{667}{20}$$

$$42,5 - \frac{667}{20} = \frac{1}{2} t_3$$

$$\| t_3 = 18,3 \text{ sn.}$$

dolayısıyla sabit hız süresi;

$$t_2 = 72,5 - 30 - 18,3$$

$$\| t_2 = 24,2 \text{ sn.}$$

olar. Alınan yollar,

$$L_{\text{sabit, hız}} = v_{\text{max}} \cdot t_2 = 20 \cdot 24,2$$

$$\| L_{\text{sabit, hız}} = 484 \text{ m.}$$

$$L_{\text{azalan, hız}} = \frac{1}{2} v_{\text{max}} \cdot t_3 = \frac{1}{2} 20 \cdot 18,3$$

$$\| L_{\text{azalan, hız}} = 183 \text{ m.}$$

$$\text{Kontrol : } 383 + 484 + 183 = 1050 \text{ m.}$$

B. Yavaşlamada veya frenlemede azalan ivme;

$$\alpha_{\text{yav. az.}} = \frac{v_{\text{max}}}{t_3} \quad (S: 52, 53)$$

$$\alpha_{\text{yav. az.}} = \frac{20 \text{ m/sn}}{18,3 \text{ sn.}}$$

$$\| \alpha_{\text{yav. az.}} = 1,09 \text{ m/sn}^2$$

$$\| \alpha_{\text{yav. az.}} (= 1,09 \text{ m/sn}^2) < r_{\text{max}} (= 3,85 \text{ m/sn}^2)$$

uygundur. (S: 27)

Bulunan değerleri Şekil 12 üzerinde gösterelim - 58-

ve özetliyelim :

$$\text{Hızlanma devresi} : t_1 = 30 \text{ sn.} , L_1 = 383 \text{ m.}$$

$$\text{Sabit hız devresi} : t_2 = 24,2 \text{ sn.} , L_2 = 484 \text{ m.}$$

$$\text{Yavaşlama (frenleme) devresi} : t_3 = 18,3 \text{ sn.} , L_3 = 183 \text{ m.}$$

Yavaşlamada veya frenlemede, azalan açısal ivme;

$$\alpha_{\text{azalan}} = \frac{\alpha_{\text{azalan}}}{r} \quad (\text{Eşitlik 46})$$

$$\alpha_{\text{yar.az.}} = \frac{1,09 \text{ m/sn}^2}{3,95 \text{ m}}$$

$$\alpha_{\text{yar.az.}} = 0,29 \text{ rad./sn}^2$$

veya,

Koşu yollarının tanburunun;

• Max. devir sayısı

$$v_{\text{max.}} = \frac{\pi D \cdot n_{\text{max.}}}{60}$$

$$n_{\text{max.}} = \frac{20 \text{ m/sn} \cdot 60}{\pi \cdot 7,50 \text{ m.}}$$

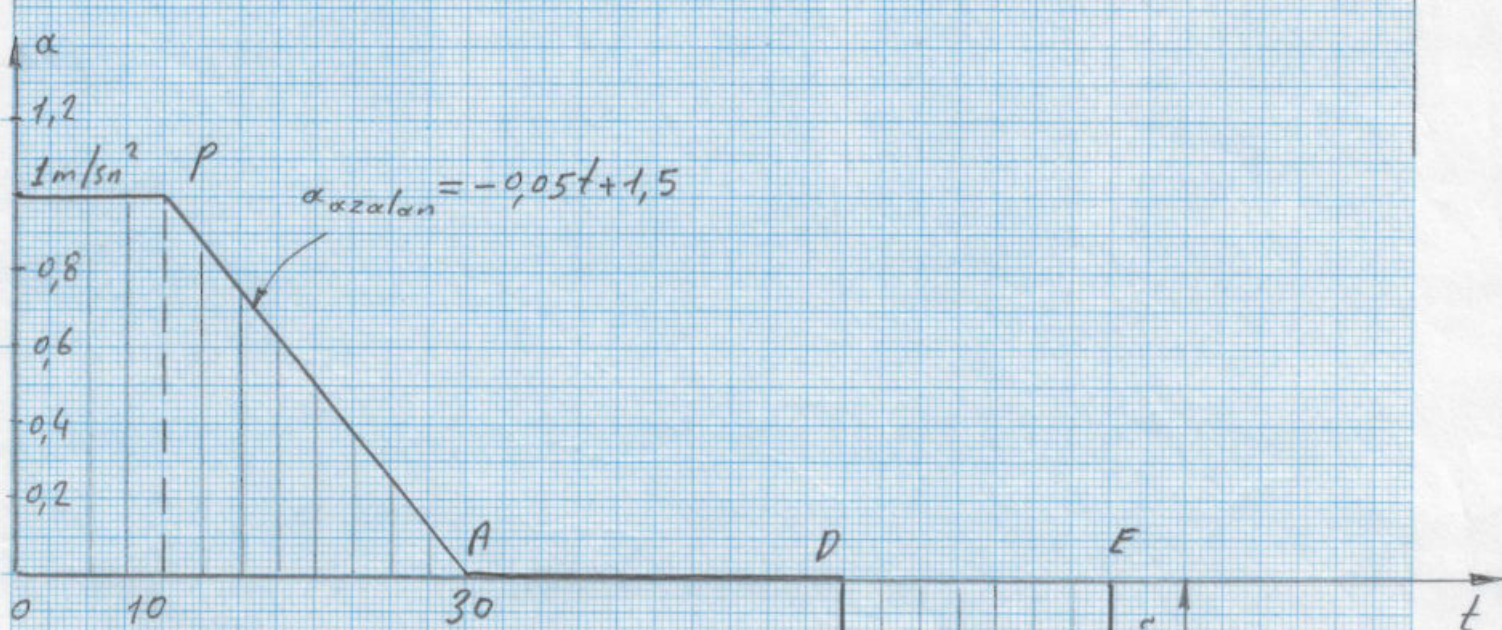
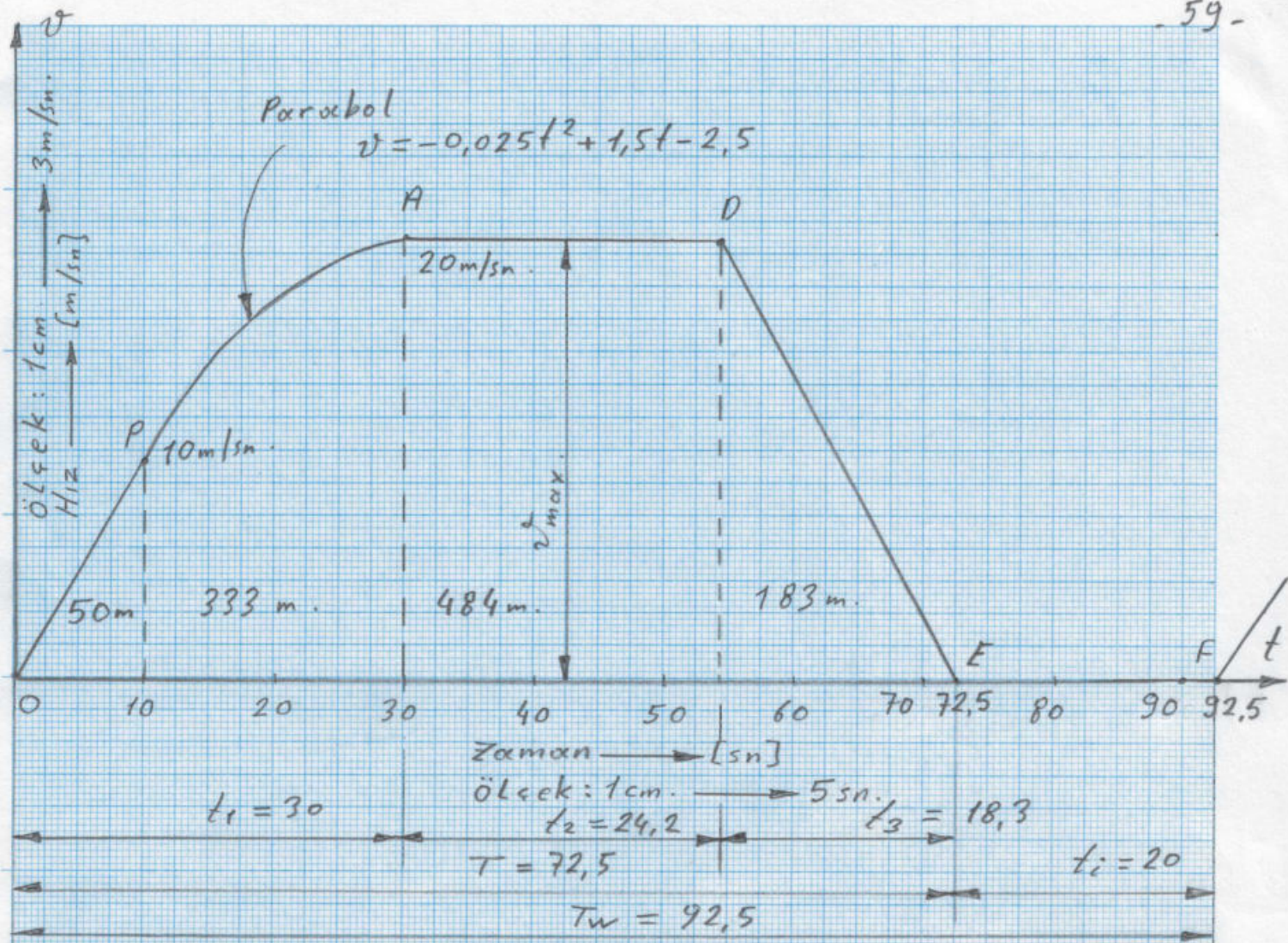
$$n_{\text{max.}} = 51 \text{ d/d.}$$

• Max. açısal hız,

$$\omega_{\text{max.}} = \frac{\pi \cdot n_{\text{max.}}}{30}$$

$$\omega_{\text{max.}} = \frac{\pi \cdot 51}{30}$$

$$\omega_{\text{max.}} = 5,34 \text{ rad./sn}$$



Şekil 12 - Zamanın fonksiyonu olarak hız ve ivme diyagramları.

$a_{yav.az.} = 1,09 \text{ m/s}^2$

α açısal ivmesi, açısal hızın zamana göre değişim oranıdır

$$\alpha = \frac{d\omega}{dt} \quad (\text{Eşitlik 47})$$

$$\alpha_{\text{yar.az.}} = \frac{5,34 \text{ rad./sn.}}{18,3 \text{ sn.}}$$

$$\parallel \alpha_{\text{yar.az.}} = 0,29 \text{ rad./sn}^2$$

Aynı sonuç bulunur. (ω , $v = r \cdot \omega$ formülünden de bulunabilir)

Yavaşlamada azalan açısal ivmeye karşılık gelen döndürme momenti,

$$M_d = I \cdot \alpha \quad (\text{Eşitlik 48})$$

$$M_{d\text{yar.az.}} = I_{\text{top.}} \cdot \alpha_{\text{yar.az.}}$$

$$M_{d\text{yar.az.}} = 219400 \text{ kp.m}^2 \cdot 0,29 \text{ rad./sn}^2$$

$$\parallel M_{d\text{yar.az.}} = 63626 \text{ kp.f.m}$$

Yavaşlamada azalan ivme süresince net döndürme momenti,

$$M_{d\text{net.}} = M_{d\text{max.}} - M_{d\text{yar.az.}} = 61765 - 63626$$

$$\parallel M_{d\text{net.}} = -1861 \text{ kp.f.m}$$

İçinde yazılması, finansman yükünü azaltacaktır.

Ödenmesi ve bundan sonraki ödemelerin de kanuni süresi
Kıtlarının birikmiş borçları ile faizleri ve zararların
getirememekte; faiz ödemek zorunda kalmaktadır.
Nedeniyle bazı yükümlülüklerini zamanında yerine
Kıtların; gelirlerini giderlerini karşılayamaması

Finansman Desteği

KIRMA ÜNİTESİ :

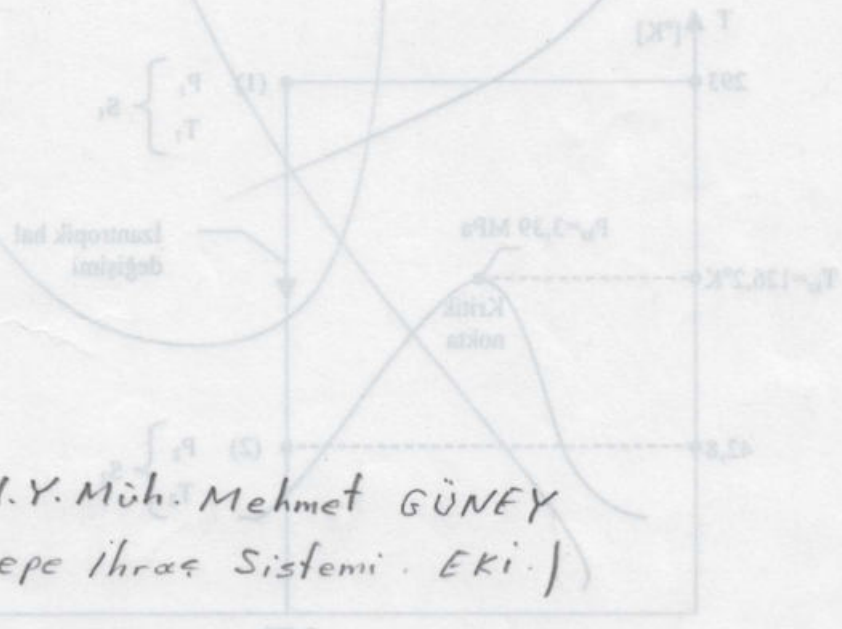
Koepre İhras Sistemi

IV - HAVA -
 $P_1 = 775 \text{ bar}$
 $P_{max} = 840 \text{ bar}$
 $T_1 = 20^\circ\text{C}$

[Handwritten Signature]

(2) HALLI
 $P_2 = 100 \text{ kPa} = 1 \text{ bar}$
 $s_2 = s_1$, $T_2 = ?$

Problem 2-2'de belirtilen koşullarda gösterelim (Şekil 3)



Ana Kaynak : Mad.Y. Müh. Mehmet GÜNEY
(Koepre İhras Sistemi . Eki .)

(6) Alet.

Bu momente karşılık gelen güç,

$$P_{dnet} = M_{dnet} \cdot \frac{v}{282} \quad (\text{Eşitlik 52})$$

$$P_{dnet} = -1861 \cdot \frac{20}{282}$$

$$\| P_{dnet} = -132 \text{ BG}$$

dür,

Bulunan değerleri Şekil 13 üzerinde, sayfa 50 de ki cetvelde faydalanarak gösterelim ve zamanın fonksiyonu olarak döndürme momenti ile güç diyagramlarını çizelim.

0-10 sn. aralığında $M_d(t)$ eğrisi nasıl olacak önce bakalım. 0-10 sn. aralığında, $\alpha_{artan} = 1 \text{ m/sn}^2$ dolayısıyla açısal ivme

$$\alpha_{(0-10)sn} = \frac{\alpha_{(0-10)sn}}{r} = \frac{1}{3,75} = 0,266 \text{ sabit.}$$

olup bu değere bağlı olarak,

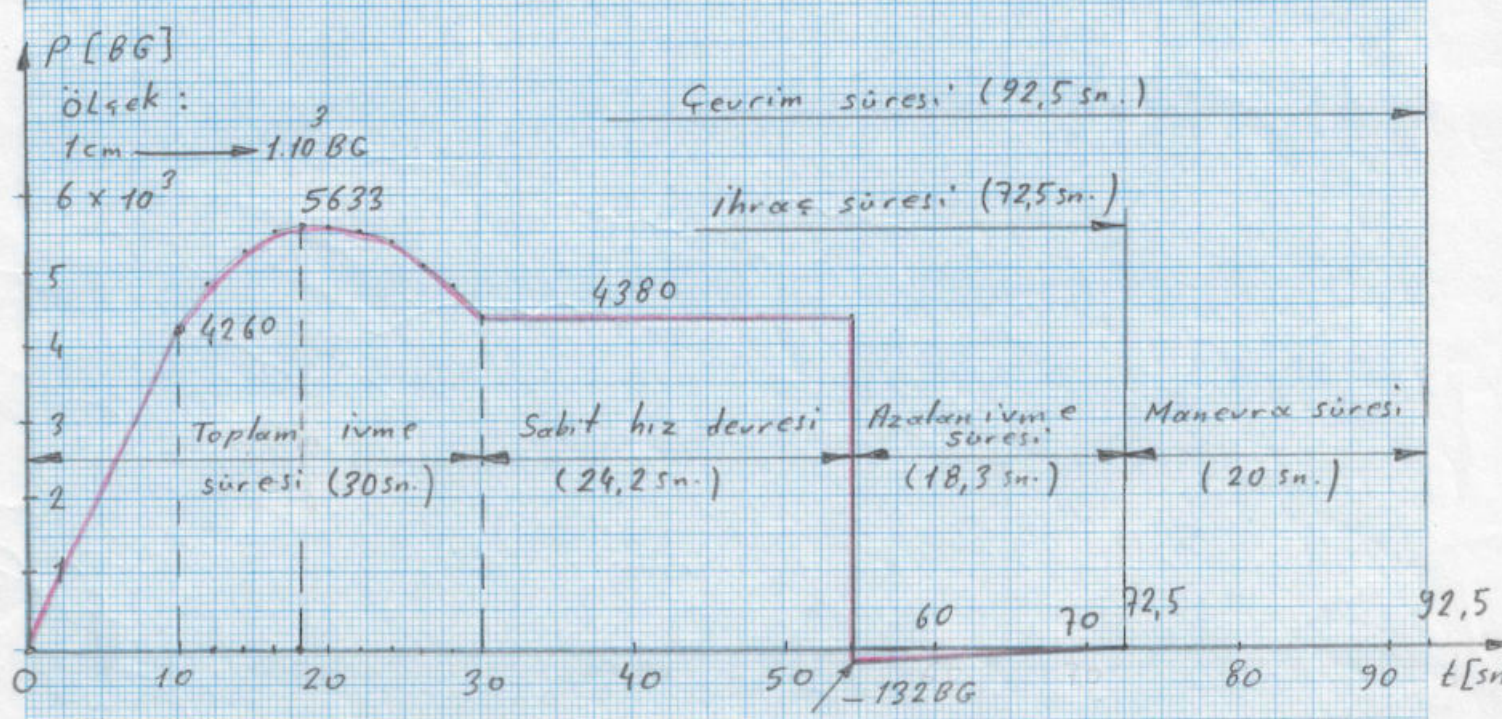
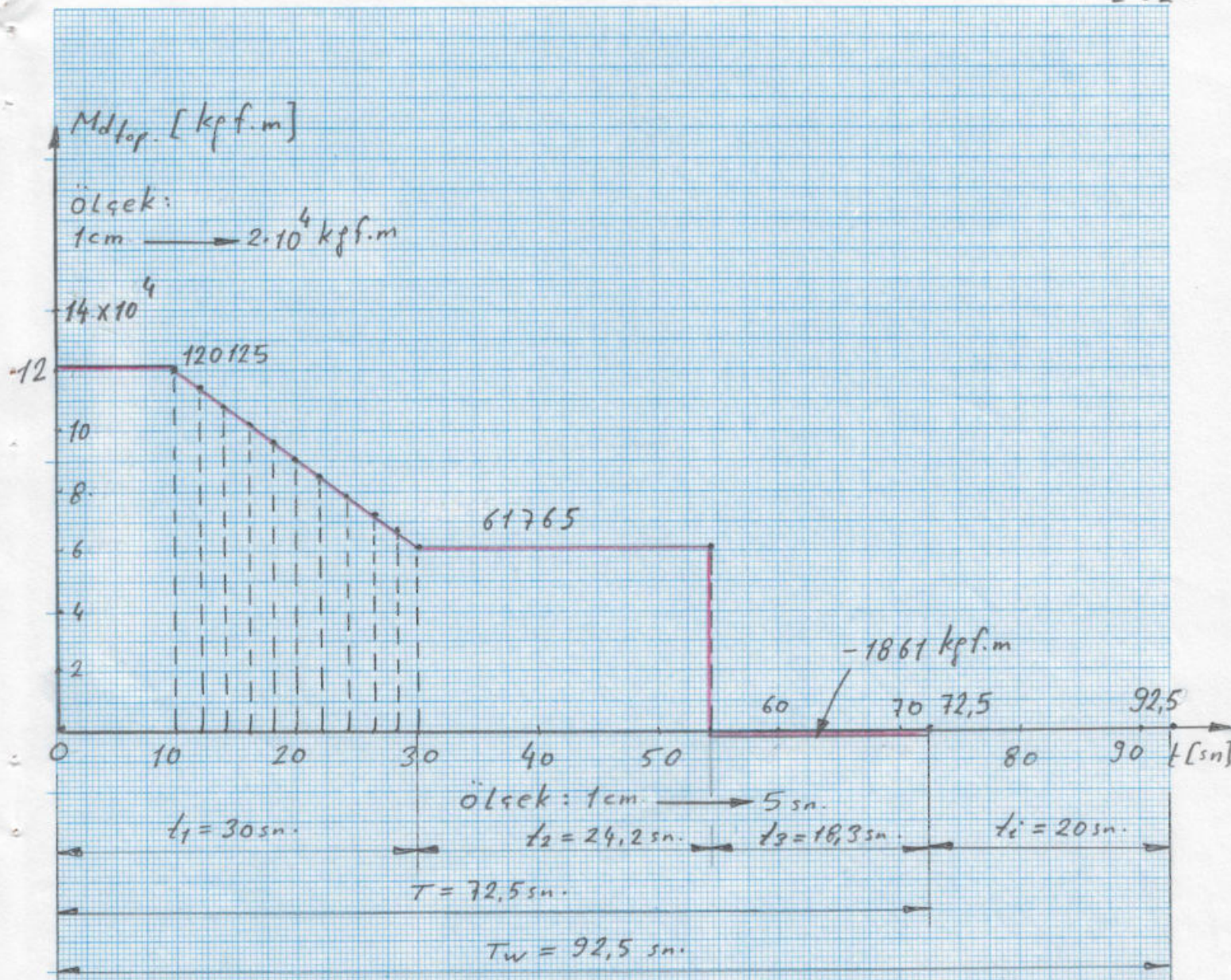
$$\begin{aligned} M_{dtop(0-10)sn} &= M_{dmax} + M_{d(0-10)sn} \\ &= \underbrace{61765}_{(5:45)} + \underbrace{58360}_{(5:47)} \end{aligned}$$

$$\| \underline{M_{dtop(0-10)sn}} = 120125 \text{ kgf.m sabittir. yani}$$

$M_d(t)$ eğrisi 0-10 sn. aralığında yatay bir doğrudur

Aşağıdaki yöntemle şurada hesaplayabiliriz:

(0-10) sn. aralığında,



Şekil 13- Zamanın fonksiyonu olarak döndürme momenti ve güç diyagramları.

$$v = 1 \cdot t \quad (\text{Şekil 12. } t=10 \text{ sn.} \rightarrow v=10 \text{ m/sn})$$

$$P = 426 \cdot t \quad (\text{Şekil 13. } t=10 \text{ sn.} \rightarrow P=4260 \text{ BG})$$

Her iki fonksiyonda lineer birer doğrudur.

$$t = 1 \text{ sn.} \quad v_1 = 1 \text{ m/sn.} \quad P_1 = 426 \text{ BG}$$

$$t = 2 \text{ sn.} \quad v_2 = 2 \text{ m/sn.} \quad P_2 = 852 \text{ BG}$$

$$t = 5 \text{ sn.} \quad v_5 = 5 \text{ m/sn.} \quad P_5 = 2130 \text{ BG}$$

$$n_1 = \frac{60 \cdot v_1}{\pi \cdot D} = \frac{60 \cdot 1}{\pi \cdot 7,5} = 2,546 \text{ d/d}$$

$$n_2 = \frac{60 \cdot 2}{\pi \cdot 7,5} = 5,1 \text{ d/d.}$$

$$n_5 = \frac{60 \cdot 5}{\pi \cdot 7,5} = 12,73 \text{ d/d.}$$

Bu tabur devirlerine karşılık gelen döndürme momentleri,

$$M_d = 716,20 \frac{P}{n} \quad \begin{array}{c|c|c} M_d & P & n \\ \hline \text{kpf.m} & \text{BG} & \text{d/d} \end{array} \quad (53)$$

$$M_{d1} = 716,2 \cdot \frac{426}{2,546} \approx 120000 \text{ kpf.m}$$

$$M_{d2} = 716,2 \cdot \frac{852}{5,1} \approx 120000 \text{ "}$$

$$M_{d5} = 716,2 \cdot \frac{2130}{12,73} \approx 120000 \text{ "}$$

Görüldüğü gibi 0-10 sn. aralığında döndürme momenti sabittir.

Diyagramlarla ilgili bir uygulama S: 63/1 ve 63/2 S: 63/2 de verilmiştir.

-63/1a-

İşletme Durumları

- 425 m Katı

Kuyu	439	m.
Hareket yolu	439	m.
Malzeme naklindeki faydalı yük	9000	Kg.
İnsan naklindeki faydalı yük (68 kişi)	5100	Kg.
Nakil sür'ati	10,8	m/s
Nakil fasılası	26	s
Sefer adedi) Beher saattaki malzeme naklinde	* 46,5	
Nakil takatı)	420	t
Ara parçası ile beraber bir ihraç kafesinin ağırlığı	10250	Kg.
Boş bir arabanın ağırlığı	2000	Kg.
Her kafesteki kat adedi	2	
Her kafesteki araba adedi	1	
Malzeme nakliyatında kullanılan sahanlık adedi	1	
İnsan naklindeki sahanlık adedi	2	
Nakil halatının kutru	44	m.m.
Nakil halatının beher metresinin ağırlığı	11,23	Kg.
Nakil halatının kopma yükü	195000	Kg.
Malzeme naklinde kopmaya karşı emniyet emsali	7,35	
İnsan naklinde kopmaya karşı emniyet emsali	9,35	
Tanburun kutru	4,50	
Tanburun devir adedi	45,9	d./dak.
Muharrrik motorun devir adedi	45,9	d./dak.
İhraç, iki taraflı olarak ve alt kısımda halatsız		

Tesisata bağlanmak üzere 3 kV, 50 Hz ve 500 V, 50 Hz
Trifaze cereyan emre âmâdedir.

1510 kw. 46 d/d.

* 1 saatte 46,5 sefer

$$1 \text{ sefer} = \frac{3600}{46,5} = 77,3 \text{ " dir.}$$

- 63/16 -

Diagram of torques of the hoisting motor.
Effective torque: 28 m tons

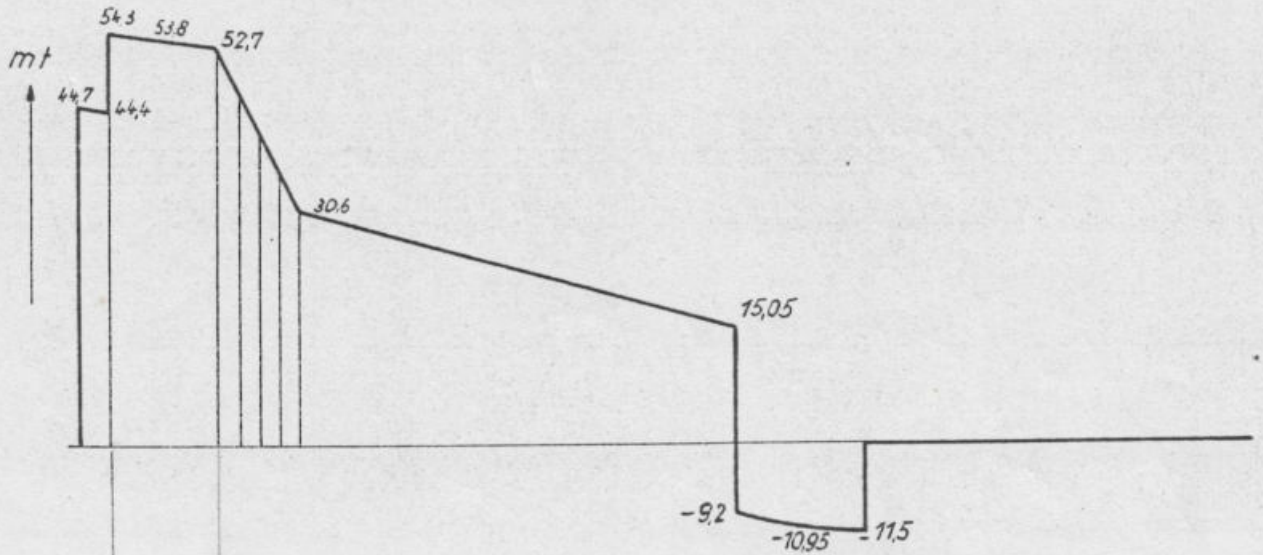


Diagram of power of the hoisting motor
Effective power 1320KW

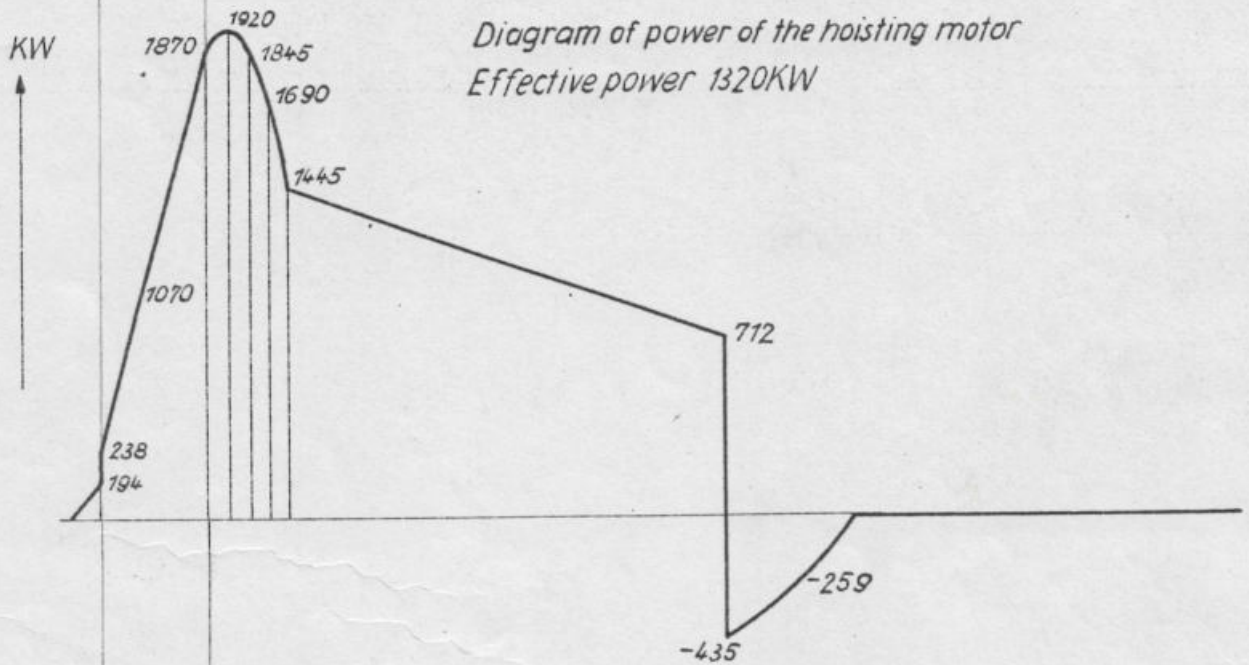
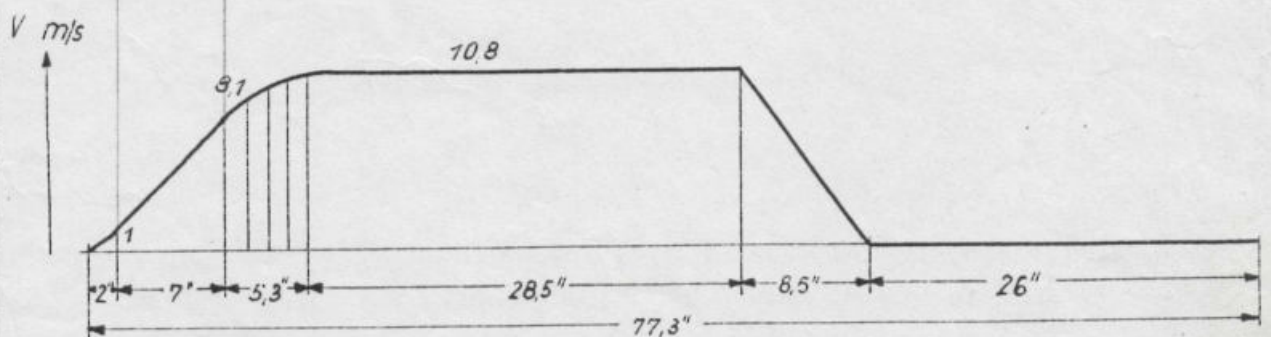


Diagram of speed



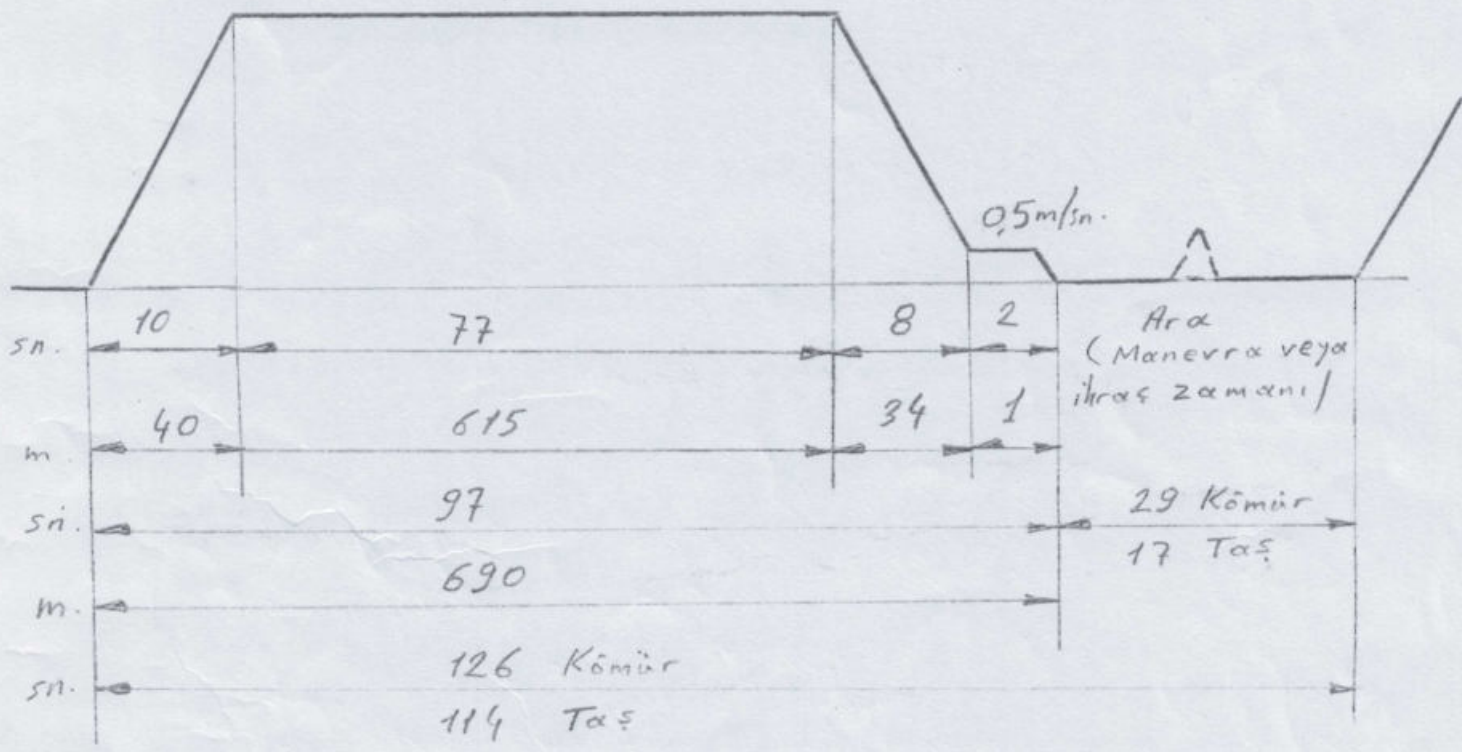
Şekil 1

1) 10 + 77 = 87
 2) 87 + 8 = 95
 3) 95 + 2 = 97
 4) 97 + 1 = 98
 5) 98 + 29 = 127
 6) 127 + 17 = 144
 7) 144 + 126 = 270
 8) 270 + 114 = 384
 9) 384 + 40 = 424
 10) 424 + 615 = 1039
 11) 1039 + 690 = 1729
 12) 1729 + 97 = 1826
 13) 1826 + 77 = 1903
 14) 1903 + 10 = 1913

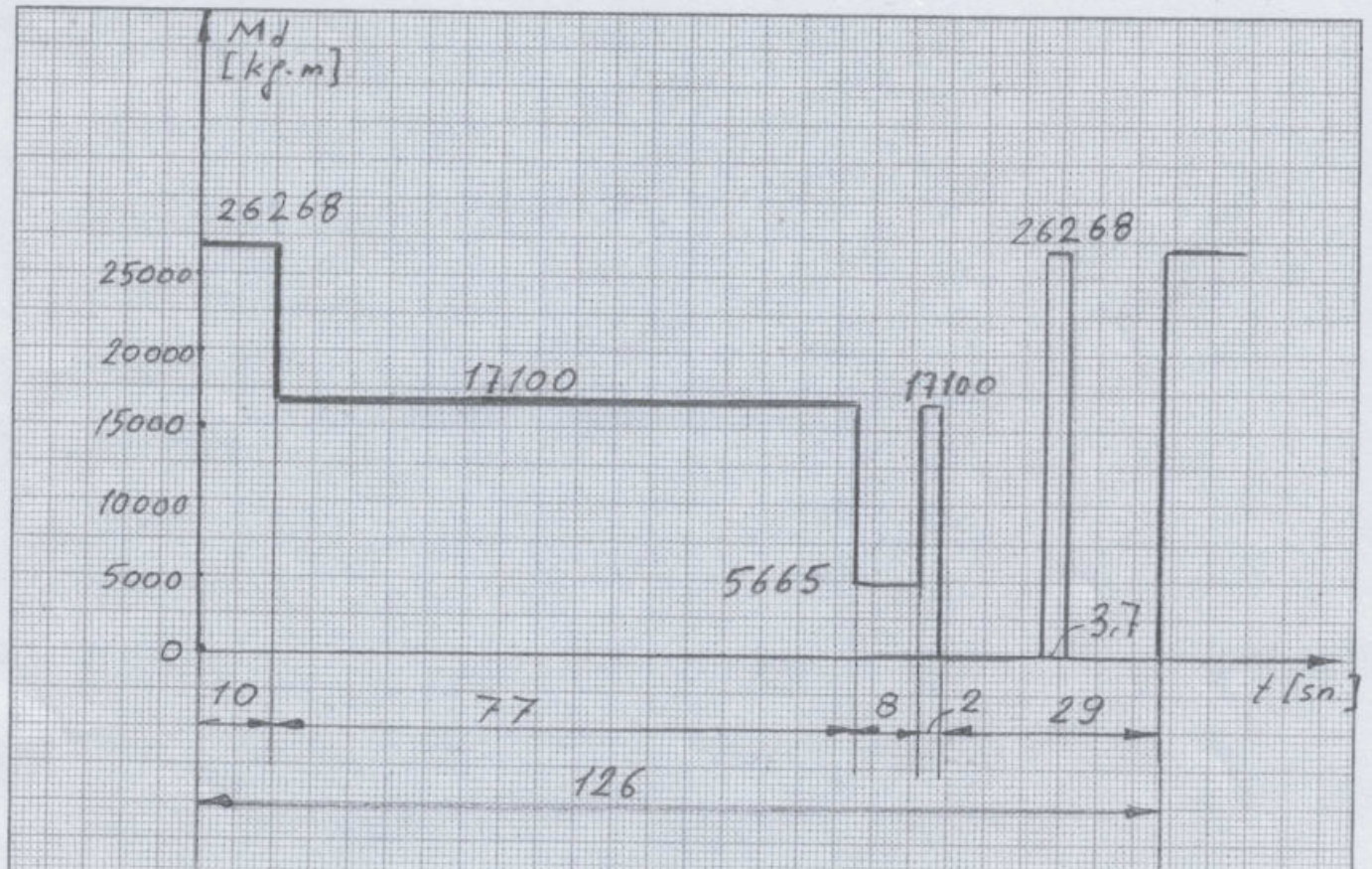
Kütleye eylemsizlik momenti Ekspansiyon
 (K) T...
 (A) T...
 (B) T...
 (C) T...
 (D) T...
 (E) T...
 (F) T...
 (G) T...
 (H) T...
 (I) T...
 (J) T...
 (K) T...
 (L) T...
 (M) T...
 (N) T...
 (O) T...
 (P) T...
 (Q) T...
 (R) T...
 (S) T...
 (T) T...
 (U) T...
 (V) T...
 (W) T...
 (X) T...
 (Y) T...
 (Z) T...

ARMUTÇUK 13 No.lu KUYU

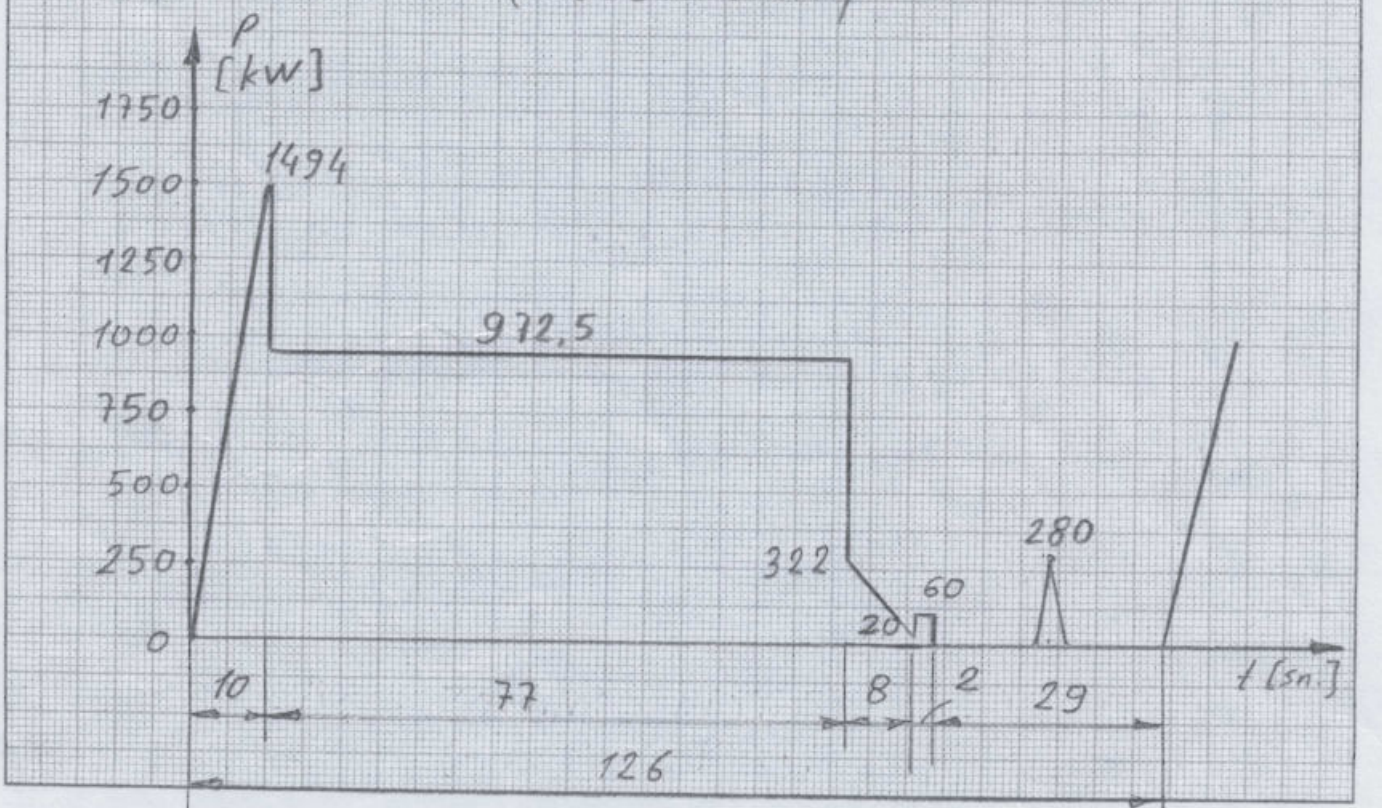
8 m/sn.



HIZ- ZAMAN DİYAGRAMI
(-500 m. Katı)



DÖNDÜRME MOMENTİ - ZAMAN DİYAGRAMI
(-500m. Katı)



GÜÇ - ZAMAN DİYAGRAMI
(-500m. Katı)

11- Koepe ihraç motorunun nominal gücü; -64-

• Prof. Dr. Ing. Hellmut ERNST 'e göre (S: 64/1) :

Karesel ortalama güce göre motor seçimi,

Toplam T iş periyoduna karşılık gelen eşdeğer sürekli güç olarak düşünülen karesel ortalama güç şu şekilde hesaplanır :

$$N_m = \sqrt{\frac{N_1^2 \cdot t_1 + N_2^2 \cdot t_2 + \frac{1}{3} (N_3^2 + N_3 \cdot N_4 + N_4^2) t_3 + \frac{1}{3} N_5^2 \cdot t_4}{T}} \quad (3)$$

Not. Karesel ortalama momenti hesaplamak belki daha doğru olurdu, çünkü devir sayısının sabit tutulması halinde güç, akım şiddetinin karesiyle doğru orantılıdır. Örneğin ilk harekete geçmede sıfırdan tam devir sayısındaki bir limit değere kadar devir sayısının artmasıyla güç de artmaktadır, halbuki moment ve akım şiddeti sabit kalmaktadır. Ancak hesaplamalar sabit momente karşılık gelen sabit değerdeki bir ilk harekete geçme gücü de - daha doğrusu tam devir sayısındaki ilk harekete geçme gücünün limit değeri - ilâve edilmelidir. Buna rağmen pratikte "Schieber" 'in metoduna uyularak karesel ortalama moment yerine karesel ortalama güçle hesaplamalar yapılmaktadır, bu nedenle burada da bu hesaplama şekli kabul edilecektir.

(3) numaralı eşitlik söz konusu olan yükleme koşulları için N_m sürekli güçlü bir motorun termik

Prof. Dr. inç. Hellmut ERNST - Turhan ARITAN - Gazanfer HAKZANIN
Galip KEŞECİ OĞLU - Süleyman YUKRAKONAR

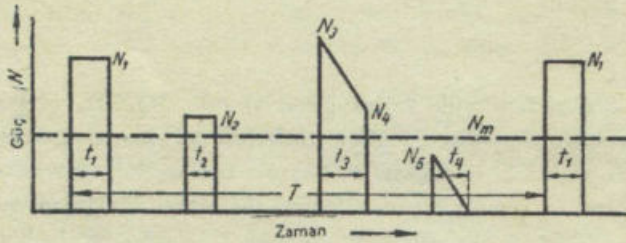
Motor büyüklüğünün doğru olarak seçimi için kesintili işletmenin, değişen yük ve ivme işinin muhtelif etkilerini kıyaslanabilir bir baza dayandırmak gereklidir. Eğer motorun yüklenmesi önceden biliniyorsa yani bir güç grafiği tespit edilebiliyorsa, bu grafiğe dayanarak dışarı atılan kayıp ısı saptanabilir. Bu gibi hesaplamaları tam olarak ancak motoru imal eden firmalar yapabilirler. Fakat kren konstrüktörü de böyle bir güç grafiğine dayanarak gerekli motor büyüklüğü hakkında yaklaşık ve genellikle pratik amaç için yeterli sayılabilen genel bir görüşe sahip olabilir.

a) Karesel ortalama güce göre motor seçimi. Elektriksel kayıplar ve bunun sonucu ortaya çıkan kayıp ısı yaklaşık olarak akım şiddetinin karesi ile orantılıdır. Bu akım şiddeti - randımanın daima aynı kalması şartıyla - sabit gerilimde dönme momenti veya sabit devir sayısında alınan güçle orantılıdır. Bir N_1 gücünde t_1 zamanında ortaya çıkan W_1 ısı miktarı;

$$W_1 = C \cdot N_1^2 \cdot t_1$$

eşitliği ile belirlidir. Burada C bizi bu çerçevede fazla ilgilendirmeyen bir çevirme faktörüdür. Bir motor için belirli bir güç değişimi, örneğin Şekil 358, mevcutsa bir iş periyodu T süresince hasil olan W^I ısı miktarı şu tarzda hesaplanabilir :

$$W_{T1} = C \cdot [N_1^2 \cdot t_1 + N_2^2 \cdot t_2 + \frac{1}{2} (N_3^2 + N_3 \cdot N_4 + N_4^2) \cdot t_3 + \frac{1}{3} N_5^2 \cdot t_4]$$



Şekil 358. Karesel ortalama gücün hesaplanmasında güç diyagramı

t_1, t_2, \dots, t_4 işletme süresi esnasındaki güçler

N_1, N_2, \dots, N_5 dir.

N_m karesel ortalama güç

T bir iş seferi süresi

Motor bir ortalama N_m gücüyle sürekli çalışıyorsa, bir T iş periyodu süresinde oluşturduğu ısı miktarı;

$$W_{T1} = C \cdot N_m^2 \cdot T$$

Kesintili işletmede oluşan W_{T1} ısı, sürekli işletmede oluşan W_{T1} ısısına eşitse, motorun kesintili işletmede alacağı ısının, aynı motorun sabit N_m gücüyle sürekli işletmede ulaşacağı ısıya eşit olacağı kabul edilebilir. Her iki ısı miktarını birbirlerine eşitlersek, yani $W_{T1} = W_{T2}$ yazılırsa sürekli gücü hesaplamak mümkün olur. Bu sürekli güç ısı etkisi yönünden kesintili işletmede alınan ve N_1 den N_5 e kadar olan muhtelif güçlere eşdeğerdir. Toplam T iş periyoduna izafe edilen eşdeğer sürekli güç olarak mütalâa edilen karesel ortalama güç¹⁾ yukarıda eşitliklere dayanarak şu tarzda hesaplanır :

$$N_m = \sqrt{\frac{N_1^2 \cdot t_1 + N_2^2 \cdot t_2 + \frac{1}{2} (N_3^2 + N_3 \cdot N_4 + N_4^2) \cdot t_3 + \frac{1}{3} N_5^2 \cdot t_4}{T}} \dots \dots \dots (3)$$

1) Karesel ortalama momenti hesaplamak belki daha doğru olurdu, çünkü devir sayısının sabit tutulması halinde güç, akım şiddetinin karesiyle doğru orantılıdır. Örneğin ilk harekete geçmede sıfırdan tam devir sayısındaki bir limit değere kadar devir sayısının artmasıyla güç de artmaktadır, halbuki moment ve akım şiddeti sabit kalmaktadır. Ancak hesaplamalara sabit momente tekabül eden sabit değerdeki bir ilk harekete geçme gücü de - daha doğrusu tam devir sayısındaki ilk harekete geçme gücünün limit değeri - dahil edilmelidir. Buna rağmen pratikte Schiebeler [4]'ün metoduna uyularak karesel ortalama moment yerine karesel ortalama güçle hesaplamalar yapılmaktadır; bu sebepten burada da bu hesaplama şekli muhafaza edilecektir. Diğer taraftan bu hesaplama belirli fren devrelerinde, örneğin senkron altı frenler, uygulanmaz; çünkü bunlarda moment ve akım şiddeti arasında bir orantılık mevcut değildir.

Bu eşitlik söz konusu olan yüklenme koşulları için N_m sürekli güçlü bir motorun termik bakımından yeterli olduğunu anlatmaktadır.

bakımdan yeterli olduğunu anlatmaktadır.

= 65-

• Prof. Y. Müh. Emin ÜNALAN'a göre (S: 65/1) :

Şekil 3 te gücün ve momentin zamanca göre değişimi gösterilmiştir.

Momentin karesel ortalaması

$$M_{eff.} = \sqrt{\frac{M_1^2 \cdot t_1 + M_2^2 \cdot t_2 + M_3^2 \cdot t_3}{t_1 + t_2 + t_3}} \quad (9)$$

olur.

Moment, akımla orantılı olan motorlarda nominal momenti elde etmek için

$$M_n = M_{eff.} = \sqrt{\frac{M_1^2 \cdot t_1 + M_2^2 \cdot t_2 + M_3^2 \cdot t_3 + \dots}{t_1 + t_2 + t_3 + \dots}} \quad (31)$$

denklemini kullanılır. Şönt karakteristikli motorlarda devir sayısı çeşitli yüklerde çok az değiştiğinden güçler momentlerle orantılı kabul edilerek

$$N_n = N_{eff.} = \sqrt{\frac{N_1^2 \cdot t_1 + N_2^2 \cdot t_2 + N_3^2 \cdot t_3 + \dots}{t_1 + t_2 + t_3 + \dots}} \quad (32)$$

elde edilir. Gücün karesel ortalamasını veren (32) no.lu denklemini kullanırken dikkatli olmak lazımdır.

Söyleki, şekil 11 de sabit momentle yolalan bilezikli bir asenkron motorun ait devir sayısı, moment ve

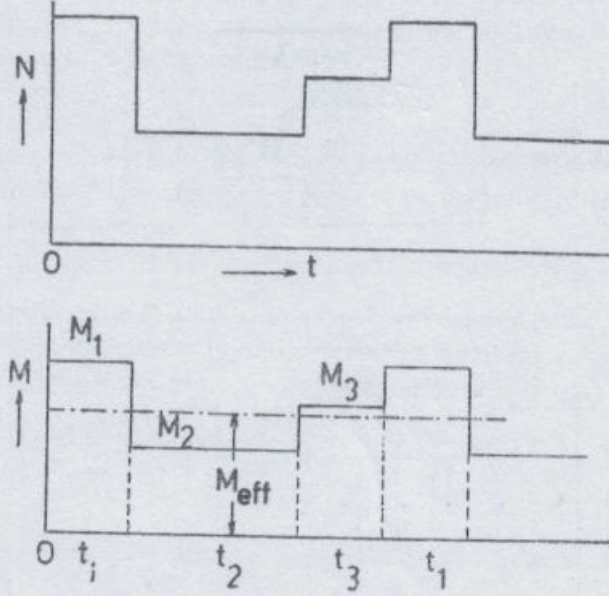
gücün zamanca göre değişme diyagramları verilmiştir. t_1 yolalma zamanı sırasında N_1 gücünün t_3 frenleme zamanı sırasında da N_3 gücünün sabit kaldığını kabul etmek gerekir. Çünkü bu zamanlarda motor sabit momentle dolayısıyla sabit akımla

Prof. Y. Müh. Emin ÜNALAN (İ.T.Ü)

Daimi çalışma

7

seçilmiş demektir. Şekil 3 de gücün ve momentin zamana nazaran değişimi gösterilmiştir.



Şek. 3. Momentin karesel ortalamasının tayini

Momentin karesel ortalaması

$$M_{eff} = \sqrt{\frac{M_1^2 \cdot t_1 + M_2^2 \cdot t_2 + M_3^2 \cdot t_3}{t_1 + t_2 + t_3}} \quad (9)$$

eşit olur.

Momenti akımla orantılı olmayan motorlarda (doğru akım seri motor) kayıp eğrisinin yardımı ile yapılan motor tayininde olduğu gibi evvelâ daima çalışma motor listesinden uygun olabileceğini tahmin ettiğimiz bir motor seçilir. İş makinasının motor milinden istediği momentin zamana nazaran değişmesine göre akımın zamana nazaran değişimi elde edilir. Akım - zaman eğrisinden akımın karesel ortalaması bulunur. Tesbit edilen karesel ortalama akım, seçilen motorun nominal akımına mümkün olduğu kadar eşit fakat hiç bir zaman büyük olmamalıdır. Bu şart tahakkuk ettiği taktirde yine motorun verebileceği maksimum momentin çalışma esnasında rastlanacak en büyük momente kâfi gelip gelmeyeceği kontrol edilir. Bu şartda tahakkuk ettiği taktirde motor seçilmiş demektir.

dan uy-
çalışma
kik edi-

sbıt edü-
nazaran
itine im-
ği yalnız
caresi ile
asenkron

(8)

nazaran
el ortala-
listeden
eçilir. Bu
gibi ısın-
run mak-
nente kâ-
de motor

serisinden istifade etmek ve t çalışma ve istirahat zamanı T zaman sabitine nazaran küçük olduğundan t/T nin üst mertebelerini ihmal etmek suretiyle

$$(24) \quad Q_n = \frac{Q_1 \cdot t_1 + Q_2 t_2 + Q_3 t_3 + \dots}{t_1 + t_2 + t_3 + \dots} \quad (27)$$

elde edilir. Bu denklem şek. 10 da gösterilen çalışma haline tatbik edilirse

$$Q_n = \frac{Q_1 t_1 + Q_3 t_3 + Q_5 t_5 + \dots}{t_1 + t_2 + t_3 + t_4 + t_5 + \dots} \quad (28)$$

bulunur. Böylelikle değişken yük sabit yük haline tahvil edilmiş olur. Yalnız bakır kayıpları nazarı itibare alınır, 27 no. lu denklemde

$$\begin{aligned} Q_n &= I_n^2 \cdot R \\ Q_1 &= I_1^2 \cdot R \\ Q_2 &= I_2^2 \cdot R \end{aligned} \quad (29)$$

değerleri yerine konulursa

$$I_n = I_{eff} = \sqrt{\frac{I_1^2 \cdot t_1 + I_2^2 \cdot t_2 + I_3^2 \cdot t_3 + \dots}{t_1 + t_2 + t_3 + \dots}} \quad (30)$$

elde edilir. I_n motorun daimi çalışmadaki nominal akımı olmalıdır. Momenti, akımla orantılı olan motorlarda nominal momenti elde etmek için

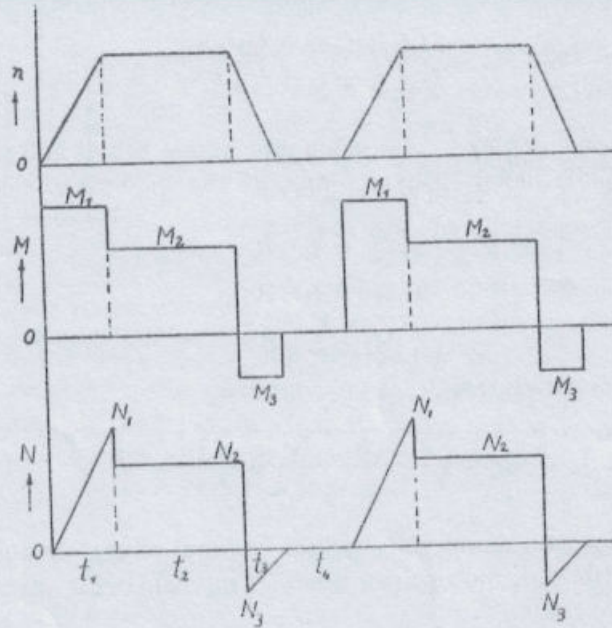
$$M_n = M_{eff} = \sqrt{\frac{M_1^2 \cdot t_1 + M_2^2 \cdot t_2 + M_3^2 \cdot t_3 + \dots}{t_1 + t_2 + t_3 + \dots}} \quad (31)$$

denklemini kullanılır. Şönt karakteristikli motorlarda devir sayısı muhtelif yüklerde çok az değiştiğinden güçler momentlerle orantılı kabul edilerek

$$N_n = N_{eff} = \sqrt{\frac{N_1^2 t_1 + N_2^2 t_2 + N_3^2 t_3 + \dots}{t_1 + t_2 + t_3 + \dots}} \quad (32)$$

elde edilir. Gücün karesel ortalamasını veren 32 no. lu denklemi kullanırken dikkatli olmak lâzımdır. Şek. 11 de sabit momentle yolalan bilezikli bir asenkron motora ait devir sayısı, Moment ve gücün zamana nazaran değişme diyagramları gösterilmiştir. Bu diyagramlardan görüldüğü gibi,

bilezikli asenkron motor t_1 zamanı zarfında sabit bir M_1 momentini ile yolalmakta, t_2 zamanı zarfında sabit M_2 momentini ile yüklenmekte t_3 zamanı zarfında da sabit bir M_3 momentini ile frenlenmektedir. Burada gücün karesel ortalamasını veren 32 no. lu denklemi kullanırken t_1 yolalma zamanı zarfında N_1 gücünün t_3 frenleme zamanı zarfında da N_3 gücünün sabit kaldığını kabul etmek icab eder. Zira bu zamanlarda motor sabit momentle dolayısıyla sabit akımla çalıştığından N_1 ve N_3 güçleri sabitmiş gibi ısıdır. Doğrusal olarak artan veya azalan güç eğrisini kademeli eğrilere tah-



Şek. 11. Bilezikli asenkron motora ait, devir sayısı, moment, güç diyagramları

vil edip bunların karesel ortalamasını almak yanlış olur. Buna göre sek. 11 de gösterilen güç diyagramının karesel ortalaması

$$N_n = N_{eff} = \sqrt{\frac{N_1^2 \cdot t_1 + N_2^2 \cdot t_2 + N_3^2 \cdot t_3}{t_1 + t_2 + t_3 + t_4}} \quad (33)$$

olur. Burada karesel ortalama $t_1 + t_2 + t_3 + t_4$ zamanı için alınmıştır. Zira çalışma diyagramlarının aynen tekerrür ettiği kabul edilmiştir. Yukarıda ufak bir misalle işaret edildiği gibi karesel ortalama denklemlerini kul-

lanırken önünde ısınma moment di ve elde Bulunan duğu k

Bü; talamay tenilirse ment ş 20 kW lışma v çalışma

olur. motor : tiyle a ment ş ise non

olur. 20

lık bir rın dev yetle 2 mi

merteb ancak ği kabi

$$M_c = 0,00267 \frac{n \cdot \Sigma GD^2}{t_c} - M_b \quad (78)$$

münasebeti ile hesap edilir. Yüğü veya boş kancayı indirme hallerinde M_b negatif olabilir. Bu taktirde 78 no. lu denklemdaki - işareti + olur. Frenleme esnasında sabit negatif ivme ile katedilen mesafe

$$s_c = \frac{v \cdot t_c}{2} \quad (79)$$

dır.

4 — Çalışma diyagramı ve motor gücünün tayini

Yukarıdaki şekilde hesap edilen değerlerle elde edilen zamana tâbi hız, yol, moment, güç diyagramları şek. 28 de şematik olarak gösterilmiştir.

Motorun tesbiti için bu şekilde elde edilen çalışma diyagramından ortalama relâtif devrede kalma süresi ve momentin çalışma süreleri boyunca karesel ortalaması tayin olunur. Şek. 28 de gösterilen diyagrama göre kaldırma motoru için ortalama relâtif devrede kalma süresi

$$\varepsilon = \frac{t_1 + t_2 + t_3 + t_4}{t_1 + t_{10} + t_2 + t_{20} + t_3 + t_{30} + t_4 + t_{40}} \quad (80)$$

momentinin çalışma süreleri boyunca karesel ortalaması

$$M_{ke} = \sqrt{\frac{(M_{1a}^2 \cdot t_{1a} + M_{1b}^2 \cdot t_{1b} + M_{1c}^2 \cdot t_{1c}) + \dots + (M_{4a}^2 \cdot t_{4a} + M_{4b}^2 \cdot t_{4b} + M_{4c}^2 \cdot t_{4c})}{t_1 + t_2 + t_3 + t_4}} \quad (81)$$

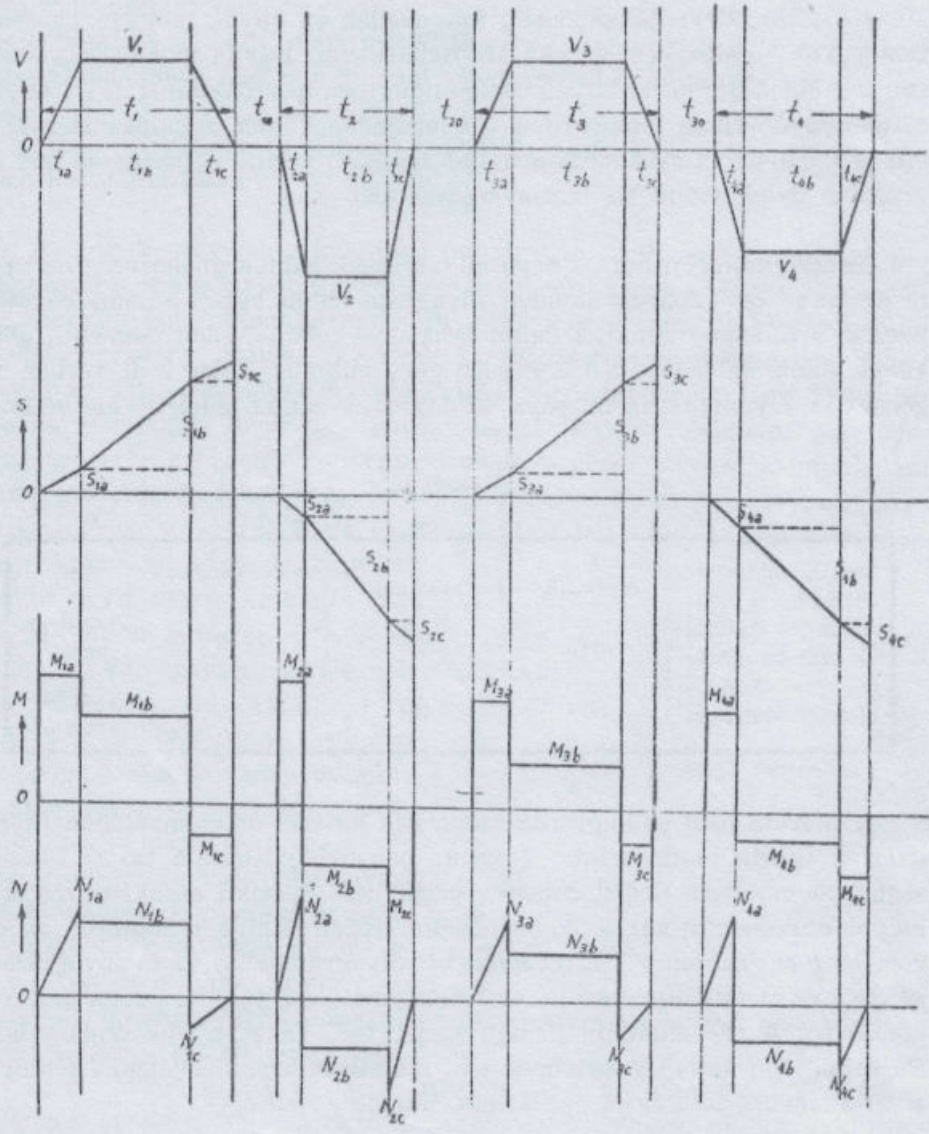
olur. ε , normalize relâtif devrede kalma süresine uymuyorsa kesintili çalışma kısmında izah edildiği gibi, M_{ke} momenti, ε' normalize relâtif devrede kalma süresine tekabül eden M'_{ke} momentine tahvil olunur. 4 no. lu denkleme göre

$$M'_{ke} = M_{ke} \sqrt{\frac{\varepsilon}{\varepsilon'}}$$

Buna göre ısınma bakımından gerekli kesintili çalışma motor gücü

$$N'_{ke} = \frac{M'_{ke} \cdot n}{973} \text{ [kW]} \quad (82)$$

Yükü kaldırma	Yükü indirme	Böş kancayı kaldırma	Böş kancayı indirme
Yükle hareket		Yüksüz hareket	
1	2	3	4



Şek. 28. Çalışma diyagramları

(7) M_b olur.

(79)

amana tâbi gösterilmiş-

umundan or-
aları boyun-
grama göre

(80)

$2_{4c} \cdot t_{4c}$ (81)

esintili ça-
tif devre-
4 no. lu

or cü

(82)

çalıştığından N_1 ve N_3 güçleri sabitmiş gibi -66-
 131mır. Doğrusal olarak artan veya azalan güç
 eğrisini kademeli eğrilere dönüştürüp bunların karesel
 ortalamasını almak yanlıştır olur. Buna göre Şekil 11 de
 gösterilen güç diyagramının karesel ortalaması

$$N_n = N_{eff} = \sqrt{\frac{N_1^2 \cdot t_1 + N_2^2 \cdot t_2 + N_3^2 \cdot t_3}{t_1 + t_2 + t_3 + t_4}} \quad (33)$$

olur. Burada karesel ortalama $t_1 + t_2 + t_3 + t_4$ zamanı
 için alınmıştır. Zira çalışma diyagramlarının aynı
 tekrar ettiği kabul edilmiştir.

Not. Kesintisiz güç kaynağı terimleri içinde yer alan
 RMS (Etkin değer) ve ortalama değer ile ilgili de
 bir bilgi verelim (S: 66/1):

Alternatif akımın RMS değeri bir direnç yükünden
 geçen ve aynı miktarda ısı enerjisi üreten DC akımın
 değerine eşittir. RMS karesel ortalama değer (Root
 Mean Square) anlamına gelir ve ETKİN DEĞER,
 EFİKTİF DEĞER olarak isimlendirilir.

Bu bilgilerden sonra problemimize dönebiliriz.

ilk harekete geçmede, M_d momenti sabit kalma-
 sına rağmen P_1 gücü devir sayısının artmasıyla
 artmaktadır (Şekil 13). Ancak hesaplamalarda sabit
 M_d momentine karşılık gelen sabit bir ilk harekete
 geçme gücü (daha doğrusu form devir sayısındaki
 ilk harekete geçme gücü) poz önüne alınmalıdır.

Kesintisiz Güç Kaynağı Terimleri :[Ana Sayfa](#)**RMS (Etkin Değer) ve Ortalama Değer**

Alternatif bir akımın RMS değeri sabit bir direnç yükünden geçen ve aynı miktarda ısı enerjisi üreten DC akımın değerine eşittir. RMS Karesel Ortalama Değer (Root Mean Square) anlamına gelir ve Etkin Değer, Efektif Değer olarak da isimlendirilir.

- Bir işaretin RMS değeri ayrı (dijital) olarak hesaplanırken şu adımlar izlenir:
- İşaretin bir periyot boyunca belirli örnekleme zamanıyla genlik değerleri alınır.
 - Alınan bu değerlerin kareleri toplanır.
 - Bu toplam alınan örnek sayısına bölünür.
 - Bu bölümün karekökü alınır

Karesel ortalama değer :

$$\sqrt{\frac{S_1^2 + S_2^2 + \dots + S_n^2}{n}} = \sqrt{\frac{\sum_{x=1}^n S_x^2}{n}}$$

RMS değer bu yöntemle hesaplanırken örnekleme ne sık yapılırsa ölçüm hassasiyeti o kadar yüksek olur.

Bir işaretin RMS değeri sürekli (analog) olarak hesaplanırken aşağıdaki formül kullanılır.

$$F_{RMS} = \sqrt{\frac{1}{T} \int_0^T f(t)^2 dt} :$$

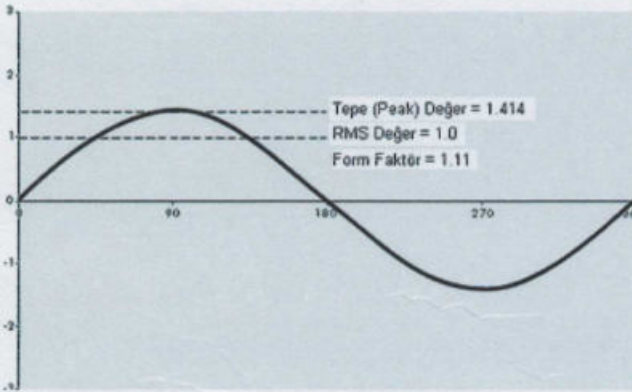
Bir işaretin Ortalama Değeri (Mean Value) ise o işaretin zaman eksenini ile arasında kalan alanı ifade etmektedir ve aşağıdaki formül

$$F_{Mean Value} = \frac{1}{T} \int_0^T f(t) dt$$

- Bir işaretin Ortalama Değeri ayrı (dijital) olarak hesaplanırken şu adımlar izlenir:
- İşaretin bir periyot boyunca belirli örnekleme zamanıyla genlik değerleri alınır
 - Alınan bu değerleri toplanır
 - Bu toplam alınan örnek sayısına bölünür

$$\text{Ortalama Değer} = \frac{S_1 + S_2 + \dots + S_n}{n} = \frac{\sum_{x=1}^n S_x}{n}$$

İdeal bir sinüs dalgalının RMS ve Ortalama Değerlerine ilişkin şekil aşağıdaki gibidir.



RMS değeri 1 birim olan Sinüsün Peak (Tepe) Derinin $\sqrt{2} = 1.41$ birim olmaktadır.

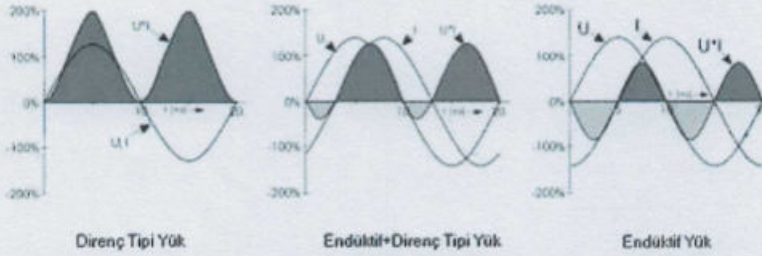
$$\text{Ayrıca (Tepe) Peak Faktör} = \frac{\text{Peak Değeri}}{\text{RMS Değeri}} = 1.414$$

$$\text{Form Faktör} = \frac{\text{RMS Değeri}}{\text{Ortalama Değeri}} = 1.111$$

Aktif Güç, Reaktif Güç

Direnç tipi bir yük gerilim kaynağından gerilimin çarpanı şeklinde bir akım çekmektedir, ancak reaktif yüklerin çektiği akım direnç yükündeki gibi değildir. Reaktif yüklerde de hem gerilim hem de akım dalga şekilleri sinüzoidal olabilir ancak aralarında bir faz farkı vardır. Reaktif yüklerde bir periyot süresince akım ve gerilim işaretleri aynı veya farklı olabilir.

Akım ve gerilim işaretinin farklı olduğu noktalarda güç negatifdir ve güç akışı kullanıcıdan şebekeye doğrudur. Şebekeden çekilen bu enerji kullanılmadan şebekeye geri verilir ve bu dolaşım sırasında iletim hatlarındaki dirençlerden dolayı kayıplar oluşur. Yani reaktif güç şebekeye yük arasında salınan ancak kullanılmayan enerjidir. Aşağıdaki şekilde açık gölgelendirilmiş bölgeler reaktif gücün, koyu gölgelendirilmiş bölgeler ise aktif gücün söz konusu bölgeleri göstermektedir.



Aktif enerji şebeke periyodu boyunca şebekeden çekilen enerjidir, bu da gerilimle akımın çarpımının zaman ekseninin üstünde kalan alanıdır. Üstte kalan alan (aktif enerji) ile altta kalan alanın (reaktif enerji) farkı yükün harcadığı toplam enerjiyi vermektedir.

Aktif güç [P] ile reaktif güç[Q] birlikte kompleks gücü [S] oluşturmaktadır.

Generatör, transformator, motor gibi elektrikli aygıtların ve iletim hatlarının maliyeti bunların görünür gücüyle orantılıdır. Bunun nedeni bu cihazların yalıtım düzeyinin gerilimle, iletken boyutlarının da akımla orantılı olmasıdır. Aktif güç P'nin fiziksel bir anlamı vardır. Bu gücün büyük bir kısmı yararlı işi karşılar, çok az bir kısmı kayıplardır. Oysa reaktif güç, elektromanyetik cihazlardaki manyetik alanı oluşturur ve yararlı enerji çevriminde kullanılmaz. Gereksiz yere hattı ve iletim aygıtlarını yükleyerek gerilim düşümüne ve kayıplara yol açar. Bu nedenle şebekeden çekilen Q reaktif gücün sıfır olması istenir.

Bu büyüklükler arasında matematiksel şu ilişkiler vardır:

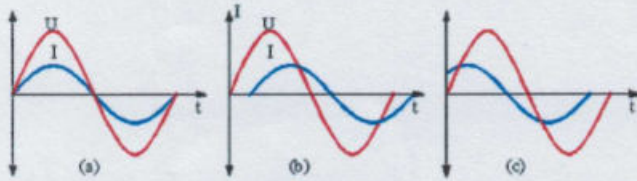
$$S^2 = P^2 + Q^2$$

$$P = S \cos \phi = VI \cos \phi$$

Burada $\cos \phi =$ Güç faktörü olup, yükün etkin gücü ne kadar etkili çektiğinin bir ölçüsüdür. Güç faktörü boyutsuzdur ve idealde $\cos \phi = 1$ olması istenir. Böylece reaktif güç sıfır olur ve aynı güç en düşük akımla çekilir ve cihazlardaki ve yükteki olası kayıplar en aza indirilmiş olur.

Yükün karakteristiğinden kaynaklanan sebeplerden dolayı akımın gerilimden ileride veya geride olması durumunda şebekeden enerjiye dönüşemeyen yükün çekilmesi başka bir ifade ile işe yaramayan gücün çekilmesindeki güç birimidir.

Rezistif (Direnç Tipi) Yük, Endüktif Yük, Kapasitif Yük :



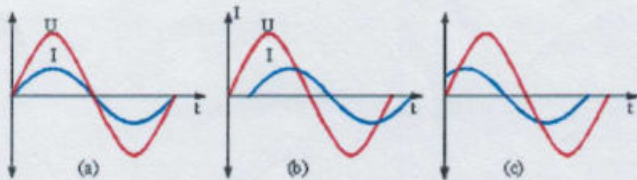
Yukarıda dalga şekilleri verilen bu yük çeşitleri için şu özellikler geçerlidir:

- Yük üzerindeki akım gerilimin bir çarpanı ve akımla gerilim arasında bir faz farkı varsa bu yük çeşidine rezistif (direnç tipi) yük denilmektedir.
- Yük üzerindeki akımın gerilimden geride olması durumundaki yük çeşidine endüktif yük denilmektedir.
- Yük üzerindeki gerilimin akımdan geride olması durumundaki yük çeşidine kapasitif yük denilmektedir.

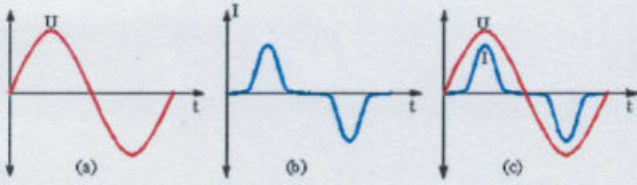
Lineer (Doğrusal) Yük , Non-Lineer (Doğrusal Olmayan) Yük

Lineer adından da anlaşılacağı gibi yükün karakteristiğinin doğrusal olduğunu ifade eder. Yani yük akımı her bir periyotta gerilimin bir fonksiyonudur. Bir başka ifadeyle yük akımıyla gerilim arasında faz farkı olsa bile non-linear değil yine lineerdir çünkü akım hala gerilimin bir fonksiyonudur. Yük reaktif ama lineerdir.

Aşağıda lineer yük çeşitleri görülmektedir. Yük rezistif, endüktif yada kapasitif olsa bile akım gerilimin bir fonksiyonu olduğu sürece yük lineer yükür.

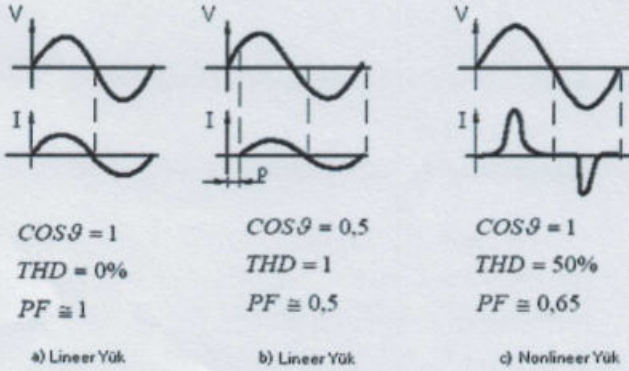


Eğer yük akımı şebeke geriliminin bir fonksiyonu değilse aralarında bir faz farkı olmamasına rağmen yük non-lineerdir.



Aşağıda gerilim ve akım dalga şekilleri verilen yük çeşitleri için;

- a) Burada gerilimle akım her zaman aynı yönde ve akım geriliminin bir fonksiyonu olduğu için şebeke reaktif güç çekilmez ve yük lineerdir.
- b) Bu durumda gerilimle akım her zaman aynı yönde değildir. Bu nedenle gerilimle akımın yönlerinin zıt olduğu bölgelerde reaktif güç bileşeni vardır. Reaktif güç bileşeni olmasına rağmen bu yük tipi de lineerdir. Çünkü gerilimin olduğu her noktada akım da çekilmektedir.
- c) Bu durumda ise hem gerilim hem de akım her zaman aynı yönlerde olmasına rağmen yükün çektiği akım geriliminin bir fonksiyonu değildir. Başka bir ifadeyle gerilimin olduğu her noktada şebekeden akım çekilmez. Bu nedenle bu yük çeşidi non-lineerdir.



Senkronizasyon :

İki sinyalin frekans ve fazlarının aynı olmasıdır. KGK'larda By-Pass'tan eviriciye geçerken kesintisiz bir geçişin olabilmesi için evirici çıkışının ve By-Pass hattının gerilim ve frekansı değerlerinin aynı olması gerekir. Ayrıca bazı paralel çalışma durumlarında da KGK'lar çıkışlarını senkron hale gelecek düzeneklere sahip olmalıdır.

Güç Faktörü :

Güç faktörünün, bir KGK sistemini boyutlandırırken önemli manaları vardır. Güç, birim zamandaki enerjidir ve DC devrelerinde gerilim ve akımın matematiksel çarpımı olarak ifade edilir (Güç=Volt x Amper). Fakat alternatif akımda bir karşıklık mevcuttur. Bazı AC akımları enerji sağlamadan yüke girip çıkabilir. Reaktif veya harmonik akım adı verilen bu akım gerçek güçten fazla olan görünürdeki gücü artırır. Görünür güç ve gerçek güç arasındaki bu fark güç faktörünün artmasına sebep olur. Güç faktörü gerçek gücün görünür güce oranıdır. Görünür gücün birimi VA'dır. Bundan dolayı herhangi bir sistemdeki gerçek güç, güç faktörüyle VA değerinin çarpımıyla bulunur.

Çoğu elektrikli cihaz için görünür güç (VA) ve gerçek güç (Watt) arasındaki fark çok önemsizdir ve ihmal edilebilir. Fakat tüm bilgisayarlar için fark fazla ve önemlidir. Bir bilgisayar sisteminin güç faktörü 0.65'tir. Bu, görünür gücün (VA) gerçek gücün (Watt) yaklaşık %50 daha fazla olduğu anlamına gelir.

KGK çıkış gücünün yeterli olduğundan emin olmak için KGK'nın VA değeri yükün VA ihtiyacından fazla olmalıdır. Yükün daha düşük olan Watt veya VA değeri kullanılmamalıdır çünkü bu değer çalışma sırasında KGK'dan istenecek ekstra reaktif veya harmonik akımı içermez.

Çoğu KGK üreticisi ürünlerinde Watt ve VA özelliklerini vermemektedir. Bir KGK'nın VA değeri verilmediğinde KGK'nın yükü kaldırıp kaldıramayacağını tespit etmek çok zor olabilir. Gerçekte, Watt değeri verilen bir KGK, eğer yük 0.65 güç faktörü olan bir bilgisayarsa gerekli gücü sağlamayacaktır. Eğer Watt değeri KGK üzerindeki tek değerse VA değeri bu Watt değerine eşit olduğu varsayılmalıdır.

Krest (Tepe) Faktörü

Düşük güç faktörüne ek olarak, bilgisayar yükleri çok yüksek tepe faktörlerine sahip olmaları konusunda da sıra dışıdır. Tepe faktörü yük tarafından çekilen anlık peak akımıyla RMS (Root Mean Square) akımı arasındaki orandır. Çoğu elektriksel uygulamanın 1.4 tepe faktörü vardır. Bir yükün 1.4'ten fazla tepe faktörü olduğunda kaynak (KGK) yükün istediği peak akımını sağlamak zorundadır. Eğer kaynak, akımı sağlamazsa kaynak gerilimi aşırı tepe (peak) akımı tarafından bozulur. Bundan dolayı eğer bir KGK yükün ihtiyacı olan tepe faktörünü sağlayacak kadar büyük değilse KGK'nın çıkış dalga formu bozulacaktır.

Bir bilgisayarın tepe faktörü ihtiyacı beslediği kaynağa göre değişir. Tepe faktörü bilgisayar aynı oda içinde başka AC kaynağına takılırsa bile değişebilir. Tepe faktörünün yük ve AC kaynak arasındaki etkileşimden doğmaktadır. Bir bilgisayar yükünün ihtiyacı olan tepe faktörü AC kaynağın dalga formuna bağlıdır. Sinüs dalga kaynağı için bir bilgisayar tipik olarak 2 ila 3 arasında tepe faktörü gösterecektir. Sinüse basamaklı yaklaşıkklıklı dalga formu için bilgisayar 1.4 ila 1.9 arasında tepe faktörü gösterecektir. Yüksek tepe faktörü güç kaynağı bileşenlerinin aşırı ısınmasına sebep olur.

Bilgisayar, KGK, surge engelleyici veya güç düzelticiden çalıştırıldığında tepe faktöründeki düşüş (giriş gerilimi dalga formunun aşırı distorsiyonu ile beraber değilse) olumlu bir yan etkidir. Böyle bir distorsiyon, brownout durumuna eşdeğer olan azaltılmış peak gerilimi ile sonuçlanabilir. KGK veya şebeke düzelticisi uygun peak gerilimini sağlayacak şekilde tasarlanmalıdır.

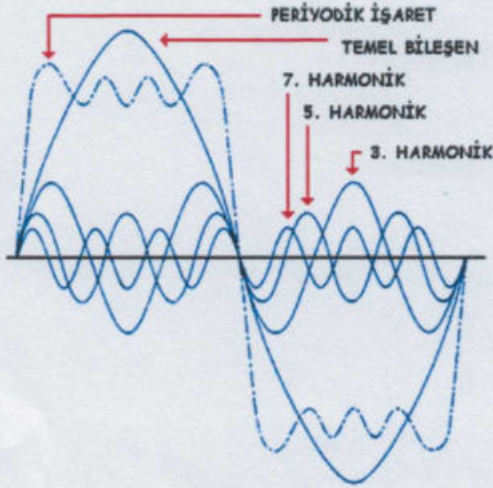
Tepe faktörü kaliteli KGK sistemlerinin yaklaşık olarak tam yükte 3, 1/2 yükte 4, 1/4 yükte 8 tepe faktörü kapasitesi vardır. Daha küçük basamaklı dalgalı modellerin yaklaşık olarak tam yükte 1.6, 1/2 yükte 2 tepe faktörü kapasitesi vardır. Kaliteli KGK sistemleri, herhangi bir tepe faktörüyle bilgisayar tipi yüklerle uygun peak voltajı vermek için tasarlanmıştır.

Harmonik ve THD (Total Harmonic Distortion, Harmonik Bozunum)

Belirli bir frekandaki tüm periyodik dalga şekilleri kendi frekansının katlarındaki sinüs dalgalarının toplamına eşittir. Toplanarak periyodik dalgayı oluşturan sinüs dalgalarının her birine harmonik denilmektedir. Birinci harmonik analizi yapılan periyodik işarette aynı frekanstadır ve temel bileşen olarak adlandırılır. İkinci harmonik temel bileşenin frekansının iki katıdır. Genel olarak ifade edilecek olursa n. harmoniğin frekansı temel bileşenin frekansının n katıdır.

Örnek olarak frekansı 50 Hz olan bir dalga için bazı harmoniklerinin frekansı şu şekildedir :

Temel Bileşen (1.Harmonik)	50Hz
2.Harmonik	100Hz
3.Harmonik	150Hz
4.Harmonik	200Hz
5.Harmonik	250Hz
6.Harmonik	300Hz



Harmonik bozunum ise elektriksel kirliliğin bir ifadesidir. Eğer harmonik bozunumların toplamının (THD) belirli sınırları üzerinde bazı elektriksel problemlere neden olmaktadır. Örnek olarak akım harmoniklerinin yüksek olması kabloların aşırı ısınmasına ve zarar görmesine neden olabilir. Elektrik motorlarında da aşırı ısınmaya, gürültülü çalışmaya ve tork salınımlarına neden olmaktadır. Kapasitörlerde de aşırı ısınmaya, bunun sonucu dielektrik denen birbirinden yalıtılmış plakaların delinmesine neden olabilmektedir. Ayrıca işlemciler elektronik göstergeler, LED'ler harmonik bozunumlardan etkilenmektedir.

Gerilim ve akımda meydana gelen harmonik bozunumlarının (THD) kaynağı non-lineer yüklerdir. Non-lineer yükler arasında KKG'lar, motor yol vericileri, motor sürücüleri, bilgisayarlar ve elektronik aydınlatma ve kaynak makineleri vardır. Ayrıca tüm güç elektroniği dönüştürücüleri şebekedeki harmonik bozunumu artırıcı etki gösterirler.

Bir işaretin harmonik bozunumunun matematiksel ifadesi;

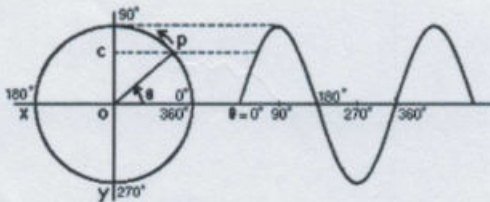
$$I_H = \sqrt{I_2^2 + I_3^2 + \dots + I_n^2} \text{ ve } I_n = n. \text{ harmoniğin RMS değeri,}$$

I_F = İşaretin temel bileşenin RMS değeri olmak üzere şu şekilde hesaplanabilir.

$$THD = \frac{I_H}{I_F}$$

Toplam harmonik bozunumun yüzde (%) olarak ifadesi şu şekildedir:

$$THD(\%) = \frac{I_H}{I_F} \times 100$$

Sinüs (Sinüzoidal) Dalga :

Birim çember (yarıçapı 1 birim olan çember) yarıçapının sıfır derece ile 360 derece arasında döndürülmesiyle birim çember yarıçapının y eksenine düşen izdüşümleri sinüs dalgayı oluşturmaktadır.

Örnek olarak birim çember yarıçapının x eksenine θ açısı yaptığı değerdeki noktada sinüs

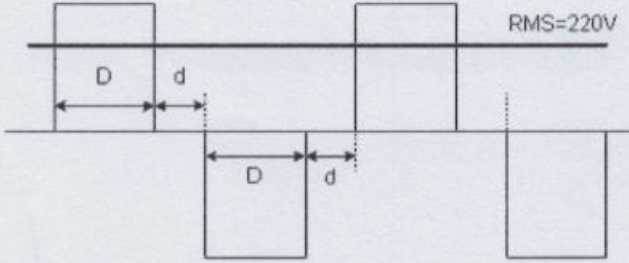
birim çemberin etrafında Matematikte genliği -1 ile +1 arasında değişen temel bir dalga formudur. Teknik manada şebeke

büyüküklerinin zamana göre değişiminin bu temel dalganın bir fonksiyonu olarak değiştiğini ifade etmekte kullanılır.

Şebeke büyüküklerinin temel sinüs dalgasının bir fonksiyonu olarak değiştiğinin bir ifadesidir. Sinüs sinyali ile sinüzoidal sinyal arasında bir fark yoktur.

Sinüs Benzeşimli (Kısmi Kare Dalga) Eviriciler :

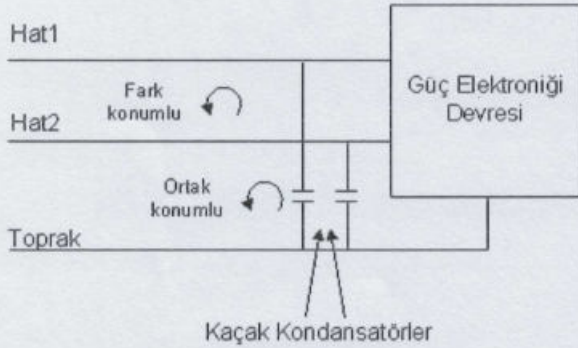
Çıkışı bir fazlı olan eviricilerde darbe genişlik modülasyonu ve giriş doğru gerilim ayarı gibi yöntemler uygulamaksızın, çıkış geriliminin frekans ve genlik olarak ayarlaması yapılabilir. Dalga şekli kare dalgaya benzemekle beraber, belirli aralıklarda gerilimin yok edilmesi ilkesi ile çalışmaktadır. Çıkış geriliminin belirli aralıklarında sıfır gerilim bölgeleri oluşturulmakta, böylece gerilim ayarı yapılmaktadır.



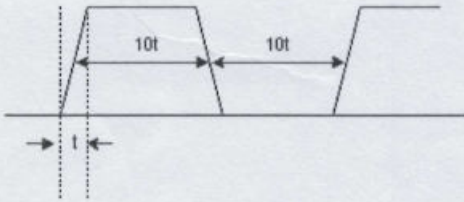
Örnek olarak yukarıda verilen sinüs benzeşimli KGK'nın çıkışı incelenebilir. Evirici çıkışının bir periyottaki doluluk (D) ve boşluk (d) miktarları değiştirilerek çıkış geriliminin RMS (etkin) değeri sabit tutulmaktadır. Gerilimin tepe değeri 220V'tan büyük ise RMS değerini 220V olabilmesi için belirli bir boşluk oranı bırakılmaktadır. DC gerilim seviyesi düştükçe (akülerin boşalmasıyla) RMS değerini sabit kalması için darbelerin doluluk oranı arttırılır.

EMI-RFI :

Anahtarlamalı bir çeviricide akım ve gerilimde çok hızlı değişimler meydana geldiği için yüksek frekanslı salınımlar oluşmaktadır. Bu salınımlar diğer elektronik devrelerde ve güç elektroniği çevircisinin kendi iç çalışmasında bozucu elektromanyetik girişimlere neden olurlar. Bu girişim EMI (Electromagnetic Interference) olarak adlandırılır. EMI radyasyon ve iletim olmak üzere iki biçimde iletilir. Anahtarlamalı güç elektroniği devreleri, kendilerini besleyen elektrik sistemine güç kabloları üzerinden iletim biçiminde gürültü yayarlar. Bu gürültü uzaya radyasyon yoluyla yayılan gürültünün birkaç katı daha büyüğüdür. Güç elektroniği devrelerinin metal gövde içine alınmaları, radyasyon yoluyla yayılan elektromanyetik kirliliği büyük ölçüde azaltır.



Yukarıdaki şekilde gösterildiği iletimsel gürültü fark-konumlu ve ortak-konumlu olmak üzere iki çeşide ayrılır. Fark konumlu gürültü incelemesinde, fazlar arası gerilimin veya akımın gürültüleri incelenir. Ortak-konumlu gürültüde ise faz-nötr gerilimdeki ve faz ve nötr hatlarındaki akımın gürültüleri ele alınır. Güç elektroniği çevircilerinin gerek giriş tarafında gerekse de çıkış tarafındaki hatlarında, hem fark-konumlu hem de ortak konumlu gürültüler bulunmaktadır. Bunların giderilmesi için çeşitli filtre devreleri kullanılmaktadır.



Yukarıda gösterilen anahtarlama dalga şekli, açma kapama yapan güç elektroniği devrelerinde oluşan dalganın tipik örneğidir. Çok kısa bir yükselme ve düşme süresi olduğu için bu dalga, azımsanamayacak büyüklükteki enerjiyi şebeke frekansından çok yüksek olan radyo frekanslı (RF) harmonikleri içerir.

Bir doğrultucuda fark konumlu gürültü, şebeke kapısındaki hat üzerinden güç sistemine yayılır. Benzer şekilde, çıkış kapısındaki gürültü doğru gerilim hattı üzerinden yükte geçer. Bunlara ek olarak, elemanlar arasındaki kapasitif bağlaç ve devreler arasındaki manyetik kavrama nedeniyle oluşan iletim yollarında da gürültü meydana gelmektedir.

Ortak-konumlu gürültünün yayılması kaçak elektrik ve manyetik alanları ve kaçak kapasiteleri üzerinden oluşur. Kaçak kapasiteleri iki farklı fazdaki devreler arasında oluşabileceği gibi, bir faz devresiyle toprak arasında da oluşabilir. Güvenlik nedeniyle, güç elektroniği devrelerinin çoğu topraklanmış bir gövde içine alınmıştır. Toprak hattında meydana gelen gelen gürültü, EMI gürültüleri arasındadır.

Elektromanyetik Girişim (EMI), Radyo Frekanslı Girişim (RFI) yüksek frekansta anahtarlama kaynaklanan bazı sinyallerin manyetik yolla havaya, elektriksel yolla şebekeye doğru yönelmesidir. Eğer bu girişimin frekansı radyo frekansına yakınsa RFI olarak isimlendirilir.

VFI (Voltage Frequency Independent)

Kesintisiz Güç Kaynağı çıkış gerilimi, kaynak (şebeke) gerilimi ve frekansından bağımsız yapıdadır.

VI (Voltage Independent)

Kesintisiz Güç Kaynağı çıkış gerilimi, kaynak frekansına bağımlı ama gerilim değişikliklerini düzenleyebilen yapıdadır.

VFD (Voltage Frequency Dependent)

Kesintisiz Güç Kaynağı çıkış gerilimi, kaynak gerilimine ve frekansına bağımlı yapıdadır.

PFC (Power Factor Correction, Güç Faktörü Düzeltmesi)

Diodyot ve tristörlerle elde edilen doğrultucular, yük tarafından çekilen akımın her anında şebekeden akım çekmezler. Şebeke geriliminin tepe noktaları etrafında girişten akım çeker. Sinüzoidal şebeke geriliminin tepe noktaları etrafında DC filtre kondansatörünün şarj akımı ve yük akımının toplamı şebekeden çekilirken, sinüzoidal şebeke geriliminin diğer bölgelerinde yük akımı kondansatörde depolanan DC gerilimden sağlanır.

Sinüzoidal giriş geriliminin her bölgesinde gerilimle orantılı bir akım çekilmediğinden gerilimdeki çökmeler de sadece akım çekildiği tepe bölgelerinde olur. Böylece AC giriş gerilimi tam sinüzoidal olmaktan çıkar, bozuk bir sinüzoidal gerilim olur. Tam sinüzoidal olmayan bir AC gerilim, AC ile çalışan tüm yüklerde verimsizliklere ve aşırı ısınmalara neden olur. Ayrıca sinüzoidal olmayan akım çeken devrelerin güç faktörü 1'den düşük olduğundan aynı gücü elde etmek için daha fazla akım çekilmesi gerekir. Bu da iletken kesitlerinin daha yüksek akımlar için artırılmasını gerektirir. Bu nedenlerle şebeke geriliminden sinüzoidal akım çeken ve güç faktörü 1'e yakın olan, yani şebeke gerilimini bozmayan ve gereksiz yüksek akımla yüklemeyen doğrultucular önem kazanmakta ve tercih edilmektedir.

Aktif güç faktörü düzeltilen doğrultucular KGK'nın yapısına göre 1 fazlı veya 3 fazlı olabilir. Giriş akımının sinüzoidal olabilmesi için giriş akımının giriş gerilimine benzetilmesi sağlanır. Bu amaç için darbe genişlik modülasyonu kullanılarak bir transistör anahtarlama yapılır. Transistörün iletimde ve kesimde kaldığı süreler darbe genişlik modülasyonu ile değiştirilerek akımın sinüzoidal olması sağlanır. PFC'li KGK'larda güç faktörü 0,99 ve giriş akım harmonikleri %5'in altında olmalıdır.

Avantajları:

- Giriş akımı sinüzoidal olduğu için şebeke geriliminde bozulmalara ve gereksiz yüksek akımlara neden olmaz.
- Giriş akımı, DC çıkış gerilimi ve yük akımı değerleri bir kontrol devresi ile istenilen değerlerde tutulabilir.
- Çıkış gerilimi ve akımı istenilen değerlerde sınırlandırılabilir için hem eviricide, hem de akü grubunun şarj edilmesinde kullanılabilir.

Dezavantajları:

- Diğer doğrultucu türlerine göre daha fazla elemanla elde edildiği için boyutları ve maliyeti yüksektir.
- Diğer doğrultucu türlerine göre kayıplar daha fazladır ve verimi daha düşüktür.
- Devrenin tasarımı ve optimizasyonu zordur. Yüksek derecede güç elektroniği bilgisi gerektirir.
- Yüksek gerilimde anahtarlama yapıldığından elektromanyetik gürültü kaynağıdır, elektromanyetik gürültünün mutlaka filtre edilmesi gerekir.

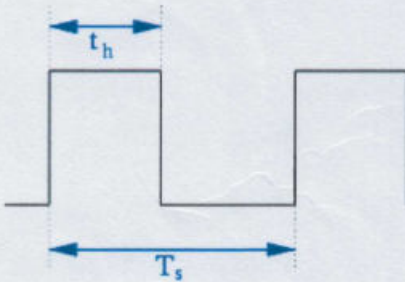
IGBT (Insulated Gate Bipolar Transistor : Kapıdan yalıtımlı bipolar transistor)

Güç MOSFET'i ve bipolar transistor özelliğinin tek bir yapıda birleştiği bir anahtarlama elemanıdır. Giriş karakteristiği güç MOSFET'ine çıkış karakteristiği bipolar transistor benzeyen izole kapılı bir elemandır. KGK'larda anahtarlama hızları ve iletim kayıplarının küçüklüğü sebebi ile tercih edilen bir elemandır. Tristörlere göre daha pahalı ancak daha sağlıklıdır.

PWM (Pulse Width Modulation : Darbe Genişlik Modülasyonu) :

Belirli bir frekanstaki bir sinyalin çalışma oranının (D) başka bir giriş sinyali ile kontrol edilmesi olayına darbe genişlik modülasyonu denir. Darbe genişlik modülasyonu bir çok elektrikli alette, anahtarlama güç kaynakları ve kuvvetlendiricilerin kontrol devrelerinde kullanılmaktadır.

Çalışma oranı D aşağıda gösterildiği gibi t_h zamanının işaretin periyodu olan T_s zamanına bölünmesi olarak tanımlanır.

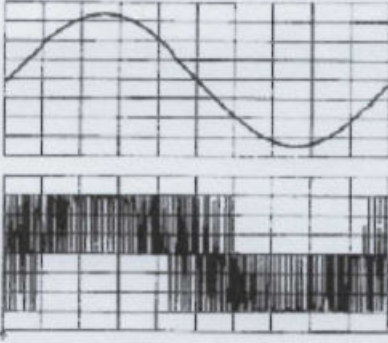


$$D = \frac{t_h}{T_s} \quad 0 \leq D \leq 1$$

SPWM (Sinüs Dalgalı Darbe Genişlik Modülasyonu) :

PWM yöntemi kullanılarak sinüs işaretinin elde edilmesidir. Bu yöntem sayesinde anahtarlama elemanını (IGBT, MOSFET) her periyot boyunca belirli bir oranlarda iletime ve kesime geçirerek sonuçta değişken genlikli sinüs işareti elde edilebilmektedir. SPWM ile anahtarlama elemanı üzerinde yalnızca anahtarlama anında kayıplar meydana gelir. Aksi takdirde anahtarlama elemanının (güç transistörleri) lineer (doğrusal) bölgede çalıştırılmasıyla daha fazla kayıp meydana gelmektedir.

Aşağıda gibi anahtarlama elemanının SPWM çıkışı ve bu çıkışın filtre edildikten sonraki sinüs şekli görülmektedir.



Surge faktörü

Bu terim, çoğu zaman anlamı daha farklı ve alakasız olan KGK'nın surge bastırma özelliği veya surge engelleyicilerin özellikleriyle karıştırılıyor. Surge faktörü KGK'nın anlık aşırı yük kapasitesine işaret eder ve start-up sırasında geçici ekstra yüke ihtiyacı olan yükleri çalıştırabilme kabiliyetinin ölçüsüdür. Motorlar ve sabit diskler yüksek surge faktörüne sahip yüklere örnektir.

5.25" sabit disk sürücüsüne sahip sistemlerde surge faktörü sabit durum güç harcamasının yaklaşık 1.15 katıdır. 8", 10" veya 15" lik daha büyük sistemlerde surge faktörü sabit durum güç sarfiyatının yaklaşık 1.5 katıdır.

Surge faktörü iyi olan Kesintisiz Güç Kaynağı sistemleri, Kesintisiz Güç Kaynağı tam yükteyken bile tipik sabit disk yüklerini çalıştıracak surge faktörü yeteneğine sahiptir. Çok geniş form faktörü sabit disk sürücüsü (8" üstü) sistemlerde daha büyük boyut, Kesintisiz Güç Kaynağı'nın güvenlik sigortasını kullanmasını önlemek için gerekli olabilir.

Sag

Sag (çöküntü) surge'ün zıttıdır. Bunlar uzun süreli düşük gerilim durumlarıdır. Topraklama hataları, zayıf güç sistemleri, büyük elektriksel yüklerin ani start-up'tan gerilim çöküntülerinin tipik sebepleridir. Yıldırım düşmesi de ayrıca çöküntülerin önemli bir nedenidir. Çöküntüler, bilgisayarlara karşı ciddi bir tehdit oluşturabilir. Çöküntüler disk sürücülerini yavaşlatabilir, okuma hatalarına ve hatta çökmelerine sebep olabilir.

Spike

Bilgisayar çalışmalarını sekteye uğratabilecek hatta ekipmana zarar verebilecek yüksek genlikli anlık olaylardır. Spike çeşitli nedenlerden kaynaklanabilir. En önemli neden yakın, uzak bir yere veya enerji iletim hatlarına düşen yıldırımlardır. Bunlar gerilimde büyük sıçramalara neden olabilirler.

Spike oluşturan diğer olaylar, büyük elektronik yüklerin veya şebekenin açılıp kapanması ve statik deşarjdır. Spike sonucunda oluşabilecek en yıkıcı olay donanımın zarar görmesidir. Yüksek gerilim darbeleri mikroçip yollarında (traces) delikler açabilir. Bazen bu hasar hemen kendini gösterir; bazen de olaydan günler, haftalar boyunca kendini göstermeyebilir. Zarar görmüş data, yazıcı, terminal veya data işleme hataları daha az tehlikeli sonuçlardır.

Surge

Bir periyottan uzun süren aşırı gerilimlerdir. Surge, büyük miktarda güç çeken hattaki bir cihazın aniden durması veya kapatılması sonucu oluşabilir. Şebekeler büyük yükleri hat dışında anahtarladıkları zaman surge oluşabilir. Bir surge'ün büyüklüğünden çok süresi önemlidir. Uzun veya sık surge'ler bilgisayar donanımına hasar verebilir.

Gürültü

Normal sinüs dalganın üzerine binen çeşitli yüksek frekans darbeleri için kullanılan kolektif bir terimdir. Genliği birkaç mV'den birkaç V'ye kadar değişebilir. Özellikle tehlikeli bir problem, radyo frekans (RF) gürültüsüdür. RF gürültüsü, elektrik kabloları üzerinde dolaşan yüksek frekanslı sinyallerden oluşur. RF gürültüsü, yıldırım çarpması, radyo iletimleri ve bilgisayar güç kaynakları tarafından yaratılabilir. Gürültü, hatalı data iletimine ve bilgisayar işlem, yazıcı ya da terminal hatalarına sebep olabilir.

Brownout

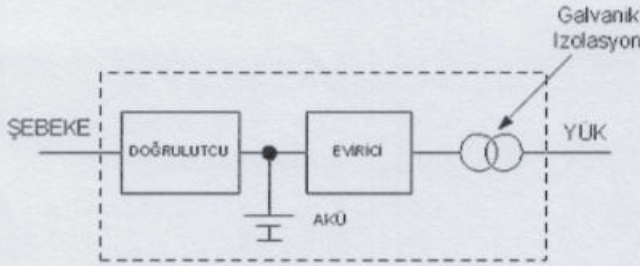
Dakikalar, hatta saatler süren uzun süreli düşük gerilim durumlarıdır. Tepe akım isteği kapasitenin üzerinde olduğu zaman şebekeler tarafından yaratılırlar. Brownout, lojik devre ve disk sürücülerini düzgün çalışmaları için gerekli gerilimden mahrum bırakarak hatalı çalışmalarına veya donanım hasarlarına sebep olurlar.

Blackout

Dakikalar, saatler hatta günler süren 0 (sıfır) gerilim durumlarıdır. Enerji dağıtım şebekesine, taşıyabileceğinden daha fazla yük bindirildiğinde daha sık meydana gelirler. Blackout, topraklama hataları, kazalar ve doğal afetler yüzünden oluşabilir. En mühim etkisi sistem çökmelerine sebep olmasıdır. Güç aniden kesildiğinde disk sürücüler veya diğer sistem bileşenleri zarar görebilir.

Galvanik İzolasyon :

Kesintisiz Güç Kaynaklarında evirici çıkışının bir çıkış trafosu üzerinden yüke verilmesini ifade eder. Bu şekilde yük yalıtımlı bir kaynaktan beslenmiş olur. Aynı zamanda bu trafo filtrelemeye de etki ederek çıkışın daha düzgün olmasını sağlar. Çıkış trafosunun bir diğer etkisi ise yükü aşırı gerilimlerden korumaktır. Örneğin Kesintisiz Güç Kaynağı yıldırım düşmesi gibi yüksek gerilime maruz kaldığında çıkıştaki yük bu izolasyon trafosu sayesinde etkilenmez.



Watt Veya Volt-Amper

Çoğu insan, Kesintisiz Güç Kaynağı yükü boyutlandırması için kullanılan Watt ve Volt-Amper (VA) arasındaki ayırmda karışıklığa düşer. Birçok üretici de bu konuda, bazen iki büyüklüğü hatalı bir şekilde eşit ele alarak bu karışıklığa sebep olmaktadır.

Büyük sistemler daima VA ile ölçülür. Karışıklık, büyük sistemlerin (1 kVA - 500 kVA) Watt yerine VA ile ölçülmesine bağlı olarak küçük (1000 VA altı) Kesintisiz Güç Kaynağı pazarı için geçerlidir. Küçük Kesintisiz Güç Kaynağı sistemleri için Watt derecelendirilmesinin kullanımı, küçük Kesintisiz Güç Kaynağı kullanıcısının "Watt" kavramına aşina olmasındandır. Fakat VA derecelendirme sistemi Kesintisiz Güç Kaynağı'nın yükünü karşılamada daha iyidir. Bu doğrudur çünkü bir Kesintisiz Güç Kaynağı'nın çıkış kapasitesini sınırlayan temel faktör, onun çıkış akımı kapasitesidir ve bu faktör, "Watt" dan daha çok VA derecelendirilmesine uygundur.

Watt değeri, daima VA değerine eşit veya ondan küçük olmalıdır. AC güç ölçümleri aşağıdaki gibi ilişkilendirilebilir:

$$\begin{aligned} \text{Watt} &= \text{VA} \times \text{Güç Faktörü} = \text{Volt} \times \text{Amper} \times \text{Güç Faktörü} \\ (\text{Volt} &= 110 \text{ veya } 220) \\ \text{Amper} &= \text{yük akımı} \\ \text{Güç Faktörü} &= 0 \text{ ile } 1 \text{ arasında bir değerdir. } \end{aligned}$$

0 ve 1 arasında bir sayı olan güç faktörü, yüke yararlı enerji sağlayan yük akımının parçasıdır. Sadece bir elektrikli ısıtıcı veya bir ampulde güç faktörü 1'e eşittir; diğer bütün ekipman için yük akımının bir kısmı yüke güç sağlamadan yüke girer ve çıkar. Distorsiyon veya reaktif akımdan oluşan bu akım, elektronik yükün doğasının bir sonucudur. Yüke bağlı olarak zorla varolan distorsiyon veya reaktif akım, VA değerinin Watt değerinden büyük olmasına yol açar. Watt derecelendirme sistemi, VA sisteminde güç faktörünün 1 olduğu özel bir durum olarak düşünülebilir.

Bir Bilgisayarın Watt Cinsinden Değeri VA Değerinin %60 - %70'idir. Tüm modern bilgisayarlar, anahtarlar tip konvertörün giriş özelliklerine bağlı olarak 0.6 ile 0.7 arası güç faktörüne sahip kapasitör girişli anahtarlamalı güç kaynağına sahiptir. Kişisel bilgisayarların güç faktörü 0.6'ya ve daha büyük sistemlerin ise 0.7'ye yakındır. "Güç faktörü düzeltilmiş güç kaynağı" adlı güç kaynağı yeni olarak tanıtıldı. Bu tip güç kaynağı için giriş güç faktörü 1'e eşittir. Yakın gelecekte bu güç kaynakları yaygın olarak kullanılacaktır.

Bir Bilgisayar Yüğü İçin Kesintisiz Güç Kaynağı Watt Cinsinden Değer VA Değerinin Daima %60-%70'idir. Kesintisiz Güç Kaynağı sistemleri VA sınırlı cihazlar olduğu için tüm bilgisayar yükleri 0.6 ile 0.7 arası güç faktörüne sahiptir. Bilgisayar tipi yükler için KGK'nın Watt cinsinden değeri Kesintisiz Güç Kaynağı VA değerinin %60-%70'i olmalıdır.

Kesintisiz Güç Kaynağı üreticileri "Watt" dedikleri zaman VA ima edebilirler. Bir KGK üreticisi aynı bir güç faktörü veya VA değeri olmadan bir KGK Watt değeri belirlerse kullanıcı, bu değer '1' güç faktörünü kullandığını göz önünde tutmalıdır. Bu, üreticinin ürünü için VA değeri verdiği ve bilgisayar yükleri için Watt değeri bunun %60-70'i olacak demektir. Yük boyutları örneklerinde yük akımıyla yük geriliminin çarpımının KGK Watt değerinden küçük olması gerektiği üretici tarafından genellikle belirtilir. Bu bir sırdır çünkü bu değer Watt cinsinden değil VA cinsindedir. Bundan dolayı 100W'lık bir KGK 100W'lık ampulü taşıyabilir fakat sadece 65W'lık bilgisayar kapasitesi olacaktır.

Çoğu Bilgisayarın Güç İhtiyaçları VA İle Verilir. Çoğu üretici güç ihtiyaçlarını VA veya Amp olarak verir (Amp durumunda, AC gerilimi ile çarpın). Son olarak üreticiler bilgisayar ekipmanı için Watt değerleri vermeye başladılar. Fakat VA hala en genel kullanılanı. Bundan dolayı bir KGK sistemini VA ile ölçmek yük için boyutlandırırken çoğu durum için en az karışık olanıdır. APC, tüm Kesintisiz Güç Kaynağı ürünleri için VA ve Watt değerlerini vermektedir. Ürünün model numarası VA değerini içerir ve bu değer 0.65 ile çarpılırsa Watt değeri elde edilir.

Örnek:

Bir sistemin güç tüketim değerleri aşağıda ölçüldüğü gibidir:

ToplamWatt	=	230	W
Toplam Amp	=	3.04	A
AC Gerilim	=	120	V
Toplam VA	=	365	VA
Güç Faktörü	=	0.63	

Benzer sonuçlar 230V AC gerilimi için de elde edilmiştir.

Cold Start:

Kesintisiz Güç Kaynağı'nın girişinde şebeke yoksa ve cihaz kapalı durumda ise KGK çalışabilmek için aküden çalıştırılmaya gerek duyar. Bu durumdaki KGK'yı çalıştırmaya Cold Start denmektedir.

Soft Start (Yumuşak Kalkış):

Bir sistemdeki güç ünitesinin her çalıştırıldığında, minimum güçle çalışmaya başlayıp, maksimum güce belirli bir yumuşak ivmeyle otomatik olarak çıkmasıdır. Motorların ve KGK'ların çalıştırılmaya başlamasında enerji hattının ve sistemin güvenilir çalışmasında gerilim veya akım sıçramalarının önlemek amacıyla kullanılmaktadır.

KGK giriş enerjisi kesildikten sonra jeneratör veya yeniden şebekeye geçişte KGK yükünün belirli bir aralıkta yumuşak olarak kaynağa geçmesini sağlayan standart bir özelliktir. Eğer bu opsiyon alınmış olan KGK'da bulunmuyorsa Kesintisiz Güç Kaynağı enerji kesildikten sonra jeneratör / Şebekeye geçişte bir darbe akımı verecek ve özellikle jeneratörün devrini düşürerek jeneratör frekansının dalgalanmasına hatta jeneratörün bayılmasına neden olacaktır. Bu nedenle büyük güçlü On-Line KGK'larda zorunlu olarak bulunması gereken bir özelliktir. UPS aldıktan sonra bunu kontrol etmenin en güzel yolu UPS giriş akımını bir pense ampermetre ile veya kendi panonuzdan gözleyerek 10 saniyelik yumuşak geçiş süresince ampermetrenin yavaşça yükseldiğini izlemektir.

MTBF (Mean Time Between Failures)

Bir sistemin parçalarının ve birimlerinin bozulma oranlarının analizidir. Bu analizlerde kullanılan genel modeller vardır. Bu modeller parçaların hata oranlarının hesaplanması için gerekli prosedürleri sağlarlar. Hesaplanan bu hata oranları kullanılarak da MTBF değeri hesaplanabilir. Güç kaynaklarının güvenilirliği de birimi saat olan MTBF kullanılarak değerlendirilebilir.

MTTR (Mean Time To Repair)

MTTR sistemlerin bakım ve onarımlarıyla ilgili bir kavram olup, bir sistemdeki veya üründeki tüm değişebilir parçaların bakım ve onarımını yapmak için gerekli olan ortalama tahmini zamandır. Sistemin tamir edilebilme süresi tahmini sistemde bir arıza olması durumunda ne kadar sürede tamirinin yapılacağını ifade ettiği için sistemlerin güvenilirliğini belirleyici etkenlerdendir.

Inrush Akımı (Boşta devreye girme akımı)

Anahtarlamalı güç kaynaklarının ilk çalışmaya başladıkları anda yapılarındaki kapasite ve endüktanslardan dolayı çektikleri geçici yüksek akımlardır. Yüksek değerli filtre kapasitansları ilk başta kısa devre gibi davrandıkları için yükselme zamanı kısa dalgalı akım çekerler. Bu akımlar genellikle şebekeye bağlı diğer cihazlara zarar verebilirler.

Demeraj akımı:

Elektrik motorlarının yön değiştirmesi veya kalkınma anında sistemden nominal akımın 3-5 katı fazla akım çekmesidir. Bu olaya motorun geçici rejimidir ve 4-5sn sürer daha sonra motor nominal değerinde akım çeker. Bu sırada aşırı yüklenmeden dolayı motorun bağlı olduğu enerji hattında da gerilim düşebilir. Demeraj akımının azaltılması ve gerilim düşmesini önlemek için, motora yol verilmesi yıldız/üçgen bağlantıyla yada soft-start (yumuşak kalkış) yöntemleri gibi statik yol verme veya motor kontrol cihazları kullanılmasıdır.

Verim

Verim genel anlamı ile bir sistemin kullanılabilir çıkış gücünün, giriş gücüne oranıdır. Verim η , güç P ile gösterilmek üzere sistemin verimi;

$$\eta_{\text{Sistem}} = \frac{P_{\text{Çıkış}}}{P_{\text{Giriş}}} \text{ olmaktadır.}$$

Bu sistem KGK, motor veya jeneratör olabilir. Tüm bu sistemlerde girişe uygulanan enerjinin bir kısmı sürtünme kaybı ve/veya elektriksel kayıplardan dolayı ısı enerjisine dönüşür ve sistemin veriminin düşmesine neden olur.

Motorda giriş elektriksel, çıkış mekanik güçtür, jeneratörde giriş mekanik, çıkış ise elektriksel güçtür. Her iki sistemde de sürtünme ve elektriksel kayıplar verimi düşürür.

KGK'da ise giriş de çıkış da elektriksel güçten oluşur. Verimi düşüren etkenler elektriksel anahtarlama elemanları (IGBT, tristör), trafolar, şoklar, çıkış ve giriş filtreleri, kontrol-ölçüm devre kartları ve kayıplardan dolayı ortaya çıkan ısı enerjisini cihaz dışına atmak için kullanılan soğutma fanlarıdır.

Ayrıca KGK'yı evirici ve doğrultucudan oluşan iki ayrı parçadan oluştuğu düşünülürse Kesintisiz Güç Kaynağı'nın verimi evirici ve doğrultucu verimlerinin çarpımına;

$$\eta_{\text{Sistem}} = \eta_{\text{Doğrultucu}} \times \eta_{\text{Evirici}} \text{ eşit olmaktadır.}$$

SNMP (Simple Network Management Protocol)

Bu modül ile TCP/IP protokolü sayesinde KGK'ya bağlı bir PC gerektirmeden KGK'nın WAN veya LAN ağının bir elemanı gibi (Internet ve ağ üzerinden) izlenmesini sağlar. Ağ tabanlı erişimi desteği sayesinde KGK'ya gerçek zamanlı olarak erişilebilir. SNMP Modülü ile birlikte verilen yazılım ile ağa bağlı birden fazla KGK görüntülenebilir ve KGK'dan alınan bilgiler işlenebilir.

[Ana Sayfa](#)

- Kaynaklar

- N. Mohan, T. M. Undeland, W. P. Robbins, (Çevirenler: Nejat Tuncay, Metin Gökaşan, Seta Boğosyan) Güç Elektroniği Çeviriciler, Uygulamalar ve Tasarım, Literatür, 2003
- O. Gürdal, Güç Elektroniği Analiz, Tasarım, Simülasyon, Nobel Yayın, 2000
- İ. İlisu, Elektrik Tesislerinde Topraklama Yönetmeliği, Yeni Yönetmeliğin Getirdikleri, 2002

Şimdi, tam devir sayısındaki ilk harekete geçme - 67.
gücünü hesaplıyalım.

$$v_{max} = 20 \text{ m/sn} \quad (\text{Max. hareket hızı } S: 29)$$

$$n_{max} = 51 \text{ d/d} \quad (\text{Koepe ihraç tamburunun max. devir sayısı } S: 58)$$

$$\omega_{max} = 5,34 \text{ rad/sn} \quad (\text{Max. açısal hız})$$

$$M_{dtop}(0-10 \text{ sn}) = 120125 \text{ kpf.m} \quad (0 \dots 10 \text{ sn. aralığındaki döndürme momenti. } S: 50)$$

$$P = M_d \cdot \frac{v}{75 \cdot r} \quad (S: 49)$$

$$P = M_d \cdot \frac{r \cdot \omega}{75 \cdot r} = M_d \cdot \frac{\omega}{75}$$

$$P_1 = 120125 \cdot \frac{5,34}{75} \rightarrow \underline{P_1 = 8553 \text{ BG}}$$

veya, Eşitlik 52 de kullanılabilir.

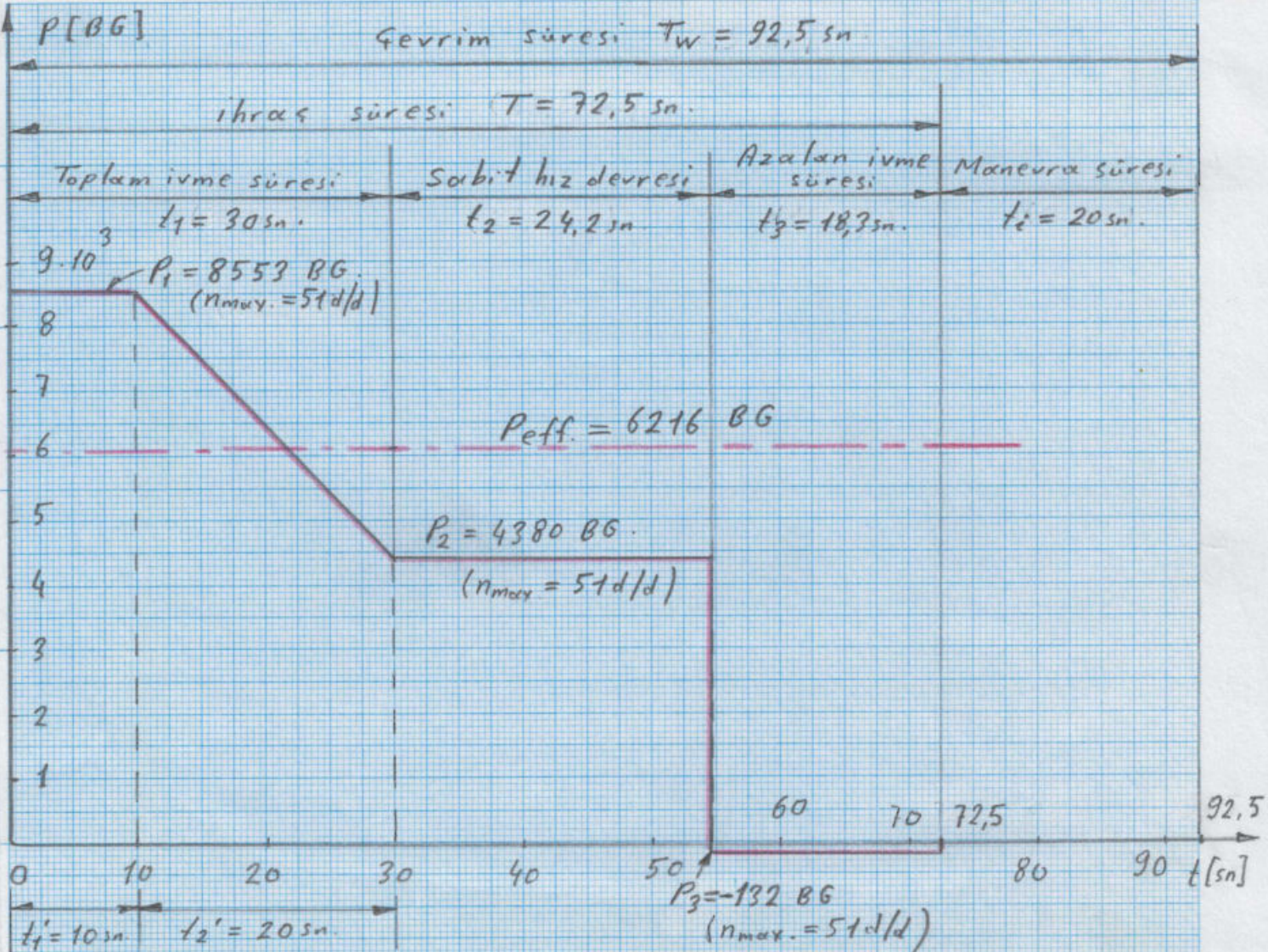
Tam devir sayısındaki ilk harekete geçme
gücünü ($P_1 = 8553 \text{ BG}$) sabit kabul edip yeni
bir $P = f(t)$ diyagramı çizelim (Şekil 14)

Şekil 14 deki diyagrama göre, Koepe ihraç
motorunun nominal gücü (Karesel ortalama güç,
Etkin güç veya Efektif güç),

$$P_n = P_{eff} = \sqrt{\frac{P_1^2 \cdot t_1' + \frac{1}{3} (P_1^2 + P_1 \cdot P_2 + P_2^2) t_2' + P_2^2 \cdot t_2 + P_3^2 \cdot t_3}{T_w}} \quad (54)$$

formülüne göre hesaplanır (S: 64/1).

Burada T_w , toplam iş periyoduna karşılık gelen
süredir (Çevrim süresi)



Şekil 14 - Max. hız ($v = 20 \text{ m/s}$) veya max devir sayısında ($n = 51 \text{ d/d}$), $P = f(t)$ diyagramı

Gevrim süresi T_w ;

- Prof. Dr. Hellmut ERNST'e göre (S: 64/1);
 $T_w = 92,5 \text{ sn.}$

- Mining Mechanical Engineering

R. KHADZHNIKOV, S. BUTAKOV'a göre;

Denge halatlı (statik dengelenmiş) ve silindirik (sabit yarıçaplı) tamburlu vinç sistemleri için eşdeğer kuvvet (örneğin; Şekil 20.6 b'deki -S: 54- üş hız kademeli diyagramına göre);

$$F_{ef} = \sqrt{\frac{F_1^2 \cdot t_1 + F_3^2 \cdot t_2 + F_5^2 \cdot t_3}{T'_w}} \quad (22.1)$$

formülünden hesaplanır. Burada

$$T'_w = k_{im} (t_1 + t_3) + t_2 + k_i \cdot t_i \quad (22.2)$$

dir.

k_{im} ve k_i katsayıları, kafesin (veya skip'in) hızlanma, yavaşlama ve manevra hareketleri ile ilgili olup, motorun havalandırılması da (dolayısıyla soğutulması / göz önüne alınarak kabul edilen,

$$k_{im} = 0,5$$

$$k_i = 0,25$$

değerleri tavsiye edilmiştir. (Bizim hesaplarımızda da T'_w kullanılacaktır.)

Sayfa: 64, 64/1 ve 68 göz önüne alınarak, Koepe ihraç motorunun, nominal gücü - efektif gücü etkin güç veya karesel ortalama gücü (RMS);

$$P_n = P_{eff} = P_{RMS} = \sqrt{\frac{P_1^2 \cdot t_1 + \frac{1}{3} (P_1^2 + P_1 \cdot P_2 + P_2^2) \cdot t_2 + P_2^2 \cdot t_2 + P_3^2 \cdot t_3}{0,5 (t_1 + t_3) + t_2 + 0,25 t_i}} \quad (55)$$

$$P_n = P_{eff} = P_{RMS} = \sqrt{\frac{8553^2 \cdot 10 + \frac{1}{3} (8553^2 + 8553 \cdot 4380 + 4380^2) \cdot 20 + 4380^2 \cdot 24,2 + 132^2 \cdot 18,3}{0,5 (30 + 18,3) + 24,2 + 0,25 \cdot 20}}$$

$$\underline{P_n} = 6216 \text{ BG}$$

olarak bulunur.

5% emniyet payı ile, seçilen motor gücü, -70-

$$P_n = 6216 \cdot 1,05 = 6527 \text{ BG}$$

$$\parallel P_n = 6530 \text{ BG}$$

dir.

Simdi, Şekil 13 ten faydalanarak Koepç motorunun,

nominal döndürme momenti - efektif döndürme momenti - etkin döndürme momenti veya karesel ortalama döndürme momenti (RMS) ni

hesaplıyalım

$$M_n = M_{\text{eff}} = M_{\text{RMS}} = \sqrt{\frac{M_1^2 \cdot t_1 + \frac{1}{3} (M_1^2 + M_1 M_2 + M_2^2) t_2 + M_2^2 \cdot t_3}{0,5 (t_1 + t_3) + t_2 + 0,25 t_2}} \quad (56)$$

$$M_n = \sqrt{\frac{120125^2 \cdot 10 + \frac{1}{3} (120125^2 + 120125 \cdot 61765 + 61765^2) \cdot 20}{0,5 (30 + 18,3) + 24,2 + 0,25 \cdot 20}} + 61765^2 \cdot 24,2 + 1861^2 \cdot 18,3$$

$$\parallel M_n = 87427 \text{ kpf.m}$$

Nominal gücü de M_n den faydalanarak hesaplıyalırız şöyleki,

$$M_n = 716,2 \frac{P_n}{n} \quad (\text{Eşitlik 53})$$

$$87427 = 716,2 \cdot \frac{P_n}{51}$$

$$\parallel P_n = 6226 \text{ BG} \quad (\text{Daha önce hesaplanan } 6216 \text{ BG})$$

Görüldüğü gibi, karesel ortalama güç veya -71-

karesel ortalama moment hesap yöntemleri,
aynı sonucu veriyor. (6216 BG, 6226 BG)

Sonuç olarak

$$\|P_n = 6530 \text{ BG}$$

motor seçilir.

12. İhracat süresi başına tüketilen enerji
miktarı (Yalnız ihracat motoru için)

Sayfa 50'deki cetvelide göz önüne alınarak Şekil 73

teki diyagramın alanını düşünelim. Bu alanı hesaplar-
ken:

• (4260 BG ... 4380 BG) eğrisi altındaki alan 2 sn.lik
aralıklarla yamuk alanlarına dönüştürülmüştür

• t₃ frenleme zamanı sırasındaki P₃ gücünün mekanik
frenlemeden dolayı oluştuğu düşünülmemiştir.

$P = f(t)$ alanı;

$$P[\text{BG}] \cdot t[\text{sn}] = \frac{1}{2} 10 \cdot 4260 + \frac{1}{2} 2 \cdot (4260 + 4828)$$

$$+ \frac{1}{2} \cdot 2 (4828 + 5232) + \frac{1}{2} \cdot 2 (5232 + 5492)$$

$$+ \frac{1}{2} \cdot 2 (5492 + 5633) + \frac{1}{2} \cdot 2 (5633 + 5602)$$

$$+ \frac{1}{2} \cdot 2 (5602 + 5547) + \frac{1}{2} \cdot 2 (5547 + 5372)$$

$$+ \frac{1}{2} \cdot 2 (5372 + 5101) + \frac{1}{2} \cdot 2 (5101 + 4761)$$

$$+ \frac{1}{2} \cdot 2 (4761 + 4380) + 4380 \cdot 24,2 + 132 \cdot 18,3$$

$$\| P[BG].t[sn.] = 233487 BG.sn$$

İhras motorunun verimi %92 alınırsa, ihras motoru tarafından tüketilen elektrik enerjisi,

$$W = \frac{233487 \cdot 0,746}{3600 \cdot 0,92}$$

$$\| W = 52,6 \text{ kWh}$$

olarak bulunur.

• Havanın mükemmel gaz ve sıkıştırılabilir olması hali için ;

$$V_2 \text{ mükemmel, } 840 \text{ bar} = 709 \text{ m}^3$$

İzantropik genişleme varsayımıyla

$$p_2 = p_1 \left(\frac{p_1}{p_2} \right)^{\frac{\gamma}{\gamma-1}}$$

$$p_2 \text{ mükemmel, } 840 \text{ bar} = 1000 \left(\frac{1}{840} \right)^{\frac{1}{1.4}}$$

$$\rho_2 \text{ mükemmel, } 840 \text{ bar} = 8.12 \text{ kg/m}^3$$

$$R_y = 800 \cdot 10^6 \cdot (840 \cdot 10^2 + 8.12 \cdot 709^2)$$

(Eşitlik 20)

$$\rho_2 \text{ mükemmel, } 840 \text{ bar} = 70477.2 \text{ N}$$

• Havanın mükemmel gaz davranışından uzaklaşması (sıpması)

ve sıkıştırılabilir olması hali için ;

$$V_2 \text{ gerçek, } 840 \text{ bar} = 921 \text{ m}^3$$

$$p_1 \text{ gerçek, } 840 \text{ bar} = 222.6 \text{ kg/m}^3$$

$$p_2 = p_1 \left(\frac{p_1}{p_2} \right)^{\frac{\gamma}{\gamma-1}} = 222.6 \left(\frac{1}{840} \right)^{\frac{1}{1.4}}$$

$$\rho_2 \text{ gerçek, } 840 \text{ bar} = 4.23 \text{ kg/m}^3$$

$$R_y = 800 \cdot 10^6 \cdot (840 \cdot 10^2 + 4.23 \cdot 921^2)$$

$$\rho_2 \text{ gerçek, } 840 \text{ bar} = 70477.2 \text{ N}$$

bulunur.

3

Koepe İhras Sistemi

- V -

Mehmet Güney

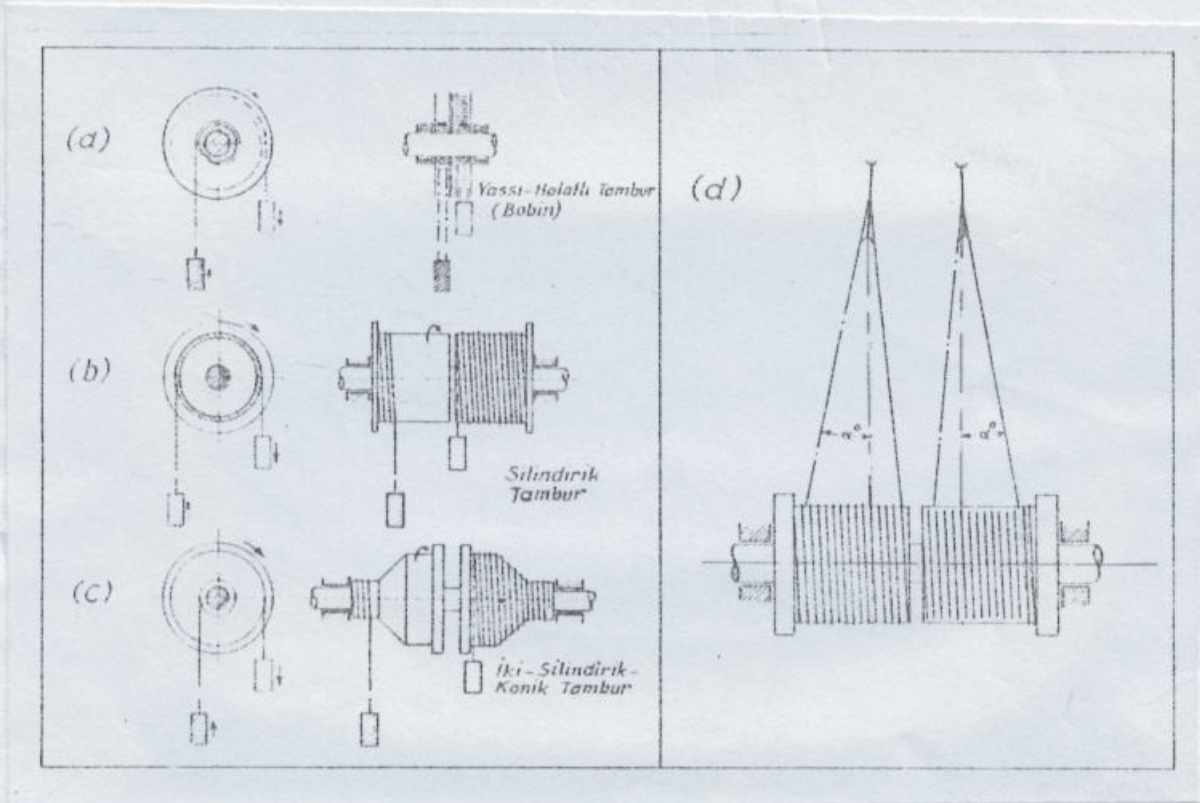
Ana Kaynak : Mad. Y. Müh. Mehmet GÜNEY
(Koepe İhras Sistemi. Eki.)

(6) Adet.

FAYDALI BİLGİLER

1- Koepe ihraç sistemi ile klasik tambur sistemlerinin karşılaştırılması;

Yuvarek tip halatların kullanıldığı silindirik halat tamburlarında halatların sarımları yan yana birbirlerini takip ederler (Şekil 15). Kuyu derinliği ve dolayısıyla halat uzunluğu sarım sayısını veya tambur genişliğini tespit eder. Tambur genişliğinde halat sapma açısı $\alpha = 1^{\circ}30'$ maksimum değerini aşamaz.



Şekil 15- Klasik tambur sistemleri ve halat sapma açısı.

Yuvarek ve yassı tip halat tamburlarının;

Avantajları :

- Birkaç kattan üretimin yapılabilmesi,
- Kuyu derinleştirmelerinde artan derinliğe uyum sağlayabilmesi,

- Konik tanburlar üzerinde, halat sarımları -74-
na karşılık gelen çapların eşitliliği nedeniyle
ilk harekete geçme momentinin düşük olması,
- Kafes - halat bağlantı mekanizmasına bağlanan halattır
uç kesiminin yapılabilmesi.
sıralanabilir.

• Dezavantajları :

- Tanbur çok geniştir, buna bağlı olarak ilk yatırı-
m maliyeti artar (temel ve ihraç dairesinin
büyüklüğü v.s.)
- Silindirik tanburlarda kaide olarak denge halatları
kullanılmadığından, ilk harekete geçme momenti
daha büyüktür.
- Tanbur çapları, kullanılan halat çapına uygun
olarak müsaade edilen sapma oranı ile, bütün
halat uzunluğunun tanburca sarılması istenir
- Her kafes katındaki manevralardan dolayı, ihraç
sayısının dolayısıyla ihraç tonajının azalmasına neden olur.
- Büyük kütleleri harekete geçirmek için ilk hareket
anında yüksek bir güç ihtiyacı vardır.
şeklinde özetlenebilir.

Koeppe ihraç sisteminin,

• Avantajları :

- Kapladığı yer tasarrufu nedeniyle ilk yatırım
maliyeti daha düşüktür,
- Tanbur genişliğinin klasik tiplere göre daha

küçük olması ağırlıklarının daha hafif olmasına olarak sağlanır (GD^2 nin daha az olması gibi).

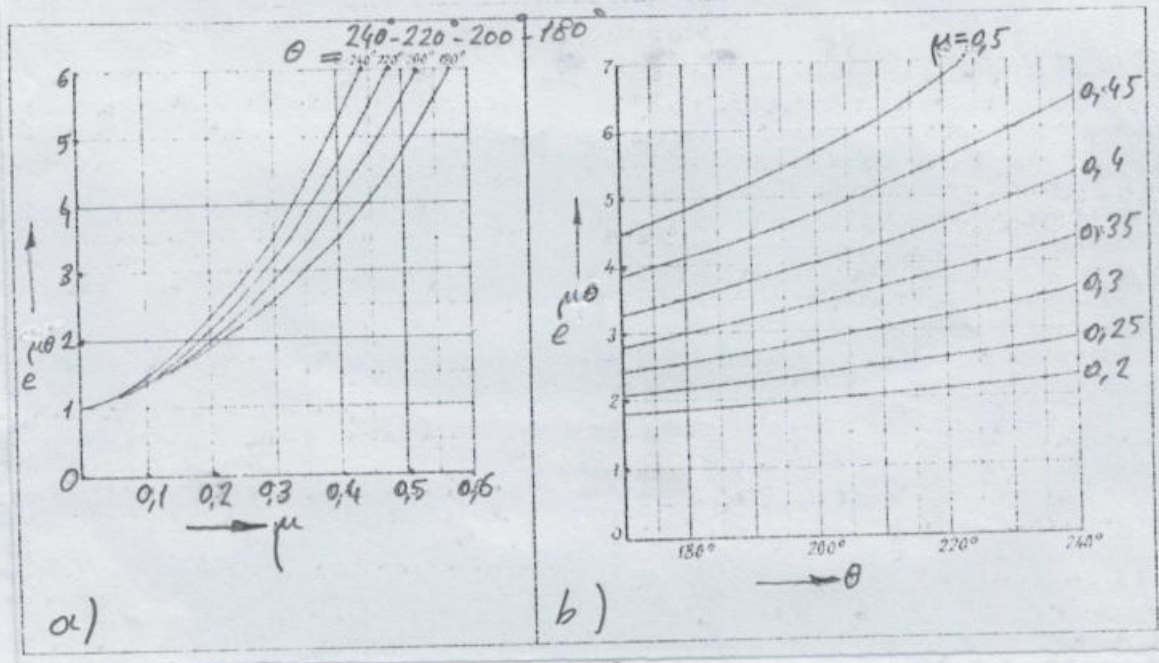
- Tambur mili daha kısa eği daha küçüktür
- Bugün, büyük derinliklerde yapılan üretimlerde, yerel- tında farklı katlardaki klasik tip tambur sistemlerinin yerine bu işi bir defada yapabilen Koepe ihraç sistemleri her zaman tercih edilebilir hale gelmiştir.
- ilk harekete geçmede, kütleye ivme kazandırmak için tüketilen enerji miktarı daha azdır yani, enerji tasarrufu vardır.
- Hareket eden kütle ağırlığının daha hafif olması, ihraç motorunun kolaylıkla kontroluna ve dolayısıyla ihraç seferinin kısa zamanda başlamasını sağlar. Başka bir deyişle, "sefer sayısı / saat" artar bunun etkisinde ihraç edilen üretimde görülür.

2- $e^{\mu\theta}$ değerlerinin diyagramdan okunması;

Halat - halat yuvası arasında kayma olmaması için, $T_1 \leq T_2 \cdot e^{\mu\theta}$ (Eşitlik 1)

koşulunun sağlanması gerekirdi. Şekil 16.6
 $e^{\mu\theta}$ değerleri;

θ sarım açısı ve μ sürtünme katsayısının fonksiyonu olarak Şekil 16.6 ve Şekil 16.6 deki diyagramlardan okunabilir.



Şekil 16- Şekil 16- $e^{\mu\theta}$ değerleri $\mu\theta$ değerleri.

3- Halat kayma riski koşulunun, diyagram üzerinde incelenmesi;

önce, adı geçen Şekil 17 deki diyagramı tanıtalım.

Diyagramın sol tarafı;

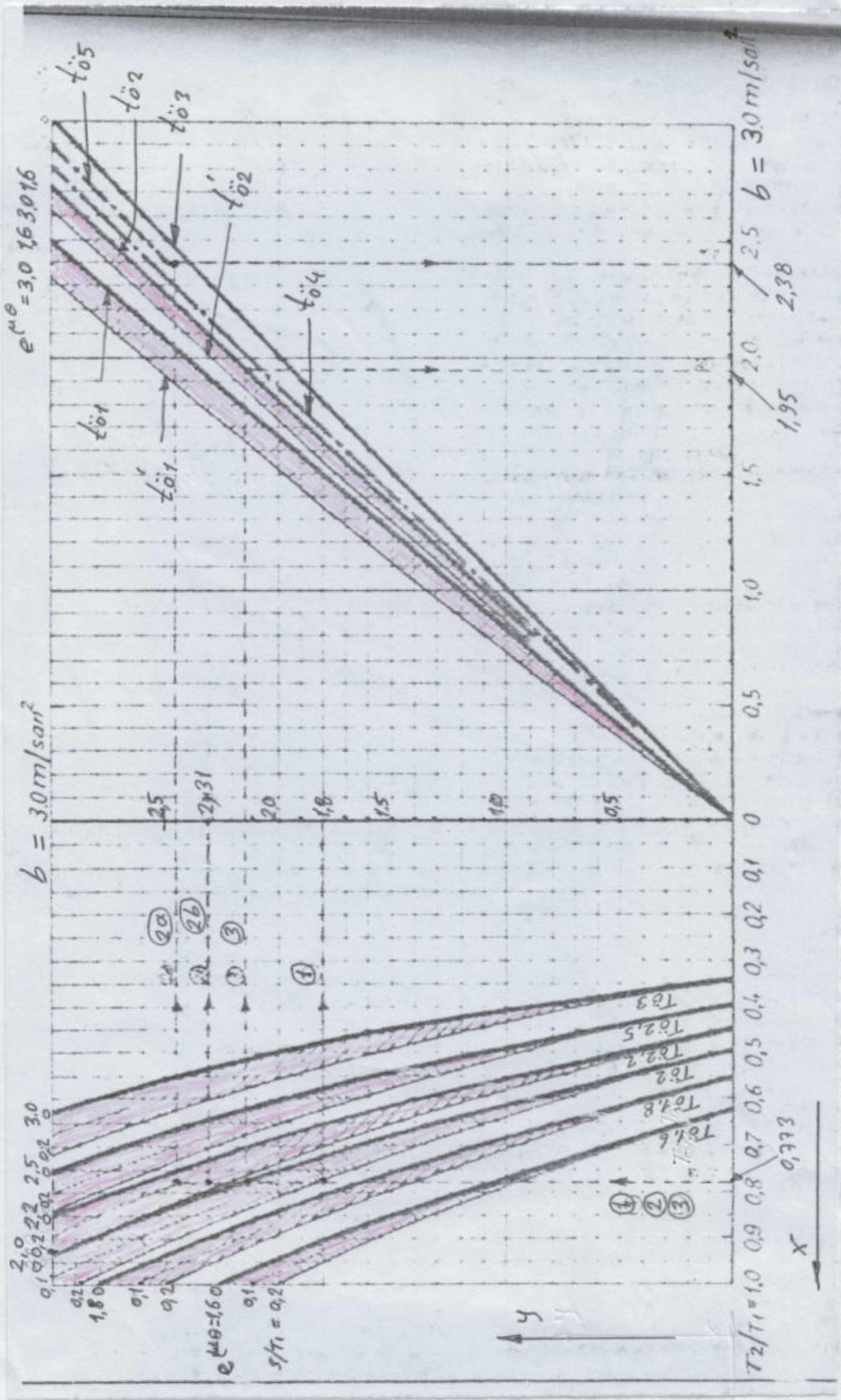
x-ekseni $\rightarrow T_2/T_1$ oranlarını
 y-ekseni $\rightarrow e^{\mu\theta}$ ve S/T_1 değerlerini } ifade ederler.

$e^{\mu\theta}$ değerleri;

$$e^{\mu\theta} = 1,6 - 1,8 - 2,0 - 2,2 - 2,5 - 3,0$$

olan kalın çizgilerle ($T_{0,6} \dots T_{3,0}$ eğrileri) belirlenmiştir. Kılavuz makaraların olmaması ($S_1 = 0, S_2 = 0$) halinde, Eşitlik 29'a göre bir ihraç sistemine uygulanabilen artan veya azalan ivmeler, diyagramın ortasındaki y-ekseni üzerinden okunabilir.

$S/T_1 = 0,2 \quad 0,1$



Açıklama:

- $e^{H_0} = 1,6$
- $S/T_1 = 0$
- $S/T_1 = 0,1$
- $S/T_1 = 0,2$

Şekil 17- Hız kayma riski koşullarını gösteren diyagram.

Eşitlik 31'e göre, yüksüz halatta çalışan bir kılavuz makara veya bir şövalman moletinin olması halinde ($S_1 = 0$) diyagramın kullanılabilir eğrileri ince çizgilerle ($S/T_1 = 0,2 - 0,1 - 0$ eğrileri) gösterilmiş olup, $S/T_1 = 0,2 - 0$ aralıkları sınırlanmış ve taranmıştır. (0-eğrileri aynı zamanda $e^{\mu\theta} = 1,6 - 1,8 - 2,0 - 2,2 - 2,5 - 3$ eğrileridir). Taranmış olan bu alanlar yardımıyla, artan veya azalan ivme değerleri diyagram ortasındaki y-ekseni üzerinden okunabilir.

Diyagramın sağ tarafı ;

Her iki taraf (yükli ve yüksüz halatlarda çalışan) için kılavuz makaraların veya şövalman moletlerinin olması halinde (yani iki kılavuz makara veya iki şövalman moletinin olması hali), Eşitlik 28'e göre diyagramın kullanılabilir eğrileri kalın çizgilerle (t01, t02, t03 eğrileri) çizilmiştir.

$$\begin{array}{l} \text{t01 eğrisi} \rightarrow \frac{S}{T_1} = 0,2, e^{\mu\theta} = 1,6 \\ \text{t02 " " } \rightarrow \frac{S}{T_1} = 0,1, e^{\mu\theta} = 1,6 \end{array} \left. \begin{array}{l} \\ \end{array} \right\} \begin{array}{l} \text{Değerlerine} \\ \text{karşılık gelmektedir.} \end{array}$$

Bu eğrilere ilâveten, ince çizgilerle (t01', t02' eğrileri) çizilmiştir.

$$\begin{array}{l} \text{t01' eğrisi} \rightarrow \frac{S}{T_1} = 0,2, e^{\mu\theta} = 3 \\ \text{t02' " " } \rightarrow \frac{S}{T_1} = 0,1, e^{\mu\theta} = 3 \end{array} \left. \begin{array}{l} \\ \end{array} \right\} \begin{array}{l} \text{Değerlerine} \\ \text{karşılık gelmektedir.} \end{array}$$

t03 eğrisi, diyagramın sol tarafında bulunan T01,6 - T03 eğrilerine ($\frac{S}{T_1} = 0$) karşılık gelmektedir.

Diyagramın sağında taranmış olan sınırlı alanlarda interpolasyonla (ara değer) ortalama ivme değerlerini bulmak mümkündür.

Yine diyagramın sağ tarafında, yalnız yüklü -79-
 halatta çalışan bir kılavuz makarasının olması
 halinde ($S_2 = 0$ ve Esitlik 30), $\frac{S}{T_1} = 0,2$ alınarak
 noktali-çizgili tög eğrisi çizilmiştir. Ayrıca
 $\frac{S}{T_1}$ 'in sıfırdan (45° olan noktali-çizgili tög eğrisi)
 0,2 ye kadar olan değerleri için, ortalama değer-
 ler noktali-çizgilerle sınırlandırılmış alanda
 interpolasyon yapılarak bulunur.

Diyagramın kullanılmasını daha iyi anlayabilmek
 için 3 sayısal örnek verelim.

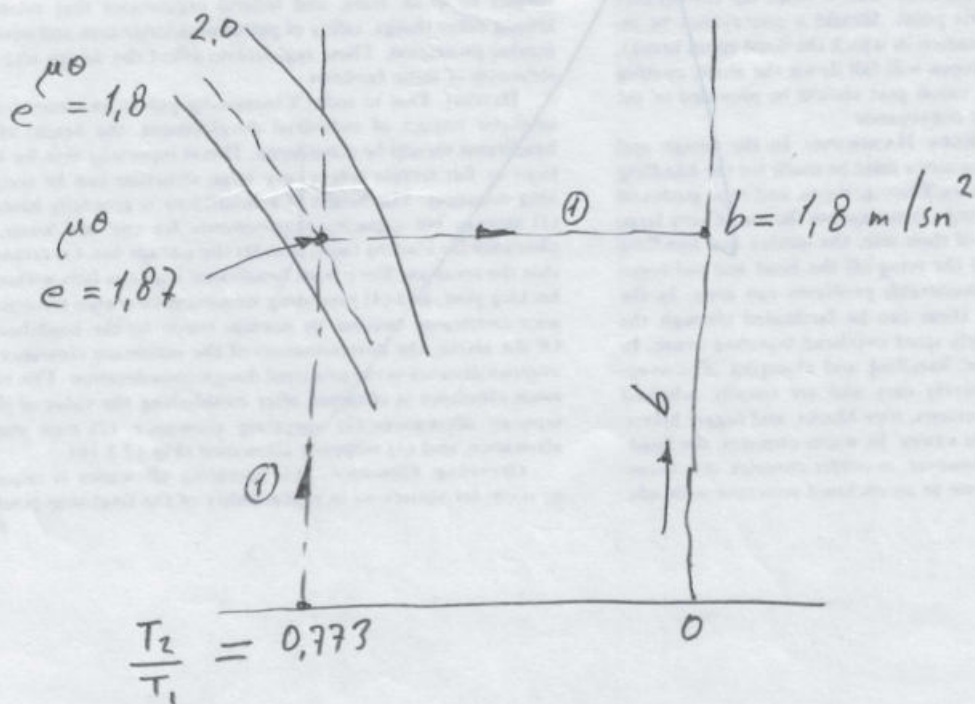
Örnek 1 : Kılavuz makarasız ihraç sistemi

Örnek 2 : Bir kılavuz makaralı ihraç sistemi

Örnek 3 : İki şövalman moletli ihraç sistemi

Karakteristik değerler Sayfa : 80 de verilmiştir.

Örnek 1 : Kılavuz makarasız sistem yani diyag-
 ramın sol tarafını kullanacağız.



Örnek → 1 2 3

Yükklü halat çekme kuvveti:	44	44	44
Yüksüz halat çekme kuvveti:	34	34	34
T_2 / T_1 oranı	0,773	0,773	0,773
Sovalman momenti veya kılavuz makaralarının ağırlığı	0	3,4	3,4
Sürtünme katsayısı	0,2	0,2	0,2
Tambur - halat temas açısı	180	220	200°
Halat çekme kuvvetleri oranı sabiti:	π	1,222 π	1,111 π
	$e^{\mu\theta}$	1,8744	2,0098
$\frac{S}{T_1}$	0	0,0773	0,0773

$$\left. \begin{aligned} \frac{T_2}{T_1} &= 0,773 \\ e^{\mu\theta} &= 1,87 \\ S_1 &= S_2 = 0 \end{aligned} \right\} \rightarrow \parallel b = 1,8 \text{ m/sn}^2 \text{ (Şekil 17)}$$

Eşitlik 29 'u kullanırsak,

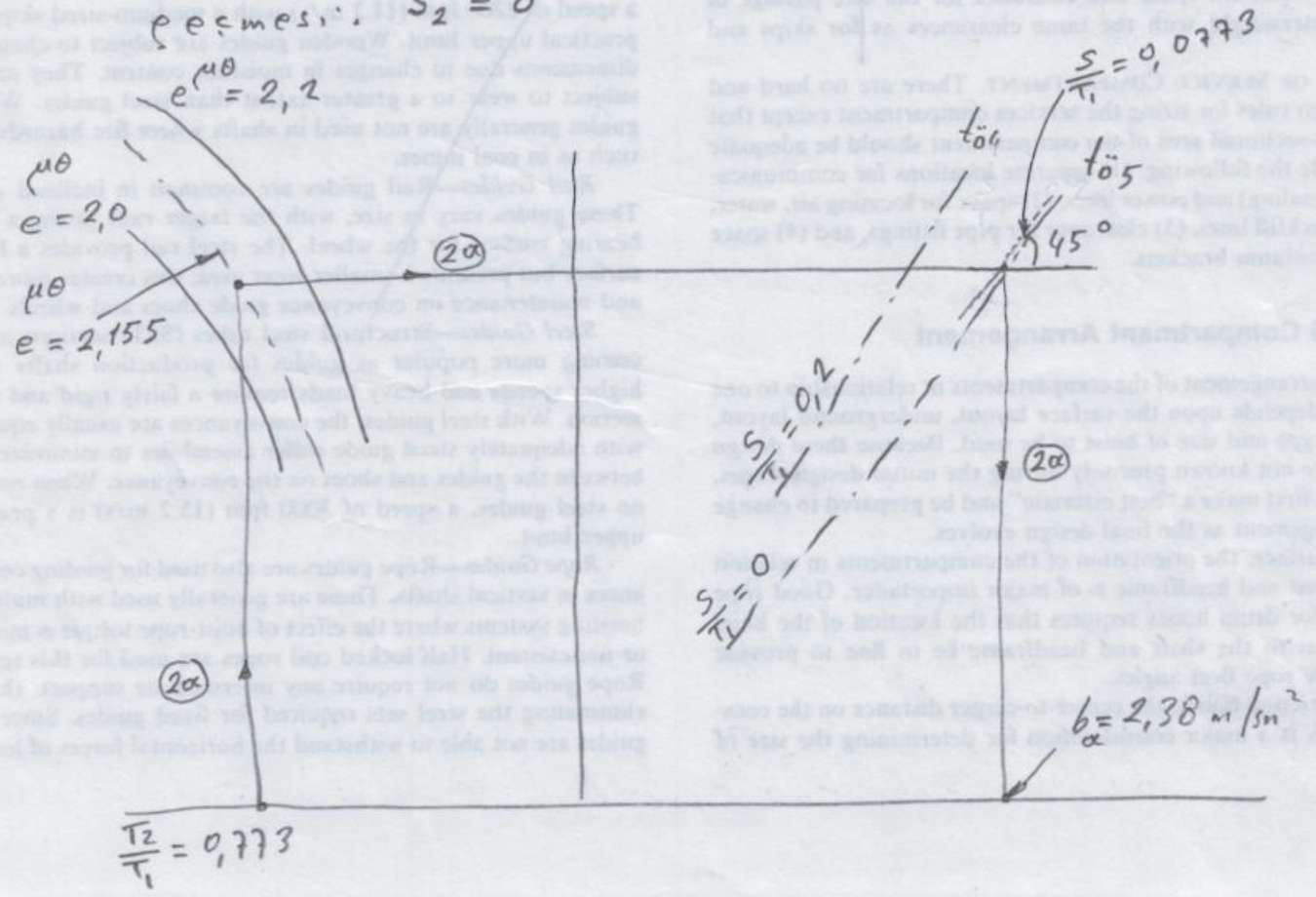
$$b_A \leq f \frac{\frac{T_2}{T_1} e^{\mu\theta} - 1}{\frac{T_2}{T_1} e^{\mu\theta} + 1} = 9,81 \frac{0,773 \cdot 1,8744 - 1}{0,773 \cdot 1,8744 + 1}$$

$$\parallel b_A \leq 1,8 \text{ m/sn}^2$$

aynı sonuç bulunur.

Örnek 2 : Bir kılavuz makaralı sistem.

a) Faydalı yükün, kılavuz makaranın bulunduğu tarafta (veya yüklü halat tarafında) harekete geçmesi. $S_2 = 0$



Eşitlik 31'i kullanalım,

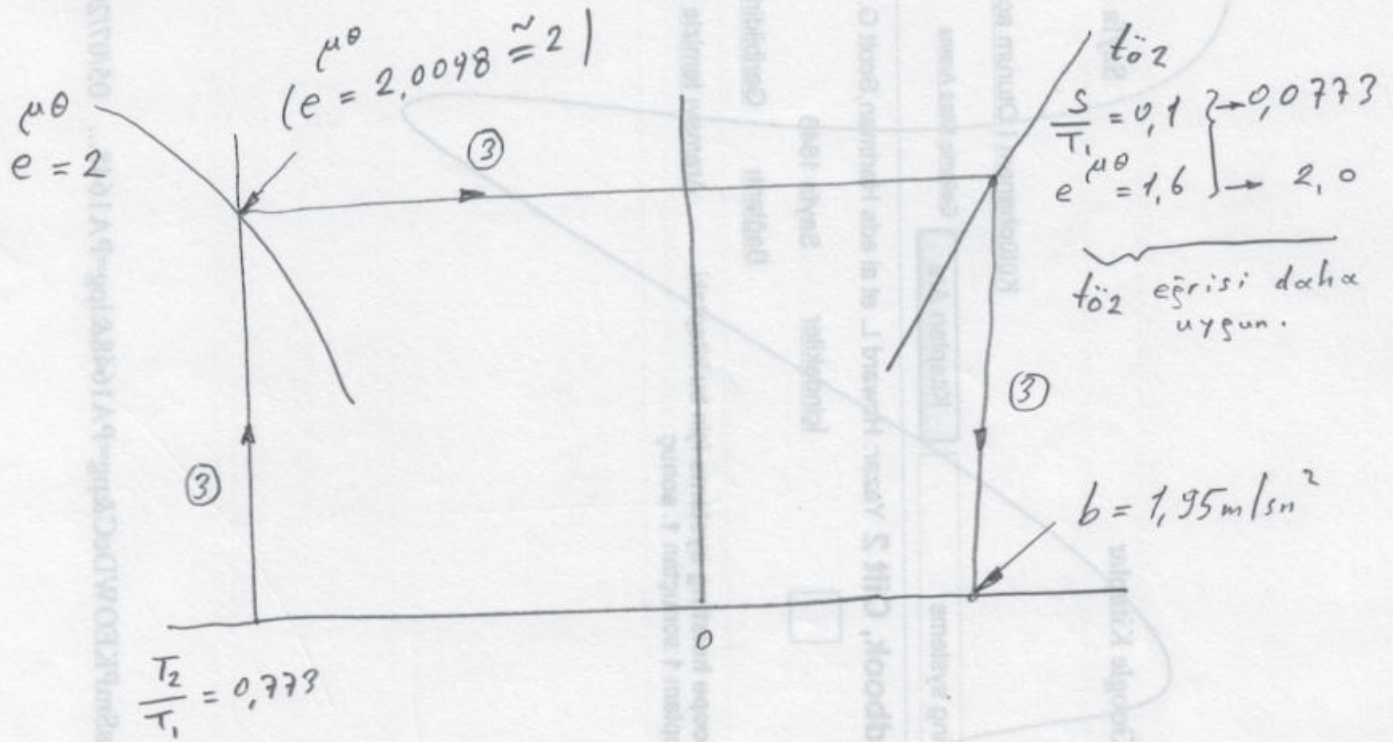
$$b_A \leq f \cdot \frac{\frac{T_2}{T_1} \mu^\theta \cdot e^{-1}}{\frac{T_2}{T_1} e^{\mu^\theta} + 1 + \frac{S_2}{T_1} e^{\mu^\theta}} = 9,81 \cdot \frac{0,773 \cdot 2,155 - 1}{0,773 \cdot 2,155 + 1 + 0,0773 \cdot 2,155}$$

$$\| b_A \approx 2,31 \text{ m/sn}^2$$

aynı sonuç bulunur.

(b) hali (a) haline göre daima arzu edilen durumdur.

Örnek 3 : iki fovealman molefli ihraç sistemi (Genel hal),



$$\left. \begin{array}{l} \frac{T_2}{T_1} = 0,773 \\ \mu^\theta \\ e = 2,0098 (\approx 2) \end{array} \right\} \begin{array}{l} \text{töz} \left(\frac{S}{T_1} = 0,1 \right) \\ \text{töz} (e = 1,6) \end{array} \rightarrow \| b = 1,95 \text{ m/sn}^2 \text{ (Şekil 17)}$$

Genel denklemi kullanalım,

$$b_A \leq f \frac{\frac{T_2}{T_1} e^{\mu\theta} - 1}{\frac{T_2}{T_1} e^{\mu\theta} + 1 + \frac{S_2 e^{\mu\theta} + S_1}{T_1}} \quad (\text{Eşitlik 28})$$

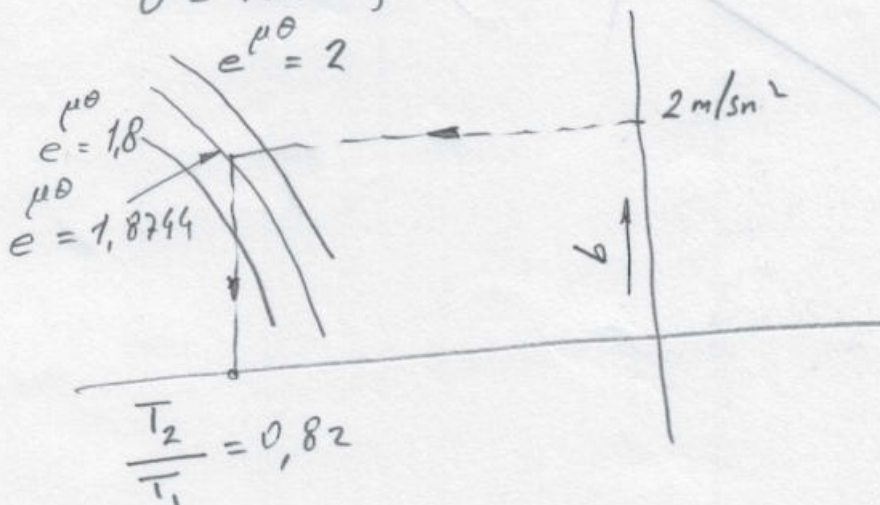
$$b_A = 9,81 \frac{0,773 \cdot 2,0098 - 1}{0,773 \cdot 2,0098 + 1 + \frac{3,4 \cdot 2,0098 + 3,4}{44}}$$

$$\| b_A = 1,95 \text{ m/s}^2$$

Aynı sonuç çıkar.

Şekil 17'deki diyagram, önceden tespit edilen artan veya azalan ivme değerlerine bağlı olarak müsaade edilen faydalı yükün belirlenmesinde kullanılabilir. Örnek olarak, kılavuz makaraların kullanılmadığı bir ihrac sisteminde, frenleme ile 2 m/s^2 lik bir azalan ivmeye ulaşıldığında yüksüz halatın T_2 çekme kuvveti $T_2 = 38,5 \text{ tonf}$ olsun.

$$\left. \begin{array}{l} \mu = 0,2 \\ \theta = 180^\circ \end{array} \right\} \text{ kabulü ile } e = e^{\mu\theta} = e^{0,2 \cdot \pi} = 1,8744$$



$$\left. \begin{array}{l} b = 2 \text{ m/sn}^2 \\ \mu\theta \\ e = 1,8744 \end{array} \right\} \rightarrow \frac{T_2}{T_1} = 0,82 \quad (\text{Şekil 17})$$

$$T_2 = 38,5 \text{ tonf}, \quad T_1 = 38,5 / 0,82$$

$$\frac{T_1}{T_2} = 47 \text{ tonf} \quad (\text{Yüklü halatın çekme kuvveti})$$

$$\text{Faydalı yük} = T_1 - T_2 = 47 - 38,5$$

$$\frac{\text{Faydalı yük}}{T_2} = 8,5 \text{ tonf}$$

olarak bulunur.

Diyagram, kuyu derinliği ile halat kayması arasındaki analizin yapılmasında olanak verir. Şöyleki; örnek olarak, kuyu derinlikleri 240 m, 560 m, 1000 m ve 1350 m ve faydalı yükte 10 tonf olsun. Basitliği nedeniyle, kılavuz makaraları olmayan bir ihraç sistemi ve $\theta = \pi$ radyan, $\mu = 0,2$ seçelim.

D [m] - Derinlik	240	560	1000	1350
L [tonf] - Faydalı yük	10	10	10	10
T ₁ [tonf] - Yüklü halat çekme kuvveti	25	32	44	54
T ₂ [tonf] - Yüksüz halat çekme kuvveti	15	22	34	44
T ₂ / T ₁ Oranı	0,6	0,688	0,773	0,815
e ^{μθ} sabiti	1,8744	1,8744	1,8744	1,8744
b [m/sn ²] - Diyagramdan	0,57	1,24	1,8	2

Yukarıdaki b ikiye değerleri diyagramdan rahatlıkla okunur.

Bu hesap tablosunu biraz irdeliyelim: -86-

- Derinliğin artmasıyla ihracat daha büyük artan veya azalan ivme değerleri kullanılabilir,
- $\frac{T_2}{T_1}$ 'in büyük değerleri ile b ivmesinin yüksek değerleri artıdır,
- $\frac{T_2}{T_1}$ 'in yüksek değerlerinde, faydalı yükte az da olsa bir azalma olur,
- 240 m derinlikten yalnız $0,57 \text{ m/s}^2$ lik artan veya azalan ivme ile ihracat yapılabilir. Bu değer ise ihracat süresini uzatır, başka bir deyişle saat başı sefer sayısını azaltır yani ihracat tonajı ihtiyacına cevap veremiyebilir
- Üretimin daha derin kuyularla ihracat düşünülürse, KOEPF ihracat sistemi en iyisi olmayabilir ama en uygunu olarak kabul edilmiştir. Bugünkü uygulamalar bunu ispatlamaktadır.

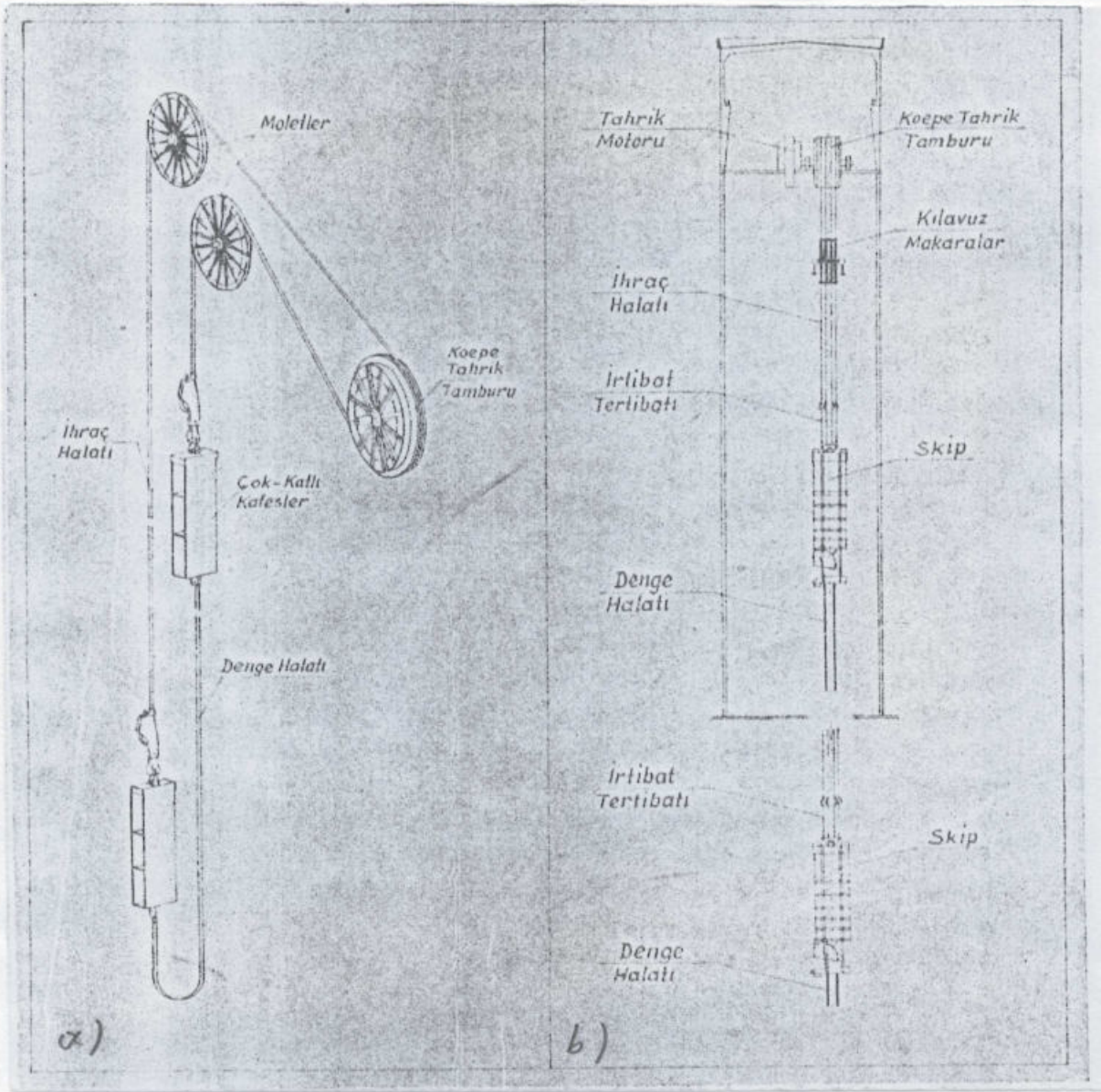
4- Koepf ihracat sisteminde genel uygulamalar düzenleri;

Koepf ihracat sistemleri yer üstüne veya bir kulenin tepesine kurulabilirler (Şekil 18)

Tipik uygulamalar düzenlerine ait örnekler aşağıda verilmiştir:

Şekil 19: Koepf ihracat tanburu yerüstü seviyesinde olup moletler yan yanadır. Yalnız bir ihracat tanburu vardır.

Şekil 20: Moletler ve iki Koepf ihracat tanburu yan yanadır.

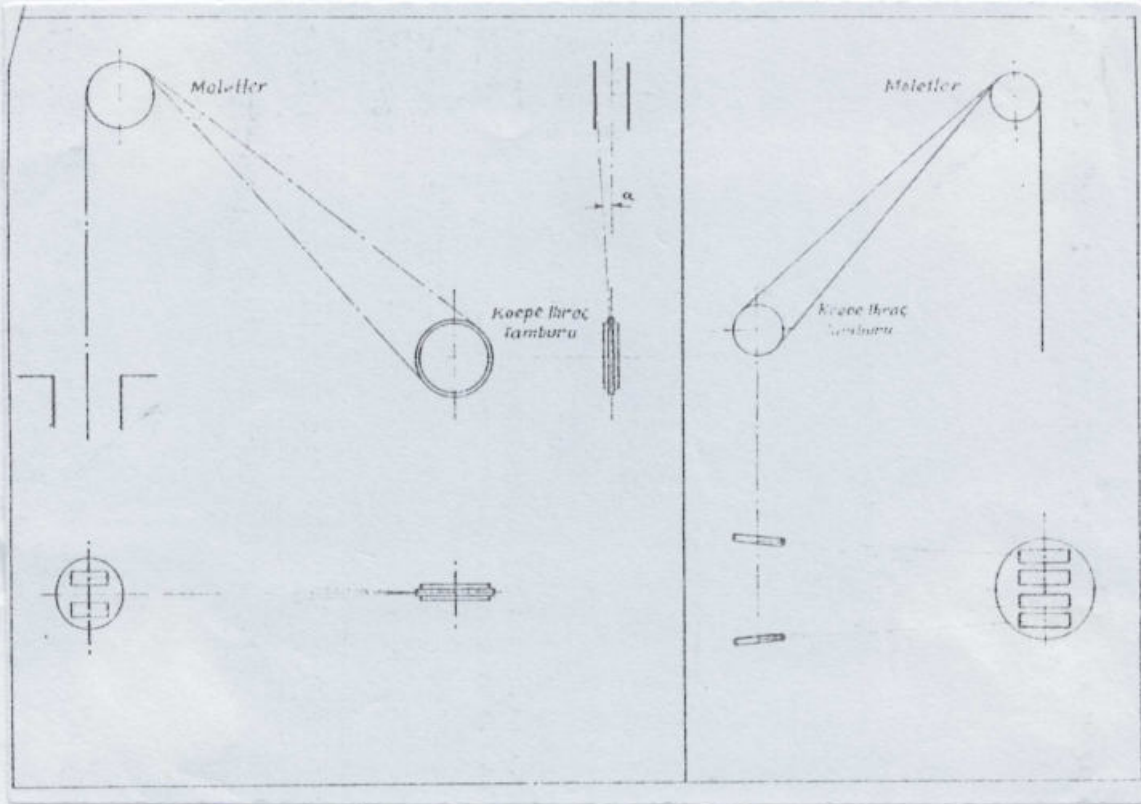


Şekil 18. Koepe ihraç sisteminde uygulamalar düzenleri.
a) Montaj : Yerüstü
b) Montaj : Kule tepesi

Şekil 21 : Koepe ihraç tamburu yerüstünde, moletler ise aynı dik düzlemde birbirini üzerindedir.

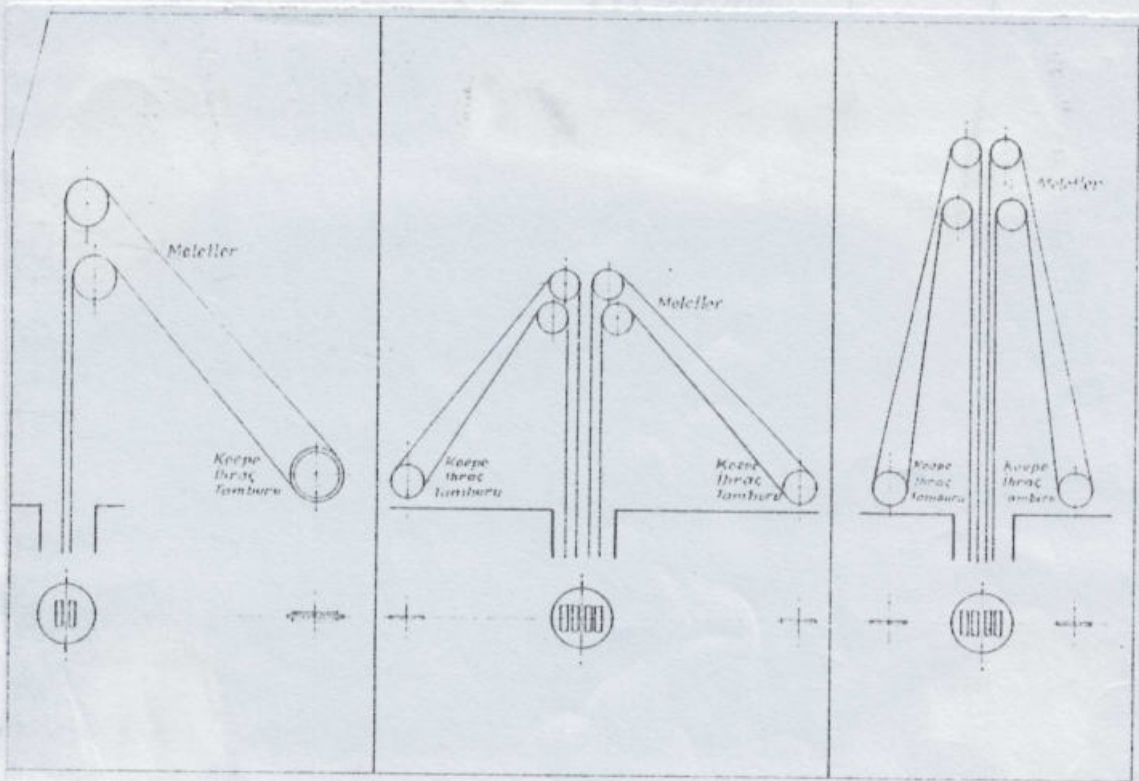
Şekil 22 : Moletler aynı dik düzlemde birbirini üzerinde ve iki Koepe ihraç tamburu yerüstündedir.

Şekil 23 : Şekil 22 deki uygulamanın bir aşama geliştirilmiş şeklidir. Koepe ihraç tamburları olabildiğince sövalmana yakın yerleştirilmiştir.



Şekil 19 - Moletleri yan yana 2 Kafesli Koepe sistemi.

Şekil 20 - Moletleri yan yana 4 Kafesli Koepe sistemi.

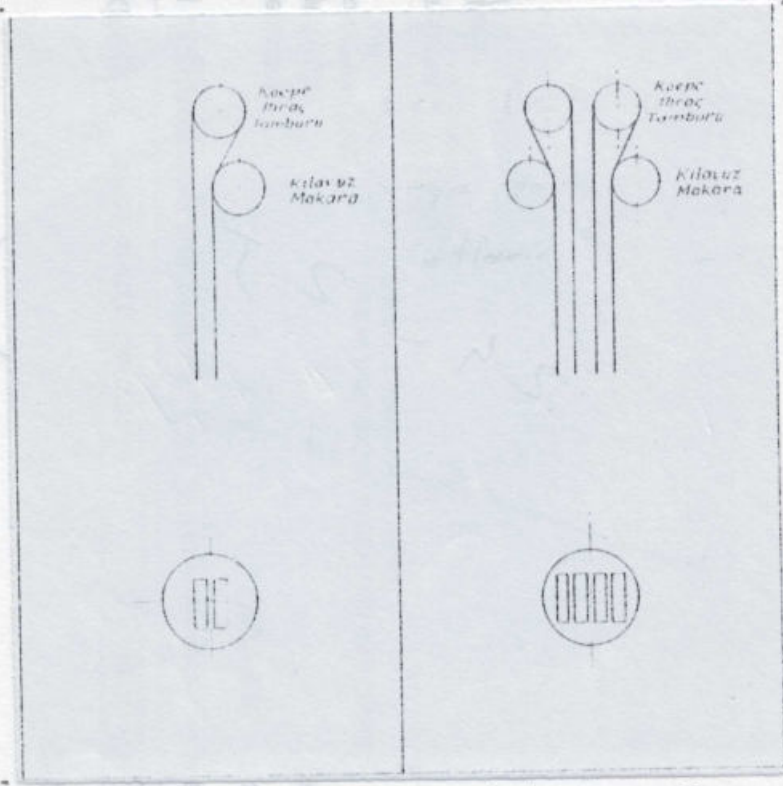


Şekil 21 - Moletleri dik düzlem içinde 2 Kafesli Koepe sistemi.

Şekil 22 - Moletleri aynı dik düzlem içinde 4 Kafesli Koepe sistemi.

Şekil 23 - Moletleri aynı dik düzlem içinde 4 Kafesli Koepe sistemi.

ihraç halatlarından biri (Kuyuya yakın olanı) - 89-
hemen hemen diktir (veya yakındır). Sistemin kapladığı
alanın küçülmesi, halatların sarkma ve salınımlarının
en aza indirilmesi gibi avantajları vardır.



Şekil 24 - "ihraç kulesi"
tipinde Koepe
ihraç sistemi
Tambur sayısı : 1

Şekil 25 - "ihraç kulesi"
tipinde Koepe
ihraç sistemi
Tambur sayısı : 2

Şekil 24 ve 25 : Bu düzenler "ihraç kulesi" tipinde
sistemler olarak bilinirler. Kule tepesine
montajları yapılan Koepe ihraç tamburları
bir veya ikili olabilir.

5- Koepe ihraç tamburu ;

Koepe ihraç sisteminde hareketi temin eden
tamburlar ; dökme demir, çelik döküm veya
kaynaklı çelik konstrüksiyon olarak imal edilen
Koepe ihraç tamburlarının çapı, genel olarak

5... 8 m. arasında deęiřir. Tanbur ęapı ihraç = 90.-
halatının ęapı ile halat-halat yuvası (tanbur üzerindeki)
arasındaki yüzey basıncı söz önüne alınarak hesaplanır.

Genellikle,

$$D = (100 \dots 120) \cdot d \quad (57)$$

D- Tanbur ęapı

d- Halat ęapı

ve

Halat-halat yuvası arasındaki yüzey basıncı

$$p_{em} = (13 \dots 20) \text{ kpf/cm}^2 \quad (58)$$

arasında deęiřir.

Koepe ihraç tanburu, elektrik motoru-rediktör mekanizması ile tahrik edilebileceęi gibi günümüzde tahrik motoru, tanburun kendisidir.

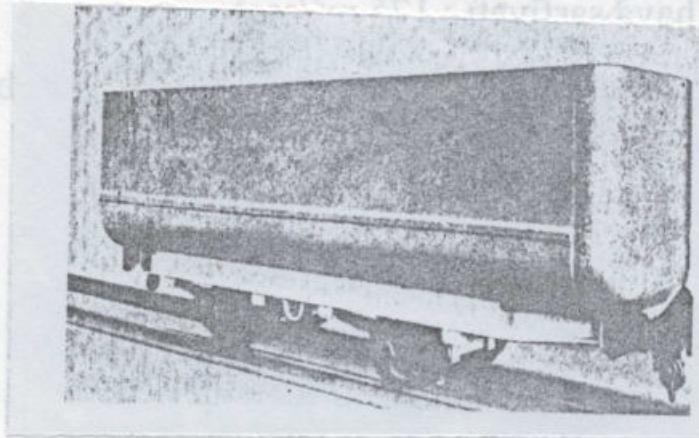
6- Koepe ihraç sisteminde kafes veya skiple ihraç;

Sistem aynı zamanda kömür, tař ve malzeme ihraçında kullanılacaksa en iyi seçim yolu kafestir. Fakat kuyunun tamamen kömür ihraçına ęalışması halinde, faydalı yükün doldurma ve boşaltma sürelerinin kısalması ayrıca ihraç hızının yüksek oluđu, skipin daha uygun olacağını gösterir.

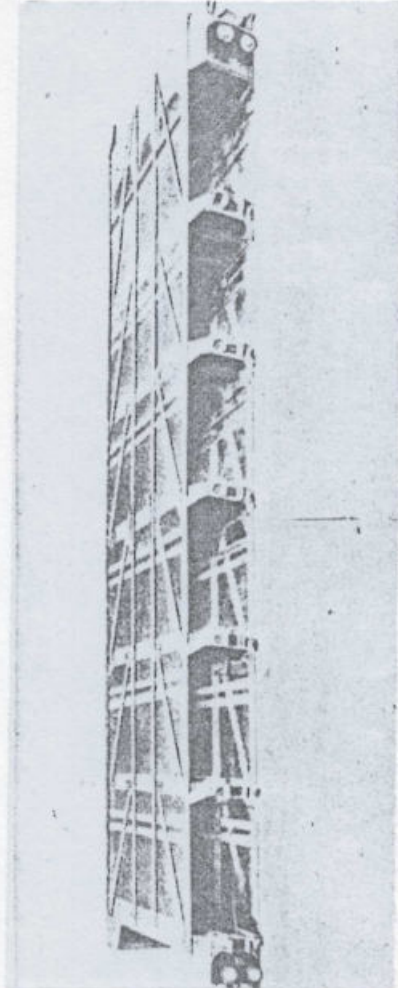
a) Kafes,

Kafeslerin konstrüksiyonu, ocak arabalarının büyüklüęüne baęlıdır. Bu nedenle ocak arabalar

rinin bir standardizasyonu yapılmıştır örneğin MAZ tarafından imal edilen 1, 3 ve 5 tonluk arabalar gibi. Şekil 26 de bir ocak arabası ve Şekil 27 de de bu ocak arabalarına uygun 6-katlı bir kafes resmi verilmiştir.



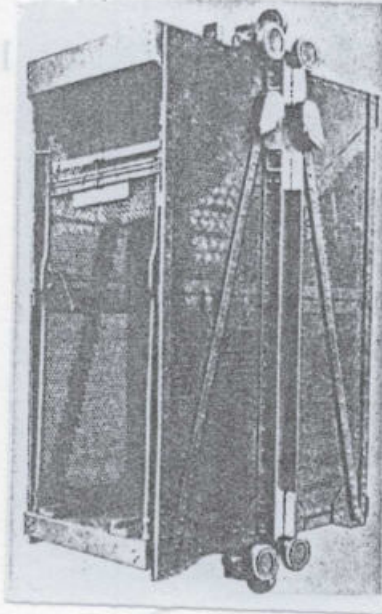
Şekil 26 - Ocak arabası (3,62 m³)



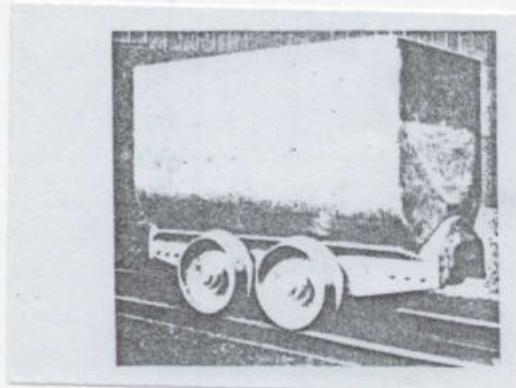
Şekil 27 - 6-Katlı kafes
 $(6 \times 3,62 \text{ m}^3 \times 1,16 \text{ ton/m}^3 = 25,2 \text{ ton kömür})$

Her kafes için kat sayısı ile her kattaki -92-
araba sayısı, kuyu kapasitesi ve faydalı yükün
gör önüne alınması ile tespit edilir. Tabii, ocak
arabaları seçilirken ocak işi yolları da unutmamak
gerekir. Şekil 27 de görüldüğü gibi, her biri $3,62 m^3$
kapasiteli 6 ocak arabası ile 25,2 ton faydalı
yük ($1 m^3$ kömür = 1,16 ton) 6-katlı tek kafes ile
ihraç edilebilmektedir.

Diğer taraftan, farklı yerlerde ve farklı nedenler-
le kullanılabilen tek katlı bir kafes ile bu kafese
uygun ocak arabası aşağıdaki şekillerde görülmek-
tedir.



Şekil 28 - Tek katlı kafes

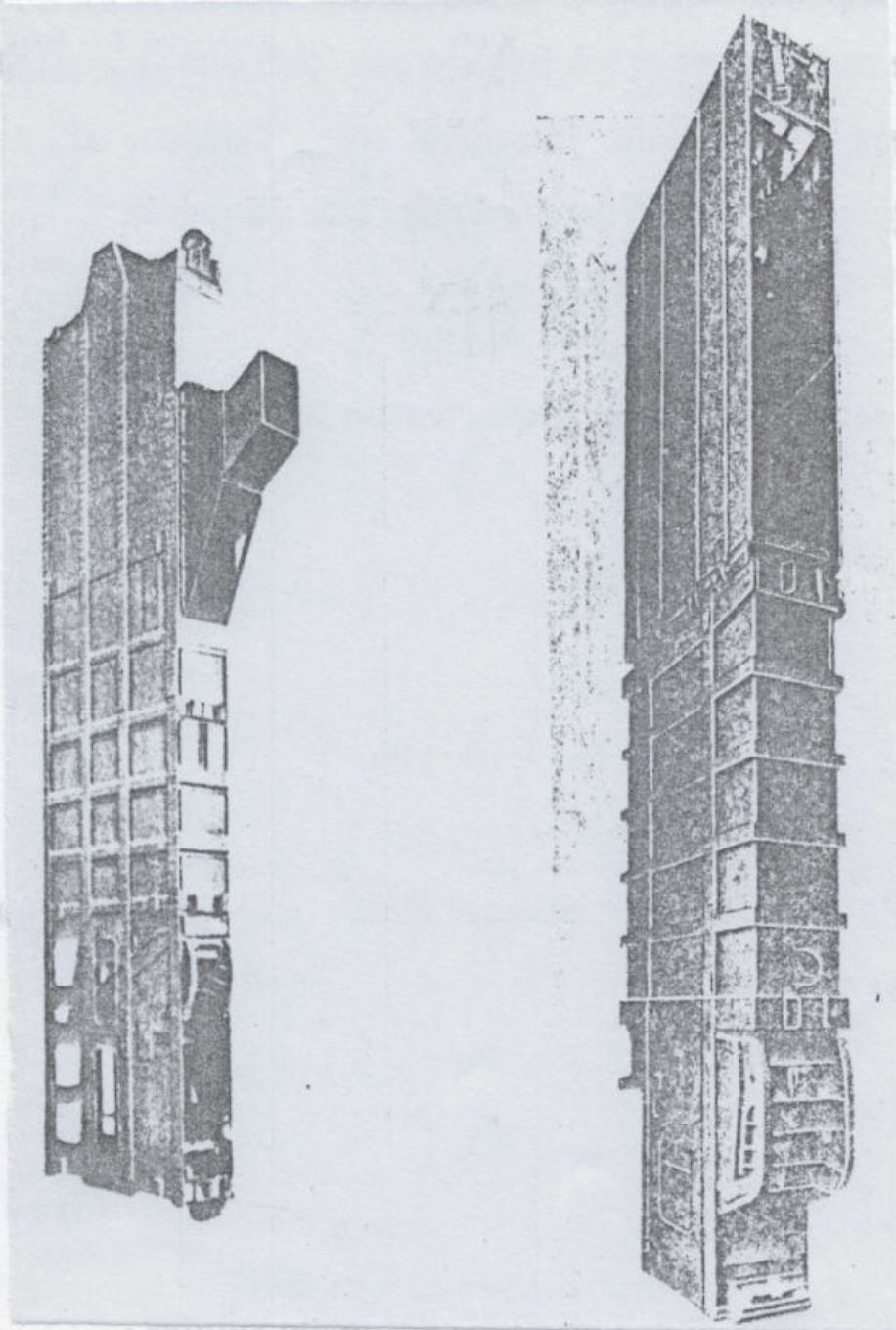


Şekil 29 - Ocak arabası (800 litre)

b) Skip,

- 93 -

Şekil 30 ve 31 de, farklı kapasitelere sahip iki skip görülmektedir.



Şekil 30 - 8 ton faydalı yük kapasiteli; yalnız kömür için kullanılan skip.

Şekil 31 - 10 ton faydalı yük kapasiteli; kömür ve insan için kullanılan skip.

Skiplerle ihrac yapılmaması halinde ocak arabası büyük Lükleri kuyu kesiti ile değil, fakat yalnız ocak iş yollarının göz önüne alınması ile tespit edilir. Arabaların

O Yarımlar

Yarım Özgür

Link yapıştır

Özgür İddiya

Blok Arşivi

- 2010 (1080)
- 2009 (2880)
- ▼ 2008 (4800)
- Arşiv (912)
- Konular (330)
- Konular (480)
- Eylemler (810)
- Yarım Özgür (480)
- Tanımlar (810)
- Harfler (414)
- Harfler (410)
- Harfler (480)
- Harfler (480)
- Harfler (322)
- Harfler (322)
- 2007 (600)

İstisnalar Türkçenin blok ve arşivi

Gözetim
İstisnalar
Yeni yazılar
Özgür
ÖZGÜRLÜK BLOK
MÜHÜRLEME ÖZGÜR
BLOK
ÖZGÜR BLOK
BLOK

Koepe İhras Sistemi

- VI -

Kucukhan.

Ana Kaynak: Mad. Y. Müh. Mehmet GÜNEY
(Koepe İhras Sistemi . Eki.)

(6) Adet .

kuyu başına kadar çıkarılıp tumba edilmesine - 94-
ferek yoktur. Daha az sayıda ocak arabasına ihti-
yaç vardır. Araba manevra süreleri ortadan kalktığı
için skip sistemi otomatik ihraca tam bir uygunluk
pösterir.

7- Çok halatlı Koepe ihrac sistemleri;

Çalışma koşullarında oluşan :

- Yüksek kapasiteli faydalı yük,
- Artan kuyu derinliği,
- Yüksek ihrac hızı

gibi nedenlerden dolayı tek halatlı sistemlerde

halat çapının büyük olması ;

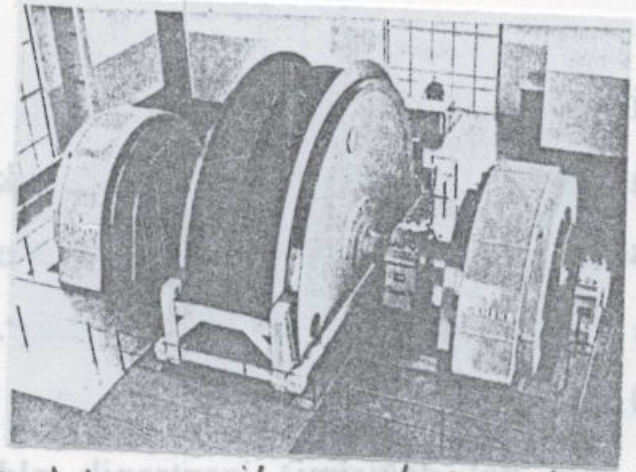
• Halatın, kafes- halat bağlantı parçasında
bağlanması,

• İmalatta sıkabilecek zorluklar dolayısıyla
maliyeti

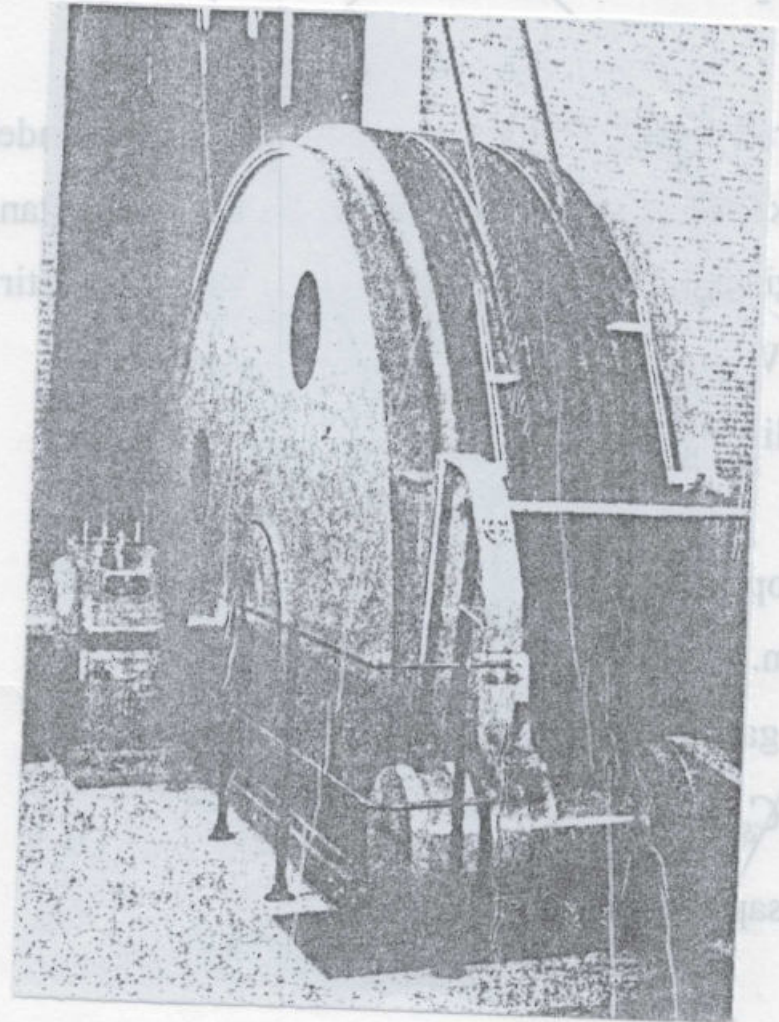
• Değiştirilmesi

zorlukları ile karşılaşmak mümkündür. Bu zorluk-
lar bir yerine birkaç halatın kullanılması ile
pösterilebilir (Şekil 32, 33 ve 34'e bakınız).

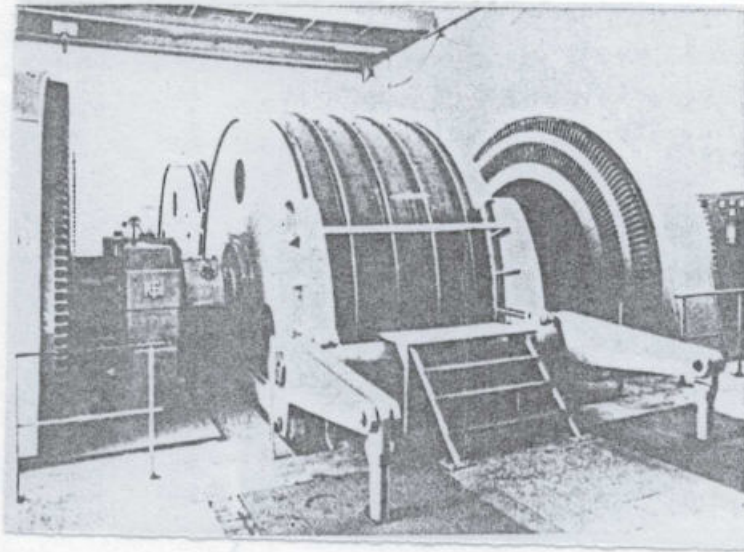
Bir örnek verelim, derinliği 1200m olan bir kuyuda,
25, 18 ve 6 tonf faydalı yükün ihracı halinde kullanı-
lacak olan halat sayıları ve çapları aşağıda
pösterilmiştir :



Şekil 32 - ihras kulesi üzerinde,
tek halatlı Koepe ihras
sistemi



Şekil 33 - Yerüstünde, 2-halatlı
Koepe ihras sistemi



Şekil 34 - ihrac kulesi üzerinde,
4-halatlı Koepe ihrac
sistemi

Faydalı yük [kpf]	:	25000				18000				6000		
Halat sayısı	:	1	2	4	}	1	2	4	}	1	2	4
Halat çapı [mm]	:	100	70	51	}	82	62	44	}	70	52	36

Eğilmeye çalışılan halatlarda çap büyümesi bazı zorluklar çıkarabilir (Eğilme yük tekrarı gibi) onun için tek-halatlı sistem yerine çok-halatlı sistemin seçilmesi daha uygun olur.

Halat çapları kabaca bir yaklaşımla,

• iki-halatlı sistemde :

$$d_2 \approx \sqrt{0,5} \cdot d \quad (59)$$

• Dört-halatlı sistemde :

$$d_4 \approx 0,5 \cdot d \quad (60)$$

d - Tek-halatlı sistemde halat çapı [mm]

Çok halatlı sistemde Koepe ihrac tanburu - 97.
 çapının tespitinde,

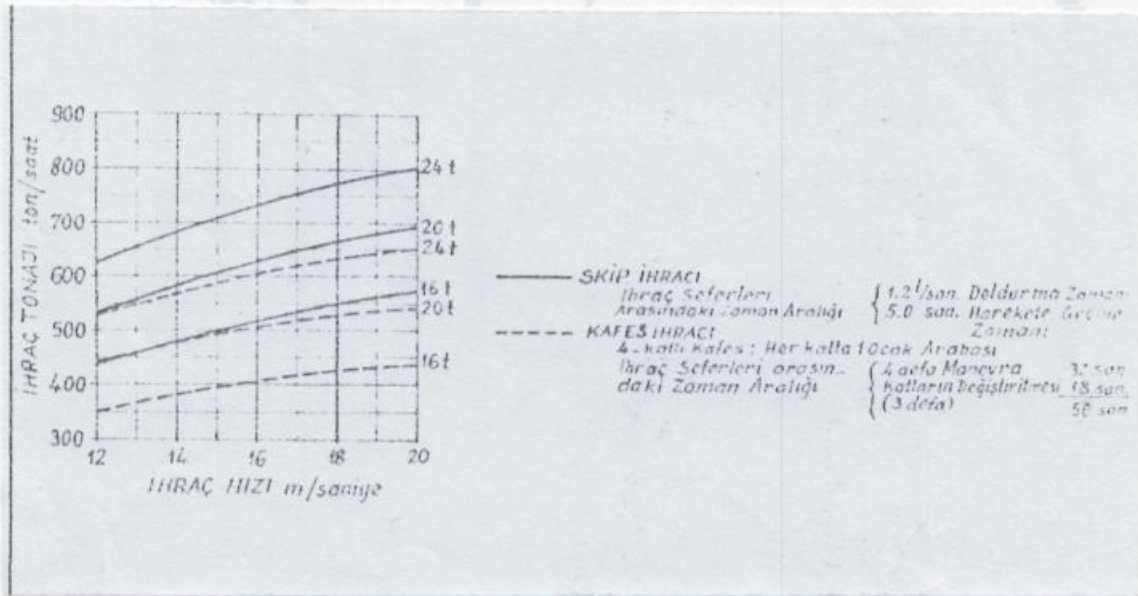
$$D_{\text{Koepe tan.}} = (100 \dots 120) \cdot d_{\text{fokha.}} \quad (61)$$

Tanbur çapı
çok halatlı sistemde halat çapı

ifadesi genel olarak geçerlidir.

8. Koepe ihrac hızı ;

Kafes/skip ihrac sistemlerinde, malzeme nakli için ihrac hızı max. 20 m/sn olarak belirlenmiştir (Maden yönetmeliklerine göre). Şekil 35'deki pratik, 1200m derinlikteki bir kuyudan ihrac tonajını, ihrac hızının bir fonksiyonu olarak göstermektedir.



Şekil 35- Farklı faydalı yüklere karşılık gelen ihrac hızı - ihrac tonajı diyagramı.

16, 20 ve 24 tonluk faydalı yüklerden :

16 tonluk → 24 tonluk'a arttırılabilmesi için ;

$v_{\text{ihrac}} = 20 \text{ m/sn.} \rightarrow 12 \text{ m/sn}$ ye düşürülmesi

yeterli olacaktır.

Malzeme ve insan ihracında kullanılan bir -98-
tesiste, ihrac sisteminin sahip olabileceği max.
ihrac hızları aşağıda gösterildiği gibi maden yönet-
meliklerince sınırlandırılmıştır.

Elektrik fabrikli
ihrac sistemleri

- Malzeme ihracı - - - - - 20 m/sn.
- İnsan ihracı (I) - - - - - 12 "
- İnsan ihracı (II) - - - - - 8 "

(I) Genel olarak, 6 m/sn yi aşan hızlarda sadece
200 m den daha az derinlikte olmayan ihrac
kuyularında müsaade edilir.

(II) - 12 m/sn lik ihrac hızlarına kafes/skip te
10 dan fazla insan kuyudan indiriliyor ve aynı
zamanında yükselen kafes boş ise müsaade edilir.

9- Koepe ihrac sisteminde halat emniyet faktörü,
Halat emniyet faktörü,

- Halatın gerçek kopma mukavemeti,
- Kafes - halat bağlantı mekanizması
- Asılı halatın toplam statik yükü ve
- Faydalı yük

şibi büyüklükleri göz önüne alır.

Fok halatlı sistemlerde, halatlara gelen yükün eşit
olarak dağılmasından dolayı, tek-halatlı bir sisteme
göre daha büyük bir emniyet beklemek akla daha
yakındır. Çünkü tek-halatlı sistemlerde aşınma veya

korozyon nedeniyle halat kopmalarının olabildiği - 99-
fi düşünülmelidir.

Denge halatına sahip klasik tanburlarda, genel olarak statik emniyet faktörünün derinlik artışı ile azalacağı kabul edilmiştir. Diğer bir deyişle, kuyu derinliğinin artması, senelik ihrac sayısının az olmasına dolayısıyla aşınma ve yıpranmaların azalmasına karşılık gelir.

Koepe ihrac sisteminde denge halatlarının kullanılması bir şarttır. Statik emniyet faktörü bütün ihrac devreminde sabittir.

İngilterede, genel olarak uygulanan statik emniyet faktörleri: (Koepe ihrac sistemi için) aşağıdaki gibidir:

Halat sayısı	Ters yönde eğilmeye salıyan		Ters yönde eğilmeye salımayan	
	İnsan	Malzeme	İnsan	Malzeme
• Tek-halatlı sistem	9,50	7,50	9,00	7,25
• Üç-halatlı sisteme kadar	9,25	7,25	8,75	7,00
• Dört-veya daha fazla halatlı sistem	9,00	7,00	8,50	6,75

Yukarıdaki bütün değerlerde, (0,0005. Derinlik) kadar azaltma yapılabilir. Örneğin; 1000 m derinliğe salıyan 4-halatlı bir sistemde ihrac halatı ters yönde bir eğilmeye maruz bırakılmasın. Malzeme ihracı için faydalı yük statik emniyet faktörü:

$$6,75 - (0,0005 \cdot 1000) = 6,25 \text{ olacaktır.}$$

Alman maden talimatnamesi statik emniyet faktörü ⁻¹⁰⁰⁻ değerlerini aşağıdaki gibi vermiştir :

	Klasik sistem	Koepe ihrac sistemi
• Malzeme ihracı	6	7,2 - 0,0005 · T
• İnsan ihracı	8	9,5 - 0,0005 · T

T - ihrac tamburu ile kuyu dibine en yakın kafes arasındaki mesafedir [m]

Yani, statik emniyet faktörü, kuyu derinliğinin bir fonksiyonu olmuş olur.

10 - Koepe ihrac sisteminde halat kayması ;

"Halat kayması" ihrac halatının ihrac tamburu yuvasındaki dolgu malzemesi üzerinde tam temas uzunluğunca kayması olarak tarif edilir. Halat çekme kuvveti, artan ve azalan ivmelerin birer fonksiyonudur (S:6). Artan ivme ile yükselen (yükül) halatın çekme kuvveti artan azalan (yüksüz) halatın ise azalır (S:6). Azalan ivme halindedey tam tersi olur.

ihrac halatının ;

• Kayma şartı :

$$\frac{T_1}{T_2} \geq e^{\mu\theta}$$

• Kaymama şartı

$$\frac{T_1}{T_2} \leq e^{\mu\theta} \quad (\text{Eşitlik 1})$$

dir .

Yani ,

$$T_1 < T_2 e^{\mu \theta}$$

$$(T_1 - T_2) < (T_2 e^{\mu \theta} - T_2)$$

$$\| (T_1 - T_2) < T_2 (e^{\mu \theta} - 1)$$

olduğu sürece halat, dolgu malzemesi üzerinde kaymaz.

$\mu = 0,20$ ve $\theta = 180^\circ (= \pi \text{ radyan})$ için,

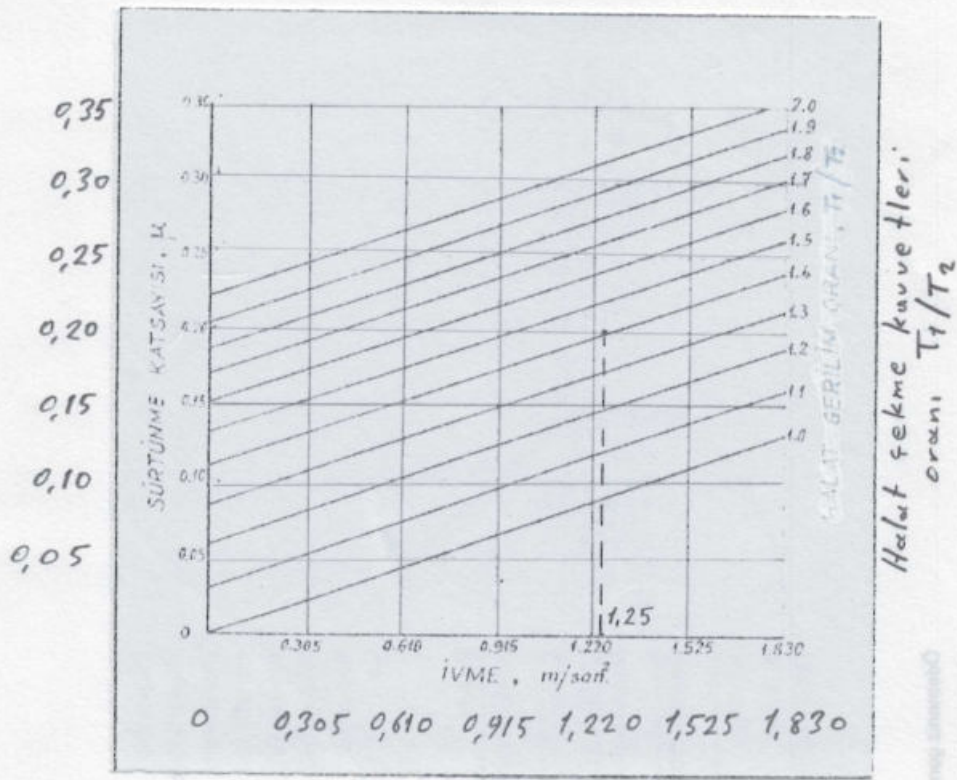
$$\frac{T_1}{T_2} < e^{0,20 \cdot \pi} \rightarrow \frac{T_1}{T_2} < 1,875 \text{ olmalıdır.}$$

Artan ve azalan ivmelerin, T_1 ve T_2 çekme kuvvetleri üzerindeki kaymaya dönük etkileride göz önüne alınırsa, artan ve azalan ivme değerleri $1,2 \text{ m/s}^2$ sınırında tutulur. Şekil 36 da görüldüğü gibi,

$$\frac{T_1}{T_2} \text{ (statik)} = 1,4 \left\{ \begin{array}{l} \text{max ivme} = 1,25 \text{ m/s}^2 \text{ sınırında tutulursa} \\ \text{kayma meydana gelmez.} \end{array} \right.$$

$$\mu = 0,2$$

Tamamen $e^{\mu \theta}$ tanbur karakteristiğine bağlı olan "Halat kayması", ihracın yalnız bir tarafa yüklenmesi ile daima meydana gelen ve halat elastikeyetine bağlı olan "Halat-uzama-kayması" ile hiç bir zaman karıştırılmamalıdır. Yüklü ve yüksüz halatlardaki T_1 ve T_2 çekme kuvvetlerinin birbirinden farklı olması, halatlar da da farklı elastiki uzamalara neden olurlar.



Şekil 36- Farklı, T_1/T_2 oranlarında, ihraç halatı kayması OLMASIZIN Max. ivme değerlerini veren diyagram.

Tanbura fırış noktasında büyük T_1 kuvvetinin etkisiyle halat uzunluğundaki uzama, halatın ihraç tanburunu terkettiği noktaya ulaşması ile kısalmır. Bu son durumda halat küçük T_2 kuvvetinin etkisi altındadır. Normal ihraç işleminde, her iki kafes/skip alternatif olarak yüklendiğinden halat uzama ve kısalmaları birbirlerini yok ederler.

11- Koepe ihraç sisteminde halat yuvası yüzey basıncı ;

Daha önce, 20... 24 sayfa larında halat yuvası yüzey basıncı ile ilgili bazı bilgiler vermiştik bu bilgilere devam edelim.

ihraç halatlarının elastikiyeti nedeniyle Koepe ihraç tamburu üzerinde halatın devamlı kayması (T_2 ve T_1 kuvvetleri birbirinden farklıdır) halat yuvası dolgu malzemesinde aşınmaya neden olur. Yani aşınma ;

- Dolgu malzemesi üzerindeki halat basıncı,
- Dolgu malzemesinin cinsi,
- Halat tipi,

şu faktörlerinde etkisiyle oluşur.

Halat yuvası yüzey basıncı, tambur çapının hesaplanması için göz önüne alınır ve Koepe ihraç tamburu "Çap/Halat çapı" büyüklüğü ile ifade edilir.

12- Koepe ihraç sisteminde halat yuvası dolgu malzemesi ;

- Sürtünme özellikleri iyi,
- Kullanılmada dayanıklı,
- Yanpına karşı (özellikle yeraltındaki Koepe sistemlerinde) korunmalı,
- Rutubete (nem) karşı dayanıklı,
- Halat yağlanmasına etkisi

şu faktörler, dolgu malzemelerinde önem taşır.

Dolgu malzemesi imal eden firmalar, Koepe ihraç tamburunun 100 000. devrinde mm olarak

yuva malzemesinin ortalama aşınma ve eskime değerlerini verebilirler. Genellikle aşınma ve eskime

"Faydalı ton-km başına mm" olarak ifade edilir.

Bir örnek verirsek;

Kullanılan dolgu malzemesinin toplam kalınlığı, 105 mm.
" " " " " " aşınma ve eskimesi; 95 mm

Dolgu malzemesi seçiminde, tamburun 100000 devrinde aşınma ve eskime değerinin 0,8 mm olması istenildiğine göre,

100 000 devir	aşınma 0,8 mm
95 mm X	aşınma 95 mm

$$X = \frac{95}{0,8} \cdot 100000 \approx 11900000 \text{ devir}$$

Karşılığında dolgu malzemesi kullanılacaktır.

Koeppe ihras tamburu çapı : 6,5 m

Dolgu malzemesi, 30 sefer/saat ve günde 14 saat çalışsın ve kuyu derinliğide 650 m olsun.

1 saatte alınan yol,

$$30 \text{ sefer/saat} \cdot 650 \text{ m/1sefer} = 19500 \text{ m/saat}$$

Halat hızı,

$$\frac{19500 \text{ m}}{3600 \text{ sn}} \approx 5,42 \text{ m/sn}$$

Koeppe ihras tamburu devir sayısı,

$$v_{\text{halat}} = \frac{\pi \cdot D_{\text{tambur}} \cdot n_{\text{tambur}}}{60}$$

$$5,42 = \frac{\lambda \cdot 6,5 \cdot n_{tanbur}}{60} \rightarrow n_{tanbur} \approx 16 \text{ d/d.}$$

Dolgu malzemesi için müsaade edilen tanbur devir sayısı 1190000 olduğuna göre,

Dolgu malzemesinin ömrü,

$$\begin{array}{r} 1 \text{ dak.} \quad 16 \text{ devir} \\ \times \quad 1190000 \text{ ''} \\ \hline \end{array}$$

$$x = 743750 \text{ dak.}$$

olar. 743750 dakikanın karşılığı,

$$\frac{743750 \text{ dak.}}{60 \frac{\text{dak}}{\text{saat}} \cdot 14 \frac{\text{saat}}{\text{gün}}} \approx 885 \text{ gün}$$

$$\frac{885 \text{ gün}}{365 \text{ gün/yıl}} \approx 2,5 \text{ Yıl}$$

olarak bulunur.

Kapalı tip ihraç halatları kullanıldığında, dolgu malzemesinin aşınma ve eskimesinin daha küçük değerler alacağı, dolayısıyla ömrünün daha uzun süreler alacağı olmaktadır.

13- Koepe ihraç sisteminde halat uzaması;

Bir örnekle hesaplayalım :

- Faydalı yük : $G_N = 6000 \text{ kpf}$
- ihraç halatları : $4 \times \text{Kapalı halat}$
- Halat çapı : $d = \Phi 30 \text{ mm.}$
- ihraç halat uzunluğu (Koepe ihraç tanburu ile kuyu dibine en yakın kafes/skip arası) : $L = 730 \text{ m.}$

• Elastisite modülü : $E = 1,4 \cdot 10^6 \text{ kgf/cm}^2$ (Berg-
baumechanik S: 419) - 106-

Halat uzaması

$$\Delta L = \frac{G_N \cdot L}{z \cdot E \cdot A_s}$$

ΔL	G_N	L	E	A_s
m	kgf	m	kgf/cm ²	cm ²

 (62)

formülünden hesaplanabilir.

z - Halat sayısı

A_s - Halatın metalik kesit alanı (Halat tanıtım
broşürlerinde ve örneğin: "Mining Mechanical
Engineering S: 383", "Bergbaumechanik S: 672" gibi)

veya A_s ,

$$d_d = \frac{\text{(Halatın metalik kesit alanı)}}{\text{(Halatın toplam kesit alanı)}}$$

tarifi ile hesaplanabilir.

d_d - Halat dolgu faktörü ($\approx 0,8$)

Halatın toplam kesit alanı = Halatın dışına fizilen
dairenin kesit alanı

Buna göre,

$$0,8 = \frac{A_s}{\pi \frac{d^2}{4}} = \frac{A_s}{\pi \cdot \frac{3^2}{4}}$$

$$\| A_s \approx 5,65 \text{ cm}^2$$

$$\Delta L = \frac{6000 \cdot 730}{4 \cdot 1,4 \cdot 10^6 \cdot 5,65} = 0,138 \text{ m.}$$

$$\| \Delta L \approx 14 \text{ cm.}$$

bulunur.

Simdi, kuyu dibine dođru 10000 kpf taş

-107-

indirelim ihras halatındaki kısalma,

$$\Delta L_{kısalma} = \frac{10000 \cdot 730}{4 \cdot 1,4 \cdot 10^6 \cdot 5,65} = 0,23 \text{ m.}$$

$$\| \Delta L_{kısalma} = 23 \text{ cm.}$$

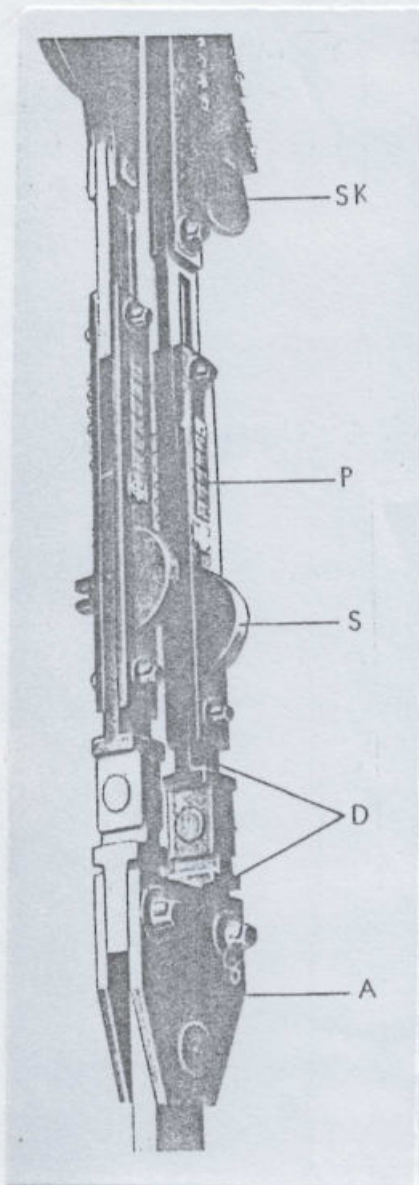
olarak elde edilir.

14 - Koepe ihras sisteminde, kafes-halat bađlantı elemanları ve yürek mekanizması;

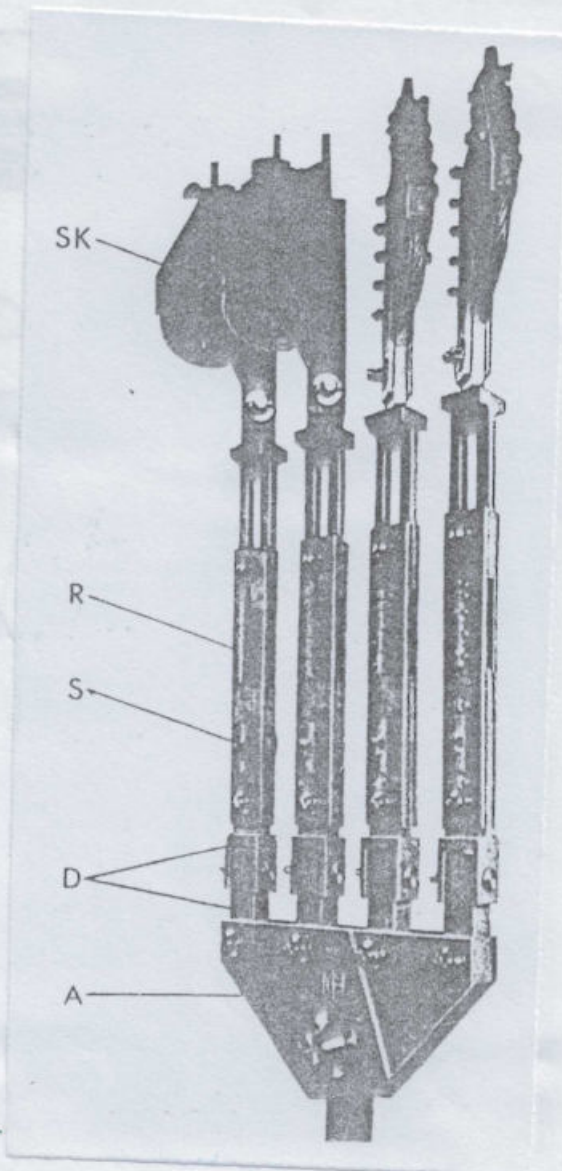
Kafes ve halatlar birbirlerine, kafes-halat bađlantı elemanları ile bađlanırlar. Şekil 37 de iki-halatlı ve Şekil 38 de de dört-halatlı Koepe ihras halatlarının bađlantı mekanizmaları görölmektedir. Burada;

- SK - Kendi kendine sıkıfıan halat bađlantı yüređi
- R - Halat uzunluk farklarının ayarlanmasında kullanılan iř iře peşme ayarlama parçaları
- S - Halat kuvvetlerinin ölçölmesinde kullanılan dinamometreler
- D - Çapraz bađlayıcılar
- A - Kafes bađlantı levhası

ihras halatlarının kafes/skip ile olan bađlantısı sürtünme veya kısıkaç tipi halat bađlantı yürekleri ile sađlanır. Şekil 39 da, bađlantı yüređinde oluřan sürtünme ve halat kuvvetleri, diyagram halinde gösterilmiřtir. Halat kuvveti P , sürtünme kuvveti tarafından tamamen dengelenmiřtir. Bu sürtünme



Şekil 37 - İki-halatlı Koepe ihrac sisteminde, kafes-halat bağlantı elemanları.



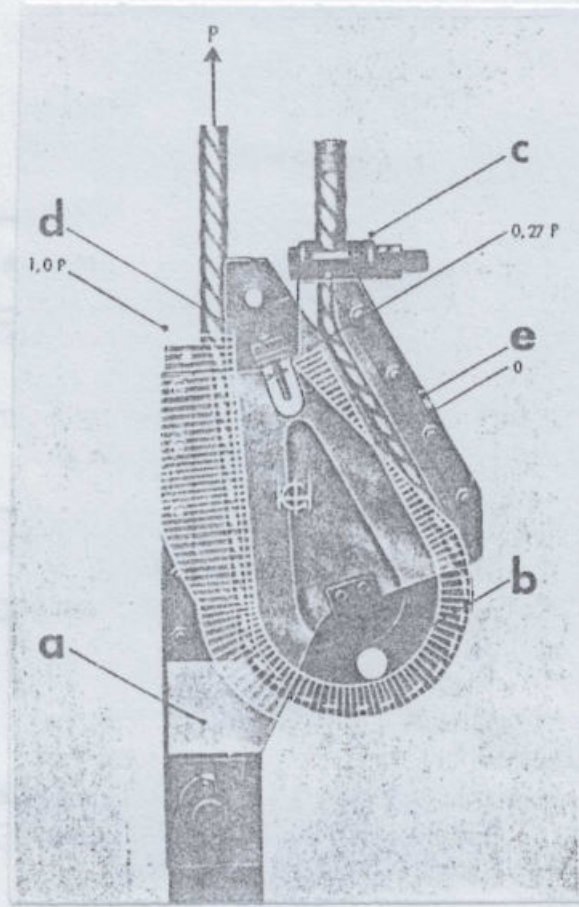
Şekil 38 - Dört-halatlı Koepe ihrac sisteminde, kafes-halat bağlantı elemanları.

kuvveti yaklaşık olarak $0,27 \cdot P$ değerindedir.

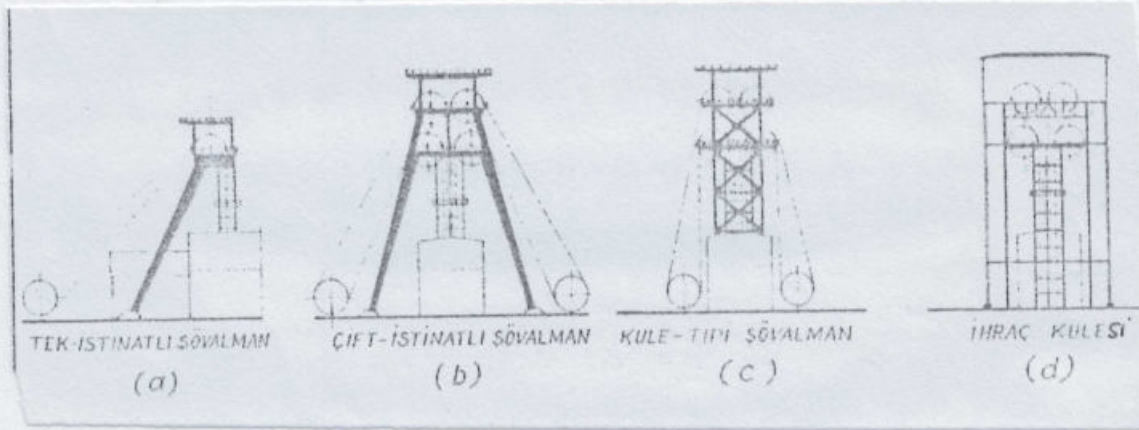
15 - Koepe ihrac sisteminde sövalman tipleri;
Kuyu ihrac sistemlerinde bilinen sövalman

tipleri, Şekil 40 ta verilmiştir. Burada:

- Moletleri yan yana çalışan tek-destekli sövalman (Şek. 40 a)
- Moletleri üst üste çalışan tek-destekli sövalman (Şek. 40 b)



Şekil 39 - Kafes - halat bağlantısı
(Yürek mekanizması)



Şekil 40 - Koepe ihrac sisteminde şövalman
tipleri

- Molefleri üst üste çalışan çift-destekli şövalman.
(Şek. 40 b)
 - Kule tipi şövalman (Şek. 40 c)
 - ihrac kulesi (Şek. 40 d)
- şeklinde sıralanabilir.

16. Özet ;

Klasik ve Koepe sistemleri arasında yapılan mukayesede; ağırlık, maliyet, tesis sahası ve enerji sarfiyatı gibi avantajlar, Koepe sistemine çok üstün özellikler sağlamıştır. Yine, Koepe sisteminin tanıtımı açısından bazı bilgiler özet olarak aşağıda sıralanmıştır :

- Koepe ihrac sistemi ;

ihrac kuyusu ifinde, kuyu başı- kuyu dibi arasında dengelenmiş bir sistemdir. Bu sistemde max. halat çekme kuvvetleri oranı $(T_1/T_2) = 1,4 \dots 1,5$ sayısal değerlerine göre değişir.

- Faydalı yük ;

Genel olarak 11... 15 tonf özel olarakta 18... 25 tonf sınırları ifindedir

- Kuyu derinliği ;

Genel olarak 800... 1000m derinliklere uygulanır. 250... 300m. den küçük kuyularda pek kullanılmaz.

- Kafes / skip seçimi ;

Bu seçimde, kuyunun kullanılma nedeni ön planda çıkar. Yalnız malzeme ihracında skip, malzeme ve insan ihracında ise kafes tercih edilir.

- ihrac hızı ;

Max. hız 20 m/sn. dir.

- Artan veya azalan ivme ;

Her türlü çalışma koşullarında, halat kayma

riski yok edilmelidir. Bu bağlamda, sayısal -111-
değerler 0,6... 1,2 m/sn² olarak önerilir ve seçilen
veya tespit edilen ivme, sürtünme katsayısı 0,2
olduğunda halat kaymasının meydana gelmemesine (oluş-
mamasına) karşılık gelir.

- Koepe ihracat tanburu;

Çapı, 3... 9 m. arasında değişir.

- Yuva dolgu malzemesi;

Halat kayma riskinde çok önemli bir parametre
olup, kullanılan malzemenin sürtünme katsayısı 0,2
ve yuva yüzey basıncı 20 kpf/cm² olmalıdır.

- Halat kayma riski;

Sürtünme katsayısı ve kavrama açısını sabit
kabul ederek, faydalı yükün yüklü halattaki asılı
toplam yüke oranı %30'u geçmemelidir.

- Halat ömrü;

Halat uç kesimi Koepe ihracat sisteminde yapılmış
diğinden, klasik sisteme göre halatlar daha sık
değişir. Örneğin, İsveçte 4...5, İngilterede 3...5
yılda değiştirilen halatlar, Almanya'da ihracat sefer
sayısı ve yüksek ihracat tonajı gözönüne alınarak
ikinci yılın sonunda değiştirilir.

- Halat emniyet faktörü;

İnsan naklinde 9,5 ve malzemede 7 ise 7
olarak alınır (Genelde). Maden talimatnameleri
bu değerleri belirlemişlerdir.

• Halat çapı ;

- 112-

Çok-halatlı sistemlerin uygulanması ile halat çapı küçültülebilir. Tek-halatlı sistemlerde genel olarak, 75 mm ---- max. 90 mm kabul edilir. Çok-halatlı sistemlerde bu değerler 30... 60 mm ye kadar düşebilir. Kabul edilen " ihras tamburu/ihras-halati" çap oranları 100/1 dir.

• Kafes-Halat bağlantı parçaları ;

Klasik sistemdeki kancanın yerini almıştır. Bağlantı için yarek mekanizmaları kullanılır.

• Frenler ;

Servis ve emniyet frenleri olmak üzere ikilidir. Özellikle insan naklinde kullanılan Koepe ihras sistemi emniyet frenlerinin mevcut olması Maden Talimatnameleri ile belirlenmiştir.

• ihras Kulesi ;

Maliyette yarattığı faydalar nedeniyle en çok tercih edilen şövalman tipidir. Diğer bir avantajı da kapladığı alanın klasik sisteme göre daha az olmasıdır.

31-08-2010

Saat : 17.30

